

Volume 74, 2014

**Editores**

**Fernando Rodrigo Rafaeli (Editor Chefe)**

Universidade Federal de Uberlândia - UFU  
Uberlândia, MG, Brasil

**Vanessa Avansini Botta Pirani (Editor Adjunto)**

Universidade Estadual Paulista - UNESP  
Presidente Prudente, SP, Brasil

**Alexandre Loureiro Madureira**

Laboratório Nacional de Computação Científica - LNCC  
Petrópolis, RJ, Brasil

**Edson Luiz Cataldo Ferreira**

Universidade Federal Fluminense - UFF  
Niterói, RJ, Brasil

**Jorge Manuel Vieira Capela**

Universidade Estadual Paulista - UNESP  
Araraquara, SP, Brasil

**Sandra Augusta Santos**

Universidade Estadual de Campinas - UNICAMP  
Campinas, SP, Brasil

A Sociedade Brasileira de Matemática Aplicada e Computacional - SBMAC publica, desde as primeiras edições do evento, monografias dos cursos que são ministrados nos CNMAC.

Para a comemoração dos 25 anos da SBMAC, que ocorreu durante o XXVI CNMAC em 2003, foi criada a série **Notas em Matemática Aplicada** para publicar as monografias dos minicursos ministrados nos CNMAC, o que permaneceu até o XXXIII CNMAC em 2010.

A partir de 2011, a série passa a publicar, também, livros nas áreas de interesse da SBMAC. Os autores que submeterem textos à série Notas em Matemática Aplicada devem estar cientes de que poderão ser convidados a ministrarem minicursos nos eventos patrocinados pela SBMAC, em especial nos CNMAC, sobre assunto a que se refere o texto.

O livro deve ser preparado em **Latex (compatível com o Miktex versão 2.9)**, as **figuras em eps** e deve ter entre **80 e 150 páginas**. O texto deve ser redigido de forma clara, acompanhado de uma excelente revisão bibliográfica e de **exercícios de verificação de aprendizagem** ao final de cada capítulo.

Veja todos os títulos publicados nesta série na página  
[http://www.sbmac.org.br/p\\_notas.php](http://www.sbmac.org.br/p_notas.php)

# POLINÔMIOS QUE SATISFAZEM UMA RELAÇÃO DE RECORRÊNCIA DE TRÊS TERMOS

Alagacone Sri Ranga  
ranga@ibilce.unesp.br

Cleonice Fátima Bracciali  
cleonice@ibilce.unesp.br

Eliana Xavier Linhares de Andrade  
eliana@ibilce.unesp.br

Departamento de Matemática Aplicada  
Instituto de Biociências, Letras e Ciências Exatas  
UNESP - Universidade Estadual Paulista “Júlio de Mesquita Filho”  
Campus de São José do Rio Preto - SP



Sociedade Brasileira de Matemática Aplicada e Computacional

São Carlos - SP, Brasil  
2016

Coordenação Editorial: Elbert Einstein Nehrer Macau

Coordenação Editorial da Série: Rosana Sueli da Motta Jafelice

Editora: SBMAC

Capa: Matheus Botossi Trindade

Patrocínio: SBMAC

Copyright ©2016 by Alagacone Sri Ranga, Cleonice Fátima Bracciali & Eliana Xavier Linhares de Andrade. Edição revista. Direitos reservados, 2016 pela SBMAC. A publicação nesta série não impede o autor de publicar parte ou a totalidade da obra por outra editora, em qualquer meio, desde que faça citação à edição original.

**Catálogo elaborado pela Biblioteca do IBILCE/UNESP**  
**Bibliotecária: Maria Luiza Fernandes Jardim Froner**

Sri Ranga, Alagacone

Polinômios que satisfazem uma relação de recorrência de três termos / Alagacone Sri Ranga, Cleonice Fátima Bracciali, Eliana Xavier Linhares de Andrade. Ed. rev. - São Carlos, SP : SBMAC, 2016.

x, 125 p.: il.; 21.5 cm. (Notas em Matemática Aplicada, vol. 74)

e-ISBN 978-85-8215-060-3

1. Polinômios 2. Relação de Recorrência 3. Fórmulas de Quadratura  
I. Sri Ranga, Alagacone II. Bracciali, Cleonice F.  
III. Andrade, Eliana X. L. . IV. Título. V. Série

CDD - 51

À minha família, Neusa, Natália e Ruben.  
*A. Sri Ranga*

Ao meu marido Sérgio.  
*C. F. Bracciali*

Às minhas filhas Milena, Vanessa e Cíntia.  
*E. X. L. de Andrade*

*Dedico*



# Conteúdo

<b>Prefácio</b>	<b>ix</b>
<b>1 Preliminares</b>	<b>1</b>
1.1 Integral de Riemann-Stieltjes . . . . .	1
1.2 Frações contínuas . . . . .	4
1.3 Sequências encadeadas positivas . . . . .	6
1.4 Polinômios ortogonais na reta real . . . . .	9
1.4.1 Propriedades dos polinômios ortogonais . . . . .	11
1.4.2 Polinômios ortogonais clássicos . . . . .	14
1.4.3 Sequências encadeadas positivas e polinômios ortogonais . . . . .	16
1.5 Polinômios ortogonais no círculo unitário . . . . .	18
1.5.1 Polinômios para-ortogonais . . . . .	27
1.6 Exercícios . . . . .	33
<b>2 Polinômios L-Ortogonais na Reta Real</b>	<b>37</b>
2.1 Polinômios de Laurent ortogonais . . . . .	37
2.2 Polinômios L-ortogonais . . . . .	39
2.2.1 Polinômios associados aos L-ortogonais . . . . .	41
2.2.2 Relação de recorrência de três termos . . . . .	42
2.2.3 Zeros dos polinômios L-ortogonais na reta real . . . . .	45
2.2.4 Relações entre polinômios ortogonais e L-ortogonais . . . . .	51
2.3 Exercícios . . . . .	52
<b>3 Polinômios Para-Ortogonais</b>	<b>53</b>
3.1 Polinômios para-ortogonais reais . . . . .	53
3.1.1 Relação de recorrência de três termos . . . . .	55
3.1.2 Polinômios ortogonais e polinômios para-ortogonais reais . . . . .	58
3.2 Polinômios para-ortogonais complexos . . . . .	61
3.2.1 Relação de recorrência de três termos . . . . .	63
3.2.2 Zeros dos polinômios $R_n$ . . . . .	66
3.2.3 Polinômios associados aos polinômios $R_n$ . . . . .	70
3.2.4 Resultado do tipo Favard . . . . .	80
3.2.5 Outras propriedades dos polinômios $R_n$ . . . . .	85
3.3 Exercícios . . . . .	87
<b>4 Aplicações</b>	<b>89</b>
4.1 Fórmulas de quadratura . . . . .	89
4.1.1 Fórmulas de quadratura gaussianas . . . . .	90
4.1.2 Fórmulas de quadratura e os polinômios L-ortogonais . . . . .	92

4.1.3	Fórmulas de quadratura no círculo unitário . . . . .	100
4.2	Problema de análise de frequência . . . . .	106
4.2.1	Polinômios de Szegő e análise de frequência . . . . .	106
4.2.2	Polinômios para-ortogonais e análise de frequência . . . . .	109
4.2.3	Polinômios ortogonais e análise de frequência . . . . .	112
4.3	Exercícios . . . . .	118



# Prefácio

Os polinômios ortogonais têm vasta aplicação em todos os tipos de problemas da Matemática Pura e Ciências Aplicadas e sempre despertaram o interesse de famosos matemáticos dos últimos séculos. Esses polinômios são ferramentas essenciais para a solução de vários problemas e vêm contribuindo nos estudos relacionados a equações diferenciais, frações contínuas, estabilidade numérica, teoria da aproximação, processamento de sinais, etc. É muito bem conhecido que uma sequência de polinômios ortogonais na reta real, denotada por  $\{P_n\}_{n=0}^{\infty}$ , satisfaz a uma relação de recorrência de três termos da forma

$$P_{n+1}(t) = (t - b_{n+1})P_n(t) - a_{n+1}P_{n-1}(t), \quad n \geq 0,$$

com  $P_{-1}(t) = 0$  e  $P_0(t) = 1$ , onde  $b_n, a_n \in \mathbb{R}$ , para  $n \geq 1$ .

Esses polinômios possuem inúmeras propriedades interessantes que fazem com que sejam aplicados em diversas áreas do conhecimento. Por exemplo, seus zeros são reais, simples e pertencem ao intervalo de ortogonalidade. Em particular, seus zeros são os nós das famosas Regras de Quadratura Gaussianas, que têm máximo grau de precisão algébrico.

No presente texto, nosso objetivo é apresentar propriedades e aplicações de sequências de polinômios que satisfazem a uma relação de recorrência de três termos da forma

$$R_{n+1}(z) = (z - \beta_{n+1})R_n(z) - \alpha_{n+1}zR_{n-1}(z), \quad n \geq 0, \quad (1)$$

com  $R_{-1}(z) = 0$  e  $R_0(z) = 1$ , onde  $\beta_n, \alpha_{n+1} \in \mathbb{C}$ , para  $n \geq 1$ .

Observe que a relação de recorrência (1) difere da dos polinômios ortogonais na reta real pela variável  $z$  que multiplica o último termo.

Entre as sequências de polinômios geradas pela relação de recorrência (1), destacam-se os polinômios que satisfazem certos tipos de ortogonalidade, tanto na reta real como no círculo unitário como, por exemplo, os polinômios L-ortogonais e os polinômios para-ortogonais.

Quando os coeficientes  $\beta_n$  e  $\alpha_{n+1}$ ,  $n \geq 1$ , satisfazem certas condições, pode-se garantir que os polinômios  $R_n$ , dados por (1), têm todos os zeros reais e simples ou todos os zeros complexos pertencentes ao círculo unitário ou, ainda, pertencentes a um círculo de raio  $\beta > 0$ .

Se tomarmos  $\beta_n > 0$  e  $\alpha_{n+1} > 0$ ,  $n \geq 1$ , os polinômios  $R_n$  são reais e seus zeros são reais e simples. Este caso será tratado no Capítulo 2.

Para  $\beta_n \neq 0$  e  $\alpha_{n+1} \neq 0$ ,  $n \geq 1$ , várias propriedades interessantes dos polinômios, definidos por (1) serão mostradas neste texto como, por exemplo, a de que dois polinômios consecutivos,  $R_n$  e  $R_{n+1}$ , não possuem zeros em comum. Além disso,

os zeros de  $R_n$  são os autovalores da matriz de Hessenberg inferior, dada por

$$\begin{pmatrix} \eta_1 & \alpha_2 & 0 & \cdots & 0 & 0 \\ \eta_1 & \eta_2 & \alpha_3 & \cdots & 0 & 0 \\ \vdots & \vdots & \vdots & & \vdots & \vdots \\ \eta_1 & \eta_2 & \eta_3 & \cdots & \alpha_{n-1} & 0 \\ \eta_1 & \eta_2 & \eta_3 & \cdots & \eta_{n-1} & \alpha_n \\ \eta_1 & \eta_2 & \eta_3 & \cdots & \eta_{n-1} & \eta_n \end{pmatrix},$$

onde  $\eta_m = \alpha_m + \beta_m$ ,  $m = 1, 2, \dots, n$ , com  $\alpha_1 = 0$ .

Para o caso complexo, é interessante utilizar seqüências de polinômios  $\{\tilde{R}_n\}_{n=0}^{\infty}$  que satisfazem à seguinte relação de recorrência de três termos

$$\tilde{R}_{n+1}(z) = [(1 + ic_{n+1})z + (1 - ic_{n+1})] \tilde{R}_n(z) - 4d_{n+1} z \tilde{R}_{n-1}(z), \quad n \geq 1, \quad (2)$$

com  $\tilde{R}_0(z) = 1$  e  $\tilde{R}_1(z) = (1 + ic_1)z + (1 - ic_1)$ , onde  $c_n \in \mathbb{R}$  para  $n \geq 1$ , e  $\{d_{n+1}\}_{n=1}^{\infty}$  é uma seqüência encadeada positiva. O valor 4 foi adicionado por conveniência ao último termo da relação de recorrência acima.

As relações (1) e (2) são equivalentes, pois se tomarmos

$$R_n(z) = \frac{\tilde{R}_n(z)}{\prod_{j=1}^n (1 + ic_j)},$$

então

$$R_{n+1}(z) = (z - \beta_{n+1}) R_n(z) - \alpha_{n+1} z R_{n-1}(z),$$

onde

$$\beta_n = -\frac{1 - ic_n}{1 + ic_n} \quad \text{e} \quad \alpha_{n+1} = \frac{4d_{n+1}}{(1 + ic_n)(1 + ic_{n+1})}.$$

Note que se  $c_n = 0$  para todo  $n$ , então (2) torna-se (1) com  $\beta_n = -1$ , isto é,

$$\tilde{R}_{n+1}(z) = (z + 1) \tilde{R}_n(z) - 4d_{n+1} z \tilde{R}_{n-1}(z), \quad n \geq 0, \quad (3)$$

Este caso será tratado no Capítulo 3.

Como no caso dos polinômios ortogonais, uma das importantes aplicações dos polinômios  $R_n(z)$  é a construção de fórmulas de quadraturas de máximo grau de precisão algébrica e esse tópico também será abordado no Capítulo 4. Outra aplicação a ser apresentada é o uso desses polinômios no problema de análise de frequência.

São José do Rio Preto, fevereiro de 2014.

A. Sri Ranga  
Cleónice F. Bracciali  
Eliana X.L. de Andrade

# Capítulo 1

## Preliminares

Antes de iniciar os estudos das propriedades dos polinômios que satisfazem à relação de recorrência de três termos (1), apresentaremos vários tópicos que serão necessários para o entendimento do texto, como, por exemplo, frações contínuas, sequências encadeadas positivas, polinômios ortogonais na reta real e polinômios ortogonais no círculo unitário. Também acrescentamos várias propriedades e resultados para tornar o texto mais completo para o leitor interessado em aprofundar seus conhecimentos nesses assuntos, mas que não são necessários para a compreensão dos capítulos posteriores.

### 1.1 Integral de Riemann-Stieltjes

Uma expressão da forma

$$\int_a^b f(x)d\psi(x)$$

é conhecida como integral de Stieltjes ou, mais especificamente, como a integral de Stieltjes da função  $f$  sob a função  $\psi$ . A função  $\psi$ , que é real e não decrescente, pode ser considerada como sendo definida na reta real. Porém, consideramos que os pontos de aumento de  $\psi$  estão todos contidos no intervalo fechado  $[a, b]$ .

Na linguagem da teoria da medida, a função  $\psi$  induz uma medida no intervalo  $[a, b]$  e, assim,  $\psi$  também é chamada de medida ou medida positiva no intervalo  $[a, b]$ .

A seguir, faremos um breve relato dos conceitos necessários para a definição da integral de Riemann-Stieltjes, que representa o limite de certas somas conhecidas por somas de Riemann-Stieltjes. Para algumas referências a respeito, citamos [7, 23, 37].

**Definição 1.1.** Chamamos de ponto de aumento da medida  $\psi$  qualquer ponto  $\xi$  tal que  $\psi(\xi + \epsilon) - \psi(\xi - \epsilon) > 0$  para todo  $\epsilon > 0$ . Em particular, o conjunto de pontos

$$\mathfrak{S}(\psi) = \{\xi \mid \psi(\xi + \epsilon) - \psi(\xi - \epsilon) > 0, \text{ para todo } \epsilon > 0\}$$

é chamado de suporte de  $\psi$ .

Como todos os pontos de aumento de  $\psi$  estão contidos dentro do intervalo  $[a, b]$ , o menor intervalo fechado  $[\tilde{a}, \tilde{b}]$  que contém o suporte é tal que  $[\tilde{a}, \tilde{b}] \subseteq [a, b]$ .

**Definição 1.2.** Dada o intervalo  $[a, b]$ , uma partição de  $[a, b]$  é um conjunto de pontos  $\Delta = \{x_0, x_1, \dots, x_{n-1}, x_n\}$ , tal que

$$a = x_0 < x_1 < x_2 < \dots < x_{n-1} < x_n = b.$$

Dada uma função real  $f$  definida e limitada em  $[a, b]$ , sejam

$$M_j = \sup_{x \in [x_{j-1}, x_j]} f(x) \quad \text{e} \quad m_j = \inf_{x \in [x_{j-1}, x_j]} f(x), \quad j = 1, 2, \dots, n.$$

A soma superior de Riemann-Stieltjes de  $f$  sob a medida  $\psi$  e com relação à partição  $\Delta$  é dada por

$$U(\Delta, f, \psi) = \sum_{j=1}^n (\psi(x_j) - \psi(x_{j-1})) M_j,$$

e a soma inferior por

$$L(\Delta, f, \psi) = \sum_{j=1}^n (\psi(x_j) - \psi(x_{j-1})) m_j.$$

É fácil verificar que

$$(\psi(b) - \psi(a))m \leq L(\Delta, f, \psi) \leq U(\Delta, f, \psi) \leq (\psi(b) - \psi(a))M,$$

onde  $m = \inf_{x \in [a, b]} f(x)$  e  $M = \sup_{x \in [a, b]} f(x)$ .

Uma partição  $\tilde{\Delta}$  é um refinamento da partição  $\Delta$  se  $\Delta \subset \tilde{\Delta}$ . Podemos verificar que se  $\tilde{\Delta}$  é um refinamento da  $\Delta$ , então

$$L(\Delta, f, \psi) \leq L(\tilde{\Delta}, f, \psi) \leq U(\tilde{\Delta}, f, \psi) \leq U(\Delta, f, \psi).$$

Denotando por  $\mathfrak{D}[a, b]$  o conjunto de todas as partições de  $[a, b]$ , agora temos os requisitos necessários para definir a integral de Riemann-Stieltjes da função  $f$  sob a medida  $\psi$ .

**Definição 1.3.** Sejam  $f$  uma função real e limitada definida em  $[a, b]$  e  $\mathfrak{D}[a, b]$  o conjunto de todas as partição de  $[a, b]$ . Se

$$\sup_{\Delta \in \mathfrak{D}[a, b]} L(\Delta, f, \psi) = I = \inf_{\Delta \in \mathfrak{D}[a, b]} U(\Delta, f, \psi),$$

dizemos que  $f$  é integrável em relação à medida  $\psi$  no sentido Riemann-Stieltjes e o valor  $I$  da integral é denotado por  $\int_a^b f(x) d\psi(x)$ .

Se  $\psi_1(x) = \psi(x) + C$ , para alguma constante  $C$ , então

$$\int_a^b f(x) d\psi(x) = \int_a^b f(x) d\psi_1(x)$$

e, portanto, dizemos que as medidas  $\psi$  e  $\psi_1$  são substancialmente iguais.

Dois casos particulares em que a integral de Riemann-Stieltjes existe são:

- A função  $f$  é contínua em  $[a, b]$ . Neste caso, se  $f(x) \geq 0$  para  $x \in \mathfrak{S}(\psi)$ , então  $\int_a^b f(x) d\psi(x) \geq 0$ . A integral  $\int_a^b f(x) d\psi(x)$  é estritamente positiva se  $f(x) > 0$  pelo menos em um ponto  $x$  no suporte  $\mathfrak{S}(\psi)$ .
- A função  $f$  é monotônica em  $[a, b]$  e  $\psi$  é contínua e estritamente crescente em  $[a, b]$ .

A seguir, apresentamos alguns exemplos de integrais de Riemann-Stieltjes.

**Exemplo 1.1.** Se  $\psi(x) = x$  ou, ainda,  $\psi(x) = x + \kappa$ , para alguma constante  $\kappa$ , a integral de Riemann-Stieltjes é idêntica à integral de Riemann

$$\int_a^b f(x)d\psi(x) = \int_a^b f(x)dx.$$

**Exemplo 1.2.** Seja  $\psi$  contínua e derivável em  $(a, b)$  e seja  $w(x) = \psi'(x)$ . Então, pelo Teorema do Valor Médio (veja, por exemplo, [7]),

$$\psi(x_k) - \psi(x_{k-1}) = w(x_k^*)(x_k - x_{k-1}),$$

onde  $x_k^*$  é um ponto em  $(x_{k-1}, x_k)$ . A função  $w$  é chamada de função peso da integral. Pela definição de integral de Riemann, temos

$$\int_a^b f(x)d\psi(x) = \int_a^b f(x)w(x)dx.$$

**Exemplo 1.3.** Seja  $\psi$  uma função escada com saltos nos pontos  $\xi_1, \xi_2, \dots, \xi_n$  dada por

$$\psi(x) = \begin{cases} 0, & a \leq x \leq \xi_1, \\ \lambda_1, & \xi_1 < x \leq \xi_2, \\ \lambda_1 + \lambda_2, & \xi_2 < x \leq \xi_3, \\ \vdots & \vdots \\ \lambda_1 + \lambda_2 + \dots + \lambda_n, & \xi_n < x \leq b, \end{cases}$$

onde  $\lambda_1, \lambda_2, \dots, \lambda_n$  são números positivos arbitrários. Somente os intervalos  $[x_{k-1}, x_k)$  que contém um ponto de salto podem contribuir para a soma  $S(\Delta, f, \psi)$ . Para  $\|\Delta\| < \min(\xi_k - \xi_{k-1})$ , a soma fica reduzida a

$$\sum_{k=1}^n f(\xi_k^*)\lambda_k,$$

onde  $|\xi_k^* - \xi_k| \leq \|\Delta\|$ . Se  $f$  é contínua, temos  $f(\xi_k^*) \rightarrow f(\xi_k)$  quando  $\|\Delta\| \rightarrow 0$  e, assim,

$$\int_a^b f(x)d\psi(x) = \sum_{k=1}^n f(\xi_k)\lambda_k.$$

Observamos que, para intervalos infinitos, a definição da integral de Riemann-Stieltjes como, por exemplo,  $\int_a^\infty f(x)d\psi(x)$ , depende da existência do limite

$$\lim_{b \rightarrow \infty} \int_a^b f(x)d\psi(b; x),$$

onde  $\psi(b; x) = \psi(x)$  para  $0 \leq x \leq b$  e  $\psi(b; x) = \psi(b)$  para  $x \geq b$ .

**Definição 1.4.** Os valores

$$\mu_k = \int_a^b x^k d\psi(x), \quad \text{para } k = 0, 1, 2, \dots, \quad (1.1.1)$$

são chamados de momentos da medida  $\psi$ .

Quando o intervalo  $[a, b]$  é limitado, os momentos definidos por (1.1.1) sempre existem. Caso seja infinito, nem sempre existem.

Quando  $\mu_0 = 1$ , a medida é chamada de medida de probabilidade.

**Definição 1.5.** *Se os momentos  $\mu_k$  existem para  $k = 0, \pm 1, \pm 2, \dots$ , então dizemos que  $\psi$  é uma medida forte em  $(a, b)$ .*

Se  $\psi$  é uma medida positiva em um intervalo  $[-b, b]$ ,  $b > 0$ , tal que vale a propriedade

$$d\psi(x) = -d\psi(-x), \quad x \in [-b, b], \quad (1.1.2)$$

então  $\psi$  é denominada medida simétrica.

**Definição 1.6.** *Dada uma sequência de números reais  $\{\mu_n\}_{n=0}^\infty$ , definimos determinante de Hankel de ordem  $n + 1$  por*

$$H_n = \begin{vmatrix} \mu_0 & \mu_1 & \dots & \mu_n \\ \mu_1 & \mu_2 & \dots & \mu_{n+1} \\ \vdots & \vdots & \ddots & \vdots \\ \vdots & \vdots & \ddots & \vdots \\ \mu_n & \mu_{n+1} & \dots & \mu_{2n} \end{vmatrix}, \quad n \geq 0. \quad (1.1.3)$$

Para uma sequência de números reais  $\{\mu_n\}_{n=-\infty}^\infty$ , definimos determinante generalizados de Hankel de ordem  $n + 1$  por

$$H_n^{(m)} = \begin{vmatrix} \mu_m & \mu_{m+1} & \dots & \mu_{m+n} \\ \mu_{m+1} & \mu_{m+2} & \dots & \mu_{m+n+1} \\ \vdots & \vdots & \ddots & \vdots \\ \mu_{m+n} & \mu_{m+n+1} & \dots & \mu_{m+2n} \end{vmatrix}, \quad m, n \in \mathbb{Z}, \quad n \geq 0. \quad (1.1.4)$$

Observe que  $H_n^{(0)} = H_n$ .

## 1.2 Frações contínuas

Apresentamos, aqui, apenas alguns conceitos básicos sobre frações contínuas que serão necessários posteriormente. Para estudos mais aprofundados sobre frações contínuas no sentido de teoria dos números e de teoria analítica, citamos os livros [1, 13, 29, 35, 49] como referências.

Uma fração contínua é uma expressão da forma

$$b_0 + \frac{a_1}{b_1 + \frac{a_2}{b_2 + \dots + \frac{a_n}{b_n + \dots}}} \quad (1.2.5)$$

onde  $\{a_n\}_{n=1}^\infty$  e  $\{b_n\}_{n=0}^\infty$  são sequências arbitrárias de números complexos (ou funções complexas). Uma fração contínua pode ser finita ou infinita.

Algumas notações simplificadas para (1.2.5) são encontradas na literatura, como, por exemplo,

$$b_0 + \frac{a_1}{b_1} + \frac{a_2}{b_2} + \dots + \frac{a_n}{b_n} + \dots$$

e

$$b_0 + \frac{a_1}{b_1} + \frac{a_2}{b_2} + \dots + \frac{a_n}{b_n} + \dots$$

Consideremos a sequência  $\{C_n\}_{n=0}^\infty$  construída da seguinte maneira:

$$\begin{aligned} C_0 &= b_0 \\ C_1 &= b_0 + \frac{a_1}{b_1} \\ C_2 &= b_0 + \frac{a_1}{b_1} + \frac{a_2}{b_2} \\ &\vdots \\ C_n &= b_0 + \frac{a_1}{b_1} + \frac{a_2}{b_2} + \dots + \frac{a_n}{b_n} \\ &\vdots \end{aligned} \tag{1.2.6}$$

$C_n$ , que é uma fração contínua finita, é chamado de  $n$ -ésimo convergente (ou aproximante) da fração contínua (1.2.5).

Por se tratar de frações, é possível que certos convergentes sejam indefinidos. Por exemplo,  $C_2$  não tem sentido se  $b_1 b_2 = -a_2$ . Contudo, se quisermos ainda considerar a correspondente fração contínua, fazemos uso da definição abaixo.

**Definição 1.7.** Dizemos que a fração contínua (1.2.5) converge para o valor  $K$  (finito) se no máximo um número finito de  $C_n$  é indefinido e

$$\lim_{n \rightarrow \infty} C_n = K.$$

Caso contrário, dizemos que a fração contínua diverge.

Se a fração contínua converge para  $K$ , escrevemos

$$b_0 + \frac{a_1}{b_1} + \frac{a_2}{b_2} + \dots = K.$$

Da relação (1.2.6), podemos escrever  $C_n = \frac{A_n}{B_n}$ ,  $n = 0, 1, 2, \dots$ , onde

$$\begin{aligned} A_0 &= b_0, & B_0 &= 1, \\ A_1 &= b_0 b_1 + a_1, & B_1 &= b_1, \\ A_2 &= b_0 b_1 b_2 + b_0 a_2 + a_1 b_2, & B_2 &= b_1 b_2 + a_2, \\ &\vdots & &\vdots \end{aligned}$$

Notemos, por exemplo, que  $A_2 = b_2 A_1 + a_2 A_0$  e  $B_2 = b_2 B_1 + a_2 B_0$ . Desse modo, obtemos o resultado a seguir, facilmente demonstrável usando-se o princípio da indução matemática.

**Teorema 1.1.** Sejam as sequências  $\{A_n\}$  e  $\{B_n\}$  tais que, para  $n \geq 1$ ,

$$\begin{aligned} A_n &= b_n A_{n-1} + a_n A_{n-2}, \\ B_n &= b_n B_{n-1} + a_n B_{n-2}, \end{aligned} \tag{1.2.7}$$

com  $A_{-1} = 1$ ,  $A_0 = b_0$ ,  $B_{-1} = 0$ ,  $B_0 = 1$  e  $b_n \neq 0$  para  $n \geq 1$ . Então, o  $n$ -ésimo convergente  $C_n$ , dado por (1.2.6), satisfaz  $C_n = \frac{A_n}{B_n}$ ,  $n = 0, 1, 2, \dots$ .

Segundo Chihara [13], as fórmulas dadas por (1.2.7) são conhecidas por fórmulas de Wallis, onde  $A_n$  é chamado o  $n$ -ésimo numerador parcial e  $B_n$  é o  $n$ -ésimo denominador parcial da fração contínua.

Se multiplicarmos a primeira fórmula de Wallis (1.2.7) por  $B_{n-1}$  e a segunda por  $A_{n-1}$ , e subtrairmos uma da outra, obtemos

$$A_n B_{n-1} - B_n A_{n-1} = -a_n (A_{n-1} B_{n-2} - B_{n-1} A_{n-2}).$$

Daí,

$$A_n B_{n-1} - B_n A_{n-1} = (-1)^{n+1} a_1 a_2 \dots a_n, \quad n \geq 1.$$

Essa relação é conhecida como fórmula do determinante (veja Wall [49, p.15]).

Além disso,

$$\frac{A_n}{B_n} - \frac{A_{n-1}}{B_{n-1}} = \frac{(-1)^{n+1} a_1 a_2 \dots a_n}{B_{n-1} B_n},$$

o que nos fornece

$$\frac{A_n}{B_n} = b_0 + \sum_{k=1}^n \frac{(-1)^{k+1} a_1 a_2 \dots a_k}{B_{k-1} B_k}, \quad (1.2.8)$$

desde que  $b_k \neq 0$  e  $B_k \neq 0$  para  $1 \leq k \leq n$ . A soma (1.2.8) é a  $n$ -ésima soma parcial da série  $b_0 + \sum_{k=1}^{\infty} \frac{(-1)^{k+1} a_1 a_2 \dots a_k}{B_{k-1} B_k}$ , conhecida por série de Euler-Minding.

### 1.3 Sequências encadeadas positivas

Apresentamos, aqui, a definição e algumas propriedades de sequências encadeadas, bem como suas relações com polinômios ortogonais. Para um estudo mais detalhado recomendamos o texto de Chihara [13].

**Definição 1.8.** *Uma sequência  $\{a_n\}_{n=1}^{\infty}$  é uma sequência encadeada positiva se existe uma sequência  $\{g_k\}_{k=0}^{\infty}$  tal que*

$$\begin{aligned} (i) \quad & 0 \leq g_0 < 1, \quad 0 < g_n < 1, \quad n \geq 1, \\ (ii) \quad & a_n = (1 - g_{n-1})g_n, \quad n = 1, 2, 3, \dots \end{aligned} \quad (1.3.9)$$

$\{g_k\}_{k=0}^{\infty}$  é chamada de sequência de parâmetros para  $\{a_n\}_{n=1}^{\infty}$  e  $g_0$  é o parâmetro inicial.

**Exemplo 1.4.** A sequência constante  $\{a_n\} = \left\{\frac{1}{4}\right\}$  é uma sequência encadeada com uma sequência de parâmetros  $\{g_n\} = \left\{\frac{n}{2(n+1)}\right\}$ . Além disso, a sequência  $\{h_n\} = \left\{\frac{1}{2}\right\}$  também é uma sequência de parâmetros para  $\{a_n\} = \left\{\frac{1}{4}\right\}$ .

**Exemplo 1.5.** A sequência constante  $\{a_n\} = \{a\}$ , com  $0 < a \leq \frac{1}{4}$ , é uma sequência encadeada com sequências de parâmetros

$$\{g_n\} = \left\{\frac{1 + \sqrt{1 - 4a}}{2}\right\} \quad \text{e} \quad \{h_n\} = \left\{\frac{1 - \sqrt{1 - 4a}}{2}\right\}.$$



Deixamos a verificação desses exemplos para o leitor no Exercício 1.1.

**Teorema 1.2.** *Sejam  $\{a_n\}$  uma sequência encadeada e  $\{g_k\}$  e  $\{h_k\}$  sequências de parâmetros para  $\{a_n\}$ . Então,  $g_k < h_k$  para  $k \geq 1$  se, e somente se,  $g_0 < h_0$ .*

**Teorema 1.3.** *Seja  $\{a_n\}$  uma sequência encadeada. Se  $\{a_n\}$  tem uma sequência de parâmetros  $\{g_k\}$  tal que  $g_0 > 0$ , então, para cada  $h_0$  satisfazendo  $0 \leq h_0 < g_0$ , existe uma correspondente sequência de parâmetros  $\{h_k\}$ .*

Deixamos a demonstração dos dois últimos resultados como exercício (Exercícios 1.2 e 1.3).

O Teorema 1.3 mostra que, se o parâmetro inicial de uma sequência de parâmetros for positivo, sempre existe uma outra sequência de parâmetros para a sequência encadeada. Além disso, toda sequência encadeada possui uma sequência de parâmetros  $\{m_k\}$  tal que  $m_0 = 0$  e, pelo Teorema 1.2, temos que  $m_n < g_n$  para qualquer outra sequência de parâmetros  $\{g_k\}$ .

**Definição 1.9.** *Seja  $\{a_n\}$  uma sequência encadeada. Uma sequência de parâmetros  $\{m_k\}$  é chamada sequência minimal de parâmetros se  $m_0 = 0$ .*

**Exemplo 1.6.** A sequência encadeada  $\{a_n\} = \left\{\frac{1}{4}\right\}$  tem sequência minimal de parâmetros  $\{m_n\} = \left\{\frac{n}{2(n+1)}\right\}$ .

Caso a sequência minimal de parâmetros seja a única sequência de parâmetros para  $\{a_n\}$ , dizemos que  $\{a_n\}$  determina seus parâmetros unicamente ou que  $\{a_n\}$  é unicamente determinada.

**Definição 1.10.** *Seja  $\{a_n\}$  uma sequência encadeada. Uma sequência de parâmetros  $\{M_k\}$  é chamada sequência maximal de parâmetros se, para qualquer outra sequência de parâmetros  $\{g_k\}$ ,  $M_k > g_k$ ,  $k \geq 0$ .*

**Teorema 1.4.** *Uma sequência de parâmetros  $\{g_n\}$  é a sequência maximal para uma sequência encadeada  $\{a_n\}$  se, e somente se*

$$\sum_{n=1}^{\infty} \frac{g_1 g_2 \cdots g_n}{(1-g_1)(1-g_2)\cdots(1-g_n)} = \infty.$$

O Teorema 1.4, atribuído a H.S. Wall (veja [13] e [49]), fornece uma maneira prática para verificar se uma sequência de parâmetros é maximal.

**Exemplo 1.7.** Considere novamente a sequência encadeada  $\{a_n\} = \{a\}$ , com  $0 < a \leq \frac{1}{4}$ . Vimos que

$$\{g_n\} = \left\{\frac{1 + \sqrt{1-4a}}{2}\right\} \quad \text{e} \quad \{h_n\} = \left\{\frac{1 - \sqrt{1-4a}}{2}\right\},$$

são sequências de parâmetros. O Teorema 1.4 garante que a sequência de parâmetros  $\{g_n\}$  é a sequência maximal. A comprovação desse fato é deixada para o leitor (Exercício 1.4).

**Teorema 1.5.** *Seja  $\{a_n\}$  uma seqüência encadeada. Se  $a_n = a \leq \frac{1}{4}$ ,  $n \geq 1$ , então*

$$M_n = \frac{1 + \sqrt{1 - 4a}}{2} \quad e \quad \lim_{n \rightarrow \infty} m_n = \frac{1 - \sqrt{1 - 4a}}{2}.$$

*Além disso,  $0 < m_n < m_{n+1}$ ,  $n \geq 1$ .*

**Teorema 1.6.** *Sejam  $\{b_n\}$  uma seqüência encadeada com seqüência de parâmetros  $\{h_k\}$  e  $\{a_n\}$  uma outra seqüência encadeada com seqüência minimal de parâmetros  $\{m_k\}$  e maximal  $\{M_k\}$ . Se*

$$a_n \leq b_n, \quad \text{para } n \geq 1,$$

*então,*

$$m_k \leq h_k \leq M_k, \quad \text{para } k \geq 0.$$

Para observar outras seqüências encadeadas positivas, vamos utilizar a notação

$$a_{k,n} = a_{n+k} \quad e \quad g_{k,n} = g_{n+k}, \quad k \geq 1.$$

**Teorema 1.7.** *Seja  $\{a_n\}_{n=1}^{\infty}$  uma seqüência encadeada positiva com seqüência de parâmetros  $\{g_n\}_{n=0}^{\infty}$ . Então,*

- (i)  $\{a_{1,n}\}_{n=1}^{\infty}$  é uma seqüência encadeada com seqüência de parâmetros  $\{g_{1,n}\}_{n=0}^{\infty}$ , onde  $a_{1,n} = a_{n+1}$  e  $g_{1,n} = g_{n+1}$ .
- (ii) Se  $\{\hat{m}_n\}_{n=0}^{\infty}$  denota a seqüência minimal de parâmetros para  $\{a_{1,n}\}$ , então  $\hat{m}_n < m_{1,n}$ , para  $n \geq 0$  e  $m_{1,n} = m_{n+1}$ .
- (iii)  $\{M_{1,n}\}_{n=0}^{\infty}$  é seqüência maximal de parâmetros para  $\{a_{1,n}\}$ , onde  $M_{1,n} = M_{n+1}$ .

As demonstrações desses resultados encontram-se em Chihara [13].

O Teorema 1.7 garante que se  $\{a_1, a_2, a_3, \dots\}$  é uma seqüência encadeada, então  $\{a_2, a_3, a_4, \dots\}$  também é seqüência encadeada, bem como  $\{a_3, a_4, a_5, \dots\}$ , etc... .

Por outro lado, se  $\{a_2, a_3, a_4, \dots\}$  é seqüência encadeada não unicamente determinada, podemos encontrar  $a_1 > 0$  tal que  $\{a_1, a_2, a_3, \dots\}$  é uma seqüência encadeada positiva. Veja o próximo resultado.

**Teorema 1.8.** *Seja  $\{a_2, a_3, a_4, \dots\}$  uma seqüência encadeada positiva e não unicamente determinada, cuja seqüência maximal de parâmetros é  $\{M_1, M_2, M_3, \dots\}$ , ou seja,  $M_1 \neq 0$ . Então, tomando  $a_1 = \lambda M_1$ , com  $0 < \lambda \leq 1$ , a seqüência  $\{a_1, a_2, a_3, \dots\}$  também é uma seqüência encadeada.*

Demonstração: Da definição de seqüência encadeada, temos

$$\begin{aligned} a_2 &= (1 - M_1)M_2, \\ a_3 &= (1 - M_2)M_3, \\ &\vdots \end{aligned}$$

Seja  $M_0 = 1 - \lambda$ . Então,  $0 \leq M_0 < 1$  e, assim, podemos escrever também

$$a_1 = (1 - M_0)M_1,$$

o que conclui a demonstração do resultado. ■

**Exemplo 1.8.** Seja  $\{a_n\}_{n=2}^\infty = \left\{ \frac{1}{4} \right\}$ , cuja seqüência maximal de parâmetros é

$$\{M_n\}_{n=1}^\infty = \left\{ \frac{1}{2} \right\}.$$

- Escolhendo  $\lambda = 1$ , temos  $M_0 = 1 - \lambda = 0$ , ou seja, a seqüência encadeada

$$\left\{ \frac{1}{2}, \frac{1}{4}, \frac{1}{4}, \frac{1}{4}, \dots \right\}$$

tem como seqüência maximal de parâmetros

$$\left\{ 0, \frac{1}{2}, \frac{1}{2}, \frac{1}{2}, \dots \right\}.$$

Isto significa que a seqüência maximal de parâmetros é igual à seqüência minimal de parâmetros, ou seja, seqüência encadeada determinada unicamente.

- Escolhendo  $\lambda = \frac{1}{2}$ , temos  $M_0 = 1 - \lambda = \frac{1}{2}$ , ou seja, encontramos a mesma seqüência encadeada

$$\left\{ \frac{1}{4}, \frac{1}{4}, \frac{1}{4}, \frac{1}{4}, \dots \right\}.$$

## 1.4 Polinômios ortogonais na reta real

Entre os polinômios associados a relações de recorrência de três termos estão os polinômios ortogonais. As aplicações de tais polinômios às ciências aplicadas são muitas e novas aplicações surgem a todo momento (Gautschi [20]).

Nesta seção, apresentamos alguns dos principais resultados sobre polinômios ortogonais na reta real. Suas demonstrações podem ser encontradas nos textos clássicos de Chihara [13] e Szegő [48]. Para um texto mais recente, veja o livro de Ismael [24]. Para um texto em português, veja Andrade e outros [2].

**Definição 1.11.** Dada uma medida positiva  $\phi$  em  $(a, b)$  (como na Definição 1.4) definimos o produto interno  $\langle \cdot, \cdot \rangle_\phi$  da seguinte forma:

$$\langle f, g \rangle_\phi = \int_a^b f(x)g(x)d\phi(x),$$

onde  $f$  e  $g$  são funções contínuas no intervalo  $(a, b)$ .

**Definição 1.12.** Uma seqüência de polinômios  $\{P_n\}_{n=0}^\infty$ , com  $P_n$  de grau exatamente  $n$ , é chamada seqüência de polinômios ortogonais com relação à medida  $\phi$  no intervalo  $(a, b)$  se

$$\langle P_n, P_m \rangle_\phi = \int_a^b P_n(x)P_m(x)d\phi(x) = \begin{cases} 0, & \text{se } n \neq m, \\ \rho_n > 0, & \text{se } n = m. \end{cases} \quad (1.4.10)$$

Usando o delta de Kronecker  $\delta_{m,n}$ , definido como  $\delta_{m,n} = 1$ , para  $m = n$ , e  $\delta_{m,n} = 0$ , para  $m \neq n$ , podemos escrever a definição anterior como

$$\langle P_m, P_n \rangle_\phi = \int_a^b P_m(x)P_n(x)d\phi(x) = \rho_n \delta_{m,n}. \quad (1.4.11)$$

Se  $\rho_n = 1$ , então a seqüência é chamada de seqüência de polinômios ortonormais.

Em termos de seus coeficientes, denotaremos os polinômios  $P_n$  por

$$P_n(x) = \sum_{j=0}^n a_{n,j} x^j, \quad \text{com } a_{n,n} \neq 0.$$

Como  $\{P_n\}_{n=0}^\infty$  é uma seqüência de polinômios e  $P_n$  é de grau exatamente  $n$ , então  $P_0, P_1, \dots, P_n$  formam uma base para o espaço dos polinômios de grau  $n$ ,  $\mathbb{P}_n$  (Exercício 1.5).

Os polinômios ortogonais podem ser definidos de diferentes maneiras (Exercício 1.6). Podemos dizer, equivalentemente, que  $\{P_n\}_{n=0}^\infty$  é uma seqüência de polinômios ortogonais com relação a  $\phi$  em  $(a, b)$  se

$$\langle P_n, \pi \rangle_\phi = \int_a^b P_n(x) \pi(x) d\phi(x) = \begin{cases} 0, & \forall \text{ polinômio } \pi \text{ de grau } \leq n-1, \\ \tilde{\rho}_n \neq 0, & \forall \text{ polinômio } \pi \text{ de grau } n, \end{cases}$$

ou, se

$$\langle x^m, P_n \rangle_\phi = \int_a^b x^m P_n(x) d\phi(x) = \begin{cases} 0, & \text{se } m = 0, 1, \dots, n-1, \\ \tilde{\rho}_n \neq 0, & \text{se } m = n. \end{cases} \quad (1.4.12)$$

Sejam  $\{T_n\}_{n=0}^\infty$  e  $\{P_n\}_{n=0}^\infty$  duas seqüências de polinômios ortogonais no intervalo  $(a, b)$  com relação à medida  $\phi$ . Então,

$$T_j(x) = c_j P_j(x), \quad j = 0, 1, \dots,$$

onde  $c_j$  é uma constante que depende apenas de  $j$  (Exercício 1.7).

Com esse resultado, podemos observar que a unicidade da seqüência de polinômios ortogonais com relação a uma medida  $\phi$  vale se for imposta alguma condição de normalização, por exemplo, que são polinômios mônicos, isto é,  $a_{n,n} = 1$ .

Em Chihara [13] encontramos o resultado a seguir.

**Teorema 1.9.** *Com os momentos  $\mu_k$ ,  $k = 0, 1, \dots$ , definidos por (1.1.1), os determinantes de Hankel  $H_n$ , definidos por (1.1.3), são positivos.*

Deixamos a demonstração desse resultado a cargo do leitor (Exercício 1.8).

Dada uma medida positiva  $\phi$ , o Teorema 1.9 garante a existência da seqüência de polinômios ortogonais pois, como os determinantes de Hankel são não nulos e  $a_{n,n} \neq 0$ , utilizando as equações (1.4.12) para  $m = 0, 1, \dots, n-1, n$  e escrevendo  $P_n$  em termos de seus coeficientes, obtemos o sistema de equações lineares

$$\begin{cases} a_{n,0}\mu_0 + a_{n,1}\mu_1 + \dots + a_{n,n}\mu_n = 0 \\ a_{n,0}\mu_1 + a_{n,1}\mu_2 + \dots + a_{n,n}\mu_{n+1} = 0 \\ \vdots \\ a_{n,0}\mu_n + a_{n,1}\mu_{n+1} + \dots + a_{n,n}\mu_{2n} = \tilde{\rho}_n \end{cases}$$

Substituindo a última equação desse sistema por  $a_{n,0} + a_{n,1}x + \dots + a_{n,n}x^n = P_n(x)$  e resolvendo o sistema resultante pela regra de Cramer, segue que

$$P_n(x) = \frac{a_{n,n}}{H_n} \begin{vmatrix} \mu_0 & \mu_1 & \dots & \mu_n \\ \mu_1 & \mu_2 & \dots & \mu_{n+1} \\ \vdots & \vdots & \ddots & \vdots \\ \mu_{n-1} & \mu_n & \dots & \mu_{2n-1} \\ 1 & x & \dots & x^n \end{vmatrix}.$$

### 1.4.1 Propriedades dos polinômios ortogonais

Polinômios ortogonais satisfazem a muitas propriedades interessantes e, por isso, são largamente utilizados. Uma delas é que seus zeros são reais, distintos e pertencem ao intervalo  $(a, b)$ .

Como dissemos anteriormente, os polinômios ortogonais satisfazem a uma relação de recorrência de três termos como a dada no teorema a seguir.

**Teorema 1.10.**

$$P_{n+1}(x) = (\gamma_{n+1}x - \beta_{n+1})P_n(x) - \alpha_{n+1}P_{n-1}(x), \quad n \geq 1, \quad (1.4.13)$$

com as condições iniciais  $P_0(x) = 1$  e  $P_1(x) = \gamma_1x - \beta_1$ , onde  $\beta_n, \gamma_n, \alpha_{n+1} \in \mathbb{R}$ ,  $n \geq 1$ , e

$$\gamma_{n+1} = \frac{a_{n+1,n+1}}{a_{n,n}}, \quad \beta_{n+1} = \gamma_{n+1} \frac{\langle xP_n, P_n \rangle_\phi}{\langle P_n, P_n \rangle_\phi}, \quad n \geq 0,$$

e

$$\alpha_{n+1} = \frac{\gamma_{n+1}}{\gamma_n} \frac{\langle P_n, P_n \rangle_\phi}{\langle P_{n-1}, P_{n-1} \rangle_\phi}, \quad n \geq 1.$$

Observe que  $\gamma_n \neq 0$ ,  $n \geq 1$ , e  $\alpha_n \neq 0$ ,  $n \geq 2$ . A demonstração desse resultado fica a cargo do leitor no Exercício 1.9.

Uma importante consequência do teorema anterior é o resultado a seguir (Exercício 1.10).

**Teorema 1.11** (Identidade de Christoffel-Darboux). *Seja  $\{p_n\}_{n=0}^\infty$  uma seqüência de polinômios ortonormais. Então, eles satisfazem à seguinte identidade:*

$$\sum_{k=0}^n p_k(x)p_k(y) = \frac{1}{\gamma_{n+1}} \frac{p_{n+1}(x)p_n(y) - p_n(x)p_{n+1}(y)}{x - y}. \quad (1.4.14)$$

Se somarmos e subtraírmos  $p_{n+1}(x)p_n(x)$  ao numerador do segundo membro da Identidade de Christoffel-Darboux (1.4.14), obtemos

$$\sum_{k=0}^n p_k(x)p_k(y) = \frac{1}{\gamma_{n+1}} \frac{p_n(x)(p_{n+1}(x) - p_{n+1}(y)) - p_{n+1}(x)(p_n(x) - p_n(y))}{x - y}.$$

Fazendo  $y \rightarrow x$  em ambos os membros da igualdade anterior, concluímos que

$$\sum_{k=0}^n (p_k(x))^2 = \frac{1}{\gamma_{n+1}} [p_n(x)(p_{n+1}(x))' - p_{n+1}(x)(p_n(x))'] > 0, \quad \forall x \in \mathbb{R}. \quad (1.4.15)$$

Com a propriedade (1.4.15) é possível mostrar a propriedade de entrelaçamento dos zeros dos polinômios ortogonais (Exercício 1.11), ou seja, se  $x_{n,1} < x_{n,2} < \dots < x_{n,n}$  são os  $n$  zeros do polinômio ortogonal  $P_n$  em ordem crescente e  $x_{n-1,1} < x_{n-1,2} < \dots < x_{n-1,n-1}$  são os  $n - 1$  zeros de  $P_{n-1}$ , também em ordem crescente, então

$$x_{n,k} < x_{n-1,k} < x_{n,k+1}, \quad k = 1, 2, \dots, n - 1.$$

**Definição 1.13.** *Dada uma seqüência de polinômios ortogonais  $\{P_n\}_{n=0}^\infty$ , definimos polinômio associado a  $P_n$  por*

$$Q_n(x) = \int_a^b \frac{P_n(t) - P_n(x)}{t - x} d\phi(t), \quad n \geq 0. \quad (1.4.16)$$

Os polinômios  $Q_n$  são polinômios de grau exatamente  $n-1$  para  $n \geq 1$  (Exercício 1.12).

Os polinômios associados  $Q_n$  satisfazem à mesma relação de recorrência dos polinômios ortogonais  $P_n$ , mas com condições iniciais  $Q_0(x) = 0$  e  $Q_1(x) = \gamma_1 \mu_0$ .

Esses polinômios são bastante utilizados no cálculo dos pesos das fórmulas de quadratura gaussianas (veja Seção 4.1).

Sem perda de generalidade, a partir de agora consideraremos os polinômios ortogonais  $P_n$  na forma mônica, ou seja, com coeficiente do termo de maior grau igual a 1. Nesse caso, os polinômios  $P_n$  e  $Q_n$  satisfazem, respectivamente, às seguintes relações de recorrência:

$$\begin{aligned} P_{n+1}(x) &= (x - \beta_{n+1})P_n(x) - \alpha_{n+1}P_{n-1}(x), \\ Q_{n+1}(x) &= (x - \beta_{n+1})Q_n(x) - \alpha_{n+1}Q_{n-1}(x), \end{aligned} \quad n \geq 1, \quad (1.4.17)$$

com  $P_0(x) = 1$ ,  $P_1(x) = x - \beta_1$ ,  $Q_0(x) = 0$  e  $Q_1(x) = \mu_0$ , onde

$$\beta_{n+1} = \frac{\langle xP_n, P_n \rangle_\phi}{\langle P_n, P_n \rangle_\phi}, \quad n \geq 0, \quad \text{e} \quad \alpha_{n+1} = \frac{\langle P_n, P_n \rangle_\phi}{\langle P_{n-1}, P_{n-1} \rangle_\phi}, \quad n \geq 1. \quad (1.4.18)$$

Observe que  $\alpha_n > 0$  para  $n \geq 2$ .

Como  $\alpha_{n+1} = \frac{\rho_n}{\rho_{n-1}}$ , podemos escrever

$$\rho_n = \langle P_n, P_n \rangle_\phi = \alpha_{n+1}\rho_{n-1} = \alpha_{n+1}\alpha_n \cdots \alpha_2\mu_0, \quad n \geq 1,$$

com  $\rho_0 = \mu_0$ .

Utilizando as fórmulas de recorrência (1.4.17) para os polinômios  $P_n$  e  $Q_n$ , podemos mostrar que (Exercício 1.14)

$$P_{n+1}(x)Q_n(x) - P_n(x)Q_{n+1}(x) = -\alpha_{n+1} \cdots \alpha_3\alpha_2\mu_0 \neq 0.$$

Com esse resultado, é fácil mostrar que entre dois zeros consecutivos do polinômio  $P_n$  existe um único zero do polinômio  $Q_n$ , ou seja,

$$x_{n,k} < y_{n,k} < x_{n,k+1}, \quad k = 1, 2, \dots, n-1,$$

lembrando que  $x_{n,k}$ ,  $k = 1, 2, \dots, n$ , são os zeros de  $P_n$  em ordem crescente e  $y_{n,k}$ ,  $k = 1, 2, \dots, n-1$ , os zeros de  $Q_n$ , também em ordem crescente (Exercício 1.15).

Se considerarmos a sequência de polinômios ortonormais  $\{p_n\}_{n=0}^\infty$ , com  $p_n(x) = \sum_{k=0}^n \hat{a}_{n,k} x^k$ , como  $\langle p_n, p_n \rangle_\phi = 1$ , a relação de recorrência (1.4.13) para os polinômios ortonormais, torna-se

$$p_{n+1}(x) = (\hat{\gamma}_{n+1}x - \hat{\beta}_{n+1})p_n(x) - \hat{\alpha}_{n+1}p_{n-1}(x), \quad n \geq 0, \quad (1.4.19)$$

onde  $p_0(x) = 1$ ,  $p_{-1}(x) = 0$ ,  $\hat{\alpha}_{n+1}$ ,  $\hat{\beta}_{n+1}$ ,  $\hat{\gamma}_n \in \mathbb{R}$ ,  $n \geq 1$ , e

$$\hat{\gamma}_{n+1} = \frac{\hat{a}_{n+1,n+1}}{\hat{a}_{n,n}}, \quad \hat{\beta}_{n+1} = \hat{\gamma}_{n+1} \langle xp_n, p_n \rangle_\phi, \quad \hat{\alpha}_{n+1} = \frac{\hat{\gamma}_{n+1}}{\hat{\gamma}_n}.$$

Usando o fato de que os polinômios ortonormais  $p_n$  podem ser obtidos dos polinômios mônicos  $P_n$  fazendo-se  $p_n(x) = \hat{a}_{n,n}P_n(x)$ , sua relação de recorrência pode ser escrita como

$$xp_n(x) = \sqrt{\alpha_{n+1}} p_{n-1}(x) + \beta_{n+1}p_n(x) + \sqrt{\alpha_{n+2}} p_{n+1}(x), \quad n \geq 0.$$

Fazendo  $n = 0, 1, 2, \dots, m - 1$ , obtemos

$$x \begin{pmatrix} p_0(x) \\ p_1(x) \\ p_2(x) \\ \vdots \\ p_{m-2}(x) \\ p_{m-1}(x) \end{pmatrix} = \begin{pmatrix} \beta_1 & \sqrt{\alpha_2} & 0 & 0 & \dots & 0 & 0 \\ \sqrt{\alpha_2} & \beta_2 & \sqrt{\alpha_3} & 0 & \dots & 0 & 0 \\ 0 & \sqrt{\alpha_3} & \beta_3 & \sqrt{\alpha_4} & \dots & 0 & 0 \\ \vdots & \vdots & \vdots & \vdots & \ddots & \vdots & \vdots \\ 0 & 0 & 0 & 0 & \dots & \beta_{m-1} & \sqrt{\alpha_m} \\ 0 & 0 & 0 & 0 & \dots & \sqrt{\alpha_m} & \beta_m \end{pmatrix} \begin{pmatrix} p_0(x) \\ p_1(x) \\ p_2(x) \\ \vdots \\ p_{m-2}(x) \\ p_{m-1}(x) \end{pmatrix} + \begin{pmatrix} 0 \\ 0 \\ 0 \\ \vdots \\ 0 \\ \sqrt{\hat{\alpha}_{m+1}} p_m(x) \end{pmatrix}.$$

Substituindo  $x$  por  $x_{m,k}$ , zero do polinômio  $p_m$ , o sistema de equações lineares torna-se

$$x_{m,k} \mathbf{u}_{m,k} = \mathbf{J}_m \mathbf{u}_{m,k}, \quad k = 1, 2, \dots, m,$$

onde

$$\mathbf{J}_m = \begin{pmatrix} \beta_1 & \sqrt{\alpha_2} & 0 & 0 & \dots & 0 & 0 \\ \sqrt{\alpha_2} & \beta_2 & \sqrt{\alpha_3} & 0 & \dots & 0 & 0 \\ 0 & \sqrt{\alpha_3} & \beta_3 & \sqrt{\alpha_4} & \dots & 0 & 0 \\ \vdots & \vdots & \vdots & \vdots & \ddots & \vdots & \vdots \\ 0 & 0 & 0 & 0 & \dots & \beta_{m-1} & \sqrt{\alpha_m} \\ 0 & 0 & 0 & 0 & \dots & \sqrt{\alpha_m} & \beta_m \end{pmatrix}, \quad (1.4.20)$$

que é conhecida por matriz de Jacobi. Portanto, os zeros  $x_{m,k}$  dos polinômios ortogonais são os autovalores da matriz  $\mathbf{J}_m$ .

Se  $\phi$  é uma medida simétrica em  $(-b, b)$ , então valem as seguintes propriedades (ver Chihara [13]):

- $\mu_{2n+1} = 0, \quad n = 0, 1, \dots;$
- $\beta_n = 0, \quad n = 1, 2, \dots;$
- $P_n(-x) = (-1)^n P_n(x), \quad n = 0, 1, \dots;$
- $x_{n,k} = -x_{n,n-k+1}, \quad k = 1, 2, \dots, n.$

Consideremos, agora, o problema inverso, ou seja, dados polinômios definidos por uma relação de recorrência de três termos do tipo (1.4.17), é possível encontrar uma medida positiva  $\psi$  com relação à qual esses polinômios são ortogonais? O famoso Teorema de Favard (veja [13, Teorema 4.4]) responde esta questão.

**Teorema 1.12** (Teorema de Favard). *Sejam  $\{\beta_n\}_{n=1}^\infty$  e  $\{\alpha_n\}_{n=1}^\infty$  seqüências de números complexos arbitrários e seja  $\{Q_n\}_{n=0}^\infty$  uma seqüência de polinômios definida pela fórmula de recorrência*

$$Q_n(x) = (x - \beta_n)Q_{n-1}(x) - \alpha_n Q_{n-2}(x), \quad n \geq 1,$$

com  $Q_{-1}(x) = 0$  e  $Q_0(x) = 1$ . Então, existe uma medida  $\phi$  tal que

$$\int_a^b d\phi(x) = \alpha_1 \quad \text{e} \quad \int_a^b Q_m(x)Q_n(x)d\phi(x) = 0 \quad \text{para} \quad m \neq n.$$

$\phi$  é quase-definida e  $\{Q_n(x)\}$  é a correspondente sequência de polinômios ortogonais mônicos se, e somente se,  $\alpha_n \neq 0$ , enquanto que  $\phi$  é definida positiva se, e somente se, os coeficientes  $\beta_n$  são reais e  $\alpha_n > 0$  para  $n \geq 1$ .

### 1.4.2 Polinômios ortogonais clássicos

Segundo Chihara, os polinômios de Hermite, Laguerre e Jacobi (incluindo os casos especiais de Legendre, Gegenbauer e Chebyshev) são conhecidos como polinômios ortogonais clássicos. Eles são exemplos de polinômios ortogonais mais conhecidos e estudados.

#### • Polinômios de Jacobi

Os polinômios de Jacobi  $P_n^{(\alpha, \beta)}$ , com  $\alpha, \beta > -1$ , são ortogonais no intervalo  $(-1, 1)$  com relação à medida  $d\phi(x) = (1-x)^\alpha(1+x)^\beta dx$  e podem ser dados pela fórmula de Rodrigues

$$P_n^{(\alpha, \beta)}(x) = \frac{(-1)^n}{2^n n!} (1-x)^{-\alpha} (1+x)^{-\beta} \frac{d^n}{dx^n} [(1-x)^{\alpha+n} (1+x)^{\beta+n}].$$

Cálculos diretos, usando a fórmula de Rodrigues, mostram que o coeficiente do termo de maior grau do polinômio  $P_n^{(\alpha, \beta)}$  é dado por

$$a_{n,n}^{(\alpha, \beta)} = \frac{\Gamma(2n + \alpha + \beta + 1)}{2^n n! \Gamma(n + \alpha + \beta + 1)}.$$

A sequência de polinômios de Jacobi na forma mônica, ou seja,  $\left\{ \frac{P_n^{(\alpha, \beta)}}{a_{n,n}^{(\alpha, \beta)}} \right\}_{n=0}^\infty$  satisfaz à seguinte relação de recorrência de três termos

$$P_{n+1}^{(\alpha, \beta)}(x) = \left( x - \frac{\beta^2 - \alpha^2}{(2n + \alpha + \beta + 2)(2n + \alpha + \beta)} \right) P_n^{(\alpha, \beta)}(x) - \frac{4n(n + \alpha)(n + \beta)(n + \alpha + \beta)}{(2n + \alpha + \beta + 1)(2n + \alpha + \beta)^2(2n + \alpha + \beta - 1)} P_{n-1}^{(\alpha, \beta)}(x), \quad n \geq 1,$$

com  $P_0^{(\alpha, \beta)}(x) = 1$  e  $P_1^{(\alpha, \beta)}(x) = x - \frac{\beta - \alpha}{\alpha + \beta + 2}$ .

Na forma mônica, eles também satisfazem à relação diferencial  $\frac{d}{dx} P_n^{(\alpha, \beta)}(x) = n P_{n-1}^{(\alpha+1, \beta+1)}(x)$ . Além disso,

$$\langle P_n^{(\alpha, \beta)}, P_n^{(\alpha, \beta)} \rangle_\phi = \frac{2^{2n+\alpha+\beta+1} n! \Gamma(n + \alpha + 1) \Gamma(n + \beta + 1) \Gamma(n + \alpha + \beta + 1)}{\Gamma(2n + \alpha + \beta + 2) \Gamma(2n + \alpha + \beta + 1)}, \quad (1.4.21)$$

onde  $\Gamma$  é a conhecida função Gama definida por

$$\Gamma(x) = \int_0^\infty e^{-t} t^{x-1} dt, \quad \text{para} \quad \text{Re}(x) > 0.$$

Note que  $\Gamma(x+1) = x\Gamma(x)$  e, se  $x \in \mathbb{N}$ , então  $\Gamma(x+1) = x!$ . Para mais estudos sobre a função Gama recomendamos os textos [6, 33, 48].



• **Polinômios de Gegenbauer**

Quando  $\alpha = \beta = \lambda - 1/2$ , os polinômios de Jacobi são conhecidos por polinômios de Gegenbauer ou polinômios ultraesféricos. Esses polinômios são, então, ortogonais em  $(-1, 1)$  com relação à medida  $d\phi(x) = (1 - x^2)^{\lambda-1/2}dx$ ,  $\lambda > -1/2$ , e denotados por  $G_n^{(\lambda)}$ . A relação de recorrência de três termos para esses polinômios na forma mônica é dada por

$$G_{n+1}^{(\lambda)}(x) = xG_n^{(\lambda)}(x) - \frac{n(2\lambda + n - 1)}{4(\lambda + n)(\lambda + n - 1)}G_{n-1}^{(\lambda)}(x), \quad n \geq 1, \quad (1.4.22)$$

com  $G_0^{(\lambda)}(x) = 1$  e  $G_1^{(\lambda)}(x) = x$ .

• **Polinômios de Legendre**

Os polinômios de Legendre,  $P_n$ , são um caso especial dos polinômios de Jacobi com  $\alpha = \beta = 0$ . Assim, são ortogonais com relação à medida  $d\phi(x) = dx$  no intervalo  $(-1, 1)$ .

A relação de recorrência de três termos para os polinômios de Legendre na forma mônica é

$$P_{n+1}(x) = xP_n(x) - \frac{n^2}{(2n+1)(2n-1)}P_{n-1}(x), \quad n \geq 1,$$

com  $P_0(x) = 1$  e  $P_1(x) = x$ .

Além disso, fazendo  $\alpha = \beta = 0$  em (1.4.21), obtemos

$$\rho_n = \langle P_n, P_n \rangle_\phi = \frac{2^{2n+1}(n!)^4}{(2n+1)!(2n)!}.$$

• **Polinômios de Chebyshev**

Os polinômios de Chebyshev de primeira espécie,  $T_n$ , são ortogonais com relação à medida  $d\phi(x) = \frac{1}{\sqrt{1-x^2}}dx$  no intervalo  $(-1, 1)$  e podem ser dados por

$$T_n(x) = \cos(n \arccos x), \quad x \in (-1, 1), \quad n = 0, 1, 2, \dots \quad (1.4.23)$$

Tomando  $x = \cos(\theta)$ , com  $\theta \in (0, \pi)$ , podemos escrever  $T_n(x) = \cos(n\theta)$ ,  $n \geq 0$ , e, usando relações trigonométricas, facilmente mostra-se que

$$T_{n+1}(x) = 2xT_n(x) - T_{n-1}(x), \quad n \geq 1,$$

com  $T_0(x) = 1$  e  $T_1(x) = x$ . Utilizando indução finita em  $n$ , encontramos que o coeficiente do termo de maior grau do polinômio  $T_n$ ,  $n \geq 1$ , é  $2^{n-1}$ . Além disso, esses polinômios satisfazem

$$\langle T_n, T_m \rangle_\phi = \int_{-1}^1 T_n(x)T_m(x) \frac{1}{\sqrt{1-x^2}}dx = \begin{cases} 0, & \text{se } m \neq n, \\ \frac{\pi}{2}, & \text{se } m = n \neq 0, \\ \pi, & \text{se } m = n = 0. \end{cases}$$

• **Polinômios de Laguerre**

Os polinômios de Laguerre,  $L_n^{(\alpha)}$ , são ortogonais com relação à medida  $d\phi(x) = x^\alpha e^{-x} dx$ ,  $\alpha > -1$ , no intervalo  $[0, \infty)$  e podem ser dados pela fórmula de Rodrigues

$$L_n^{(\alpha)}(x) = (-1)^n x^{-\alpha} e^x \frac{d^n}{dx^n} [x^\alpha e^{-x}].$$

Cálculos diretos mostram que, nessa forma, os polinômios  $L_n^{(\alpha)}$  são mônicos.

Esses polinômios satisfazem à relação de recorrência de três termos

$$L_{n+1}^{(\alpha)}(x) = [x - (2n + \alpha + 1)]L_n^{(\alpha)}(x) - n(n + \alpha)L_{n-1}^{(\alpha)}(x), \quad n \geq 1,$$

com  $L_0^{(\alpha)}(x) = 1$  e  $L_1^{(\alpha)}(x) = x - (\alpha + 1)$ .

Temos, ainda, que  $\rho_n = \langle L_n^{(\alpha)}, L_n^{(\alpha)} \rangle_\phi = \Gamma(n + \alpha + 1)n!$  e  $\frac{d}{dx}L_n^{(\alpha)}(x) = nL_{n-1}^{(\alpha+1)}(x)$ .

• **Polinômios de Hermite**

Os polinômios de Hermite,  $H_n$ , são ortogonais no intervalo  $(-\infty, \infty)$  com relação à medida  $d\phi(x) = e^{-x^2} dx$  e dados explicitamente pela expressão

$$H_n(x) = \sum_{m=0}^{\lfloor n/2 \rfloor} \frac{(-1)^m n! x^{n-2m}}{4^m m! (n-2m)!},$$

onde  $\lfloor z \rfloor$  denota o maior inteiro menor ou igual a  $z$ . Também podem ser dados pela fórmula de Rodrigues

$$H_n(x) = \frac{(-1)^n}{2^n} e^{x^2} \frac{d^n}{dx^n} [e^{-x^2}].$$

Essas fórmulas apresentam os polinômios de Hermite na forma mônica. A relação de recorrência satisfeita por esses polinômios é

$$H_{n+1}(x) = xH_n(x) - \frac{n}{2}H_{n-1}(x), \quad n \geq 1,$$

com  $H_0(x) = 1$  e  $H_1(x) = x$ .

Além disso,  $\rho_n = \langle H_n, H_n \rangle_\phi = \frac{\sqrt{\pi}n!}{2^n}$  e  $\frac{d}{dx}H_n(x) = nH_{n-1}(x)$ .

### 1.4.3 Sequências encadeadas positivas e polinômios ortogonais

Seja  $\{P_n\}_{n=0}^\infty$  uma sequência de polinômios ortogonais mônicos com relação a  $\phi$  no intervalo  $(a, b)$ .

Consideremos a sequência  $\{a_n(x)\}$  definida por

$$a_n(x) = \frac{\alpha_{n+1}}{(\beta_n - x)(\beta_{n+1} - x)}, \quad n \geq 1, \quad (1.4.24)$$

onde  $\beta_n$  e  $\alpha_{n+1}$ ,  $n \geq 1$ , são os coeficientes da correspondente relação de recorrência (1.4.17).

Seja  $x \notin (a, b)$  tal que  $\{a_n(x)\}$  é a sequência encadeada dada por (1.4.24). Então, a correspondente sequência minimal de parâmetros  $\{m_k(x)\}$  é dada por

$$m_k(x) = 1 - \frac{P_{k+1}(x)}{(x - \beta_{k+1})P_k(x)}, \quad k = 0, 1, 2, \dots \quad (1.4.25)$$

De fato, dividindo a relação de recorrência de três termos (1.4.17) por  $P_n$ , com  $x \notin (a, b)$ , obtemos

$$\frac{P_{n+1}(x)}{P_n(x)} = (x - \beta_{n+1}) - \alpha_{n+1} \frac{P_{n-1}(x)}{P_n(x)}.$$

Então,

$$\alpha_{n+1} = \frac{P_n(x)}{P_{n-1}(x)} \left( (x - \beta_{n+1}) - \frac{P_{n+1}(x)}{P_n(x)} \right)$$

e, ainda,

$$\frac{\alpha_{n+1}}{(x - \beta_n)(x - \beta_{n+1})} = \frac{P_n(x)}{(x - \beta_n)P_{n-1}(x)} \left( 1 - \frac{P_{n+1}(x)}{(x - \beta_{n+1})P_n(x)} \right).$$

Portanto, de (1.4.24),

$$a_n(x) = \frac{P_n(x)}{(x - \beta_n)P_{n-1}(x)} \left( 1 - \frac{P_{n+1}(x)}{(x - \beta_{n+1})P_n(x)} \right), \quad n \geq 1.$$

Fazendo

$$m_n(x) = 1 - \frac{P_{n+1}(x)}{(x - \beta_{n+1})P_n(x)},$$

obtemos

$$1 - m_{n-1}(x) = \frac{P_n(x)}{(x - \beta_n)P_{n-1}(x)}.$$

Daí,

$$a_n(x) = (1 - m_{n-1}(x))m_n(x), \quad n \geq 1,$$

onde  $m_n(x)$  é dado exatamente por (1.4.25).

Portanto, a sequência  $\{a_n(x)\}$  é uma sequência encadeada, cuja sequência minimal de parâmetros é  $\{m_k(x)\}$ , pois  $m_0(x) = 0$ .

**Observação:** Pela definição de sequência encadeada e para  $x \notin (a, b)$ , temos

$$1 - m_n(x) = \frac{P_{n+1}(x)}{(x - \beta_{n+1})P_n(x)}, \quad n \geq 0.$$

Como  $m_0(x) = 0$  e  $0 < m_k(x) < 1$ ,  $k \geq 1$ , então  $0 < 1 - m_n(x) < 1$ ,  $n \geq 1$ . Logo,

$$0 < \frac{P_{n+1}(x)}{(x - \beta_{n+1})P_n(x)} < 1, \quad n \geq 1.$$

Podemos ainda escrever  $m_n(x)$  da seguinte forma:

$$m_n(x) = 1 - \frac{P_{n+1}(x)}{(x - \beta_{n+1})P_n(x)} = \frac{(x - \beta_{n+1})P_n(x) - P_{n+1}(x)}{(x - \beta_{n+1})P_n(x)}.$$

Da relação de recorrência de três termos para os polinômios  $P_n$ , obtemos  $m_0(x) = 0$  e

$$m_n(x) = \frac{\alpha_{n+1}P_{n-1}(x)}{(x - \beta_{n+1})P_n(x)}, \quad n \geq 1, \quad x \notin (a, b).$$

**Exemplo 1.9.** Consideremos os coeficientes da relação de recorrência (1.4.22) dos polinômios de Gegenbauer, que são ortogonais no intervalo  $(-1, 1)$ , ou seja,

$$\beta_n^{(\lambda)} = 0 \quad \text{e} \quad \alpha_{n+1}^{(\lambda)} = \frac{n(2\lambda + n - 1)}{4(\lambda + n)(\lambda + n - 1)}, \quad n \geq 1,$$

com  $\lambda > -1/2$ .

Tomando  $x \notin (-1, 1)$ , por exemplo  $x = 1$ , temos

$$a_n(1) = \frac{\alpha_{n+1}^{(\lambda)}}{(\beta_n^{(\lambda)} - 1)(\beta_{n+1}^{(\lambda)} - 1)} = \alpha_{n+1}^{(\lambda)}, \quad n \geq 1.$$

Portanto, a sequência  $\{\alpha_{n+1}^{(\lambda)}\}_{n=1}^{\infty}$  é uma sequência encadeada positiva com sequência minimal de parâmetros  $\{m_n^{(\lambda)}\}_{n=0}^{\infty}$  dada por

$$m_n^{(\lambda)} = m_n(1) = 1 - \frac{G_{n+1}^{(\lambda)}(1)}{G_n^{(\lambda)}(1)}, \quad n \geq 0.$$

Usando o princípio da indução finita é possível mostrar que

$$G_{n+1}^{(\lambda)}(1) = \frac{2\lambda + n}{2(\lambda + n)} G_n^{(\lambda)}(1), \quad n \geq 0, \quad (1.4.26)$$

com  $G_0^{(\lambda)}(1) = 1$  (Exercício 1.17).

De (1.4.26), vemos que

$$m_n^{(\lambda)} = 1 - \frac{G_{n+1}^{(\lambda)}(1)}{G_n^{(\lambda)}(1)} = 1 - \frac{2\lambda + n}{2(\lambda + n)} = \frac{n}{2(\lambda + n)}, \quad n \geq 0.$$

Portanto,

$$\alpha_{n+1}^{(\lambda)} = \frac{n(2\lambda + n - 1)}{4(\lambda + n)(\lambda + n - 1)} = (1 - m_{n-1}^{(\lambda)})m_n^{(\lambda)}, \quad n \geq 1.$$

## 1.5 Polinômios ortogonais no círculo unitário

Os polinômios para-ortogonais são polinômios que, sob certas condições, satisfazem a uma relação de recorrência da forma (1). Como esses polinômios estão associados aos polinômios ortogonais no círculo unitário, faremos, nesta seção, um breve estudo sobre eles, utilizando as referências [27] e [39]. Também conhecidos como polinômios de Szegő, em homenagem a G. Szegő que os introduziu na primeira metade do século XX, os polinômios ortogonais no círculo unitário não satisfazem a uma relação de recorrência da forma (1).

Consideremos  $\psi$  uma medida positiva no círculo unitário

$$\mathcal{C} = \{z \in \mathbb{C} : |z| = 1\},$$

ou seja,  $\psi(e^{i\theta})$ , definida em  $0 \leq \theta \leq 2\pi$ , é uma função real, limitada e não decrescente, com infinitos pontos de aumento em  $\mathcal{C}$ , onde os momentos (trigonométricos) são dados por

$$\mu_m = \int_{\mathcal{C}} z^{-m} d\psi(z), \quad m = 0, \pm 1, \pm 2, \dots \quad (1.5.27)$$

Em alguns trabalhos sobre o assunto, os momentos trigonométricos são, equivalentemente, definidos por  $\mu_m = \int_{\mathcal{C}} z^{-m} d\psi(z) = \int_0^{2\pi} e^{-im\theta} d\psi(e^{i\theta})$ .

Observe que

$$\bar{\mu}_{-n} = \int_0^{2\pi} \overline{e^{in\theta}} d\psi(e^{i\theta}) = \int_0^{2\pi} e^{-in\theta} d\psi(e^{i\theta}) = \mu_n, \quad n = 0, 1, 2, \dots \quad (1.5.28)$$

A medida  $\psi(e^{i\theta})$  induz uma outra medida  $\tilde{\psi}(\theta)$ , com suporte em  $[0, 2\pi]$ , que chamaremos, simplesmente, de  $\psi(\theta)$  e esta será a notação que adotaremos neste texto.

De posse da medida  $\psi$ , definimos o seguinte funcional linear

$$\mathcal{L}[z^m] = \int_{\mathcal{C}} z^m d\psi(z) = \mu_{-m}. \quad (1.5.29)$$

Como o suporte da medida  $\psi$  é infinito, isto é, o número de pontos de aumento de  $\psi$  em  $[0, 2\pi]$  é infinito (veja Definição 1.1), para qualquer  $f(e^{i\theta}) \geq 0$ ,  $f(e^{i\theta}) \not\equiv 0$  e contínua no suporte de  $\psi$ , temos

$$\mathcal{L}[f] = \int_0^{2\pi} f(e^{i\theta}) d\psi(\theta) > 0.$$

Em particular, se  $f$  é um polinômio, então

$$\mathcal{L}[|f|^2] = \int_0^{2\pi} f(e^{i\theta})\overline{f(e^{i\theta})} d\psi(\theta) > 0.$$

Assim, utilizando  $\mathcal{L}$ , definimos o produto interno

$$\langle f, g \rangle = \mathcal{L}[f(e^{i\theta})\overline{g(e^{i\theta})}] = \int_0^{2\pi} f(e^{i\theta})\overline{g(e^{i\theta})} d\psi(\theta). \quad (1.5.30)$$

Note que, para  $f(z) = \sum_{j=p}^q c_j z^j$ , com  $p \leq q \in \mathbb{Z}$  e  $c_j \in \mathbb{C}$ , usando (1.5.29), temos

$$\mathcal{L}[f] = \mathcal{L}\left[\sum_{j=p}^q c_j z^j\right] = \sum_{j=p}^q c_j \mu_{-j}. \quad (1.5.31)$$

Correspondente à sequência de momentos  $\{\mu_n\}_{-\infty}^{\infty}$ , podemos definir a seguinte matriz, conhecida como matriz de Toeplitz:

$$T_n = \begin{pmatrix} \mu_0 & \mu_{-1} & \cdots & \mu_{-n} \\ \mu_1 & \mu_0 & \cdots & \mu_{-n+1} \\ \vdots & \vdots & \ddots & \vdots \\ \mu_n & \mu_{n-1} & \cdots & \mu_0 \end{pmatrix}, \quad n = 0, 1, 2, \dots$$

O determinante da matriz  $T_n$  é conhecido como determinante de Toeplitz e é definido por

$$\Delta_{-1} = 1 \quad \text{e} \quad \Delta_n = \begin{vmatrix} \mu_0 & \mu_{-1} & \cdots & \mu_{-n} \\ \mu_1 & \mu_0 & \cdots & \mu_{-n+1} \\ \vdots & \vdots & \ddots & \vdots \\ \mu_n & \mu_{n-1} & \cdots & \mu_0 \end{vmatrix}, \quad n \geq 0. \quad (1.5.32)$$

**Definição 1.14.** Dizemos que um funcional linear  $\mathcal{L}$ , onde  $\mu_m = \mathcal{L}[z^{-m}]$ , é positivo-definido se

$$\Delta_n > 0, \quad n = 0, 1, 2, \dots,$$

e quase-definido se

$$\Delta_n \neq 0, \quad n = 0, 1, 2, \dots$$

Do produto interno (1.5.29) e de (1.5.30), vemos que, para todo polinômio de grau  $n$ ,  $n \geq 0$ ,  $\pi(z) = \sum_{k=0}^n c_k z^k$ , com  $c_j \in \mathbb{C}$  e  $c_n \neq 0$ , a norma  $\|\pi\|$  é dada por

$$\|\pi\| = \left( \sum_{k=0}^n \sum_{j=0}^n \bar{c}_k c_j \mu_{k-j} \right)^{1/2}.$$

De fato,

$$\begin{aligned} 0 < \|\pi\|^2 &= \langle \pi, \pi \rangle = \mathcal{L} \left[ \overline{\pi(z)} \pi(z) \right] = \mathcal{L} \left[ \sum_{k=0}^n \overline{c_k z^k} \sum_{j=0}^n c_j z^j \right] \\ &= \mathcal{L} \left[ \sum_{j=0}^n \sum_{k=0}^n \bar{c}_k c_j z^{j-k} \right] = \sum_{k=0}^n \sum_{j=0}^n \bar{c}_k c_j \mu_{k-j}. \end{aligned}$$

Escrevendo  $\|\pi\|^2$  na forma matricial, temos

$$\begin{aligned} \|\pi\|^2 &= \begin{pmatrix} \bar{c}_0 & \bar{c}_1 & \bar{c}_2 & \cdots & \bar{c}_n \end{pmatrix} \\ &\times \begin{pmatrix} \mu_0 & \mu_{-1} & \mu_{-2} & \cdots & \mu_{-n} \\ \mu_1 & \mu_0 & \mu_{-1} & \cdots & \mu_{-n+1} \\ \mu_2 & \mu_1 & \mu_0 & \cdots & \mu_{-n+2} \\ \vdots & \vdots & \vdots & \ddots & \vdots \\ \mu_n & \mu_{n-1} & \mu_{n-2} & \cdots & \mu_0 \end{pmatrix} \begin{pmatrix} c_0 \\ c_1 \\ c_2 \\ \vdots \\ c_n \end{pmatrix} > 0, \end{aligned}$$

ou seja,

$$\begin{pmatrix} \bar{c}_0 & \bar{c}_1 & \cdots & \bar{c}_n \end{pmatrix} T_n \begin{pmatrix} c_0 \\ c_1 \\ \vdots \\ c_n \end{pmatrix} > 0.$$

Disto, concluímos que  $T_n$  é positiva-definida e, então,  $\Delta_n > 0$  para  $n \geq 0$ . Assim,  $\mathcal{L}$  é um funcional linear positivo-definido.

**Definição 1.15.** Uma sequência  $\{\mu_n\}_{-\infty}^{\infty}$  de números complexos é hermitiana se, para  $n = 0, 1, 2, \dots$ ,  $\mu_n = \bar{\mu}_{-n}$  e é hermitiana positiva-definida se  $\Delta_n > 0$ ,  $n \geq 0$ .

De (1.5.28), observamos que, dada uma medida positiva no círculo unitário, a sequência de momentos  $\{\mu_n\}_{-\infty}^{\infty}$  definidos por (1.5.27) forma uma sequência hermitiana positiva-definida. Além disso, a matriz  $T_n$  é hermitiana, isto é,  $T_n = \overline{T_n^t} = T_n^H$ .

Agora, podemos definir os polinômios ortogonais com relação a  $\mathcal{L}$ , ou seja, os polinômios ortogonais no círculo unitário.

**Definição 1.16.** Dado um funcional linear  $\mathcal{L}$  positivo-definido (quase-definido), ou seja, se  $\Delta_n > 0$  ( $\Delta_n \neq 0$ ), uma seqüência de polinômios  $\{S_n\}_{n=0}^\infty$ , onde  $S_n$  é mônico de grau exatamente  $n$ , é chamada de seqüência de polinômios ortogonais com relação a  $\mathcal{L}$ , se

$$\langle S_n, S_m \rangle = \mathcal{L} \left[ S_n(z) \overline{S_m(z)} \right] = \begin{cases} 0, & \text{se } m \neq n, \\ \kappa_n^2 \neq 0, & \text{se } m = n. \end{cases} \quad (1.5.33)$$

Neste texto, vamos considerar apenas os polinômios  $S_n$  mônicos, isto é, com os coeficientes dos termos de maior grau iguais a 1.

Como no caso dos polinômios ortogonais na reta real, também prova-se que, para todo polinômio  $\pi_m$  de grau  $m \leq n$ ,

$$\langle S_n, \pi_m \rangle = \mathcal{L} \left[ S_n(z) \overline{\pi_m(z)} \right] = \begin{cases} 0, & \text{se } m < n, \\ \tilde{\kappa}_n \neq 0, & \text{se } m = n. \end{cases} \quad (1.5.34)$$

Deixamos a demonstração desse fato para o leitor (Exercício 1.19).

Escrevendo, para  $n \geq 0$ ,

$$S_n(z) = \sum_{k=0}^n c_{k,n} z^k, \quad c_{k,n} \in \mathbb{C}, \quad c_{n,n} = 1,$$

e usando (1.5.34) para  $n \geq 0$  e  $m = 0, 1, 2, \dots, n$ , obtemos

$$\langle S_n, z^m \rangle = \mathcal{L} \left[ S_n(z) \frac{1}{z^m} \right] = \sum_{k=0}^n c_{k,n} \mu_{m-k} = \begin{cases} 0, & \text{se } m < n, \\ \tilde{\kappa}_n \neq 0, & \text{se } m = n. \end{cases} \quad (1.5.35)$$

Note que (1.5.33) e (1.5.35) são definições equivalentes para os polinômios de Szegő (veja Exercício 1.20).

Fazendo  $m = 0, 1, 2, \dots, n$  em (1.5.35), obtemos o sistema de equações lineares

$$\begin{pmatrix} \mu_0 & \mu_{-1} & \cdots & \mu_{-n+1} & \mu_{-n} \\ \mu_1 & \mu_0 & \cdots & \mu_{-n+2} & \mu_{-n+1} \\ \vdots & \vdots & \ddots & \vdots & \cdots \\ \mu_{n-1} & \mu_{n-2} & \cdots & \mu_0 & \mu_{-1} \\ \mu_n & \mu_{n-1} & \cdots & \mu_1 & \mu_0 \end{pmatrix} \begin{pmatrix} c_{0,n} \\ c_{1,n} \\ \vdots \\ c_{n-1,n} \\ c_{n,n} \end{pmatrix} = \begin{pmatrix} 0 \\ 0 \\ \vdots \\ 0 \\ \tilde{\kappa}_n \end{pmatrix}. \quad (1.5.36)$$

Calculando  $c_{n,n}$  pela regra de Cramer, temos

$$1 = c_{n,n} = \frac{\tilde{\kappa}_n \Delta_{n-1}}{\Delta_n} \Rightarrow \tilde{\kappa}_n = \frac{\Delta_n}{\Delta_{n-1}}.$$

Logo,

$$\langle S_n, z^m \rangle = \begin{cases} 0, & \text{se } m = 0, 1, \dots, n-1, \\ \Delta_n / \Delta_{n-1}, & \text{se } m = n. \end{cases} \quad (1.5.37)$$

Substituindo a última linha do sistema (1.5.36) por  $S_n(z) = \sum_{k=0}^n c_{k,n} z^k$ , obtemos

o novo sistema linear

$$\begin{pmatrix} \mu_0 & \mu_{-1} & \cdots & \mu_{-n+1} & \mu_{-n} \\ \mu_1 & \mu_0 & \cdots & \mu_{-n+2} & \mu_{-n+1} \\ \vdots & \vdots & \ddots & \vdots & \cdots \\ \mu_{n-1} & \mu_{n-2} & \cdots & \mu_0 & \mu_{-1} \\ 1 & z & \cdots & z^{n-1} & z^n \end{pmatrix} \begin{pmatrix} c_{0,n} \\ c_{1,n} \\ \vdots \\ c_{n-1,n} \\ c_{n,n} \end{pmatrix} = \begin{pmatrix} 0 \\ 0 \\ \vdots \\ 0 \\ S_n(z) \end{pmatrix}.$$

Calculando  $c_{n,n}$  pelo mesmo método anterior, podemos escrever o polinômio  $S_n$  da seguinte forma:

$$S_n(z) = \frac{1}{\Delta_{n-1}} \begin{vmatrix} \mu_0 & \mu_{-1} & \cdots & \mu_{-n+1} & \mu_{-n} \\ \mu_1 & \mu_0 & \cdots & \mu_{-n+2} & \mu_{-n+1} \\ \vdots & \vdots & \ddots & \vdots & \vdots \\ \mu_{n-1} & \mu_{n-2} & \cdots & \mu_0 & \mu_{-1} \\ 1 & z & \cdots & z^{n-1} & z^n \end{vmatrix}. \quad (1.5.38)$$

A relação (1.5.38) mostra a existência e unicidade dos polinômios de Szegő na forma mônica, pois  $\Delta_{n-1} \neq 0$ , e também é uma forma de se construir esses polinômios.

### Polinômios Recíprocos

Os polinômios recíprocos têm um papel importante na teoria de polinômios ortogonais no círculo unitário.

**Definição 1.17.** *Se  $q_n$  é um polinômio de grau no máximo  $n$ , então o seu polinômio recíproco é definido por*

$$q_n^*(z) = z^n \overline{q_n(1/\bar{z})}.$$

Escrevendo  $q_n = \sum_{k=0}^n a_k z^k$ , obtemos

$$q_n^*(z) = z^n \overline{\sum_{k=0}^n a_k (1/\bar{z}^k)} = z^n \sum_{k=0}^n \bar{a}_k (1/z^k) = \sum_{k=0}^n \bar{a}_k z^{n-k}.$$

Usando a notação  $\bar{q}_n$ , que é o polinômio obtido de  $q_n$  conjugando-se apenas os coeficientes, podemos então escrever

$$q_n^*(z) = z^n \bar{q}_n(1/z).$$

Note que  $(q_n^*)^* = q_n$ . Com essa notação e como no círculo unitário  $\bar{z} = 1/z$ , podemos escrever

$$\langle S_n, S_m \rangle = \mathcal{L} [S_n(z) \overline{S_m(z)}] = \mathcal{L} [S_n(z) \bar{S}_m(\bar{z})] = \mathcal{L} [S_n(z) \bar{S}_m(1/z)].$$

Utilizando a forma (1.5.38) para  $S_n$ , temos o polinômio recíproco de  $S_n$  dado por

$$S_n^*(z) = z^n \overline{S_n(1/\bar{z})} = \frac{z^n}{\Delta_{n-1}} \begin{vmatrix} \bar{\mu}_0 & \bar{\mu}_{-1} & \cdots & \bar{\mu}_{-n} \\ \bar{\mu}_1 & \bar{\mu}_0 & \cdots & \bar{\mu}_{-n+1} \\ \vdots & \vdots & \ddots & \vdots \\ \bar{\mu}_{n-1} & \bar{\mu}_{n-2} & \cdots & \bar{\mu}_{-1} \\ 1 & 1/z & \cdots & 1/z^n \end{vmatrix}.$$

Lembrando que  $\Delta_n > 0$  e que  $\mu_n = \bar{\mu}_{-n}$  para  $n = 0, 1, 2, \dots$ , então

$$S_n^*(z) = \frac{1}{\Delta_{n-1}} \begin{vmatrix} \mu_0 & \mu_1 & \cdots & \mu_n \\ \mu_{-1} & \mu_0 & \cdots & \mu_{n-1} \\ \vdots & \vdots & \ddots & \vdots \\ \mu_{-n+1} & \mu_{-n+2} & \cdots & \mu_1 \\ z^n & z^{n-1} & \cdots & 1 \end{vmatrix}. \quad (1.5.39)$$



Usando as definições de polinômio recíproco e do funcional (1.5.29), e como  $|z| = 1$ , obtemos

$$\begin{aligned}\langle S_n^*, z^m \rangle &= \left\langle z^n \overline{S_n(1/\bar{z})}, z^m \right\rangle = \mathcal{L} \left[ z^n \overline{S_n(1/\bar{z})} \bar{z}^m \right] = \mathcal{L} \left[ z^n \overline{S_n(z)} \frac{1}{z^m} \right] \\ &= \mathcal{L} \left[ z^{n-m} \overline{S_n(z)} \right] = \langle z^{n-m}, S_n \rangle.\end{aligned}$$

Logo, para  $n > m$ ,

$$\langle S_n^*, z^m \rangle = \begin{cases} \Delta_n / \Delta_{n-1}, & \text{se } m = 0, \\ 0, & \text{se } m = 1, 2, \dots, n. \end{cases} \quad (1.5.40)$$

Como  $S_m(z) = z^m + \sum_{k=0}^{m-1} c_{k,m} z^k$ , então

$$\begin{aligned}\langle S_n, S_m \rangle &= \left\langle S_n, z^m + \sum_{k=0}^{m-1} c_{k,m} z^k \right\rangle \\ &= \langle S_n, z^m \rangle + \sum_{k=0}^{m-1} c_{k,m} \langle S_n, z^k \rangle = \langle S_n, z^m \rangle, \quad m = 0, 1, \dots, n.\end{aligned}$$

Portanto,

$$\langle S_n, S_m \rangle = \begin{cases} 0, & \text{se } m = 0, 1, \dots, n-1, \\ \Delta_n / \Delta_{n-1}, & \text{se } m = n. \end{cases}$$

Consideremos, agora, números  $\alpha_n$  definidos por

$$\bar{\alpha}_n = -S_{n+1}(0), \quad n = 0, 1, 2, \dots \quad (1.5.41)$$

Os coeficientes  $\alpha_n$  são chamados coeficientes de reflexão e serão extremamente úteis neste estudo. Segundo Simon [39, 40], há pelo menos quatro diferentes denominações para os coeficientes de reflexão  $\alpha_n$ : coeficientes de Verblunsky, coeficientes de Schur, coeficientes de Szegő e coeficientes de Geronimus. Para a explicação sobre cada um desses termos veja [39], pag. 10.

De (1.5.38), obtemos

$$S_{n+1}(0) = \frac{1}{\Delta_n} \begin{vmatrix} \mu_0 & \mu_{-1} & \cdots & \mu_{-n} & \mu_{-n-1} \\ \mu_1 & \mu_0 & \cdots & \mu_{-n+1} & \mu_{-n} \\ \vdots & \vdots & \ddots & \vdots & \vdots \\ \mu_{n-1} & \mu_{n-2} & \cdots & \mu_{-1} & \mu_{-2} \\ \mu_n & \mu_{n-1} & \cdots & \mu_0 & \mu_{-1} \\ 1 & 0 & \cdots & 0 & 0 \end{vmatrix}. \quad (1.5.42)$$

Logo,

$$\bar{\alpha}_n = \frac{(-1)^n}{\Delta_n} \begin{vmatrix} \mu_{-1} & \mu_{-2} & \cdots & \mu_{-n} & \mu_{-n-1} \\ \mu_0 & \mu_{-1} & \cdots & \mu_{-n+1} & \mu_{-n} \\ \vdots & \vdots & \ddots & \vdots & \vdots \\ \mu_{n-2} & \mu_{n-3} & \cdots & \mu_{-1} & \mu_{-2} \\ \mu_{n-1} & \mu_{n-2} & \cdots & \mu_0 & \mu_{-1} \end{vmatrix}. \quad (1.5.43)$$

Podemos, então, demonstrar o importante resultado a seguir.

**Teorema 1.13.** *Os polinômios mônicos de Szegő satisfazem às seguintes relações para  $n \geq 1$ ,*

$$S_n^*(z) = S_{n-1}^*(z) - \alpha_{n-1}zS_{n-1}(z), \quad (1.5.44)$$

$$S_n(z) = (1 - |\alpha_{n-1}|^2)zS_{n-1}(z) - \bar{\alpha}_{n-1}S_n^*(z), \quad (1.5.45)$$

com as condições iniciais  $S_0(z) = 1$  e  $S_0^*(z) = 1$ .

Demonstração: De (1.5.30), segue que

$$\langle zf, z^n \rangle = \mathcal{L}[zf(z)\bar{z}^n].$$

Mas, como  $|z| = 1$ , ou seja,  $\bar{z} = 1/z$ ,

$$\langle zf, z^n \rangle = \mathcal{L}\left[zf(z)\frac{1}{z^n}\right] = \mathcal{L}\left[f(z)\frac{1}{z^{n-1}}\right] = \mathcal{L}[f(z)\bar{z}^{n-1}].$$

Novamente de (1.5.30), obtemos

$$\langle zf, z^n \rangle = \langle f, z^{n-1} \rangle. \quad (1.5.46)$$

Para  $n \geq 1$ , seja

$$A_n(z) = S_n^*(z) - \gamma_n z S_{n-1}(z) - S_{n-1}^*(z), \quad \text{com } \gamma_n = -\frac{\langle S_{n-1}^*, z^n \rangle}{\langle z S_{n-1}, z^n \rangle}. \quad (1.5.47)$$

Os coeficientes  $\gamma_n$  estão bem definidos, pois de (1.5.46)

$$\langle z S_{n-1}, z^n \rangle = \langle S_{n-1}, z^{n-1} \rangle = \frac{\Delta_{n-1}}{\Delta_{n-2}} \neq 0, \quad n = 1, 2, 3, \dots$$

De  $S_n^*(0) = S_{n-1}^*(0) = 1$ , pois  $S_n$  é um polinômio mônico, segue que  $A_n(0) = 0$  e isto significa que o polinômio  $A_n$  não possui termo independente. Portanto,

$$A_n(z) = \sum_{k=1}^n a_k z^k.$$

Como  $A_n$  não tem termo independente,

$$A_n^*(z) = z^n \overline{A_n(1/\bar{z})} \in \mathbb{P}_{n-1}, \quad n = 1, 2, 3, \dots \quad (1.5.48)$$

Logo,  $A_n^*$  pode ser escrito da forma

$$A_n^*(z) = \sum_{k=0}^{n-1} b_k S_k(z). \quad (1.5.49)$$

De (1.5.48) e (1.5.49), para  $n \geq 1$  obtemos

$$\begin{aligned} A_n(z) &= z^n \overline{A_n^*(1/\bar{z})} = \sum_{k=0}^{n-1} z^n \bar{b}_k \overline{S_k(1/\bar{z})} \\ &= \sum_{k=0}^{n-1} z^{n-k} \bar{b}_k z^k \overline{S_k(1/\bar{z})} = \sum_{k=0}^{n-1} \bar{b}_k z^{n-k} S_k^*(z). \end{aligned} \quad (1.5.50)$$

A escolha de  $\gamma_n$  assegura que  $\langle A_n, z^n \rangle = 0$ , pois, de (1.5.47),

$$\langle A_n, z^n \rangle = \langle S_n^*, z^n \rangle + \frac{\langle S_{n-1}^*, z^n \rangle}{\langle zS_{n-1}, z^n \rangle} \langle zS_{n-1}, z^n \rangle - \langle S_{n-1}^*, z^n \rangle = 0.$$

Dessa equação, da definição de  $\langle \cdot, \cdot \rangle$  e de (1.5.50), obtemos

$$\begin{aligned} 0 = \langle A_n, z^n \rangle &= \sum_{k=0}^{n-1} \bar{b}_k \langle z^{n-k} S_k^*, z^n \rangle = \sum_{k=0}^{n-1} \bar{b}_k \mathcal{L} \left[ z^{n-k} S_k^*(z) \frac{1}{z^n} \right] \\ &= \sum_{k=0}^{n-1} \bar{b}_k \mathcal{L} \left[ S_k^*(z) \frac{1}{z^k} \right] = \sum_{k=0}^{n-1} \bar{b}_k \langle S_k^*, z^k \rangle = \bar{b}_0 \mu_0. \end{aligned}$$

Como  $\mu_0 = \Delta_0 \neq 0$ , concluímos que  $b_0 = 0$ . Mas,

$$\begin{aligned} \langle A_n, z^{n-1} \rangle &= \langle S_n^*, z^{n-1} \rangle - \gamma_n \langle zS_{n-1}, z^{n-1} \rangle - \langle S_{n-1}^*, z^{n-1} \rangle \\ &= -\gamma_n \mathcal{L} \left[ zS_{n-1}(z) \frac{1}{z^{n-1}} \right] = -\gamma_n \mathcal{L} \left[ S_{n-1}(z) \frac{1}{z^{n-2}} \right] \\ &= -\gamma_n \langle S_{n-1}, z^{n-2} \rangle = 0. \end{aligned}$$

Portanto,

$$\begin{aligned} 0 = \langle A_n, z^{n-1} \rangle &= \sum_{k=1}^{n-1} \bar{b}_k \langle z^{n-k} S_k^*, z^{n-1} \rangle = \sum_{k=1}^{n-1} \bar{b}_k \mathcal{L} \left[ z^{n-k} S_k^*(z) \frac{1}{z^{n-1}} \right] \\ &= \sum_{k=1}^{n-1} \bar{b}_k \langle S_k^*, z^{k-1} \rangle = \bar{b}_1 \langle S_1^*, 1 \rangle, \end{aligned}$$

ou seja,  $b_1 = 0$ . Continuando da mesma forma, obtemos  $b_2 = b_3 = \dots = b_{n-1} = 0$ . Logo,  $A_n(z) \equiv 0$  e, de (1.5.47),

$$S_n^*(z) = \gamma_n z S_{n-1}(z) + S_{n-1}^*(z). \quad (1.5.51)$$

Comparando os coeficientes de  $z^n$  em (1.5.51), concluímos que

$$\gamma_n = \bar{S}_n(0) = -\alpha_{n-1}, \quad n \geq 1.$$

Logo,

$$S_n^*(z) = S_{n-1}^*(z) - \alpha_{n-1} z S_{n-1}(z),$$

como em (1.5.44).

Definindo

$$C_n(z) = S_n(z) + \bar{\alpha}_{n-1} S_n^*(z) - \gamma_n z S_{n-1}(z), \text{ agora com } \gamma_n = \frac{\langle S_n, z^n \rangle}{\langle zS_{n-1}, z^n \rangle},$$

e procedendo de maneira completamente análoga à anterior, encontramos (veja Exercício 1.21)

$$S_n(z) = (1 - |\alpha_{n-1}|^2) z S_{n-1}(z) - \bar{\alpha}_{n-1} S_n^*(z),$$

concluindo, assim, a demonstração de (1.5.45). ■

Se substituirmos  $S_n^*$ , dada pela equação (1.5.44), em (1.5.45), obtemos

$$S_n(z) = (1 - |\alpha_{n-1}|^2)zS_{n-1}(z) - \bar{\alpha}_{n-1}[S_{n-1}^*(z) - \alpha_{n-1}zS_{n-1}(z)],$$

ou seja,

$$S_n(z) = zS_{n-1}(z) - \bar{\alpha}_{n-1}S_{n-1}^*(z), \quad n \geq 1. \quad (1.5.52)$$

Pelas relações de recorrência, podemos ver que os polinômios mônicos de Szegő são completamente determinados pelos coeficientes de reflexão  $\alpha_n$ . Esses coeficientes podem ser calculados por (1.5.43) ou pelo método dado no próximo teorema, onde também mostramos que  $|\alpha_n| < 1$ .

**Teorema 1.14.** *Sejam  $\mathcal{L}$  um funcional linear definido positivo,  $\Delta_n$  o determinante de Toeplitz (1.5.32) e  $\{\alpha_n\}_{n=0}^\infty$  a sequência definida por (1.5.41). Então, para  $n \geq 1$ ,*

$$\bar{\alpha}_{n-1} = \frac{\langle zS_{n-1}, 1 \rangle}{\langle S_{n-1}^*, 1 \rangle}, \quad (1.5.53)$$

$$1 - |\alpha_{n-1}|^2 = \frac{\Delta_n \Delta_{n-2}}{\Delta_{n-1}^2} > 0. \quad (1.5.54)$$

Demonstração: Fazendo o produto escalar  $\langle S_n, 1 \rangle$ , por (1.5.52) obtemos

$$\langle S_n, 1 \rangle = \langle zS_{n-1}, 1 \rangle - \bar{\alpha}_{n-1} \langle S_{n-1}^*, 1 \rangle, \quad n \geq 1.$$

Como  $\langle S_n, 1 \rangle = 0$ , chegamos ao resultado (1.5.53).

Finalmente, para mostrar (1.5.54), usamos a relação de ortogonalidade (1.5.37) e a relação de recorrência (1.5.45) e obtemos

$$\frac{\Delta_n}{\Delta_{n-1}} = \langle S_n, z^n \rangle = (1 - |\alpha_{n-1}|^2) \langle zS_{n-1}, z^n \rangle - \bar{\alpha}_{n-1} \langle S_n^*, z^n \rangle.$$

Logo,

$$\frac{\Delta_n}{\Delta_{n-1}} = (1 - |\alpha_{n-1}|^2) \frac{\Delta_{n-1}}{\Delta_{n-2}}.$$

Como estamos trabalhando com funcional definido positivo, então  $\Delta_n > 0$  para  $n \geq 0$ , concluindo, assim, a demonstração do teorema. ■

Da relação (1.5.54), observamos que

$$|\alpha_n| < 1, \quad \text{para } n \geq 0.$$

Esta é uma importante característica dos polinômios de Szegő.

Quando  $\mathcal{L}$  é um funcional linear positivo-definido, é possível mostrar que os zeros dos polinômios de Szegő  $S_n$  estão todos no disco unitário aberto  $|z| < 1$ . No texto de Simon [39], encontramos 7 diferentes maneiras de se demonstrar esse resultado. Abaixo apresentamos uma delas.

**Teorema 1.15.** *Os zeros do polinômio de Szegő  $S_n$ ,  $n \geq 1$ , estão todos no disco unitário aberto  $|z| < 1$ .*

Demonstração: Sejam  $z_1, z_2, \dots, z_n$  os zeros do polinômio de Szegő  $S_n$ ,  $n \geq 1$ . Logo, podemos escrever

$$S_n(z) = (z - z_1)(z - z_2) \cdots (z - z_n).$$

Sem perda de generalidade, escolhamos um zero de  $S_n$ , por exemplo,  $z_1$ . Seja  $\pi$  o polinômio de grau  $n - 1$  dado por

$$\pi(z) = \frac{S_n(z)}{z - z_1} = (z - z_2) \cdots (z - z_n).$$

Assim,  $S_n(z) = (z - z_1)\pi(z) = z\pi(z) - z_1\pi(z)$  e, portanto,

$$S_n(z) + z_1\pi(z) = z\pi(z).$$

Logo,  $\|S_n + z_1\pi\|^2 = \|z\pi\|^2$ , isto é,

$$\langle S_n, S_n \rangle + \langle S_n, z_1\pi \rangle + \langle z_1\pi, S_n \rangle + \langle z_1\pi, z_1\pi \rangle = \langle z\pi, z\pi \rangle.$$

Daí, obtemos

$$\|S_n\|^2 + \langle S_n, z_1\pi \rangle + \langle z_1\pi, S_n \rangle + \|z_1\pi\|^2 = \|z\pi\|^2.$$

Como, por (1.5.34),  $\langle S_n, z_1\pi \rangle = 0$  e

$$\|z\pi\|^2 = \langle z\pi, z\pi \rangle = \mathcal{L}[z\pi \cdot \overline{z\pi}] = \mathcal{L}[\pi \overline{\pi}] = \|\pi\|^2,$$

pois  $|z| = 1$  em  $\mathcal{C}$ . Então,

$$\|S_n\|^2 + \|z_1\pi\|^2 = \|\pi\|^2.$$

Logo,

$$\|S_n\|^2 = (1 - |z_1|^2) \|\pi\|^2 > 0$$

e, portanto,  $1 - |z_1|^2 > 0$ , ou seja,  $|z_1|^2 < 1$ .

Assim, para qualquer zero de  $S_n$ ,  $|z_k|^2 < 1$ ,  $k = 1, 2, \dots, n$ . ■

### 1.5.1 Polinômios para-ortogonais

Passaremos, agora, ao estudo dos polinômios para-ortogonais. Em [27], os autores Jones, Njåstad e Thron consideraram o estudo desses polinômios na forma

$$S_n(z) + wS_n^*(z),$$

para  $w \in \mathbb{C}$  e  $|w| = 1$ . Uma propriedade importante desses polinômios é que seus zeros são simples e estão no círculo unitário  $\mathcal{C} = \{z \in \mathbb{C} : |z| = 1\}$ . Vamos utilizar, aqui, uma medida  $\psi$  no círculo unitário, definida em (1.5.27), em lugar do tratamento mais abrangente, via funcional de momento, dado pelos autores em [27].

Assim, consideraremos a sequência de polinômios de Szegő,  $\{S_n\}$ , com relação à uma medida  $\psi$  definida no círculo unitário, isto é,

$$\langle S_n, S_m \rangle = \int_{\mathcal{C}} S_n(z) \overline{S_m(z)} d\psi(z) = 0, \quad \text{se } n \neq m,$$

lembrando que

$$\langle P, Q \rangle = \int_{\mathcal{C}} P(z) \overline{Q(z)} d\psi(z).$$

**Definição 1.18.** Uma sequência  $\{X_n\}_{n=1}^{\infty}$  é uma sequência de polinômios para-ortogonais com respeito a uma medida  $\psi$  se, para  $n \geq 1$ ,  $X_n$  é um polinômio de grau  $n$  que satisfaz

$$\begin{aligned} \langle X_n, 1 \rangle &\neq 0, \\ \langle X_n, z^m \rangle &= 0 \quad , \quad m = 1, 2, \dots, n-1, \\ \langle X_n, z^n \rangle &\neq 0. \end{aligned} \quad (1.5.55)$$

Esses polinômios são chamados de para-ortogonais, pois, diferentemente dos polinômios ortogonais, satisfazem  $\langle X_n, 1 \rangle \neq 0$ .

Observe que  $\{S_n\}_{n=1}^{\infty}$  e  $\{S_n^*\}_{n=1}^{\infty}$  não são sequências de polinômios para-ortogonais com respeito a  $\psi$ .

Uma classe interessante de polinômios é conhecida como polinômios  $\kappa$ -invariantes.

**Definição 1.19.** Para  $\kappa \in \mathbb{C}$ ,  $\kappa \neq 0$ , um polinômio  $X$  é  $\kappa$ -invariante se

$$X^*(z) = \kappa X(z), \quad \forall z \in \mathbb{C}.$$

A sequência  $\{X_n\}_{n=1}^{\infty}$  é  $\{\kappa_n\}_{n=1}^{\infty}$ -invariante se, para cada  $n$ ,  $X_n$  é  $\kappa_n$ -invariante.

Podemos obter sequências  $\{\kappa_n\}_{n=1}^{\infty}$ -invariantes de polinômios para-ortogonais tomando funções da forma

$$S_n(w_n, z) = S_n(z) + w_n S_n^*(z), \quad z, w_n \in \mathbb{C}, \quad n = 1, 2, \dots \quad (1.5.56)$$

Note que  $S_n(w_n, z)$  satisfaz à definição de polinômios para-ortogonais com relação à medida  $\psi$  (Exercício 1.22).

O próximo resultado, veja [27], fornece uma caracterização dos polinômios para-ortogonais  $\kappa$ -invariantes e garante que toda sequência de polinômios para-ortogonais com respeito a uma medida  $\psi$  é obtida a partir da expressão (1.5.56). Observe que

$$\int_{\mathcal{C}} z^{-n+s} [S_n(z) + w_n S_n^*(z)] d\psi(z) = 0, \quad s = 1, 2, \dots, n-1. \quad (1.5.57)$$

**Teorema 1.16.** Seja  $\{S_n\}_{n=0}^{\infty}$  uma sequência de polinômios de Szegő com relação a uma dada medida  $\psi$ .

(i) Se  $c_n, w_n \in \mathbb{C}$ ,  $n \geq 1$ , com  $c_n \neq 0$  e  $|w_n| = 1$ , e se  $\kappa_n = \bar{c}_n \frac{\bar{w}_n}{c_n}$ , então  $\{c_n S_n(w_n, z)\}_{n=1}^{\infty}$  é uma sequência  $\{\kappa_n\}_{n=1}^{\infty}$ -invariante de polinômios para-ortogonais com respeito a  $\psi$  e  $|\kappa_n| = 1$ ,  $n \geq 1$ .

(ii) Se  $\{X_n\}_{n=0}^{\infty}$  é uma sequência de polinômios para-ortogonais com respeito a  $\psi$ , então, para  $n \geq 1$ ,

$$X_n(z) = c_n S_n(w_n, z), \quad z \in \mathbb{C}, \quad (1.5.58)$$

onde

$$c_n = \frac{\langle X_n, S_n \rangle}{\langle S_n, S_n \rangle} - d_n \frac{\langle S_n^*, S_n \rangle}{\langle S_n, S_n \rangle} \neq 0 \quad \text{e} \quad w_n = \frac{d_n}{c_n}, \quad (1.5.59)$$

com

$$d_n = \frac{\langle X_n, 1 \rangle}{\langle S_n^*, 1 \rangle} \neq 0. \quad (1.5.60)$$

Para cada  $n \geq 1$ , se  $X_n$  é também  $\kappa_n$ -invariante, então

$$|w_n| = 1, \quad \kappa_n = \frac{\bar{c}_n \bar{w}_n}{c_n} \quad \text{e} \quad |\kappa_n| = 1. \quad (1.5.61)$$

Demonstração: (i) Sabemos que  $S_n^*(0) = 1$  e, assim,

$$S_n(w_n, z) = S_n(z) + w_n S_n^*(z) = (z^n + \dots - \bar{\alpha}_{n-1}) + w_n(-\alpha_{n-1}z^n + \dots + 1).$$

Logo,

$$S_n(w_n, z) = (1 - w_n \alpha_{n-1})z^n + \dots + (w_n - \bar{\alpha}_{n-1}),$$

onde  $\bar{\alpha}_{n-1} = -S_n(0)$ .

Pela equação (1.5.54),  $|\alpha_{n-1}| < 1$ . Assim, concluímos que o grau de  $S_n(w_n, z)$  é  $n$  e, além disso,  $S_n(w_n, 0) \neq 0$ . Da definição de polinômio recíproco e da expressão (1.5.56), temos

$$\begin{aligned} (c_n S_n(w_n, z))^* &= \bar{c}_n (S_n^*(z) + \bar{w}_n S_n(z)) \\ &= \bar{c}_n \bar{w}_n (S_n(z) + w_n S_n^*(z)) \\ &= \kappa_n c_n S_n(w_n, z), \end{aligned}$$

o que mostra que  $\{c_n S_n(w_n, z)\}_{n=1}^\infty$  é uma sequência  $\{\kappa_n\}_{n=1}^\infty$ -invariante para todo  $z \in \mathbb{C}$  e  $n \geq 1$ .

A para-ortogonalidade segue imediatamente da relação

$$\langle S_n(w_n, z), z^k \rangle = \langle S_n, z^k \rangle + w_n \langle S_n^*, z^k \rangle$$

e das propriedades de ortogonalidade dos polinômios  $S_n$  e  $S_n^*$ , pois

$$\begin{aligned} \langle S_n(w_n, z), z^k \rangle &= 0, \quad 1 \leq k \leq n-1, \\ \langle S_n(w_n, z), 1 \rangle &= w_n \langle S_n^*, 1 \rangle \neq 0, \\ \langle S_n(w_n, z), z^n \rangle &= \langle S_n, z^n \rangle \neq 0. \end{aligned}$$

(ii) Seja  $T_n(z) = X_n(z) - c_n S_n(z) - d_n S_n^*(z)$ ,  $n \geq 1$ . Então, das definições de  $c_n$  e  $d_n$ , obtemos

$$\begin{aligned} \langle T_n, S_n \rangle &= \langle X_n - c_n S_n - d_n S_n^*, S_n \rangle \\ &= \langle X_n, S_n \rangle - c_n \langle S_n, S_n \rangle - d_n \langle S_n^*, S_n \rangle \\ &= \langle X_n, S_n \rangle - \langle X_n, S_n \rangle + d_n \langle S_n^*, S_n \rangle - d_n \langle S_n^*, S_n \rangle = 0. \end{aligned}$$

Além disso, das relações de ortogonalidade dos polinômios de Szegő,

$$\begin{aligned} \langle T_n, S_0 \rangle &= \langle X_n - c_n S_n - d_n S_n^*, S_0 \rangle \\ &= \langle X_n, S_0 \rangle - c_n \langle S_n, S_0 \rangle - d_n \langle S_n^*, S_0 \rangle \\ &= \langle X_n, S_0 \rangle - \frac{\langle X_n, 1 \rangle}{\langle S_n^*, 1 \rangle} \langle S_n^*, S_0 \rangle = 0. \end{aligned}$$

Portanto, temos

$$\langle T_n, S_n \rangle = \langle T_n, S_0 \rangle = 0, \quad n = 1, 2, \dots \quad (1.5.62)$$

Vamos mostrar, agora, que  $T_n \equiv 0$  para  $n \geq 1$ .

Para  $n \geq 1$ , podemos expressar  $T_n$  da forma

$$T_n(z) = \sum_{k=0}^n a_k S_k(z), \quad a_k \in \mathbb{C}.$$

Da igualdade anterior e de (1.5.62), para  $n \geq 1$  obtemos

$$0 = \langle T_n, S_0 \rangle = a_0 \langle S_0, S_0 \rangle \Rightarrow a_0 = 0.$$

Analogamente,

$$0 = \langle T_n, S_n \rangle = a_n \langle S_n, S_n \rangle \Rightarrow a_n = 0.$$

Em particular,  $T_1(z) = 0$ .

Para  $n \geq 2$ , como  $X_n$  é para-ortogonal, temos

$$0 = \langle T_n, z \rangle = \left\langle \sum_{k=1}^{n-1} a_k S_k(z), z \right\rangle = a_1 \langle S_1, z \rangle \Rightarrow a_1 = 0.$$

Continuando dessa maneira, teremos  $a_2 = a_3 = \dots = a_{n-1} = 0$ . Assim, para  $n \geq 1$ ,  $T_n \equiv 0$  e

$$X_n(z) = c_n S_n(z) + d_n S_n^*(z), \quad n = 1, 2, \dots \quad (1.5.63)$$

Se  $c_n = 0$ , então, por (1.5.63) e (1.5.55), temos

$$d_n \langle S_n^*, z^n \rangle = \langle X_n, z^n \rangle \neq 0$$

o que contradiz o fato de  $S_n^*$  ser ortogonal e, assim,  $c_n \neq 0$ .

Analogamente, se  $d_n = 0$ , novamente por (1.5.63) e (1.5.55), temos

$$c_n \langle S_n, 1 \rangle = \langle X_n, 1 \rangle \neq 0,$$

o que contradiz a ortogonalidade de  $S_n$ . Logo,  $d_n \neq 0$ .

Para todo  $n \geq 1$ , podemos, então, escrever

$$X_n(z) = c_n \left( S_n(z) + \frac{d_n}{c_n} S_n^*(z) \right) = c_n S_n(w_n, z), \quad z \in \mathbb{C}, \quad w_n = \frac{d_n}{c_n}.$$

Agora, suponhamos que, para algum  $n \geq 1$ ,  $X_n$  é  $\kappa_n$ -invariante. Então,  $X_n^*(z) = \kappa_n X_n(z)$  e, assim, (1.5.63) e  $X_n^*(z) = \bar{c}_n S_n^*(z) + \bar{d}_n S_n(z)$  implicam que

$$(\bar{d}_n - \kappa_n c_n) S_n(z) + (\bar{c}_n - \kappa_n d_n) S_n^*(z) = 0.$$

Como  $S_n$  e  $S_n^*$  são linearmente independentes, concluímos que

$$\kappa_n = \frac{\bar{d}_n}{c_n} \quad \text{e} \quad \kappa_n = \frac{\bar{c}_n}{d_n}.$$

Isto significa que  $|c_n| = |d_n|$ , concluindo a demonstração das condições (1.5.61). ■



### Representação de polinômios para-ortogonais

Vimos que os polinômios

$$S_n(w_n, z) = S_n(z) + w_n S_n^*(z), \quad \text{com } |w_n| = 1, \quad n = 1, 2, \dots, \quad (1.5.64)$$

são polinômios para-ortogonais. Podemos representá-los de uma outra forma. Da equação (1.5.52), isto é, de

$$S_n(z) = zS_{n-1}(z) - \bar{\alpha}_{n-1} S_{n-1}^*(z), \quad (1.5.65)$$

obtemos

$$S_n^*(z) = S_{n-1}^*(z) - \alpha_{n-1} z S_{n-1}(z). \quad (1.5.66)$$

Substituindo as equações (1.5.65) e (1.5.66) em (1.5.64), temos

$$\begin{aligned} S_n(w_n, z) &= zS_{n-1}(z) - \bar{\alpha}_{n-1} S_{n-1}^*(z) + w_n [S_{n-1}^*(z) - \alpha_{n-1} z S_{n-1}(z)] \\ &= (1 - w_n \alpha_{n-1}) z S_{n-1}(z) + (w_n - \bar{\alpha}_{n-1}) S_{n-1}^*(z) \\ &= (1 - w_n \alpha_{n-1}) \left[ z S_{n-1}(z) + \frac{w_n - \bar{\alpha}_{n-1}}{1 - w_n \alpha_{n-1}} S_{n-1}^*(z) \right]. \end{aligned} \quad (1.5.67)$$

Denotando  $\tau_n = \frac{w_n - \bar{\alpha}_{n-1}}{1 - w_n \alpha_{n-1}}$  observamos, que como  $|w_n| = 1$ ,

$$\tau_n = \frac{w_n(1 - \bar{w}_n \bar{\alpha}_{n-1})}{1 - w_n \alpha_{n-1}},$$

então  $|\tau_n| = 1$ . Assim, tomando o polinômio em (1.5.67) na forma mônica, obtemos

$$S_n(\tau_n, z) = zS_{n-1}(z) + \tau_n S_{n-1}^*(z), \quad \text{com } |\tau_n| = 1, \quad n = 1, 2, \dots, \quad (1.5.68)$$

que também representam polinômios para-ortogonais.

### Zeros dos polinômios para-ortogonais

Os zeros dos polinômios para-ortogonais possuem uma propriedade que será bastante interessante e é dada pelo seguinte teorema.

**Teorema 1.17.** *Seja  $\{X_n\}_{n=1}^{\infty}$  uma sequência  $\{\kappa_n\}_{n=1}^{\infty}$ -invariante de polinômios para-ortogonais com respeito a uma medida positiva  $\psi$ . Então, para cada  $n \geq 1$ , os  $n$  zeros de  $X_n$  são simples e estão no círculo unitário.*

Demonstração: Para  $n \geq 1$ , podemos escrever

$$X_n(z) = c_0 + c_1 z + \dots + c_n z^n, \quad c_n \neq 0, \quad c_k \in \mathbb{C}, \quad k = 0, 1, \dots, n.$$

Logo, por hipótese,

$$X_n^*(z) = \bar{c}_0 z^n + \bar{c}_1 z^{n-1} + \dots + \bar{c}_n = \kappa_n X_n(z), \quad \kappa_n \neq 0.$$

Observe que

$$c_0 = X_n(0) = \kappa_n^{-1} X_n^*(0) = \frac{\bar{c}_n}{\kappa_n} \neq 0.$$

Sejam  $\alpha_1, \alpha_2, \dots, \alpha_p$  os zeros de multiplicidade ímpar de  $X_n$  em  $\mathcal{C}$ , contadas as suas multiplicidades. Se esses zeros não existem, então  $p = 0$ , caso contrário,  $1 \leq p \leq n$ . Para demonstrar o teorema é suficiente mostrar que  $p = n$ .

Se  $\beta$  é um zero de  $X_n$  que não está em  $\mathcal{C}$ , então, como  $X_n$  é  $\kappa_n$ -invariante,  $1/\bar{\beta}$  é um zero de  $X_n$  e  $1/\bar{\beta}$  também não está em  $\mathcal{C}$ . Assim, os zeros de  $X_n$  que não pertencem a  $\mathcal{C}$  ocorrem em pares  $(\beta, 1/\bar{\beta})$ .

Se  $\beta$  é um zero de  $X_n$  em  $\mathcal{C}$ , então  $\beta = 1/\bar{\beta}$ . Existe, assim, um número par de zeros de  $X_n$  em  $\mathcal{C}$  mas que não estão no conjunto  $\{\alpha_1, \alpha_2, \dots, \alpha_p\}$ . Segue, então, que os zeros de  $X_n$  que não estão em  $\{\alpha_1, \alpha_2, \dots, \alpha_p\}$  ocorrem em pares  $(\beta, 1/\bar{\beta})$ . Denotemos todos os zeros que ocorrem em pares  $(\beta, 1/\bar{\beta})$  pelos  $2q$  números

$$\beta_1, \frac{1}{\bar{\beta}_1}, \beta_2, \frac{1}{\bar{\beta}_2}, \dots, \beta_q, \frac{1}{\bar{\beta}_q},$$

que podem estar em  $\mathcal{C}$  ou não. Se não existem tais zeros, tomaremos  $q = 0$ . Claramente  $p + 2q = n$ . Como  $X_n(0) \neq 0$ , temos que  $\beta_j \neq 0$  para  $j = 1, 2, \dots, q$ .

Consideremos os polinômios

$$\begin{aligned} A(z) &= \begin{cases} (z - \alpha_1) \dots (z - \alpha_p), & \text{se } p \geq 1, \\ 1, & \text{se } p = 0, \end{cases} \\ B(z) &= \begin{cases} (z - \beta_1) \dots (z - \beta_q), & \text{se } q \geq 1, \\ 1, & \text{se } q = 0, \end{cases} \\ C(z) &= z^q A(z). \end{aligned}$$

Note que

$$X_n(z) = A(z)B(z) \left(z - \frac{1}{\bar{\beta}_1}\right) \dots \left(z - \frac{1}{\bar{\beta}_q}\right).$$

Suponha  $p < n$  e, assim,  $q \geq 1$ . Então, de (1.5.30) e das expressões anteriores para  $X_n$  e  $C$ , obtemos

$$\begin{aligned} \langle X_n, C \rangle &= \int_{\mathcal{C}} X_n(z) \overline{C(z)} d\psi(z) \\ &= \int_{\mathcal{C}} A(z)B(z) \left(z - \frac{1}{\bar{\beta}_1}\right) \dots \left(z - \frac{1}{\bar{\beta}_q}\right) \overline{A(z)} \frac{1}{z^q} d\psi(z) \\ &= \int_{\mathcal{C}} A(z)B(z) \overline{A(z)} (-1)^q \frac{(1 - \bar{\beta}_1 z) \dots (1 - \bar{\beta}_q z)}{\bar{\beta}_1 \dots \bar{\beta}_q z^q} d\psi(z) \\ &= \frac{(-1)^q}{\bar{\beta}_1 \dots \bar{\beta}_q} \int_{\mathcal{C}} A(z)B(z) \overline{A(z)B(z)} d\psi(z) \\ &= \frac{(-1)^q}{\bar{\beta}_1 \dots \bar{\beta}_q} \langle AB, AB \rangle \neq 0. \end{aligned}$$

Como  $C$  é um polinômio de grau  $p + q$  e  $\langle X_n, C \rangle \neq 0$ , as condições de para-ortogonalidade implicam que o grau de  $C$  é  $n$ . Como tomamos  $q \geq 1$ , isto é impossível, pois o grau de  $C$  é igual a  $p + q$  que é menor do que  $p + 2q = n$ . Portanto,  $q = 0$  e  $p = n$ . ■

Como os zeros dos polinômios para-ortogonais estão no círculo unitário, eles são utilizados para construir fórmulas de quadratura no círculo unitário (veja Capítulo 4).

## 1.6 Exercícios

**Exercício 1.1.** Verifique que

a) a sequência constante  $\left\{\frac{1}{4}, \frac{1}{4}, \frac{1}{4}, \dots\right\}$  é uma sequência encadeada, com a sequência de parâmetros  $\{g_n\} = \left\{\frac{n}{2(n+1)}\right\}$ , e também com a sequência de parâmetros  $\{h_n\} = \left\{\frac{1}{2}\right\}$ .

b) a sequência constante  $\{a_n\} = \{a\}$ , com  $0 < a \leq \frac{1}{4}$  é uma sequência encadeada com as sequências de parâmetros

$$\{g_n\} = \left\{\frac{1 + \sqrt{1-4a}}{2}\right\} \quad \text{e} \quad \{h_n\} = \left\{\frac{1 - \sqrt{1-4a}}{2}\right\}.$$

**Exercício 1.2.** Demonstre o Teorema 1.2: Se  $\{a_n\}$  é uma sequência encadeada e  $\{g_k\}$  e  $\{h_k\}$  são sequências de parâmetros para  $\{a_n\}$ , então  $g_k < h_k$  para  $k \geq 1$  se, e somente se,  $g_0 < h_0$ .

**Exercício 1.3.** Demonstre o Teorema 1.3: Se  $\{a_n\}$  é uma sequência encadeada e tem uma sequência de parâmetros  $\{g_k\}$  tal que  $g_0 > 0$ , então, para cada  $h_0$  satisfazendo  $0 \leq h_0 < g_0$ , existe uma correspondente sequência de parâmetros  $\{h_k\}$ .

**Exercício 1.4.** Mostre que  $\{M_n\} = \left\{\frac{1 + \sqrt{1-4a}}{2}\right\}$  é a sequência maximal para a sequência encadeada  $\{a_n\} = \{a\}$ , com  $0 < a \leq \frac{1}{4}$ .

**Exercício 1.5.** Mostre que se  $P_0, P_1, \dots, P_n$  são polinômios de grau  $n$  e ortogonais entre si, então eles formam uma base para o espaço dos polinômios de grau no máximo  $n$ ,  $\mathbb{P}_n$ .

**Exercício 1.6.** Sejam  $\{P_n\}_{n=0}^{\infty}$  uma sequência de polinômios, com  $P_n$  de grau exatamente  $n$ , e  $\phi$  uma medida positiva em  $(a, b)$ . Então, as seguintes afirmações são equivalentes:

a)  $\{P_n\}_{n=0}^{\infty}$  é uma sequência de polinômios ortogonais com relação a  $\phi$  em  $(a, b)$ , ou seja,

$$\langle P_n, P_m \rangle = \int_a^b P_n(x)P_m(x)d\phi(x) = \begin{cases} 0, & \text{se } n \neq m, \\ \rho_n \neq 0, & \text{se } n = m. \end{cases}$$

$$b) \quad \langle P_n, \pi \rangle = \int_a^b P_n(x)\pi(x)d\phi(x) = \begin{cases} 0, & \forall \text{ polinômio } \pi \text{ de grau } \leq n-1, \\ \hat{\rho}_n \neq 0, & \forall \text{ polinômio } \pi \text{ de grau } n, \end{cases}$$

$$c) \quad \langle x^m, P_n \rangle = \int_a^b x^m P_n(x)d\phi(x) = \begin{cases} 0, & \text{se } m < n, \\ \tilde{\rho}_n \neq 0, & \text{se } m = n. \end{cases}$$

**Exercício 1.7.** Sejam  $\{R_n\}_{n=0}^{\infty}$  e  $\{P_n\}_{n=0}^{\infty}$  duas sequências de polinômios ortogonais no intervalo  $(a, b)$  com relação à medida  $\phi$ . Então,

$$R_j(x) = c_j P_j(x), \quad j = 0, 1, \dots,$$

onde  $c_j$  é uma constante que depende apenas de  $j$ .

**Exercício 1.8.** Mostre que se os momentos  $\mu_k$ ,  $k = 0, 1, \dots$ , definidos por (1.1.1) existem, então os determinantes de Hankel,  $H_n$ , definidos por (1.1.3), são diferentes de zero.

**Exercício 1.9.** Demonstre o Teorema 1.10.

**Exercício 1.10.** Demonstre a Identidade de Christoffel-Darboux (1.4.14).

**Exercício 1.11.** Sejam  $x_{n,1} < x_{n,2} < \dots < x_{n,n}$  e  $x_{n-1,1} < x_{n-1,2} < \dots < x_{n-1,n-1}$  os zeros dos polinômios ortogonais  $P_n$  e  $P_{n-1}$ , respectivamente, dados em ordem crescente. Então,

$$x_{n,k} < x_{n-1,k} < x_{n,k+1}, \quad k = 1, 2, \dots, n-1.$$

**Exercício 1.12.** Mostre que, para  $n \geq 1$ , os polinômios  $Q_n$ , definidos por (1.4.16), são polinômios de grau exatamente  $n-1$ .

**Exercício 1.13.** Demonstre que os polinômios associados aos ortogonais satisfazem à mesma relação de recorrência dos polinômios ortogonais mônicos, ou seja,

$$Q_{n+1}(x) = (x - \beta_{n+1})Q_n(x) - \alpha_{n+1}Q_{n-1}(x), \quad n \geq 1,$$

com  $Q_0(x) = 0$  e  $Q_1(x) = \mu_0$ .

**Exercício 1.14.** Sejam  $\{P_n\}_{n=0}^\infty$  e  $\{Q_n\}_{n=0}^\infty$  seqüências de polinômios ortogonais e associados aos ortogonais, respectivamente. Mostre que

$$P_{n+1}(x)Q_n(x) - P_n(x)Q_{n+1}(x) = -\alpha_{n+1} \cdots \alpha_3 \alpha_2 \mu_0 \neq 0.$$

**Exercício 1.15.** Mostre que entre dois zeros consecutivos do polinômio  $P_n$  existe um único zero do polinômio  $Q_n$ , ou seja,

$$x_{n,k} < y_{n,k} < x_{n,k+1}, \quad k = 1, 2, \dots, n-1,$$

onde  $x_{n,k}$ ,  $k = 1, 2, \dots, n$ , são os zeros do polinômio  $P_n$  e  $y_{n,k}$ ,  $k = 1, 2, \dots, n-1$ , os de  $Q_n$ , dados em ordem crescente.

**Exercício 1.16.** Mostre que se  $\phi$  é uma medida simétrica em  $(-b, b)$ , então valem as seguintes propriedades:

- $\mu_{2n+1} = 0$ ,  $n = 0, 1, \dots$ ;
- $\beta_n = 0$ ,  $n = 1, 2, \dots$ ;
- $P_n(-x) = (-1)^n P_n(x)$ ,  $n = 0, 1, \dots$ ;
- $x_{n,k} = -x_{n,n-k+1}$ ,  $k = 1, 2, \dots, n$ .

**Exercício 1.17.** Mostre que os polinômios de Gegenbauer,  $G_n^{(\lambda)}$ , definidos em (1.4.22) satisfazem

$$G_{n+1}^{(\lambda)}(1) = \frac{2\lambda + n}{2(\lambda + n)} G_n^{(\lambda)}(1), \quad n \geq 0,$$

com  $G_0^{(\lambda)}(1) = 1$ .

**Exercício 1.18.** Encontre seqüências encadeadas positivas utilizando as relações (1.4.24), (1.4.25) e os polinômios ortogonais clássicos.

**Exercício 1.19.** Mostre que os polinômios  $S_n$  definidos por (1.5.33) satisfazem também à (1.5.34).

**Exercício 1.20.** Mostre que a definição (1.5.35) é equivalente à (1.5.33).

**Exercício 1.21.** Considere

$$C_n(z) = S_n(z) + \bar{\alpha}_{n-1} S_n^*(z) - \gamma_n z S_{n-1}(z), \quad \text{com } \gamma_n = \frac{\langle S_n, z^n \rangle}{\langle z S_{n-1}, z^n \rangle}$$

e demonstre a equação (1.5.45), ou seja,

$$S_n(z) = (1 - |\alpha_{n-1}|^2) z S_{n-1}(z) - \bar{\alpha}_{n-1} S_n^*(z).$$

**Exercício 1.22.** Mostre que

$$S_n(w_n, z) = S_n(z) + w_n S_n^*(z), \quad z, w_n \in \mathbb{C}, n = 1, 2, \dots$$

satisfaz à definição de polinômios para-ortogonais com relação à medida  $\psi$ .



## Capítulo 2

# Polinômios L-Ortogonais na Reta Real

Estudos feitos por Jones, Thron e outros [26, 30] sobre problemas fortes de momento deram origem aos polinômios de Laurent ortogonais. O problema forte de momento pode ser expresso da seguinte forma: dada uma sequência  $\{\mu_n\}_{n=-\infty}^{\infty}$  de números reais, em que condições existe uma medida positiva  $\psi$  tal que  $\mu_n = \int_a^b t^n d\psi(t)$  para  $n = \dots, 0, \pm 1, \pm 2, \dots$ ?

Neste capítulo, apresentaremos a definição e algumas propriedades dos polinômios de Laurent ortogonais (veja [14, 26, 30] para mais detalhes) para depois passarmos ao estudo dos polinômios L-ortogonais (Sri Ranga [41]) que, por possuírem muitas propriedades semelhantes às dos polinômios ortogonais na reta real, são, algumas vezes, chamados de polinômios similares aos ortogonais. Esses últimos polinômios satisfazem a uma relação de recorrência de três termos do tipo (1), objetivo do presente texto.

### 2.1 Polinômios de Laurent ortogonais

Lembremos que, para um par de números inteiros  $(p, q)$ ,  $p \leq q$ ,  $\Lambda_{p,q}$  é o espaço das funções definidas por

$$R(z) = \sum_{k=p}^q r_k z^k, \quad z \in \mathbb{C} \text{ e } r_k \in \mathbb{C}, \quad k = p, \dots, q.$$

Essas funções são conhecidas por polinômios de Laurent ou, simplesmente, L-polinômios. O espaço de todos os L-polinômios será denotado por  $\Lambda$ , o espaço dos polinômios por  $\mathbb{P}$  e o espaço dos polinômios de grau no máximo  $n$  por  $\mathbb{P}_n$ . Note que  $\mathbb{P}_n = \Lambda_{0,n}$ .

Em especial, para  $n \in \mathbb{N}$ , denotaremos

$$\begin{aligned} \Lambda_{2n} &= \{R \in \Lambda_{-n,n} : r_n \neq 0\} \\ \Lambda_{2n+1} &= \{R \in \Lambda_{-n-1,n} : r_{-n-1} \neq 0\}. \end{aligned}$$

Não é difícil verificar que, para todo polinômio  $R \in \Lambda$ , existe um único  $i \in \mathbb{N}$  tal que  $R \in \Lambda_i$  (Exercício 2.1).

Dizemos que um  $L$ -polinômio  $R$  é de  $L$ -grau  $m$  se  $R \in \Lambda_m$  para  $m \in \mathbb{N}$ .

Se  $R \in \Lambda_{2n}$ , então o coeficiente do termo em  $t^n$  é chamado *coeficiente principal* e o coeficiente da potência  $t^{-n}$  é chamado *coeficiente secundário*. Se  $R \in \Lambda_{2n+1}$ , então o coeficiente do termo em  $t^n$  é chamado *coeficiente secundário* e o coeficiente da potência  $t^{-n-1}$  é chamado *coeficiente principal*. O coeficiente principal é sempre não nulo e não há restrições para o coeficiente secundário. Um  $L$ -polinômio é chamado *mônico* se o coeficiente principal for igual a 1.

Consideremos uma medida forte em  $(a, b)$ ,  $0 \leq a < b \leq \infty$ , e os momentos dados por

$$\mu_m^\psi = \int_a^b t^m d\psi(t), \quad m = 0, \pm 1, \pm 2, \dots \quad (2.1.1)$$

Os determinantes de Hankel  $H_n^{(m)}$ , definidos por (1.1.4), são positivos para  $m, n \in \mathbb{Z}$  e  $n > 0$  (Exercício 2.2).

**Definição 2.1.** Uma sequência  $\{R_n\}_{n=0}^\infty$  é chamada *sequência de polinômios de Laurent ortogonais com relação à medida  $\psi$  em  $(a, b)$*  se

i)  $R_n \in \Lambda_n$ ,  $n \in \mathbb{N}$ ,

$$\text{ii) } \int_a^b R_n(t)R_m(t)d\psi(t) = \begin{cases} 0, & \text{se } m \neq n, \\ k_n \neq 0, & \text{se } m = n. \end{cases}$$

Vamos considerar os polinômios de Laurent na forma mônica, ou seja,

$$R_{2n}(t) = \sum_{j=-n}^n r_{2n,j} t^j, \quad \text{com } r_{2n,n} = 1, \quad (2.1.2)$$

$$R_{2n+1}(t) = \sum_{j=-n-1}^n r_{2n+1,j} t^j, \quad \text{com } r_{2n+1,-n-1} = 1. \quad (2.1.3)$$

Analogamente ao caso dos polinômios ortogonais, é possível mostrar que se  $\{R_n\}_{n=0}^\infty$  é uma sequência de  $L$ -polinômios tal que  $R_n$  é de  $L$ -grau  $n$  para todo  $n \in \mathbb{N}$ , então as seguintes afirmações são equivalentes (Exercício 2.3):

a)  $\{R_n\}_{n=0}^\infty$  é uma sequência de polinômios de Laurent ortogonais;

$$\text{b) } \int_a^b R(t)R_n(t)d\psi(t) \begin{cases} = 0, & \text{para todo polinômio } R \text{ de } L\text{-grau } \leq n-1, \\ \neq 0, & \text{se } R \text{ tem } L\text{-grau } n; \end{cases}$$

$$\text{c) } \int_a^b t^m R_{2n}(t)d\psi(t) = \sum_{j=-n}^n r_{2n,j} \mu_{j+m}^\psi \begin{cases} = 0, & \text{se } -n \leq m \leq n-1, \\ \neq 0, & \text{se } m = n; \end{cases}$$

$$\int_a^b t^m R_{2n+1}(t)d\psi(t) = \sum_{j=-n-1}^n r_{2n+1,j} \mu_{j+m}^\psi \begin{cases} = 0, & \text{se } -n \leq m \leq n, \\ \neq 0, & \text{se } m = -n-1. \end{cases}$$

Utilizando o item *c)* com  $m = -n, -n+1, \dots, n-1$  e procedendo de maneira similar ao que foi feito para o caso dos polinômios ortogonais, chegamos a um sistema de equações lineares. Pela regra de Cramer, obtemos

$$R_{2n}(t) = \frac{1}{H_{2n}^{(-2n)}} \begin{vmatrix} \mu_{-2n}^\psi & \mu_{-2n+1}^\psi & \cdots & \mu_{-1}^\psi & \mu_0^\psi \\ \mu_{-2n+1}^\psi & \mu_{-2n+2}^\psi & \cdots & \mu_0^\psi & \mu_1^\psi \\ \vdots & \vdots & \ddots & \vdots & \vdots \\ \mu_{-1}^\psi & \mu_0^\psi & \cdots & \mu_{2n-2}^\psi & \mu_{2n-1}^\psi \\ t^{-n} & t^{-n+1} & \cdots & t^{n-1} & t^n \end{vmatrix}. \quad (2.1.4)$$



Analogamente, fazendo  $m = -n, -n + 1, \dots, n$  e usando a regra de Cramer, obtemos

$$R_{2n+1}(t) = \frac{1}{H_{2n+1}^{(-2n)}} \begin{vmatrix} t^{-n-1} & t^{-n} & \dots & t^{n-1} & t^n \\ \mu_{-2n-1}^\psi & \mu_{-2n}^\psi & \dots & \mu_{-1}^\psi & \mu_0^\psi \\ \vdots & \vdots & \ddots & \vdots & \vdots \\ \mu_{-2}^\psi & \mu_{-1}^\psi & \dots & \mu_{2n-2}^\psi & \mu_{2n-1}^\psi \\ \mu_{-1}^\psi & \mu_0^\psi & \dots & \mu_{2n-1}^\psi & \mu_{2n}^\psi \end{vmatrix}. \quad (2.1.5)$$

Assim, como  $H_n^{(m)} > 0$ , mostra-se a existência dos polinômios de Laurent ortogonais.

Vale ressaltar que os polinômios de Laurent ortogonais não satisfazem a uma relação de recorrência de três termos.

## 2.2 Polinômios L-ortogonais

Iniciaremos, agora, o estudo dos polinômios L-ortogonais dados em [41] e que denotaremos por  $B_n$ .

**Definição 2.2.** *Seja  $\psi$  uma medida forte em  $(a, b)$ ,  $0 \leq a < b \leq \infty$ . Dizemos que uma sequência de polinômios  $\{B_n\}_{n=0}^\infty$ , onde  $B_n$  é um polinômio mônico de grau exatamente  $n$ , é uma sequência de polinômios L-ortogonais com relação a  $d\psi$  no intervalo  $(a, b)$  se*

$$\int_a^b t^{-n+s} B_n(t) d\psi(t) = \begin{cases} 0, & \text{se } 0 \leq s \leq n-1, \\ \rho_n > 0, & \text{se } s = n. \end{cases} \quad (2.2.6)$$

Equivalentemente, pode-se escrever (2.2.6) como

$$\int_a^b t^k B_n(t) d\psi(t) = \begin{cases} 0, & \text{para } k = -1, -2, \dots, -n+1, -n, \\ \rho_n > 0, & \text{para } k = 0. \end{cases} \quad (2.2.7)$$

A existência dos polinômios L-ortogonais  $B_n$  também depende dos determinantes de Hankel. Assim, escrevendo  $B_n$  em termos de seus coeficientes, ou seja,

$$B_n(t) = \sum_{k=0}^n b_{n,k} t^k, \text{ com } b_{n,n} = 1, \quad (2.2.8)$$

obtemos

$$\int_a^b t^{-n+s} B_n(t) d\psi(t) = \sum_{k=0}^n b_{n,k} \mu_{-n+s+k}^\psi = \begin{cases} 0, & \text{se } s = 0, 1, \dots, n-1, \\ \rho_n > 0, & \text{se } s = n. \end{cases} \quad (2.2.9)$$

Fazendo  $s = 0, 1, \dots, n-1$  em (2.2.9), obtemos um sistema linear. Acrescentando (2.2.8) como a última linha desse sistema e utilizando a regra de Cramer, podemos escrever  $B_n$  da seguinte forma

$$B_n(t) = \frac{1}{H_n^{(-n)}} \begin{vmatrix} \mu_{-n}^\psi & \mu_{-n+1}^\psi & \dots & \mu_{-1}^\psi & \mu_0^\psi \\ \mu_{-n+1}^\psi & \mu_{-n+2}^\psi & \dots & \mu_0^\psi & \mu_1^\psi \\ \vdots & \vdots & \ddots & \vdots & \vdots \\ \mu_{-1}^\psi & \mu_0^\psi & \dots & \mu_{n-2}^\psi & \mu_{n-1}^\psi \\ 1 & t & \dots & t^{n-1} & t^n \end{vmatrix}. \quad (2.2.10)$$

Além disso, se substituirmos a última linha do sistema anterior pela equação obtida quando fazemos  $s = n$  em (2.2.9), e o resolvermos pela regra de Cramer, podemos escrever  $\rho_n$  como

$$\rho_n = \frac{H_{n+1}^{(-n)}}{H_n^{(-n)}}. \quad (2.2.11)$$

Se tomarmos  $t = 0$  na relação (2.2.10), o termo independente de  $B_n$  torna-se

$$b_{n,0} = B_n(0) = (-1)^n \frac{H_n^{(-n+1)}}{H_n^{(-n)}} \neq 0. \quad (2.2.12)$$

Logo,  $t = 0$  não é zero de  $B_n$ ,  $n \geq 1$ .

Considerando  $s = -1$  na integral em (2.2.6), vamos definir

$$\eta_n = \int_a^b t^{-n-1} B_n(t) d\psi(t). \quad (2.2.13)$$

Logo, de (2.1.1) e (2.2.8), obtemos

$$\eta_n = b_{n,n} \mu_{-1}^\psi + b_{n,n-1} \mu_{-2}^\psi + \dots + b_{n,1} \mu_{-n}^\psi + b_{n,0} \mu_{-n-1}^\psi.$$

Fazendo  $s = -1, 0, 1, \dots, n-1$  na integral em (2.2.6) e aplicando a Regra de Cramer, obtemos

$$B_n(0) = \eta_n \frac{H_n^{(-n+1)}}{H_{n+1}^{-(n+1)}}.$$

Utilizando a equação (2.2.12), obtemos

$$\eta_n = (-1)^n \frac{H_{n+1}^{-(n+1)}}{H_n^{(-n)}}. \quad (2.2.14)$$

### Relação entre os polinômios de Laurent ortogonais e os $L$ -ortogonais

Da relação (2.2.10), obtemos

$$B_{2n}(t) = \frac{1}{H_{2n}^{(-2n)}} \begin{vmatrix} \mu_{-2n}^\psi & \mu_{-2n+1}^\psi & \cdots & \mu_{-1}^\psi & \mu_0^\psi \\ \mu_{-2n+1}^\psi & \mu_{-2n+2}^\psi & \cdots & \mu_0^\psi & \mu_1^\psi \\ \vdots & \vdots & \ddots & \vdots & \vdots \\ \mu_{-1}^\psi & \mu_0^\psi & \cdots & \mu_{2n-2}^\psi & \mu_{2n-1}^\psi \\ 1 & t & \cdots & t^{2n-1} & t^{2n} \end{vmatrix}.$$

Dividindo a relação anterior por  $t^n$  e comparando com (2.1.4), concluímos que

$$\frac{B_{2n}(t)}{t^n} = R_{2n}(t).$$

Novamente de (2.2.10), obtemos

$$B_{2n+1}(t) = \frac{1}{H_{2n+1}^{(-2n-1)}} \begin{vmatrix} \mu_{-2n-1}^\psi & \mu_{-2n}^\psi & \cdots & \mu_{-1}^\psi & \mu_0^\psi \\ \mu_{-2n}^\psi & \mu_{-2n+1}^\psi & \cdots & \mu_0^\psi & \mu_1^\psi \\ \vdots & \vdots & \ddots & \vdots & \vdots \\ \mu_{-1}^\psi & \mu_0^\psi & \cdots & \mu_{2n-1}^\psi & \mu_{2n}^\psi \\ 1 & t & \cdots & t^{2n} & t^{2n+1} \end{vmatrix}.$$

Dividindo a relação anterior por  $t^{n+1}$  e comparando com (2.1.5), obtemos

$$\frac{B_{2n+1}(t)}{t^{n+1}} = -\frac{H_{2n+1}^{(-2n)}}{H_{2n+1}^{(-2n-1)}} R_{2n+1}(t) = b_{2n+1} R_{2n+1}(t),$$

pois  $b_{2n+1} = -\frac{H_{2n+1}^{(-2n)}}{H_{2n+1}^{(-2n-1)}}$ . Logo,

$$\frac{B_{2n+1}(t)}{t^{n+1} B_{2n+1}(0)} = R_{2n+1}(t).$$

### 2.2.1 Polinômios associados aos L-ortogonais

Analogamente aos polinômios ortogonais, podemos definir os polinômios associados aos L-ortogonais.

**Definição 2.3.** Os polinômios  $C_n$ , associados aos polinômios  $B_n$ , são definidos por

$$C_n(t) = \int_a^b \frac{B_n(z) - B_n(t)}{z - t} d\psi(z). \quad (2.2.15)$$

**Teorema 2.1.** O polinômio associado  $C_n$  tem grau  $n - 1$ ,  $n \geq 1$ .

Demonstração: Seja  $B_n(t) = \sum_{k=0}^n b_{n,k} t^k$ . Assim,

$$B_n(z) - B_n(t) = b_{n,n}(z^n - t^n) + b_{n,n-1}(z^{n-1} - t^{n-1}) + \dots + b_{n,1}(z - t) = \sum_{k=1}^n b_{n,k}(z^k - t^k).$$

Substituindo na equação (2.2.15), desenvolvendo-a e substituindo a definição de momento, obtemos

$$C_n(t) = \sum_{k=1}^n b_{n,k} (\mu_{k-1}^\psi + \mu_{k-2}^\psi t + \dots + \mu_1^\psi t^{k-2} + \mu_0^\psi t^{k-1}).$$

Desenvolvendo o somatório, encontramos

$$C_n(t) = b_{n,n} \mu_0^\psi t^{n-1} + (b_{n,n} \mu_1^\psi + b_{n,n-1} \mu_0^\psi) t^{n-2} + \dots + b_{n,1} \mu_0^\psi.$$

Portanto,  $C_n$  tem grau  $n - 1$ . ■

Além da equação (2.2.15), os polinômios  $C_n$  também podem ser dados pelo teorema a seguir.

**Teorema 2.2.** Os polinômios  $C_n$  satisfazem

$$C_n(t) = \int_a^b z^{-m} \frac{t^m B_n(z) - z^m B_n(t)}{z - t} d\psi(z), \quad m = 0, 1, \dots, n. \quad (2.2.16)$$

Demonstração: Para  $m = 0$  é imediato. De (2.2.15), temos

$$C_n(t) = \int_a^b z^{-m} \frac{z^m B_n(z) - z^m B_n(t)}{z - t} d\psi(z).$$

Somando-se e subtraindo-se o termo  $t^m B_n(z)$ , obtemos

$$C_n(t) = \int_a^b z^{-m} \frac{t^m B_n(z) - z^m B_n(t)}{z-t} d\psi(z) + \int_a^b z^{-m} B_n(z) \frac{z^m - t^m}{z-t} d\psi(z).$$

Como

$$\frac{z^m - t^m}{z-t} = \sum_{k=0}^{m-1} z^k t^{m-1-k},$$

então

$$C_n(t) = \int_a^b z^{-m} \frac{t^m B_n(z) - z^m B_n(t)}{z-t} d\psi(z) + \sum_{k=0}^{m-1} t^{m-1-k} \int_a^b z^{k-m} B_n(z) d\psi(z).$$

Mas,

$$\int_a^b z^{k-m} B_n(z) d\psi(z) = 0, \text{ para } m = 1, \dots, n, \text{ e } k = 0, 1, \dots, m-1.$$

Portanto,

$$C_n(t) = \int_a^b z^{-m} \frac{t^m B_n(z) - z^m B_n(t)}{z-t} d\psi(z), \text{ para } 0 \leq m \leq n.$$

■

Os polinômios  $C_n$  também são utilizados para o cálculo dos pesos de certas fórmulas de quadratura que veremos mais adiante na Seção 4.1.2.

## 2.2.2 Relação de recorrência de três termos

Primeiramente, apresentamos o seguinte resultado sobre o conjunto de polinômios  $\{t^{n-j} B_j\}_{j=0}^n$  (veja [5]).

**Lema 2.1.** *Para  $n \geq 1$ , o conjunto de polinômios  $\{t^{n-j} B_j\}_{j=0}^n$  é linearmente independente.*

Demonstração: Observe que os polinômios  $t^{n-j} B_j$ ,  $j = 0, 1, \dots, n$ , são polinômios mônicos de grau  $n$ . Tomemos uma combinação linear nula desses polinômios, isto é,

$$\sum_{j=0}^n \gamma_j t^{n-j} B_j(t) = \gamma_0 t^n B_0(t) + \gamma_1 t^{n-1} B_1(t) + \dots + \gamma_n B_n(t) = 0.$$

Multiplicando ambos os lados por  $t^{s-n}$  e integrando com respeito a  $\psi$  no intervalo  $(a, b)$ , obtemos

$$\sum_{j=0}^n \gamma_j \int_a^b t^{s-j} B_j(t) d\psi(t) = 0. \quad (2.2.17)$$

De (2.2.6), sabemos que

$$\int_a^b t^{-j+s} B_j(t) d\psi(t) = 0, \text{ para } s = 0, 1, \dots, j-1.$$

Fazendo  $s = 0, 1, \dots, n$  em (2.2.17), obtemos o sistema triangular inferior de equações lineares

$$\sum_{j=0}^s \gamma_j \int_a^b t^{-j+s} B_j(t) d\psi(t) = 0, \quad \text{para } s = 0, 1, \dots, n.$$

Como  $\rho_s = \int_a^b B_s(t) d\psi(t) \neq 0$ , então  $\gamma_s = 0$ ,  $s = 0, 1, \dots, n$ , o que demonstra o resultado. ■

Mostramos, agora, que os polinômios  $B_n$  e os associados  $C_n$  satisfazem a relações de recorrência de três termos da forma (1), com  $\beta_n > 0$  e  $\alpha_{n+1} > 0$ ,  $n \geq 1$ .

**Teorema 2.3.** *Os polinômios  $B_n$  e  $C_n$  satisfazem às seguintes relações de recorrência de três termos, para  $n \geq 1$ ,*

$$B_{n+1}(t) = (t - \beta_{n+1})B_n(t) - \alpha_{n+1} t B_{n-1}(t), \quad (2.2.18)$$

$$C_{n+1}(t) = (t - \beta_{n+1})C_n(t) - \alpha_{n+1} t C_{n-1}(t), \quad (2.2.19)$$

com  $B_0(t) = 1$ ,  $B_1(t) = t - \beta_1$ ,  $C_0(t) = 0$ ,  $C_1(t) = \mu_0^\psi e$

$$\beta_1 = \frac{\mu_0^\psi}{\mu_{-1}^\psi}, \quad \alpha_{n+1} = \frac{\rho_n}{\rho_{n-1}}, \quad \beta_{n+1} = -\alpha_{n+1} \frac{\eta_{n-1}}{\eta_n}. \quad (2.2.20)$$

Demonstração: Se  $B_n$ , para  $n \geq 0$ , são polinômios mônicos de grau  $n$ , o polinômio  $B_{n+1}(t) - tB_n(t)$  também é um polinômio de grau no máximo  $n$  em  $t$ . Assim, pelo Lema 2.1 podemos escrever

$$B_{n+1}(t) - tB_n(t) = \sum_{j=0}^n \gamma_j t^{n-j} B_j(t). \quad (2.2.21)$$

Multiplicando ambos os membros da última igualdade por  $t^k$  e integrando em  $(a, b)$  com relação a  $\psi$ , obtemos

$$\int_a^b t^k B_{n+1}(t) d\psi(t) - \int_a^b t^{k+1} B_n(t) d\psi(t) = \sum_{j=0}^n \gamma_j \int_a^b t^{n-j+k} B_j(t) d\psi(t). \quad (2.2.22)$$

• Fazendo  $k = -n$  em (2.2.22), obtemos

$$\int_a^b t^{-n} B_{n+1}(t) d\psi(t) - \int_a^b t^{-n+1} B_n(t) d\psi(t) = \sum_{j=0}^n \gamma_j \int_a^b t^{-j} B_j(t) d\psi(t).$$

Usando (2.2.7), temos  $0 = \gamma_0 \rho_0$  e, como  $\rho_0 > 0$ , então

$$\gamma_0 = 0.$$

• Fazendo  $k = -n + 1$  em (2.2.22) e, como  $\gamma_0 = 0$ , obtemos

$$\int_a^b t^{-n+1} B_{n+1}(t) d\psi(t) - \int_a^b t^{-n+2} B_n(t) d\psi(t) = \sum_{j=1}^n \gamma_j \int_a^b t^{-j+1} B_j(t) d\psi(t).$$

De (2.2.7), temos  $0 = \gamma_1 \rho_1$  e, como  $\rho_1 > 0$ , então

$$\gamma_1 = 0.$$

• Analogamente, fazendo  $k = -n + 2, -n + 3, \dots, -2$  em (2.2.22), concluímos que

$$\gamma_2 = \gamma_3 = \dots = \gamma_{n-2} = 0.$$

Substituindo  $\gamma_j = 0$ , para  $j = 0, 1, \dots, n - 2$ , em (2.2.21), obtemos

$$B_{n+1}(t) - tB_n(t) = \gamma_n B_n(t) + \gamma_{n-1} t B_{n-1}(t),$$

ou seja, os polinômios  $\{B_n(t)\}$  satisfazem a uma relação de recorrência de três termos.

Para determinar o valor de  $\gamma_{n-1}$ , fazemos  $k = -1$  em (2.2.22), ou seja,

$$\int_a^b t^{-1} B_{n+1}(t) d\psi(t) - \int_a^b B_n(t) d\psi(t) = \gamma_n \int_a^b t^{-1} B_n(t) d\psi(t) + \gamma_{n-1} \int_a^b B_{n-1}(t) d\psi(t).$$

Logo,

$$- \int_a^b B_n(t) d\psi(t) = \gamma_{n-1} \int_a^b B_{n-1}(t) d\psi(t),$$

ou seja,

$$\gamma_{n-1} = -\frac{\rho_n}{\rho_{n-1}}.$$

Finalmente, o valor de  $\gamma_n$  é obtido fazendo-se  $k = -(n + 1)$  em (2.2.22). Assim,

$$\begin{aligned} \int_a^b t^{-(n+1)} B_{n+1}(t) d\psi(t) - \int_a^b t^{-n} B_n(t) d\psi(t) \\ = \gamma_n \int_a^b t^{-n-1} B_n(t) d\psi(t) + \gamma_{n-1} \int_a^b t^{-n} B_{n-1}(t) d\psi(t). \end{aligned}$$

Logo,

$$0 = \gamma_n \eta_n + \gamma_{n-1} \eta_{n-1}$$

e, então,

$$\gamma_n = -\gamma_{n-1} \frac{\eta_{n-1}}{\eta_n}.$$

Denotando, para  $n \geq 1$ ,

$$\alpha_{n+1} = -\gamma_{n-1} = \frac{\rho_n}{\rho_{n-1}} \quad \text{e} \quad \beta_{n+1} = -\alpha_{n+1} \frac{\eta_{n-1}}{\eta_n},$$

obtemos (2.2.18).

As condições iniciais  $B_0(t) = 1$  e  $B_1(t) = t - \beta_1$  seguem do fato de  $B_n$  ser mônico e usando

$$0 = \int_a^b t^{-1} B_1(t) d\psi(t) = \int_a^b t^{-1} (t - \beta_1) d\psi(t) = \mu_0^\psi - \beta_1 \mu_{-1}^\psi.$$

Provemos, agora, a relação (2.2.19). Usando a relação de recorrência de três termos (2.2.18), obtemos

$$\begin{aligned} B_{n+1}(z) - B_{n+1}(t) &= (z - \beta_{n+1})B_n(z) - \alpha_{n+1}zB_{n-1}(z) \\ &\quad - (t - \beta_{n+1})B_n(t) + \alpha_{n+1}tB_{n-1}(t). \end{aligned}$$

Somando e subtraindo  $tB_n(z)$  e  $\alpha_{n+1}tB_{n-1}(z)$  no segundo membro da relação anterior, temos

$$B_{n+1}(z) - B_{n+1}(t) = (t - \beta_{n+1})(B_n(z) - B_n(t)) - \alpha_{n+1}t(B_{n-1}(z) - B_{n-1}(t)) + (z - t)(B_n(z) - \alpha_{n+1}B_{n-1}(z)).$$

Dividindo ambos os lados da última igualdade por  $(z - t)$  e integrando em  $(a, b)$  com relação a  $\psi$ , obtemos

$$C_{n+1}(t) = (t - \beta_{n+1})C_n(t) - \alpha_{n+1}tC_{n-1}(t) + \rho_n - \alpha_{n+1}\rho_{n-1}.$$

Como  $\alpha_{n+1} = \frac{\rho_n}{\rho_{n-1}}$ , obtemos o resultado procurado. ■

Das relações (2.2.11) e (2.2.14), pode-se mostrar facilmente que os coeficientes  $\alpha_{n+1}$  e  $\beta_{n+1}$ ,  $n \geq 0$ , também podem ser dados por (Exercício 2.4)

$$\alpha_{n+1} = \frac{H_{n+1}^{(-n)} H_{n-1}^{(-(n-1))}}{H_n^{(-n)} H_n^{(-(n-1))}} \quad \text{e} \quad \beta_{n+1} = \frac{H_{n+1}^{(-n)} H_n^{(-n)}}{H_n^{(-(n-1))} H_{n+1}^{(-(n+1))}}.$$

### 2.2.3 Zeros dos polinômios L-ortogonais na reta real

Como dissemos no prefácio deste texto, uma propriedade interessante dos polinômios que satisfazem à relação de recorrência de três termos (1) com  $\beta_n > 0$  e  $\alpha_{n+1} > 0$ ,  $n \geq 1$ , é que seus zeros são reais e simples. Veremos, agora, a prova deste resultado.

**Teorema 2.4.** *Os zeros dos polinômios  $B_n$ ,  $n \geq 1$ , são reais, distintos e pertencem ao intervalo  $(a, b)$ .*

Demonstração: Mostremos que  $B_n$  possui pelo menos um zero em  $(a, b)$ ,  $0 \leq a < b \leq \infty$ . Suponhamos que  $B_n$  não tenha zeros em  $(a, b)$ . Então,  $B_n$  não muda de sinal em  $(a, b)$ , ou seja,  $B_n(t) > 0$  ou  $B_n(t) < 0$ ,  $t \in (a, b)$ .

Mas, por definição,

$$\int_a^b t^{-n} B_n(t) d\psi(t) = 0. \quad (2.2.23)$$

Por outro lado, como  $t^{-n} > 0$  e  $B_n$  não muda de sinal em  $(a, b)$ , temos

$$\int_a^b t^{-n} B_n(t) d\psi(t) \neq 0. \quad (2.2.24)$$

De (2.2.23) e (2.2.24) chegamos a uma contradição. Portanto,  $B_n$  muda de sinal pelo menos uma vez em  $(a, b)$ . Vamos supor, agora, que  $B_n$  muda de sinal  $r$  vezes em  $(a, b)$ ,  $r < n$ .

Sejam  $t_{n,1}, t_{n,2}, \dots, t_{n,r}$  os pontos onde  $B_n$  muda de sinal. Claramente,  $t_{n,1}, t_{n,2}, \dots, t_{n,r}$  são zeros de multiplicidade ímpar de  $B_n$  em  $(a, b)$ . Logo,

$$(t - t_{n,1})(t - t_{n,2}) \dots (t - t_{n,r}) = \sum_{j=0}^r a_j t^j$$

é um polinômio mônico de grau  $r$ . Como  $j = 0, \dots, r$  e  $r < n$ ,

$$\sum_{j=0}^r a_j \int_a^b t^{-n+j} B_n(t) d\psi(t) = 0. \quad (2.2.25)$$

Mas,  $B_n(t) \sum_{j=0}^r a_j t^j$  é um polinômio cujos zeros têm multiplicidade par em  $(a, b)$  ou são complexos. Assim, não muda de sinal em  $(a, b)$  e, portanto,

$$\sum_{j=0}^r a_j \int_a^b t^{-n+j} B_n(t) d\psi(t) \neq 0. \quad (2.2.26)$$

De (2.2.25) e (2.2.26), temos um absurdo. Logo,  $B_n$  muda de sinal  $r \geq n$  vezes em  $(a, b)$ . Como  $B_n$  é um polinômio de grau  $n$ ,  $r = n$ . Portanto,  $B_n$  tem todos os seus zeros simples e em  $(a, b)$ . ■

Consideramos, neste texto, os zeros de  $B_n$  ordenados em ordem crescente, isto é,

$$a < t_{n,1} < t_{n,2} < \dots < t_{n,n} < b.$$

Vamos mostrar mais algumas propriedades sobre os zeros dos polinômios  $B_n$  e  $C_n$ . Para isto, precisamos de alguns resultados.

Como consequência das relações de recorrência (2.2.18) e (2.2.19), podemos enunciar o resultado a seguir.

**Teorema 2.5.** *Os polinômios  $B_n$  e  $C_n$  satisfazem à seguinte relação:*

$$C_n(t)B_{n-1}(t) - C_{n-1}(t)B_n(t) = \alpha_n \alpha_{n-1} \alpha_{n-2} \dots \alpha_2 \mu_0^\psi t^{n-1}, \quad n \geq 2. \quad (2.2.27)$$

Além disso, o polinômio  $G_n$ , definido por

$$G_n(t) = B'_n(t)B_{n-1}(t) - B'_{n-1}(t)B_n(t), \quad n \geq 1, \quad (2.2.28)$$

satisfaz

$$G_{n+1}(t) = [B_n(t)]^2 + \alpha_{n+1} \beta_n [B_{n-1}(t)]^2 + \alpha_{n+1} \alpha_n t^2 G_{n-1}(t), \quad n \geq 1. \quad (2.2.29)$$

Demonstração: Mostremos a relação (2.2.27). Temos, do Teorema 2.3, que

$$\begin{aligned} C_n(t)B_{n-1}(t) - C_{n-1}(t)B_n(t) &= [(t - \beta_n)C_{n-1}(t) - \alpha_n t C_{n-2}(t)]B_{n-1}(t) \\ &\quad - C_{n-1}(t)[(t - \beta_n)B_{n-1}(t) - \alpha_n t B_{n-2}(t)] \\ &= \alpha_n t [C_{n-1}(t)B_{n-2}(t) - C_{n-2}(t)B_{n-1}(t)]. \end{aligned}$$

Observe que obtivemos uma equação de diferenças. Logo,

$$\begin{aligned} C_n(t)B_{n-1}(t) - C_{n-1}(t)B_n(t) &= \alpha_n t [\alpha_{n-1} t (C_{n-2}(t)B_{n-3}(t) - C_{n-3}(t)B_{n-2}(t))] \\ &\quad \vdots \\ &= \alpha_n t \alpha_{n-1} t [\dots (\alpha_2 t (C_1(t)B_0(t) - C_0(t)B_1(t)))]]. \end{aligned}$$

Como  $C_0(t) = 0$ ,  $C_1(t) = \mu_0$ ,  $B_0(t) = 1$  e  $B_1(t) = t - \beta_1$ , chegamos a

$$C_n(t)B_{n-1}(t) - C_{n-1}(t)B_n(t) = \alpha_n \alpha_{n-1} \alpha_{n-2} \dots \alpha_2 \mu_0 t^{n-1}, \quad n \geq 2.$$

Demonstremos (2.2.29). De (2.2.28) e da relação de recorrência de três termos, obtemos

$$\begin{aligned} G_n(t) &= [(t - \beta_n)B_{n-1}(t) - \alpha_n t B_{n-2}(t)]' B_{n-1}(t) \\ &\quad - B'_{n-1}(t)[(t - \beta_n)B_{n-1}(t) - \alpha_n t B_{n-2}(t)]. \end{aligned}$$



Calculando as derivadas, teremos

$$G_n(t) = B_{n-1}^2(t) - \alpha_n B_{n-2}(t)B_{n-1}(t) + \alpha_n t G_{n-1}(t).$$

Logo,

$$G_{n+1}(t) = B_n^2(t) - \alpha_{n+1} B_{n-1}(t)B_n(t) + \alpha_{n+1} t G_n(t).$$

Como  $B_n(t) = (t - \beta_n)B_{n-1}(t) - \alpha_n t B_{n-2}(t)$ , obtemos

$$G_{n+1}(t) = B_n^2(t) + \alpha_{n+1} \beta_n [B_{n-1}^2(t) + \alpha_{n+1} \alpha_n t^2 G_{n-1}(t)].$$

■

Usando a relação (2.2.29), obtemos

$$G_{2n+1}(t) = B_{2n}^2(t) + \alpha_{2n+1} \beta_{2n} B_{2n-1}^2(t) + \alpha_{2n+1} \alpha_{2n} t^2 G_{2n-1}(t). \quad (2.2.30)$$

Mas,

$$G_{2n-1}(t) = B_{2n-2}^2(t) + \alpha_{2n-1} \beta_{2n-2} B_{2n-3}^2(t) + \alpha_{2n-1} \alpha_{2n-2} t^2 G_{2n-3}(t)$$

e

$$G_{2n-3}(t) = B_{2n-4}^2(t)^2 + \alpha_{2n-3} \beta_{2n-4} B_{2n-5}^2(t) + \alpha_{2n-3} \alpha_{2n-4} t^2 G_{2n-5}(t).$$

Continuando com o mesmo raciocínio e substituindo em (2.2.30), concluímos que

$$\begin{aligned} G_{2n+1}(t) &= B_{2n}^2(t) + \alpha_{2n+1} \beta_{2n} B_{2n-1}^2(t) + \alpha_{2n+1} \alpha_{2n} t^2 B_{2n-2}^2(t) \\ &\quad + \alpha_{2n+1} \alpha_{2n} \alpha_{2n-1} \beta_{2n-2} t^2 B_{2n-3}^2(t) + \dots \\ &\quad + \alpha_{2n+1} \alpha_{2n} \alpha_{2n-1} \dots \alpha_4 \alpha_3 \beta_2 t^{2n-2} B_1^2(t) \\ &\quad + \alpha_{2n+1} \alpha_{2n} \alpha_{2n-1} \dots \alpha_3 \alpha_2 t^{2n} B_0^2(t). \end{aligned} \quad (2.2.31)$$

De modo análogo encontramos

$$\begin{aligned} G_{2n}(t) &= B_{2n-1}^2(t) + \alpha_{2n} \beta_{2n-1} B_{2n-2}^2(t) + \alpha_{2n} \alpha_{2n-1} t^2 B_{2n-3}^2(t) \\ &\quad + \alpha_{2n} \alpha_{2n-1} \alpha_{2n-2} \beta_{2n-3} t^2 B_{2n-4}^2(t) + \dots \\ &\quad + \alpha_{2n} \alpha_{2n-1} \alpha_{2n-2} \dots \alpha_4 \alpha_3 t^{2n-2} B_1^2(t) \\ &\quad + \alpha_{2n} \alpha_{2n-1} \alpha_{2n-2} \dots \alpha_3 \alpha_2 \beta_1 t^{2n-2} B_0^2(t). \end{aligned} \quad (2.2.32)$$

Estamos, agora, em condições de demonstrar o resultado a seguir.

**Teorema 2.6.** *Se  $t_{n,k}$  é um zero do polinômio  $B_n$ , para  $n \geq 1$ , então ele é diferente dos zeros de  $C_n$  e dos zeros de  $B_{n-1}$ .*

Demonstração: Temos, por hipótese, que  $t_{n,k}$  é um zero de  $B_n$ . Assim, da equação (2.2.27),

$$C_n(t_{n,k})B_{n-1}(t_{n,k}) = \alpha_n \alpha_{n-1} \alpha_{n-2} \dots \alpha_2 \mu_0^\psi t_{n,k}^{n-1} \neq 0.$$

pois  $t_{n,k} > 0$ , para  $k = 1, 2, \dots, n$ .

Como  $C_n(t_{n,k})B_{n-1}(t_{n,k})$  não se anula,  $t_{n,k}$  não é um zero do polinômio  $B_{n-1}$  e nem de  $C_n$ . ■

Além disso, pode-se mostrar que

**Teorema 2.7.** Para  $n \geq 2$ , entre dois zeros consecutivos do polinômio  $B_{n-1}$  existe um zero de  $B_n$ .

Demonstração: Seja  $t_{n-1,k}$ ,  $k = 1, 2, \dots, n-1$ , os zeros de  $B_{n-1}$ . Logo, por (2.2.31) e (2.2.32),  $G_n(t_{n-1,k}) > 0$  e, então,

$$B'_{n-1}(t_{n-1,k}) \neq 0, \quad \text{para } k = 1, 2, \dots, n-1.$$

Sejam  $t_{n-1,j}$  e  $t_{n-1,j+1}$ ,  $j = 1, 2, \dots, n-2$ , dois zeros consecutivos de  $B_{n-1}$ . Suponhamos, sem perda de generalidade, que  $B'_{n-1}(t_{n-1,j}) > 0$ . Então,  $B'_{n-1}(t_{n-1,j+1}) < 0$ . Assim, de (2.2.28),  $B_n(t_{n-1,j}) < 0$  e  $B_n(t_{n-1,j+1}) > 0$ .

Como  $B_n$  é uma função contínua, existe  $\tilde{t}$  entre  $t_{n-1,j}$  e  $t_{n-1,j+1}$  tal que  $B_n(\tilde{t}) = 0$  e o resultado do teorema segue imediatamente. ■

Facilmente, podemos também obter o resultado sobre os zeros de dois polinômios de graus consecutivos,  $B_n$  e  $B_{n+1}$ .

**Teorema 2.8.** Para  $n \geq 1$ , dois polinômios de graus consecutivos  $B_n$  e  $B_{n+1}$  não possuem zeros em comum.

Demonstração: Suponhamos que existe  $z$  tal que  $B_1(z) = B_2(z) = 0$ , então  $\alpha_2 z = 0$ . Como  $z = 0$  não é zero de  $B_n$ ,  $n \geq 1$ , isto é uma contradição. Assim  $B_1(z)$  e  $B_2(z)$  não possuem zeros em comum.

Agora, seja  $n \geq 2$  e suponhamos que  $B_{n-1}$  e  $B_n$  não possuem zeros em comum. Se  $B_n(z) = 0$ , então  $B_{n-1}(z) \neq 0$  e, de (2.2.18),

$$B_{n+1}(z) = -\alpha_{n+1} z B_{n-1}(z) \neq 0.$$

Isto significa que  $B_n$  e  $B_{n+1}$  não têm zeros em comum. Assim, por indução matemática, mostra-se o resultado do teorema. ■

Fazendo  $m = 1, 2, \dots, n-1$  em (2.2.18), mostra-se facilmente que

$$B_n(t) = \begin{vmatrix} t - \beta_1 & -\alpha_2 & 0 & \cdots & 0 & 0 \\ -t & t - \beta_2 & -\alpha_3 & \cdots & 0 & 0 \\ 0 & -t & t - \beta_3 & \cdots & 0 & 0 \\ \vdots & \vdots & \vdots & & \vdots & \vdots \\ 0 & 0 & 0 & \cdots & t - \beta_{n-1} & -\alpha_n \\ 0 & 0 & 0 & \cdots & -t & t - \beta_n \end{vmatrix}, \quad n \geq 1. \quad (2.2.33)$$

Deixamos para o leitor a demonstração deste fato no Exercício 2.6.

Usando a relação de recorrência (2.2.18) novamente, vamos mostrar que os zeros dos polinômios  $B_n$  são os autovalores de uma matriz de Hessenberg inferior. Veja, por exemplo, [38].

**Teorema 2.9.** Os zeros dos polinômios  $B_n$  são os autovalores da matriz de Hessenberg inferior

$$\begin{pmatrix} \eta_1 & \alpha_2 & 0 & \cdots & 0 & 0 \\ \eta_1 & \eta_2 & \alpha_3 & \cdots & 0 & 0 \\ \vdots & \vdots & \vdots & & \vdots & \vdots \\ \eta_1 & \eta_2 & \eta_3 & \cdots & \alpha_{n-1} & 0 \\ \eta_1 & \eta_2 & \eta_3 & \cdots & \eta_{n-1} & \alpha_n \\ \eta_1 & \eta_2 & \eta_3 & \cdots & \eta_{n-1} & \eta_n \end{pmatrix},$$

onde  $\eta_m = \alpha_m + \beta_m$ ,  $m = 1, 2, \dots, n$ , e  $\alpha_1 = 0$ .

Demonstração: De (2.2.33),  $B_n(t) = \det(t\mathbf{A}_n - \mathbf{B}_n)$ , onde

$$\mathbf{A}_n = \begin{bmatrix} 1 & 0 & 0 & \cdots & 0 \\ -1 & 1 & 0 & \cdots & 0 \\ 0 & -1 & 1 & \cdots & 0 \\ \vdots & \vdots & \vdots & \ddots & \vdots \\ 0 & 0 & 0 & \cdots & 1 \end{bmatrix} \quad \text{e} \quad \mathbf{B}_n = \begin{bmatrix} \beta_1 & \alpha_2 & 0 & \cdots & 0 \\ 0 & \beta_2 & \alpha_3 & \cdots & 0 \\ 0 & 0 & \beta_3 & \cdots & 0 \\ \vdots & \vdots & \vdots & \ddots & \vdots \\ 0 & 0 & 0 & \cdots & \beta_n \end{bmatrix}.$$

Observe que, como  $\mathbf{A}_n$  é não-singular, podemos então escrever

$$B_n(t) = \det(\mathbf{A}_n) \det(t\mathbf{I} - \mathbf{A}_n^{-1}\mathbf{B}_n).$$

Como  $\det(\mathbf{A}_n) = 1$  e

$$\mathbf{A}_n^{-1} = \begin{bmatrix} 1 & 0 & 0 & \cdots & 0 & 0 \\ 1 & 1 & 0 & \cdots & 0 & 0 \\ 1 & 1 & 1 & \cdots & 0 & 0 \\ \vdots & \vdots & \vdots & \ddots & \vdots & \vdots \\ 1 & 1 & 1 & \cdots & 1 & 0 \\ 1 & 1 & 1 & \cdots & 1 & 1 \end{bmatrix},$$

vemos que  $B_n$  é o polinômio característico mônico da matriz de Hessenberg inferior  $\mathbf{H}_n = \mathbf{A}_n^{-1}\mathbf{B}_n$ . Isto completa a prova do teorema. ■

Agora apresentaremos alguns exemplos de polinômios L-ortogonais que foram obtidos em [42].

**Exemplo 2.1.** Considere a medida forte definida no intervalo  $(a, b)$ ,

$$d\psi(t) = \frac{1}{\sqrt{b-t}\sqrt{t-a}} dt,$$

com  $0 < a < b < \infty$ . Os coeficientes da relação de recorrência de três termos (2.2.18) são dados por

$$\alpha_2 = 2\alpha, \quad \alpha_{n+1} = \alpha \quad \text{e} \quad \beta_n = \beta, \quad n \geq 1,$$

com

$$\beta = \sqrt{ab}, \quad \alpha = \frac{(\sqrt{b} - \sqrt{a})^2}{4}.$$

A Figura 2.1 mostra o gráfico dos polinômios L-ortogonais de graus 5 e 6, respectivamente, com  $a = 1$  e  $b = 4$ .

**Exemplo 2.2.** Considere a medida forte definida no intervalo  $(0, \infty)$ ,

$$d\psi(t) = t^{-1/2} e^{-(t+a/t)/2} dt,$$

com  $0 < a < \infty$ . Para esta medida, os coeficientes da relação de recorrência de três termos (2.2.18) são dados por

$$\alpha_{n+1} = n \quad \text{e} \quad \beta_n = \sqrt{a}, \quad n \geq 1.$$

A Figura 2.2 mostra o gráfico dos polinômios L-ortogonais de graus 4 e 5, respectivamente, com  $a = 9$ .

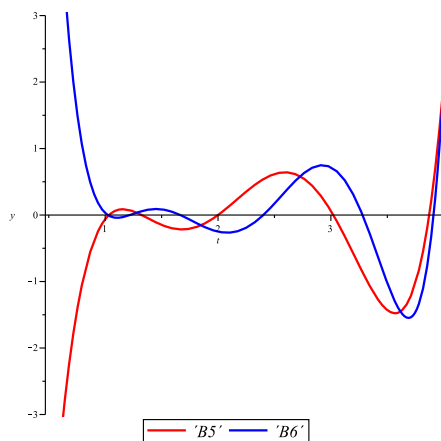


Figura 2.1: Gráfico dos polinômios  $B_5$  e  $B_6$  do Exemplo 2.1, com  $a = 1$  e  $b = 4$ .

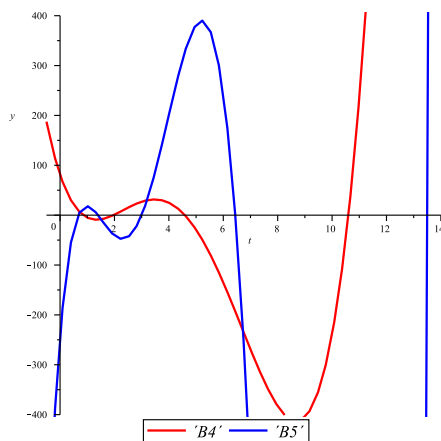


Figura 2.2: Gráfico dos polinômios  $B_4$  e  $B_5$  do Exemplo 2.2, com  $a = 9$ .

**Exemplo 2.3.** Considere a medida log-normal definida no intervalo  $(0, \infty)$ ,

$$d\psi(t) = \frac{\sqrt{q}}{2\lambda\sqrt{\pi}} e^{-(\ln(t)/(2\lambda))^2} dt,$$

onde  $0 < q < 1$ , e  $q = e^{-2\lambda^2}$ . Para esta medida, os coeficientes da relação de recorrência de três termos (2.2.18) são dados por

$$\alpha_{n+1} = q^{-n-1/2}(1 - q^n) \quad \text{e} \quad \beta_n = q^{-1/2}, \quad n \geq 1.$$

### 2.2.4 Relações entre polinômios ortogonais e L-ortogonais

Em Sri Ranga [42], encontramos estudos sobre certas medidas fortes  $\psi$  definidas em  $(a, b)$ ,  $0 \leq a < b \leq \infty$ , que satisfazem à seguinte propriedade

$$\frac{d\psi(t)}{\sqrt{t}} = -\frac{d\psi(\beta^2/t)}{\sqrt{\beta^2/t}}, \quad t \in (a, b), \quad (2.2.34)$$

onde  $\beta = \sqrt{ab}$ .

Entre outros resultados, foi mostrado que, para os momentos  $\mu_n^\psi$  associados a  $\psi$  e para os polinômios L-ortogonais  $B_n^\psi$ , que satisfazem

$$B_{n+1}^\psi(t) = (t - \beta_{n+1}^\psi)B_n^\psi(t) - \alpha_{n+1}^\psi t B_{n-1}^\psi(t), \quad n \geq 1,$$

com  $B_0^\psi(t) = 1$  e  $B_1^\psi(t) = t - \beta_1^\psi$ , valem as seguintes propriedades:

- $\mu_n^\psi = \beta^{2n+1} \mu_{-n-1}^\psi, \quad n \geq 0,$
- $B_n^\psi(t) = \frac{t^n B_n^\psi(\beta^2/t)}{B_n^\psi(0)} \quad n \geq 1,$
- $\beta_n^\psi = \beta, \quad n \geq 1,$
- $t_{n,k} = \beta^2/t_{n,n-k+1}, \quad k = 1, 2, \dots, n,$  onde  $a < t_{n,1} < t_{n,2} < \dots < t_{n,n} < b$  são os zeros do polinômio  $B_n^\psi$ .

Sri Ranga, em [43], considerou a função

$$x(t) = \frac{1}{2\sqrt{\alpha}}(\sqrt{t} - \beta/\sqrt{t}), \quad t \in (0, \infty), \quad (2.2.35)$$

que representa uma transformação do intervalo  $(0, \infty)$  no intervalo  $(-\infty, \infty)$ , cuja inversa é dada por

$$t(x) = (\sqrt{\alpha x^2 + \beta} + \sqrt{\alpha}x)^2, \quad x \in (-\infty, \infty).$$

Nesse mesmo trabalho foi mostrado que, se para uma medida forte  $\psi$  definida em  $(a, b)$ ,  $0 \leq a < b \leq \infty$ , vale

$$d\psi(t) = A \frac{t}{t + \beta} d\phi(x(t)), \quad (2.2.36)$$

então  $\psi$  possui a propriedade (2.2.34) se, e somente se,  $\phi$  é uma medida simétrica em  $[-d, d]$ , ou seja,  $d\phi(x) = -d\phi(-x)$ . Aqui,  $A$  é uma constante adequada e  $d = x(b) = (b - \beta)/(2\sqrt{\alpha b})$ .

Com essa propriedade é possível demonstrar a seguinte relação entre os polinômios L-ortogonais  $B_n^\psi$  associados a  $\psi$  e os polinômios ortogonais  $P_n^\phi$  associados a  $\phi$ :

$$B_n^\psi(t) = (2\sqrt{\alpha t})^n P_n^\phi(x(t)). \quad (2.2.37)$$

Além disso, os coeficientes  $\alpha_{n+1}^\phi$  da relação de recorrência de  $P_n^\phi$  e os coeficientes  $\alpha_{n+1}^\psi$  da relação de recorrência de  $B_n^\psi$  satisfazem

$$\alpha_{n+1}^\psi = 4\alpha \alpha_{n+1}^\phi, \quad n \geq 1. \quad (2.2.38)$$

## 2.3 Exercícios

**Exercício 2.1.** Mostre que, para todo polinômio  $R \in \Lambda$ , existe um único  $k \in \mathbb{N}$  tal que  $R \in \Lambda_k$ .

**Exercício 2.2.** Mostre que os determinantes de Hankel  $H_n^{(m)}$ , definidos por (1.1.4), são positivos para  $m, n \in \mathbb{Z}$  e  $n > 0$ .

**Exercício 2.3.** Seja  $\{R_n\}_{n=0}^\infty$  uma seqüência de L-polinômios, tal que  $R_n$  é de L-grau  $n$  para todo  $n \in \mathbb{N}$ . Então, as seguintes afirmações são equivalentes:

- a)  $\{R_n\}_{n=0}^\infty$  é uma seqüência de polinômios de Laurent ortogonais;
- b)  $\int_a^b R(t)R_n(t)d\psi(t) \begin{cases} = 0, & \text{para todo polinômio } R \text{ de L-grau } \leq n-1, \\ \neq 0, & \text{se } R \text{ tem L-grau } n; \end{cases}$
- c)  $\int_a^b t^m R_{2n}(t)d\psi(t) = \sum_{j=-n}^n r_{2n,j} \mu_{j+m}^\psi \begin{cases} = 0, & \text{se } -n \leq m \leq n-1, \\ \neq 0, & \text{se } m = n; \end{cases}$
- $\int_a^b t^m R_{2n+1}(t)d\psi(t) = \sum_{j=-n-1}^n r_{2n+1,j} \mu_{j+m}^\psi \begin{cases} = 0, & \text{se } -n \leq m \leq n, \\ \neq 0, & \text{se } m = -n-1. \end{cases}$

**Exercício 2.4.** Usando as relações (2.2.11) e (2.2.14), mostre que os coeficientes  $\alpha_{n+1}$  e  $\beta_{n+1}$ ,  $n \geq 0$ , dados em (2.2.20), podem ser escritos como

$$\alpha_{n+1} = \frac{H_{n+1}^{(-n)} H_{n-1}^{(-(n-1))}}{H_n^{(-n)} H_n^{(-(n-1))}} \quad \text{e} \quad \beta_{n+1} = \frac{H_{n+1}^{(-n)} H_n^{(-n)}}{H_n^{(-(n-1))} H_{n+1}^{(-(n+1))}}.$$

**Exercício 2.5.** Mostre que

$$\begin{aligned} G_{2n}(t) &= B_{2n-1}^2(t) + \alpha_{2n}\beta_{2n-1}B_{2n-2}^2(t) + \alpha_{2n}\alpha_{2n-1}t^2B_{2n-3}^2(t) \\ &\quad + \alpha_{2n}\alpha_{2n-1}\alpha_{2n-2}\beta_{2n-3}t^2B_{2n-4}^2(t) + \cdots + \alpha_{2n}\alpha_{2n-1}\cdots\alpha_3t^{2n-2}B_1^2(t) \\ &\quad + \alpha_{2n}\alpha_{2n-1}\cdots\alpha_3\alpha_2\beta_1t^{2n-2}B_0^2(t). \end{aligned}$$

**Exercício 2.6.** Mostre que

$$B_n(t) = \begin{vmatrix} t - \beta_1 & -\alpha_2 & 0 & \cdots & 0 & 0 \\ -t & t - \beta_2 & -\alpha_3 & \cdots & 0 & 0 \\ 0 & -t & t - \beta_3 & \cdots & 0 & 0 \\ \vdots & \vdots & \vdots & & \vdots & \vdots \\ 0 & 0 & 0 & \cdots & t - \beta_{n-1} & -\alpha_n \\ 0 & 0 & 0 & \cdots & -t & t - \beta_n \end{vmatrix}.$$

## Capítulo 3

# Polinômios Para-Ortogonais

Apresentamos aqui propriedades de seqüências de polinômios  $\{R_n\}_{n=0}^{\infty}$  que satisfazem à relação de recorrência de três termos (2), ou seja,

$$R_{n+1}(z) = [(1 + ic_{n+1})z + (1 - ic_{n+1})] R_n(z) - 4d_{n+1} z R_{n-1}(z), \quad n \geq 1,$$

com  $R_0(z) = 1$  e  $R_1(z) = (1 + ic_1)z + (1 - ic_1)$ , onde  $c_n \in \mathbb{R}$ ,  $n \geq 1$ , e  $\{d_{n+1}\}_{n=1}^{\infty}$  é uma seqüência encadeada positiva. Iniciaremos com o caso particular em que  $c_n = 0$  para  $n \geq 1$ , ou seja, os polinômios  $R_n$  satisfazem à relação recorrência (3),

$$R_{n+1}(z) = (z + 1) R_n(z) - 4d_{n+1} z R_{n-1}(z), \quad n \geq 1,$$

com  $R_0(z) = 1$  e  $R_1(z) = z + 1$ .

### 3.1 Polinômios para-ortogonais reais

Nosso objetivo é obter seqüências de polinômios para-ortogonais, definidos na Seção 1.5.1, que satisfaçam a uma relação de recorrência da forma (3). Os resultados aqui apresentados também podem ser encontrados em [10] e [11].

Consideremos o círculo unitário  $\mathcal{C} = \{z \in \mathbb{C} : |z| = 1\}$ . Seja  $\psi$  uma medida simétrica definida em  $\mathcal{C}$ , isto é,  $\psi$  satisfaz à propriedade de simetria

$$d\psi(1/z) = -d\psi(z)$$

ou, equivalentemente,  $\psi(e^{i\theta})$  satisfaz  $d\psi(e^{i(2\pi-\theta)}) = -d\psi(e^{i\theta})$ , pois  $z = e^{i\theta}$ , com  $0 < \theta < 2\pi$ .

É fácil mostrar que, para uma medida simétrica, os momentos trigonométricos

$$\mu_n = \int_{\mathcal{C}} z^{-n} d\psi(z), \quad n = 0, \pm 1, \pm 2, \dots$$

são reais e que  $\mu_{-n} = \mu_n$ , para  $n \geq 1$  (Exercício 3.1).

Lembremos que a seqüência de polinômios de Szegő (polinômios ortogonais no círculo unitário),  $\{S_n\}_{n=0}^{\infty}$ , associada a  $\psi$  é definida por

$$\int_{\mathcal{C}} S_n(z) \overline{S_m(z)} d\psi(z) = 0, \quad \text{para } n \neq m.$$

De (1.5.43), os coeficientes de reflexão  $\alpha_n$  também são reais, ou seja,

$$\alpha_n = -S_{n+1}(0),$$

e, conseqüentemente, de (1.5.44) e (1.5.45), os polinômios de Szegő associados a  $\psi$  são reais.

Consideremos, agora, duas seqüências de polinômios para-ortogonais especiais, denotadas por

$$\{S_n(1, z)\}_{n=0}^{\infty} \quad \text{e} \quad \{S_n(-1, z)\}_{n=0}^{\infty},$$

obtidas de (1.5.56), ou seja, de

$$S_n(w_n, z) = S_n(z) + w_n S_n^*(z)$$

quando escolhermos  $w_n = 1$  e  $w_n = -1$ , respectivamente.

Considerando  $z_1, z_2, \dots, z_n$  os zeros de  $S_n$ , observe que, como  $S_n(-1, z) = S_n(z) - S_n^*(z)$ , temos

$$S_n(-1, z) = (z - z_1)(z - z_2) \cdots (z - z_n) - (1 - z z_1)(1 - z z_2) \cdots (1 - z z_n).$$

Assim,  $S_n(-1, 1) = 0$  e, portanto, é divisível por  $(z - 1)$ .

A partir dessas seqüências, Delsarte e Genin [17], já em 1986, construíram outras duas seqüências de polinômios mônicos,  $\{R_n^{(1)}\}_{n=0}^{\infty}$  e  $\{R_n^{(2)}\}_{n=0}^{\infty}$ , definidas da seguinte forma:

$$R_n^{(1)}(z) = \frac{S_n(1, z)}{1 + S_n(0)} = \frac{S_n(z) + S_n^*(z)}{1 + S_n(0)}, \quad n \geq 0, \quad (3.1.1)$$

e

$$R_n^{(2)}(z) = \frac{S_{n+1}(-1, z)}{(z - 1)(1 - S_{n+1}(0))} = \frac{S_{n+1}(z) - S_{n+1}^*(z)}{(z - 1)(1 - S_{n+1}(0))}, \quad n \geq 0. \quad (3.1.2)$$

Do Teorema 1.17 sabemos que todos os zeros dos polinômios para-ortogonais são simples e estão no círculo unitário. Assim, os zeros dos polinômios  $R_n^{(1)}$  e  $R_n^{(2)}$  também são simples e estão no círculo unitário.

O próximo resultado mostra que os polinômios de Szegő podem escritos em termos dos polinômios  $R_n^{(1)}$  e  $R_{n-1}^{(2)}$ .

**Teorema 3.1.** *Os polinômios  $S_n$ ,  $R_n^{(1)}$  e  $R_n^{(2)}$  satisfazem à seguinte relação:*

$$2zS_{n-1}(z) = R_n^{(1)}(z) + (z - 1)R_{n-1}^{(2)}(z), \quad n \geq 1. \quad (3.1.3)$$

Demonstração: De (3.1.1) e (3.1.2), como  $\alpha_{n-1} = -S_n(0)$  é real, temos

$$R_n^{(1)}(z) + (z - 1)R_{n-1}^{(2)}(z) = \frac{S_n(z) + S_n^*(z)}{1 - \alpha_{n-1}} + \frac{S_n(z) - S_n^*(z)}{1 + \alpha_{n-1}},$$

ou seja,

$$R_n^{(1)}(z) + (z - 1)R_{n-1}^{(2)}(z) = \frac{2}{1 - \alpha_{n-1}^2} (S_n(z) + \alpha_{n-1} S_n^*(z)).$$

Usando a relação de recorrência (1.5.45), ou seja, usando que

$$S_n(z) = (1 - \alpha_{n-1}^2)zS_{n-1}(z) - \alpha_{n-1}S_n^*(z), \quad n \geq 1,$$

chegamos ao resultado desejado. ■



### 3.1.1 Relação de recorrência de três termos

Agora demonstraremos o principal resultados desta seção, que os polinômios  $R_n^{(1)}$  e  $R_n^{(2)}$  satisfazem a uma relação de recorrência de três termos da forma (3).

**Teorema 3.2.** *Os polinômios mônicos  $R_n^{(i)}$ ,  $i = 1, 2$ , satisfazem às relações de recorrência de três termos*

$$R_{n+1}^{(i)}(z) = (z+1)R_n^{(i)}(z) - 4d_{n+1}^{(i)}zR_{n-1}^{(i)}(z), \quad n \geq 1, \quad (3.1.4)$$

com condições iniciais  $R_0^{(i)}(z) = 1$  e  $R_1^{(i)}(z) = z+1$ . Além disso,

$$d_{n+1}^{(1)} = \frac{1}{4}(1 - \alpha_{n-2})(1 + \alpha_{n-1}) \quad e \quad d_{n+1}^{(2)} = \frac{1}{4}(1 + \alpha_{n-1})(1 - \alpha_n).$$

Demonstração: Considerando os seguintes polinômios para-ortogonais mônicos

$$S_n^{(1)}(z) = \frac{S_n(z) + S_n^*(z)}{1 + S_n(0)} \quad e \quad S_n^{(2)}(z) = \frac{S_n(z) - S_n^*(z)}{1 - S_n(0)}, \quad (3.1.5)$$

de (3.1.1) e (3.1.2) podemos escrever

$$R_n^{(1)}(z) = S_n^{(1)}(z) \quad e \quad R_n^{(2)}(z) = \frac{S_{n+1}^{(2)}(z)}{z-1}.$$

Assim, precisamos mostrar que, para  $n \geq 1$ , os polinômios  $S_n^{(1)}$  e  $S_n^{(2)}$  satisfazem às relações de recorrência

$$S_{n+1}^{(1)}(z) = (z+1)S_n^{(1)}(z) - (1 - \alpha_{n-2})(1 + \alpha_{n-1})zS_{n-1}^{(1)}(z), \quad (3.1.6)$$

$$S_{n+1}^{(2)}(z) = (z+1)S_n^{(2)}(z) - (1 + \alpha_{n-2})(1 - \alpha_{n-1})zS_{n-1}^{(2)}(z),$$

com  $\alpha_{-1} = -1$ ,  $S_0^{(1)}(z) = 1$ ,  $S_0^{(2)}(z) = 1$ ,  $S_1^{(1)}(z) = z+1$  e  $S_1^{(2)}(z) = z-1$ .

Primeiramente provemos o resultado para  $S_n^{(1)}$ . Utilizando as relações de recorrência dos polinômios de Szegő (1.5.52) e (1.5.44), ou seja, usando que

$$S_{n+1}(z) = zS_n(z) - \alpha_n S_n^*(z), \quad (3.1.7)$$

$$S_{n+1}^*(z) = S_n^*(z) - \alpha_n zS_n(z),$$

para  $n \geq 0$ , e  $\alpha_n = -S_{n+1}(0)$ , de (3.1.5) obtemos

$$S_{n+1}^{(1)}(z) = \frac{zS_n(z) - \alpha_n S_n^*(z) + S_n^*(z) - \alpha_n zS_n(z)}{1 - \alpha_n},$$

ou seja,

$$S_{n+1}^{(1)}(z) = zS_n(z) + S_n^*(z).$$

Escrevendo a expressão anterior como

$$S_{n+1}^{(1)}(z) = \frac{(1 - \alpha_{n-1})(zS_n(z) + S_n^*(z))}{1 - \alpha_{n-1}},$$

podemos também escrever

$$S_{n+1}^{(1)}(z) = \frac{(z - \alpha_{n-1}z + 1 - 1)S_n(z)}{1 - \alpha_{n-1}} + \frac{(1 - \alpha_{n-1} + z - z)S_n^*(z)}{1 - \alpha_{n-1}}.$$

Colocando  $(z + 1)$  em evidência no lado direito da expressão anterior, temos

$$S_{n+1}^{(1)}(z) = (z + 1) \left( \frac{S_n(z) + S_n^*(z)}{1 - \alpha_{n-1}} \right) - \frac{(1 + \alpha_{n-1}z)S_n(z) + (\alpha_{n-1} + z)S_n^*(z)}{1 - \alpha_{n-1}}.$$

Utilizando novamente as relações (3.1.7) temos

$$\begin{aligned} S_{n+1}^{(1)}(z) &= (z + 1) \left( \frac{S_n(z) + S_n^*(z)}{1 - \alpha_{n-1}} \right) - \frac{(1 + \alpha_{n-1}z)[zS_{n-1}(z) - \alpha_{n-1}S_{n-1}^*(z)]}{1 - \alpha_{n-1}} \\ &\quad - \frac{(\alpha_{n-1} + z)[S_{n-1}^*(z) - \alpha_{n-1}zS_{n-1}(z)]}{1 - \alpha_{n-1}}. \end{aligned}$$

Colocando  $S_{n-1}(z) + S_{n-1}^*(z)$  em evidência obtém-se

$$S_{n+1}^{(1)}(z) = (z + 1) \left( \frac{S_n(z) + S_n^*(z)}{1 - \alpha_{n-1}} \right) - (1 - \alpha_{n-1}^2)z \left( \frac{S_{n-1}(z) + S_{n-1}^*(z)}{1 - \alpha_{n-1}} \right).$$

Disso, imediatamente obtém-se

$$S_{n+1}^{(1)}(z) = (z + 1) \left( \frac{S_n(z) + S_n^*(z)}{1 - \alpha_{n-1}} \right) - (1 - \alpha_{n-2})(1 + \alpha_{n-1})z \left( \frac{S_{n-1}(z) + S_{n-1}^*(z)}{1 - \alpha_{n-2}} \right).$$

Da definição de  $S_n^{(1)}$  em (3.1.5) chegamos ao resultado desejado, ou seja,

$$S_{n+1}^{(1)}(z) = (z + 1)S_n^{(1)}(z) - (1 - \alpha_{n-2})(1 + \alpha_{n-1})zS_{n-1}^{(1)}(z), \quad n \geq 1.$$

Para as condições iniciais,  $n = 0$  e  $n = 1$ , temos

$$S_0^{(1)}(z) = \frac{S_0(z) + S_0^*(z)}{1 + S_0(0)} = 1$$

e

$$S_1^{(1)}(z) = \frac{S_1(z) + S_1^*(z)}{1 + S_1(0)} = \frac{z(1 - \alpha_0) + (1 - \alpha_0)}{1 - \alpha_0} = z + 1.$$

De modo análogo, podemos provar que  $S_n^{(2)}$  satisfaz à relação de recorrência (3.1.6) (Exercício 3.2).

Portanto, para concluir as relações (3.1.4) basta tomarmos

$$4d_{n+1}^{(1)} = (1 - \alpha_{n-2})(1 + \alpha_{n-1}) \quad \text{e} \quad 4d_{n+1}^{(2)} = (1 + \alpha_{n-1})(1 - \alpha_n). \quad \blacksquare$$

Os polinômios  $R_n^{(i)}$ ,  $i = 1, 2$ , satisfazem a uma propriedade auto-inversiva, ou seja,

$$z^n R_n^{(i)}(1/z) = R_n^{(i)}(z). \quad (3.1.8)$$

Por isso, são chamados de polinômios auto-inversíveis.

De fato, das relações de recorrência (3.1.4), obtemos

$$R_{n+1}^{(i)}(1/z) = \left(\frac{1}{z} + 1\right) R_n^{(i)}(1/z) - 4d_{n+1}^{(i)} \frac{1}{z} R_{n-1}^{(i)}(1/z).$$

Multiplicando ambos os membros por  $z^{n+1}$ , temos

$$z^{n+1} R_{n+1}^{(i)}(1/z) = \left(\frac{1}{z} + 1\right) z z^n R_n^{(i)}(1/z) - 4d_{n+1}^{(i)} z z^{n-1} R_{n-1}^{(i)}(1/z),$$

ou seja,

$$z^{n+1} R_{n+1}^{(i)}(1/z) = (z + 1) z^n R_n^{(i)}(1/z) - 4d_{n+1}^{(i)} z z^{n-1} R_{n-1}^{(i)}(1/z).$$

Assim, como  $z^n R_n^{(i)}(1/z)$  satisfaz à mesma relação de recorrência de três termos que  $R_n^{(i)}$  e com as mesmas condições iniciais, então eles são idênticos. ■

Além desses resultados, podemos mostrar que os polinômios  $R_n^{(i)}$ ,  $i = 1, 2$ , satisfazem a relações de L-ortogonalidade.

**Teorema 3.3.** *Os polinômios mônicos  $R_n^{(i)}(z)$ ,  $i = 1, 2$ , satisfazem às relações de L-ortogonalidade*

$$\int_C z^{-n+s} R_n^{(1)}(z) \frac{z}{z-1} d\psi(z) = 0, \quad 0 \leq s \leq n-1 \quad (3.1.9)$$

e

$$\int_C z^{-n+s} R_n^{(2)}(z) (z-1) d\psi(z) = 0, \quad 0 \leq s \leq n-1. \quad (3.1.10)$$

Demonstração: De (3.1.2) e (1.5.57), temos

$$\int_C z^{-(n+1)+s} R_n^{(2)}(z) (z-1) d\psi(z) = 0, \quad 1 \leq s \leq n,$$

que equivale a (3.1.10).

Para mostrar (3.1.9), novamente de (1.5.57) obtemos

$$\int_C z^{-n+s} R_n^{(1)}(z) \frac{z-1}{z-1} d\psi(z) = 0, \quad 1 \leq s \leq n-1, \quad (3.1.11)$$

que é equivalente a

$$\int_C z^{-n} P_{n,s}(z) R_n^{(1)}(z) \frac{z}{z-1} d\psi(z) = 0, \quad 1 \leq s \leq n-1, \quad (3.1.12)$$

onde  $P_{n,s}(z) = (z-1)z^{s-1}$ ,  $s = 1, 2, \dots, n-1$ .

Mostremos que, se tomarmos  $P_{n,n}(z) = z + z^{n-1}$ , então a relação (3.1.12) também vale para  $s = n$ . De (3.1.11),

$$\int_C z^{-n+s} R_n^{(1)}(z) \frac{z}{z-1} d\psi(z) = \int_C z^{-n+s} R_n^{(1)}(z) \frac{1}{z-1} d\psi(z), \quad 1 \leq s \leq n-1.$$

Substituindo  $z$  por  $1/z$  no lado direito da expressão anterior, usando a propriedade de simetria da medida e a propriedade auto-inversiva de  $R_n^{(1)}$ , obtemos

$$\int_C z^{-n} [z^s + z^{n-s}] R_n^{(1)}(z) \frac{z}{z-1} d\psi(z) = 0, \quad 1 \leq s \leq n-1.$$

Assim,  $P_{n,n}$  é obtida fazendo  $s = 1$  na expressão  $z^s + z^{n-s}$ .

Podemos verificar que o conjunto de polinômios  $P_{n,s}$ ,  $s = 1, 2, \dots, n$ , de grau  $\leq n - 1$ , forma um conjunto linearmente independente. Em particular, para cada monômio  $z^s$ ,  $0 \leq s \leq n - 1$ , temos uma única combinação linear do tipo  $z^s = d_1^{(s)}P_{n,1}(z) + d_2^{(s)}P_{n,2}(z) + \dots + d_{n-1}^{(s)}P_{n,n-1}(z) + \frac{1}{2}P_{n,n}(z)$ . Consequentemente de (3.1.12) segue o resultado (3.1.9). ■

### 3.1.2 Polinômios ortogonais e polinômios para-ortogonais reais

Podemos relacionar os polinômios  $R_n^{(i)}$ ,  $i = 1, 2$ , definidos por (3.1.1) e (3.1.2), com polinômios ortogonais em  $[-1, 1]$  através da transformação

$$x = x(z) = \frac{1}{2}(z^{1/2} + z^{-1/2}), \quad (3.1.13)$$

inicialmente estudada por Delsarte e Genin em [17] (ver, também, Sri Ranga [43]). Note que, como  $z = e^{i\theta}$ , podemos escrever

$$x = \cos(\theta/2), \quad \text{com } \theta \in [0, 2\pi].$$

A relação (3.1.13) é uma transformação do círculo unitário no intervalo  $[-1, 1]$ . Utilizando-a é possível relacionar polinômios para-ortogonais no círculo unitário com polinômios ortogonais em  $[-1, 1]$ . Os resultados a seguir, encontrados em Berti e Sri Ranga [8], serão necessários para descrevê-los.

Primeiramente, consideremos  $\phi_1$  e  $\phi_2$  duas medidas simétricas no intervalo  $[-1, 1]$  satisfazendo

$$d\phi_2(x) = (1 - x^2)d\phi_1(x). \quad (3.1.14)$$

Vamos utilizar a notação  $\{P_n^{\phi_i}\}_{n=0}^{\infty}$  para a sequência de polinômios ortogonais com relação à medida  $\phi_i$ ,  $i = 1, 2$ .

Se conhecermos a sequência de polinômios ortogonais com relação a uma das medidas, por exemplo  $\phi_1$ , podemos obter informações sobre a sequência de polinômios ortogonais com relação à outra medida,  $\phi_2$ .

A fórmula de Christoffel (ver [48, pag. 29]) fornece a seguinte representação para os polinômios  $P_n^{\phi_2}$  como combinação dos polinômios  $P_n^{\phi_1}$  (Exercício 3.3):

$$(1 - x^2)P_n^{\phi_2}(x) = \frac{-1}{P_n^{\phi_1}(1)} \left\{ P_n^{\phi_1}(1)P_{n+2}^{\phi_1}(x) - P_{n+2}^{\phi_1}(1)P_n^{\phi_1}(x) \right\}. \quad (3.1.15)$$

Para obtermos uma representação para os polinômios  $P_n^{\phi_1}$  em termos de  $P_n^{\phi_2}$ , vamos expressar  $P_n^{\phi_1}$  como combinação linear de  $P_j^{\phi_2}$ ,  $j = 0, 1, 2, \dots, n$ . Assim,

$$P_n^{\phi_1}(x) = \sum_{k=0}^n \tilde{d}_{n-k} P_{n-k}^{\phi_2}(x).$$

Utilizando a ortogonalidade e a simetria desses polinômios, podemos escrever a expressão anterior como (Exercício 3.4)

$$P_n^{\phi_1}(x) = P_n^{\phi_2}(x) + \tilde{d}_{n-2} P_{n-2}^{\phi_2}(x), \quad n \geq 2, \quad (3.1.16)$$

onde

$$\tilde{d}_{n-2} = \frac{\int_{-1}^1 P_n^{\phi_1}(x) P_{n-2}^{\phi_2}(x) d\phi_2(x)}{\int_{-1}^1 (P_{n-2}^{\phi_2}(x))^2 d\phi_2(x)} = -\frac{\int_{-1}^1 (P_n^{\phi_1}(x))^2 d\phi_1(x)}{\int_{-1}^1 (P_{n-2}^{\phi_2}(x))^2 d\phi_2(x)}, \quad n \geq 2.$$

Obtemos, então, as seguintes relações entre os coeficientes  $\tilde{d}_n$ ,  $\alpha_n^{\phi_1}$  e  $\alpha_n^{\phi_2}$  (Exercício 3.5):

$$\frac{\tilde{d}_{n-1}}{\tilde{d}_{n-2}} = \frac{\alpha_{n+2}^{\phi_1}}{\alpha_n^{\phi_2}}, \quad n \geq 2 \quad (3.1.17)$$

e

$$\tilde{d}_{n-1} - \tilde{d}_{n-2} = \alpha_{n+1}^{\phi_2} - \alpha_{n+1}^{\phi_1}, \quad n \geq 2, \quad (3.1.18)$$

$$\text{com } \tilde{d}_0 = -\frac{\alpha_3^{\phi_1} \alpha_2^{\phi_1} \alpha_1^{\phi_1}}{\alpha_1^{\phi_2}} = \alpha_2^{\phi_2} - \alpha_2^{\phi_1}.$$

Consideremos, agora, a sequência de números reais  $\{l_n\}$  definida da seguinte forma:

$$(l_{n+1} - 1) = \frac{\alpha_{n+2}^{\phi_1}}{\alpha_n^{\phi_2}} (l_{n-1} - 1), \quad n \geq 2, \quad (3.1.19)$$

$$\text{com } l_0 = 1, (l_1 - 1) = -2\alpha_2^{\phi_1} \text{ e } (l_2 - 1) = \frac{-2\alpha_3^{\phi_1} \alpha_1^{\phi_1}}{\alpha_1^{\phi_2}}.$$

Pode-se verificar facilmente (Exercício 3.6) que a sequência  $\{l_n\}$  satisfaz às relações

$$\begin{aligned} \frac{(l_{n+1} - 1)}{(l_{n-1} - 1)} &= \frac{\tilde{d}_{n-1}}{\tilde{d}_{n-2}}, \quad n \geq 2, \\ (l_{n+1} - 1)(l_n - 1) &= -4\tilde{d}_{n-1}, \quad n \geq 1. \end{aligned}$$

Além dessas duas, os elementos da sequência  $\{l_n\}$  satisfazem (Exercício 3.7)

$$\frac{(l_{2n+1} - 1)}{2} = -\frac{\alpha_{2n+2}^{\phi_1} \alpha_{2n}^{\phi_1} \cdots \alpha_2^{\phi_1}}{\alpha_{2n}^{\phi_2} \alpha_{2n-2}^{\phi_2} \cdots \alpha_2^{\phi_2}}, \quad \frac{(l_{2n} - 1)}{2} = -\frac{\alpha_{2n+1}^{\phi_1} \alpha_{2n-1}^{\phi_1} \cdots \alpha_1^{\phi_1}}{\alpha_{2n-1}^{\phi_2} \alpha_{2n-3}^{\phi_2} \cdots \alpha_1^{\phi_2}} \quad (3.1.20)$$

e

$$\frac{(l_{2n-1} + 1)}{2} = \frac{\alpha_{2n-1}^{\phi_2} \alpha_{2n-3}^{\phi_2} \cdots \alpha_1^{\phi_2}}{\alpha_{2n-1}^{\phi_1} \alpha_{2n-3}^{\phi_1} \cdots \alpha_1^{\phi_1}}, \quad \frac{(l_{2n} + 1)}{2} = \frac{\alpha_{2n}^{\phi_2} \alpha_{2n-2}^{\phi_2} \cdots \alpha_2^{\phi_2}}{\alpha_{2n}^{\phi_1} \alpha_{2n-2}^{\phi_1} \cdots \alpha_2^{\phi_1}}. \quad (3.1.21)$$

Agora, se  $\phi_1$  e  $\phi_2$  satisfazem (3.1.14), pode-se demonstrar (veja Exercício 3.8) que existe uma sequência de números reais  $\{l_n\}$  tal que, para  $n \geq 1$ ,

$$\alpha_{n+1}^{\phi_1} = -\frac{1}{4}(l_n - 1)(l_{n-1} + 1), \quad \alpha_{n+1}^{\phi_2} = -\frac{1}{4}(l_n - 1)(l_{n+1} + 1) \quad (3.1.22)$$

e

$$\tilde{d}_{n-1} = -\frac{1}{4}(l_n - 1)(l_{n+1} - 1), \quad n \geq 1, \quad (3.1.23)$$

$$\text{com } l_0 = 1 \text{ e } l_1 = 1 - 2\alpha_2^{\phi_2}.$$

De posse desses resultados, podemos demonstrar o teorema a seguir, que fornece uma relação entre os polinômios  $P_n^{\phi_i}$  e  $R_n^{(i)}$  ( $i = 1, 2$ ), ou melhor, uma relação entre as respectivas medidas e, também, entre as respectivas fórmulas de recorrência (veja [10, 51]).

**Teorema 3.4.** (i) *Seja  $\psi$  uma medida positiva no círculo unitário tal que os polinômios de Szegő  $S_n$ ,  $n \geq 0$ , são reais. Sejam*

$$4\alpha_{n+1}^{\phi_1} = (1 - \alpha_{n-2})(1 + \alpha_{n-1}) > 0 \quad e \quad 4\alpha_{n+1}^{\phi_2} = (1 + \alpha_{n-1})(1 - \alpha_n) > 0, \quad n \geq 1,$$

e as medidas positivas  $\phi_1$  e  $\phi_2$  definidas por

$$d\phi_1(x(z)) = -d\psi(z) \quad e \quad d\phi_2(x(z)) = -(1 - x^2)d\psi(z),$$

com  $x(z) = (1/2)(z^{1/2} + z^{-1/2})$ , cujos suportes estão contidos em  $[-1, 1]$ . Então, para  $i = 1, 2$ , as seqüências de polinômios  $\{P_n^{\phi_i}\}_{n=0}^\infty$ , definidas por

$$P_n^{\phi_i}(x) = (4z)^{-n/2} R_n^{(i)}(z), \quad n \geq 0, \quad (3.1.24)$$

são seqüências de polinômios ortogonais mônicos com relação à medida  $\phi_i$  e satisfazem às relações de recorrência

$$P_{n+1}^{\phi_i}(x) = xP_n^{\phi_i}(x) - \alpha_{n+1}^{\phi_i} P_{n-1}^{\phi_i}(x), \quad n \geq 1, \quad (3.1.25)$$

com as condições iniciais  $P_0^{\phi_i}(x) = 1$ ,  $P_1^{\phi_i}(x) = x$ .

(ii) *Reciprocamente, sejam  $\phi_1$  e  $\phi_2$  duas medidas positivas definidas em  $[-1, 1]$ , tais que  $d\phi_2(x) = (1 - x^2)d\phi_1(x)$ . Suponhamos que os respectivos polinômios ortogonais mônicos  $P_n^{\phi_1}$  e  $P_n^{\phi_2}$  satisfaçam*

$$P_{n+1}^{\phi_i}(x) = xP_n^{\phi_i}(x) - \alpha_{n+1}^{\phi_i} P_{n-1}^{\phi_i}(x), \quad n \geq 1.$$

Então, os coeficientes de reflexão  $\alpha_n$  dos polinômios de Szegő  $S_n$ , associados à medida positiva  $d\psi(z) = -d\phi_1(x(z))$ , satisfazem

$$\alpha_{n-1} = -1 + \frac{4\alpha_{n+1}^{\phi_1}}{1 - \alpha_{n-2}} \quad e \quad \alpha_n = 1 - \frac{4\alpha_{n+1}^{\phi_2}}{1 + \alpha_{n-1}}, \quad n \geq 1,$$

com  $\alpha_{-1} = 1$ . Explicitamente, podem ser dados por

$$\alpha_{2n-2} = 1 - 2 \frac{\alpha_{2n-1}^{\phi_2} \alpha_{2n-3}^{\phi_2} \cdots \alpha_3^{\phi_2} \alpha_1^{\phi_2}}{\alpha_{2n-1}^{\phi_1} \alpha_{2n-3}^{\phi_1} \cdots \alpha_3^{\phi_1} \alpha_1^{\phi_1}} \quad e \quad \alpha_{2n-1} = 1 - 2 \frac{\alpha_{2n}^{\phi_2} \alpha_{2n-2}^{\phi_2} \cdots \alpha_2^{\phi_2}}{\alpha_{2n}^{\phi_1} \alpha_{2n-2}^{\phi_1} \cdots \alpha_2^{\phi_1}}, \quad n \geq 1,$$

com

$$R_n^{(i)}(z) = (4z)^{n/2} P_n^{\phi_i}(x(z)), \quad i = 1, 2.$$

Demonstração: (i) Multiplicando ambos os lados de (3.1.4) por  $(4z)^{-(n+1)/2}$ , obtemos

$$(4z)^{-(n+1)/2} R_{n+1}^{(i)}(z) = (z+1)(4z)^{-(n+1)/2} R_n^{(i)}(z) - 4\tilde{d}_{n+1}^{(i)} z (4z)^{-(n+1)/2} R_{n-1}^{(i)}(z),$$

com  $R_0^{(i)}(z) = 1$  e  $(4z)^{-1/2} R_1^{(i)}(z) = (4z)^{-1/2}(z+1)$ , para  $i = 1, 2$ .

Usando o fato de que  $(z+1)(4z)^{-1/2} = (1/2)(z^{1/2} + z^{-1/2}) = x(z) = x$  e lembrando que  $(4z)^{-n/2} R_n^{(i)}(z) = P_n^{\phi_i}(x)$ , obtemos

$$P_{n+1}^{\phi_i}(x) = xP_n^{\phi_i}(x) - \alpha_{n+1}^{\phi_i} P_{n-1}^{\phi_i}(x),$$

com  $P_0^{\phi_i}(x) = 1$  e  $P_1^{\phi_i}(x) = x$ .

Portanto, temos que  $P_n^{\phi_i}(x) = (4z)^{-n/2} R_n^{(i)}(z)$  satisfazem às relações de recorrência de três termos (3.1.25).

Observemos, agora, que as sequências  $\{g_n^{\phi_1} = (1 + \alpha_{n-1})/2\}$  e  $\{g_n^{\phi_2} = (1 - \alpha_n)/2\}$  satisfazem

$$(1 - g_{n-1}^{\phi_1})g_n^{\phi_1} = \left(1 - \frac{1}{2} - \frac{\alpha_{n-2}}{2}\right) \left(\frac{1}{2} + \frac{\alpha_{n-1}}{2}\right) = \frac{1}{4}(1 - \alpha_{n-2})(1 + \alpha_{n-1}) = \alpha_{n+1}^{\phi_1}$$

e

$$(1 - g_{n-1}^{\phi_2})g_n^{\phi_2} = \left(1 - \frac{1}{2} + \frac{\alpha_{n-1}}{2}\right) \left(\frac{1}{2} - \frac{\alpha_n}{2}\right) = \frac{1}{4}(1 + \alpha_{n-1})(1 - \alpha_n) = \alpha_{n+1}^{\phi_2}.$$

Assim, concluímos que  $\{\alpha_{n+1}^{\phi_1}\}$  e  $\{\alpha_{n+1}^{\phi_2}\}$  são sequências encadeadas com sequências de parâmetros dadas, respectivamente, por  $\{g_n^{\phi_1}\}$  e  $\{g_n^{\phi_2}\}$ .

Dessa forma, concluímos que os zeros de  $P_n^{\phi_i}$ ,  $i = 1, 2$ , estão em  $(-1, 1)$  e, pelo Teorema de Favard (Teorema 1.12), formam uma sequência de polinômios ortogonais.

Para obtermos as medidas  $\phi_1$  e  $\phi_2$ , basta tomarmos  $d\phi_1(x) = -d\psi(z)$  e lembrarmos que, para  $s = 0, 1, \dots, n-1$ ,

$$\begin{aligned} 0 = \int_{\mathcal{C}} z^{-n+s} R_n^{(2)}(z)(z-1)d\psi(z) &= \int_{\mathcal{C}} z^{-n+s} R_n^{(2)}(z) \frac{z}{z-1} \frac{z-1}{z} (z-1)d\psi(z) \\ &= \int_{\mathcal{C}} z^{-n+s} R_n^{(2)}(z) \frac{z}{z-1} d\phi_2(z), \end{aligned}$$

onde

$$d\phi_2(z) = \frac{(z-1)^2}{z} d\psi(z) = -(1-x^2)d\psi(z).$$

Fazendo  $l_{2n-1} = -\alpha_{2n-2}$  e  $l_{2n} = -\alpha_{2n-1}$  nas equações (3.1.21), obtemos a segunda parte do item (ii).

Para a demonstração da primeira parte em (ii), tomamos  $l_n = -\alpha_{n-1}$  em (3.1.22). ■

## 3.2 Polinômios para-ortogonais complexos

Esta seção será dedicada às propriedades de sequências de polinômios complexos  $\{R_n\}_{n=0}^{\infty}$ , que satisfazem a uma relação de recorrência de três termos na forma (2), ou seja,

$$R_{n+1}(z) = [(1 + ic_{n+1})z + (1 - ic_{n+1})] R_n(z) - 4d_{n+1} z R_{n-1}(z), \quad n \geq 1,$$

com  $R_0(z) = 1$  e  $R_1(z) = (1 + ic_1)z + (1 - ic_1)$ , onde  $\{c_n\}_{n=1}^{\infty}$  é uma sequência de números reais e  $\{d_{n+1}\}_{n=1}^{\infty}$  é uma sequência encadeada positiva.

G. Szegő mostrou que polinômios ortogonais reais no círculo unitário estão associados a polinômios ortogonais no intervalo  $[-1, 1]$  através da transformação  $2x = z + z^{-1}$ . Delsarte e Genin [17] mostraram como polinômios ortogonais reais no círculo unitário podem ser associados a polinômios ortogonais simétricos em  $[-1, 1]$  através da transformação  $2x = z^{1/2} + z^{-1/2}$  (veja Seção 3.1.2).

Seja  $\psi(z) = \psi(e^{i\theta})$  uma medida de probabilidade no círculo unitário  $\mathcal{C} = \{z = e^{i\theta} : 0 \leq \theta \leq 2\pi\}$ , isto é,  $\mu_0 = 1$ . Vimos que a sequência de polinômios ortogonais mônicos no círculo unitário  $\{S_n\}_{n=0}^\infty$ , com relação à medida  $\psi$ , satisfaz

$$\int_{\mathcal{C}} \overline{S_m(z)} S_n(z) d\psi(z) = \int_0^{2\pi} \overline{S_m(e^{i\theta})} S_n(e^{i\theta}) d\psi(e^{i\theta}) = \delta_{mn} \kappa_n^2,$$

onde  $\delta_{mn}$  é o delta de Kronecker.

Denotemos por  $\{s_n\}_{n=0}^\infty$  os polinômios ortonormais no círculo unitário dados por  $s_n(z) = S_n(z)/\kappa_n$ ,  $n \geq 0$ .

Novamente, vamos considerar os coeficientes de reflexão (coeficientes de Verblunsky) dados por

$$\overline{\alpha}_n = -S_{n+1}(0), \quad n \geq 0, \quad (3.2.26)$$

e, também, as relações de recorrência (1.5.52) e (1.5.45), ou seja,

$$\begin{aligned} S_n(z) &= zS_{n-1}(z) - \overline{\alpha}_{n-1} S_{n-1}^*(z), \\ S_n(z) &= (1 - |\alpha_{n-1}|^2)zS_{n-1}(z) - \overline{\alpha}_{n-1} S_n^*(z), \end{aligned} \quad n \geq 1, \quad (3.2.27)$$

onde  $S_n^*(z) = z^n \overline{S_n(1/\bar{z})}$  e  $|\alpha_n| < 1$ ,  $n \geq 0$ .

Agora, consideremos  $w \in \mathbb{C}$  tal que  $|w| = 1$  e

$$\tau_n(w) = \frac{S_n(w)}{S_n^*(w)}, \quad n \geq 0. \quad (3.2.28)$$

A fórmula de Christoffel-Darboux (1.4.14) de ordem  $n \geq 0$  associada à sequência  $\{S_n\}$  de polinômios de Szegő é dada por

$$K_n(z, w) = \sum_{j=0}^n \overline{s_j(w)} s_j(z) = \frac{s_{n+1}^*(w) s_{n+1}^*(z) - \overline{s_{n+1}(w)} s_{n+1}(z)}{1 - \bar{w}z}.$$

Veja, por exemplo, [39, Teorema 2.2.7], onde  $K_n(z, w)$  são chamados de polinômios núcleo CD.

Consideremos, também, a sequência de polinômios  $\{P_n(w; z)\}_{n=0}^\infty$  na variável  $z$  dada por

$$P_n(w; z) = \frac{\kappa_{n+1}^2 \bar{w}}{S_{n+1}(w)} \frac{K_n(z, w)}{1 + \tau_{n+1}(w)\alpha_n}, \quad n \geq 0.$$

É fácil verificar que  $P_n(w; z)$  é um polinômios mônico de grau  $n$  em  $z$ , que pode ser escrito como

$$P_n(w; z) = \frac{1}{z-w} \frac{S_{n+1}(z) - \tau_{n+1}(w)S_{n+1}^*(z)}{1 + \tau_{n+1}(w)\alpha_n}, \quad n \geq 0. \quad (3.2.29)$$

Deixamos a demonstração desse fato como exercício para o leitor (Exercício 3.9). Chamaremos os polinômios  $P_n(w; z)$  de polinômios núcleo de grau  $n$  em  $z$ , no ponto  $w$ .

Como  $|w| = 1$ , então facilmente mostra-se que  $|\tau_n(w)| = 1$  para  $n \geq 0$ . Assim, como em (1.5.56), os polinômios  $S_{n+1}(z) - \tau_{n+1}(w)S_{n+1}^*(z)$  são polinômios para-ortogonais associados a  $S_{n+1}$ .

Sabemos que  $S_{n+1}(z) - \tau_{n+1}(w)S_{n+1}^*(z)$  tem seus  $n+1$  zeros no círculo unitário  $|z| = 1$ . Em particular,  $w$  é um de seus zeros. Consequentemente, o polinômio



$P_n(w; z)$  tem todos os zeros simples no círculo unitário  $|z| = 1$ . Entretanto, nenhum zero de  $P_n(w; z)$  é igual a  $w$  (Exercício 3.9).

Vimos, na Seção 3.1 que, para medidas  $\psi$  no círculo unitário que satisfazem à simetria  $d\psi(1/z) = -d\psi(z)$ , os polinômios ortogonais no círculo unitário e os coeficientes de reflexão são reais. Delsarte e Genin [17] consideraram os polinômios para-ortogonais

$$(z - 1)R_n(z) = zS_n(z) - S_n^*(z), \quad n \geq 1, \quad (3.2.30)$$

que satisfazem às relações de recorrência da forma

$$R_{n+1}(z) = (z + 1)R_n(z) - 4d_{n+1}zR_{n-1}(z), \quad n \geq 1,$$

com  $R_0(z) = 1$ ,  $R_1(z) = z + 1$  e

$$d_{n+1} = \frac{1}{4}(1 + \alpha_{n-1})(1 - \alpha_n), \quad n \geq 1.$$

Estudaremos, nas próximas seções, como esses resultados podem ser estendidos quando a medida  $\psi$  não satisfaz  $d\psi(1/z) = -d\psi(z)$  e quando os coeficientes de Verblunsky, dados por (3.2.26), são complexos.

### 3.2.1 Relação de recorrência de três termos

Apresentaremos, agora, seqüências de polinômios complexos  $\{R_n\}_{n=0}^\infty$ , que satisfazem a uma relação de recorrência de três termos da forma (2),

$$R_{n+1}(z) = [(1 + ic_{n+1})z + (1 - ic_{n+1})]R_n(z) - 4d_{n+1}zR_{n-1}(z), \quad n \geq 1,$$

com  $R_0(z) = 1$  e  $R_1(z) = (1 + ic_1)z + (1 - ic_1)$ , onde  $\{c_n\}_{n=1}^\infty$  é uma seqüência de números reais e  $\{d_{n+1}\}_{n=1}^\infty$  é uma seqüência encadeada positiva.

Em [15] foram obtidos muitos resultados interessantes sobre a generalização dos polinômios  $(z - 1)R_n(z)$  com coeficientes de Verblunsky complexos, como veremos a seguir.

Primeiramente, de (3.2.27) notamos que, para  $\{\tau_n(w)\}$  definidos em (3.2.28), as seguintes relações valem

$$\tau_{n+1}(w) = \frac{w\tau_n(w) - \bar{\alpha}_n}{1 - w\tau_n(w)\alpha_n}, \quad w\tau_n(w) = \frac{\tau_{n+1}(w) + \bar{\alpha}_n}{1 + \tau_{n+1}(w)\alpha_n}, \quad n \geq 0. \quad (3.2.31)$$

Além disso,

$$[1 - w\tau_n(w)\alpha_n][1 + \tau_{n+1}(w)\alpha_n] = 1 - |\alpha_n|^2, \quad n \geq 0. \quad (3.2.32)$$

Deixamos a demonstração desse fato para o leitor (Exercício 3.10).

Das relações (3.2.31), (3.2.32) e (3.2.27), temos

$$P_n(w; z) = \frac{zS_n(z) - w\tau_n(w)S_n^*(z)}{z - w}, \quad n \geq 0, \quad (3.2.33)$$

(veja Exercício 3.11).

Comparando a relação (3.2.33) com (1.5.68), concluímos que

$$(z - w)P_n(w; z) = zS_n(z) - w\tau_n(w)S_n^*(z), \quad n \geq 0,$$

são polinômios para-ortogonais. As conexões entre polinômios núcleo CD e polinômios para-ortogonais foram observadas em [22].

Mostraremos, agora, que os polinômios núcleo mônicos  $P_n(w; z)$  satisfazem à relação de recorrência (1).

**Teorema 3.5.** *A sequência de polinômios núcleo mônicos  $\{P_n(w; z)\}$  satisfaz à relação de recorrência de três termos*

$$P_{n+1}(w; z) = (z + b_{n+1}(w))P_n(w; z) - a_{n+1}(w)zP_{n-1}(w; z), \quad n \geq 1,$$

com  $P_0(w; z) = 1$  e  $P_1(w; z) = z + b_1(w)$ , onde

$$b_n(w) = \frac{\tau_n(w)}{\tau_{n-1}(w)} \quad e \quad a_{n+1}(w) = (1 + \tau_n(w)\alpha_{n-1})(1 - \overline{w\tau_n(w)\alpha_n})w, \quad n \geq 1. \quad (3.2.34)$$

Demonstração: Para  $n \geq 1$ , consideramos o polinômio mônico  $q_{n+1}$  de grau  $n + 1$  dado por

$$q_{n+1}(z) = P_{n+1}(w; z) + u_n(1 + \tau_n(w)\alpha_{n-1})zP_{n-1}(w; z),$$

onde  $u_n$  é, por enquanto, uma constante desconhecida. Usando (3.2.29) e (3.2.33), obtemos

$$(z - w)q_{n+1}(z) = [zS_{n+1}(z) - w\tau_{n+1}(w)S_{n+1}^*(z)] + u_n z [S_n(z) - \tau_n(w)S_n^*(z)].$$

De (3.2.27), temos

$$\begin{aligned} (z - w)q_{n+1}(z) &= z[zS_n(z) - [\tau_n(w)u_n + \bar{\alpha}_n]S_n^*(z)] \\ &\quad + [u_n + w\tau_{n+1}(w)\alpha_n][zS_n(z) - \frac{w\tau_{n+1}(w)}{u_n + w\tau_{n+1}(w)\alpha_n}S_n^*(z)]. \end{aligned}$$

Escolhendo, agora,  $u_n = (1 - \overline{w\tau_n(w)\alpha_n})w$ , a relação anterior reduz-se a

$$\begin{aligned} (z - w)q_{n+1}(z) &= z[zS_n(z) - w\tau_n(w)S_n^*(z)] \\ &\quad + \frac{\tau_{n+1}(w)}{\tau_n(w)}[zS_n(z) - w\tau_n(w)S_n^*(z)]. \end{aligned}$$

Então,  $q_{n+1}(z) = (z + b_{n+1}(w))P_n(w; z)$ , com  $b_{n+1}(w) = \frac{\tau_{n+1}(w)}{\tau_n(w)}$ , o que completa a prova do resultado.  $\blacksquare$

Usando (3.2.32), podemos ainda escrever os coeficientes da relação de recorrência  $a_n(w)$  e  $b_n(w)$ , dados em (3.2.34), da seguinte forma:

$$\begin{aligned} b_n(w) &= \frac{1 - \overline{w\tau_{n-1}(w)\alpha_{n-1}}}{1 - w\tau_{n-1}(w)\alpha_{n-1}}w = \frac{1 + \tau_n(w)\alpha_{n-1}}{1 + \overline{\tau_n(w)\alpha_{n-1}}}w, \\ a_{n+1}(w) &= \frac{1 - \overline{w\tau_n(w)\alpha_n}}{1 - w\tau_{n-1}(w)\alpha_{n-1}}(1 - |\alpha_{n-1}|^2)w, \quad n \geq 1. \quad (3.2.35) \\ &= \frac{1 + \tau_n(w)\alpha_{n-1}}{1 + \overline{\tau_{n+1}(w)\alpha_n}}(1 - |\alpha_n|^2)w, \end{aligned}$$

A partir de agora vamos considerar  $w = 1$  e, então, considerar apenas os polinômios  $\{P_n(1; z)\}$ , com  $\tau_n(1) = \tau_n$ , isto é,

$$P_n(1; z) = \frac{zS_n(z) - \tau_n(1)S_n^*(z)}{z - 1}, \quad n \geq 0.$$

Do Teorema 3.5, vemos facilmente que os polinômios  $\{P_n(1; z)\}$  satisfazem

$$P_{n+1}(1; z) = (z + b_{n+1})P_n(1; z) - a_{n+1}zP_{n-1}(1; z), \quad n \geq 1, \quad (3.2.36)$$

onde  $P_0(1; z) = 1$  e  $P_1(1; z) = z + b_1$ , com

$$b_n = \frac{\tau_n}{\tau_{n-1}} \quad e \quad a_{n+1} = (1 + \tau_n \alpha_{n-1})(1 - \bar{\tau}_n \bar{\alpha}_n), \quad n \geq 1,$$

onde  $\tau_j = \tau_j(1)$  para  $j \geq 0$ . De (3.2.35), podemos escrever

$$\begin{aligned} b_n &= \frac{1 - \bar{\tau}_{n-1} \bar{\alpha}_{n-1}}{1 - \tau_{n-1} \alpha_{n-1}} = \frac{1 + \tau_n \alpha_{n-1}}{1 + \bar{\tau}_n \bar{\alpha}_n}, \\ a_{n+1} &= \frac{1 - \bar{\tau}_n \bar{\alpha}_n}{1 - \tau_{n-1} \alpha_{n-1}} (1 - |\alpha_{n-1}|^2) = \frac{1 + \tau_n \alpha_{n-1}}{1 + \bar{\tau}_{n+1} \bar{\alpha}_n} (1 - |\alpha_n|^2), \end{aligned} \quad n \geq 1. \quad (3.2.37)$$

Agora, consideramos os polinômios  $R_n$  de grau  $n$  dados por  $R_0(z) = P_0(1; z)$  e

$$R_n(z) = \frac{\prod_{j=0}^{n-1} (1 - \tau_j \alpha_j)}{\prod_{j=0}^{n-1} (1 - \mathcal{R}e(\tau_j \alpha_j))} P_n(1; z), \quad n \geq 1.$$

Das propriedades dos polinômios  $P_n(w; z)$ , os polinômios  $R_n$  tem  $n$  zeros simples em  $|z| = 1$  e nenhum desses zeros é igual a 1.

Podemos, então, mostrar que para os polinômios  $(z - 1)R_n(z)$ , dados também por

$$(z - 1)R_n(z) = \frac{\prod_{j=0}^{n-1} [1 - \tau_j \alpha_j]}{\prod_{j=0}^{n-1} [1 - \mathcal{R}e(\tau_j \alpha_j)]} [zS_n(z) - \tau_n S_n^*(z)], \quad n \geq 0,$$

onde  $\tau_n = S_n(1)/S_n^*(1)$ , vale o seguinte resultado.

**Teorema 3.6.** *Os polinômios  $R_n$  satisfazem à relação de recorrência de três termos*

$$R_{n+1}(z) = [(1 + ic_{n+1})z + (1 - ic_{n+1})]R_n(z) - 4d_{n+1}zR_{n-1}(z), \quad (3.2.38)$$

com  $R_0(z) = 1$  e  $R_1(z) = (1 + ic_1)z + (1 - ic_1)$ , onde as seqüências de números reais  $\{c_n\}$  e  $\{d_{n+1}\}$  são dadas por

$$\begin{aligned} c_n &= \frac{-\mathcal{I}m(\tau_{n-1} \alpha_{n-1})}{1 - \mathcal{R}e(\tau_{n-1} \alpha_{n-1})} = i \frac{\tau_n - \tau_{n-1}}{\tau_n + \tau_{n-1}}, \\ d_{n+1} &= \frac{1}{4} \frac{(1 - |\tau_{n-1} \alpha_{n-1}|^2) |1 - \tau_n \alpha_n|^2}{(1 - \mathcal{R}e(\tau_{n-1} \alpha_{n-1}))(1 - \mathcal{R}e(\tau_n \alpha_n))}, \end{aligned} \quad n \geq 1.$$

Além disso,  $\{d_{1,n}\}_{n=1}^{\infty}$ , onde  $d_{1,n} = d_{n+1}$ ,  $n \geq 1$ , é uma seqüência encadeada com seqüência de parâmetros  $\{g_{1,n}\}_{n=0}^{\infty}$  dada por

$$g_{1,n} = \frac{1}{2} \frac{|1 - \tau_n \alpha_n|^2}{(1 - \mathcal{R}e(\tau_n \alpha_n))}, \quad n \geq 0.$$

Demonstração: Primeiramente, consideramos os polinômios  $\{\tilde{R}_n\}$  dados por  $\tilde{R}_0(z) = P_0(1; z)$  e

$$\tilde{R}_n(z) = (1 - \tau_{n-1} \alpha_{n-1})(1 - \tau_{n-2} \alpha_{n-2}) \cdots (1 - \tau_0 \alpha_0) P_n(1; z), \quad n \geq 1.$$

Então, de (3.2.36) e (3.2.37) para  $n \geq 1$  obtemos

$$\tilde{R}_{n+1}(z) = [(1 - \tau_n \alpha_n)z + (1 - \bar{\tau}_n \bar{\alpha}_n)]\tilde{R}_n(z) - (1 - |\alpha_{n-1}|^2)|1 - \tau_n \alpha_n|^2 z \tilde{R}_{n-1}(z),$$

com  $\tilde{R}_1(z) = (1 - \tau_0 \alpha_0)z + (1 - \bar{\tau}_0 \bar{\alpha}_0)$ .

Como  $|\tau_n| = 1$  para  $n \geq 0$ , observe que  $(1 - |\alpha_{n-1}|^2) = (1 - |\tau_{n-1} \alpha_{n-1}|^2)$ ,  $n \geq 1$ .

Cálculos diretos provam a relação de recorrência do teorema se tomarmos  $R_0(z) = \tilde{R}_0(z)$  e

$$R_n(z) = \frac{1}{(1 - \mathcal{R}e(\tau_{n-1} \alpha_{n-1}))(1 - \mathcal{R}e(\tau_{n-2} \alpha_{n-2})) \cdots (1 - \mathcal{R}e(\tau_0 \alpha_0))} \tilde{R}_n(z), \quad n \geq 1.$$

Finalmente, não é difícil ver que  $(1 - g_{1,n-1})g_{1,n} = d_{1,n}$  para  $n \geq 1$ . Além disso, como  $|\alpha_n| < 1$  para  $n \geq 0$ , segue também que  $0 < g_{1,n} < 1$  para  $n \geq 0$ . O que completa a prova do teorema. ■

Os polinômios  $R_n$  também satisfazem a L-ortogonalidade com relação à medida  $\psi$  definida no Capítulo 2, ou seja,

$$\int_{\mathcal{C}} z^{-n+j} R_n(z) (1-z) d\psi(z) = 0, \quad 0 \leq j \leq n-1.$$

A demonstração é análoga ao caso real, veja (3.1.10) no Teorema 3.3.

Usando (3.2.31) e (3.2.32), os coeficientes  $c_n$ ,  $d_n$  e  $g_{1,n}$  no Teorema 3.6 também podem ser dados por

$$c_n = \frac{-\mathcal{I}m(\tau_n \alpha_{n-1})}{1 + \mathcal{R}e(\tau_n \alpha_{n-1})} \quad e \quad d_{n+1} = \frac{1}{4} \frac{|1 + \tau_n \alpha_{n-1}|^2 (1 - |\tau_{n+1} \alpha_n|^2)}{(1 + \mathcal{R}e(\tau_n \alpha_{n-1}))(1 + \mathcal{R}e(\tau_{n+1} \alpha_n))},$$

para  $n \geq 1$ , e

$$g_{1,n} = \frac{1}{2} \frac{(1 - |\tau_{n+1} \alpha_n|^2)}{(1 + \mathcal{R}e(\tau_{n+1} \alpha_n))}, \quad n \geq 0.$$

De (3.2.36) e (3.2.37), observe também que  $b_n = \frac{1 - ic_n}{1 + ic_n}$ ,  $n \geq 1$ , e

$$\tau_n = b_1 b_2 \cdots b_n = \prod_{j=1}^n \frac{1 - \bar{\tau}_{j-1} \bar{\alpha}_{j-1}}{1 - \tau_{j-1} \alpha_{j-1}} = \prod_{j=1}^n \frac{1 - ic_j}{1 + ic_j}, \quad n \geq 1. \quad (3.2.39)$$

### 3.2.2 Zeros dos polinômios $R_n$

Nesta seção, mostraremos que os polinômios  $R_n$ ,  $n \geq 1$ , definidos pela relação de recorrência de três termos (2), têm seus  $n$  zeros simples e no círculo unitário. Além disso, se denotamos os zeros de  $R_n$  por  $z_{n,j} = e^{i\theta_{n,j}}$ ,  $j = 1, 2, \dots, n$ , vale o seguinte entrelaçamento:

$$0 < \theta_{n+1,1} < \theta_{n,1} < \theta_{n+1,2} < \cdots < \theta_{n+1,n} < \theta_{n,n} < \theta_{n+1,n+1} < 2\pi, \quad n \geq 1.$$

Vamos considerar novamente a transformação

$$x(z) = \frac{1}{2} \left( z^{1/2} + z^{-1/2} \right), \quad (3.2.40)$$

com  $z = e^{i\theta}$ ,  $x \in [-1, 1]$  e  $0 \leq \theta \leq 2\pi$ . Desta forma, podemos escrever

$$\begin{aligned}\frac{1}{2} \left( z^{1/2} + z^{-1/2} \right) &= \cos(\theta/2) = x, \\ \frac{1}{2} \left( z^{1/2} - z^{-1/2} \right) &= i \operatorname{sen}(\theta/2) = i\sqrt{1-x^2}.\end{aligned}$$

Multiplicando ambos os lados da relação de recorrência (2) por  $(4z)^{-(n+1)/2}$ , obtemos

$$\begin{aligned}(4z)^{-(n+1)/2} R_{n+1}(z) &= (4z)^{-1/2} [(1 + ic_{n+1})z + (1 - ic_{n+1})] (4z)^{-n/2} R_n(z) \\ &\quad - 4d_{n+1} z (4z)^{-1} (4z)^{-(n-1)/2} R_{n-1}(z), \quad n \geq 1.\end{aligned}\quad (3.2.41)$$

Consideremos as funções  $G_n$  definidas no intervalo  $[-1, 1]$  por

$$G_n(x) = (4z)^{-n/2} R_n(z), \quad n \geq 0. \quad (3.2.42)$$

Veja [18] para maiores informações sobre as funções  $G_n$ .

Considerando a transformação (3.2.40), claramente vemos que os zeros da função  $G_n$  em  $[-1, 1]$  são  $x_{n,j} = \cos(\theta_{n,j}/2)$ , onde  $z_{n,j} = e^{i\theta_{n,j}}$ ,  $j = 1, 2, \dots, n$ .

Como  $R_n$  é um polinômio de grau  $n$ , ele tem no máximo  $n$  zeros no círculo unitário. Assim a função  $G_n$  tem no máximo  $n$  zeros no intervalo  $[-1, 1]$ .

De (3.2.41) e (3.2.42), vemos que as funções  $G_n$  satisfazem

$$\begin{aligned}G_{n+1}(x) &= \frac{1}{2} z^{-1/2} [(1 + ic_{n+1})z + (1 - ic_{n+1})] G_n(x) - d_{n+1} G_{n-1}(x) \\ &= \frac{1}{2} z^{-1/2} [(z + 1) + ic_{n+1}(z - 1)] G_n(x) - d_{n+1} G_{n-1}(x) \\ &= \left[ \frac{1}{2} (z^{1/2} + z^{-1/2}) + ic_{n+1} \frac{1}{2} (z^{1/2} - z^{-1/2}) \right] G_n(x) - d_{n+1} G_{n-1}(x)\end{aligned}$$

para  $n \geq 1$  e, então

$$G_{n+1}(x) = \left( x - c_{n+1} \sqrt{1-x^2} \right) G_n(x) - d_{n+1} G_{n-1}(x), \quad n \geq 1, \quad (3.2.43)$$

com as condições iniciais  $G_0(x) = 1$  e  $G_1(x) = x - c_1 \sqrt{1-x^2}$ .

Por (3.2.43) verifica-se que as funções  $G_n$  são contínuas e deriváveis no intervalo  $[-1, 1]$  (Exercício 3.12).

**Lema 3.1.** *As funções  $G_n$ ,  $n \geq 1$ , definidas por (3.2.42) têm exatamente  $n$  zeros no intervalo  $(-1, 1)$ . Além disso, se  $x_{n,k}$ ,  $k = 1, 2, \dots, n$ , são zeros da função  $G_n$  ordenados em ordem decrescente, eles satisfazem o entrelaçamento*

$$-1 < x_{n+1,n+1} < x_{n,n} < x_{n+1,n} < \dots < x_{n+1,2} < x_{n,1} < x_{n+1,1} < 1. \quad (3.2.44)$$

Demonstração: Primeiramente, fazemos  $x = 1$  em (3.2.43), ou seja,  $G_0(1) = 1$ ,  $G_1(1) = 1$  e

$$G_{n+1}(1) = G_n(1) - d_{n+1} G_{n-1}(1).$$

Assim,

$$\frac{G_{n+1}(1)}{G_n(1)} = 1 - d_{n+1} \frac{G_{n-1}(1)}{G_n(1)},$$

isolando o coeficientes  $d_{n+1}$ , obtemos

$$d_{n+1} = \frac{G_n(1)}{G_{n-1}(1)} \left( 1 - \frac{G_{n+1}(1)}{G_n(1)} \right).$$

Como  $\{d_{n+1}\}_{n=1}^{\infty}$  é uma seqüência encadeada positiva, podemos escrever

$$d_{n+1} = (1 - m_{n-1})m_n, \quad n \geq 1,$$

onde  $m_n = 1 - \frac{G_{n+1}(1)}{G_n(1)}$ . Note que  $m_0 = 1 - \frac{G_1(1)}{G_0(1)} = 0$ . Logo, a seqüência  $\{m_n\}_{n=0}^{\infty}$  é a seqüência minimal de parâmetro para a seqüência encadeada  $\{d_{n+1}\}_{n=1}^{\infty}$ . Da definição de seqüência de parâmetros, temos  $0 < m_n < 1$ , ou seja,

$$0 < \frac{G_{n+1}(1)}{G_n(1)} < 1,$$

o que implica que  $G_n(1) > 0$ , para  $n \geq 0$ .

Além disso,

$$(-1)^n G_n(-1) = G_n(1) > 0.$$

A demonstração desta última igualdade deixamos a cargo do leitor no Exercício 3.12.

Tomemos, agora, as funções de Christoffel-Darboux, associadas a  $G_n$  dadas por

$$W_{n+1}(x) = G'_{n+1}(x)G_n(x) - G'_n(x)G_{n+1}(x), \quad n \geq 0. \quad (3.2.45)$$

Usando (3.2.43), obtemos

$$\begin{aligned} W_{n+1}(x) &= \left[ \left( 1 + \frac{x c_{n+1}}{\sqrt{1-x^2}} \right) G_n(x) + (x - c_{n+1}\sqrt{1-x^2})G'_n(x) - d_{n+1}G'_{n-1} \right] G_n(x) \\ &\quad - G'_n(x) \left[ (x - c_{n+1}\sqrt{1-x^2})G_n(x) - d_{n+1}G_{n-1}(x) \right] \\ &= d_{n+1} \left[ G'_n(x)G_{n-1}(x) - G'_{n-1}(x)G_n(x) \right] + \left( 1 + \frac{x c_{n+1}}{\sqrt{1-x^2}} \right) G_n^2(x). \end{aligned}$$

Logo,

$$W_{n+1}(x) = d_{n+1}W_n(x) + \left( 1 + \frac{x c_{n+1}}{\sqrt{1-x^2}} \right) G_n^2(x), \quad n \geq 1. \quad (3.2.46)$$

Agora, vamos analisar os zeros da função  $G_n$  para  $n \geq 1$ .

• Fazendo  $G_1(x) = x - c_1\sqrt{1-x^2} = 0$ , obtemos um zero de  $G_1$  que pertence ao intervalo  $(-1, 1)$ , isto é,

$$-1 < x_{1,1} = \frac{c_1}{\sqrt{1+c_1^2}} < 1.$$

Note que  $G'_1(x) = 1 + \frac{x c_1}{\sqrt{1-x^2}}$ . Logo,

$$G'_1(x_{1,1}) = 1 + \frac{c_1^2}{\sqrt{1+c_1^2}} \frac{1}{\sqrt{1-c_1^2/(1+c_1^2)}} = 1 + c_1^2 > 0.$$

Usando (3.2.45), temos

$$W_1(x_{1,1}) = G_1'(x_{1,1})G_0(x_{1,1}) - G_0'(x_{1,1})G_1(x_{1,1}) = G_1'(x_{1,1}) > 0.$$

De (3.2.46), obtemos

$$W_2(x_{1,1}) = d_2W_1(x_{1,1}) + \left(1 + \frac{x_{1,1}c_2}{\sqrt{1-x_{1,1}^2}}\right)G_1^2(x_{1,1}) = d_2W_1(x_{1,1}) > 0.$$

Usando novamente (3.2.45), a expressão anterior pode ser escrita como

$$W_2(x_{1,1}) = G_2'(x_{1,1})G_1(x_{1,1}) - G_1'(x_{1,1})G_2(x_{1,1}) = -G_1'(x_{1,1})G_2(x_{1,1}) > 0.$$

Como  $G_1'(x_{1,1}) > 0$ , concluímos que  $G_2(x_{1,1}) < 0$ .

• Agora, consideramos a função  $G_2$ . Como  $G_2$  é contínua em  $[-1, 1]$ ,  $G_2(-1) > 0$ ,  $G_2(x_{1,1}) < 0$ ,  $G_2(1) > 0$  e  $-1 < x_{1,1} < 1$ . Então, existem pontos  $x_{2,1}$  e  $x_{2,2}$ , zeros de  $G_2$ , satisfazendo

$$-1 < x_{2,2} < x_{1,1} < x_{2,1} < 1.$$

Além disso,

$$G_2'(x_{2,2}) < 0 \quad \text{e} \quad G_2'(x_{2,1}) > 0,$$

e, ainda,

$$G_1(x_{2,2}) < 0 \quad \text{e} \quad G_1(x_{2,1}) > 0.$$

Usando (3.2.45), a função  $W_2$ , calculada nos zeros de  $G_2$ , pode ser dada pela expressão

$$W_2(x_{2,j}) = G_2'(x_{2,j})G_1(x_{2,j}) > 0, \quad \text{para } j = 1, 2.$$

De (3.2.46), obtemos

$$W_3(x_{2,j}) = d_3W_2(x_{2,j}) > 0, \quad \text{para } j = 1, 2.$$

Usando novamente (3.2.45), podemos escrever

$$W_3(x_{2,j}) = -G_2'(x_{2,j})G_3(x_{2,j}) > 0, \quad \text{para } j = 1, 2.$$

Como  $G_2'(x_{2,2}) < 0$  e  $G_2'(x_{2,1}) > 0$ , concluímos que  $G_3(x_{2,2}) > 0$  e  $G_3(x_{2,1}) < 0$ .

• Agora, consideramos a função  $G_3$ . Como  $G_3$  é contínua em  $[-1, 1]$ ,  $G_3(-1) < 0$ ,  $G_3(x_{2,2}) > 0$ ,  $G_3(x_{2,1}) < 0$ ,  $G_3(1) > 0$  e  $-1 < x_{2,2} < x_{2,1} < 1$ , então existem pontos  $x_{3,3}$ ,  $x_{3,2}$  e  $x_{3,1}$  que são zeros de  $G_3$  e, satisfazem

$$-1 < x_{3,3} < x_{2,2} < x_{3,2} < x_{2,1} < x_{3,1} < 1.$$

• Procedendo, sucessivamente, para  $n = 4, 5, \dots$ , mostra-se que as funções  $W_n(x)$  não são necessariamente positivas para  $x \in [-1, 1]$ , mas são positivas nos zeros de  $G_n$ , ou seja,

$$W_n(x_{n,j}) > 0, \quad W_{n+1}(x_{n,j}) = d_{n+1}W_n(x_{n,j}) > 0, \quad j = 1, 2, \dots, n,$$

para  $n \geq 1$ . Além disso,

$$\begin{aligned} W_n(x_{n,j}) &= G_n'(x_{n,j})G_{n-1}(x_{n,j}), \\ W_{n+1}(x_{n,j}) &= -G_n'(x_{n,j})G_{n+1}(x_{n,j}). \end{aligned}$$

Portanto, as funções  $G_n$  têm exatamente  $n$  zeros no intervalo  $(-1, 1)$  e eles satisfazem o entrelaçamento dado em (3.2.44). ■

Uma consequência imediata do Lema 3.1 e de (3.2.42) é o esperado resultado sobre os zeros de  $R_n$ .

**Teorema 3.7.** *Os polinômios  $R_n$ ,  $n \geq 1$ , definidos pela relação de recorrência de três termos (2), têm seus  $n$  zeros simples e em  $|z| = 1$ . Além disso, se denotarmos os zeros de  $R_n$  por  $z_{n,j} = e^{i\theta_{n,j}}$ ,  $j = 1, 2, \dots, n$ , vale o seguinte entrelaçamento:*

$$0 < \theta_{n+1,1} < \theta_{n,1} < \theta_{n+1,2} < \dots < \theta_{n+1,n} < \theta_{n,n} < \theta_{n+1,n+1} < 2\pi, \quad n \geq 1.$$

### 3.2.3 Polinômios associados aos polinômios $R_n$

Consideremos, agora, as funções de Christoffel-Darboux, associadas aos polinômios  $R_n$ , definidas por

$$V_n(z) = R'_n(z)R_{n-1}(z) - R'_{n-1}(z)R_n(z), \quad n \geq 1. \quad (3.2.47)$$

De (3.2.42),

$$G'_n(x) = (4z)^{-(n-1)/2} (2zR'_n(z) - nR_n(z)) \frac{1}{z-1}.$$

Assim, obtemos a seguinte relação entre  $W_n(x)$  e  $V_n(z)$ , lembrando que  $2x = z^{1/2} + z^{-1/2}$ ,

$$W_n(x) = \frac{(4z)^{-(n-1)}}{z-1} (2zV_n(z) - R_{n-1}(z)R_n(z)), \quad n \geq 1,$$

e, portanto, vale

$$\frac{z_{n,j}^{-(n-2)}}{z_{n,j} - 1} V_n(z_{n,j}) = 2^{2n-3} W_n(x_{n,j}), \quad j = 1, 2, \dots, n, \quad n \geq 1. \quad (3.2.48)$$

Note que a relação entre os zeros de  $G_n$  e de  $R_n$  é dada por  $x_{n,j} = \cos(\theta_{n,j}/2)$ , onde  $z_{n,j} = e^{i\theta_{n,j}}$ ,  $j = 1, 2, \dots, n$ , ou seja,

$$2x_{n,j} = z_{n,j}^{1/2} + z_{n,j}^{-1/2} = e^{i\theta_{n,j}/2} + e^{-i\theta_{n,j}/2}, \quad j = 1, 2, \dots, n.$$

Note que, se  $\{d_n\}_{n=1}^\infty$  é sequência encadeada então, pelo Teorema 1.7,  $\{d_{1,n}\}_{n=1}^\infty$ , onde  $d_{1,n} = d_{n+1}$ ,  $n \geq 1$ , também é sequência encadeada. Além disso, se denotarmos por  $\{m_n\}_{n=0}^\infty$  e  $\{M_n\}_{n=0}^\infty$  as sequências de parâmetros minimal e maximal de  $\{d_n\}_{n=1}^\infty$ , respectivamente, então considerando  $M_{1,n} = M_{n+1}$ ,  $n \geq 0$ , a sequência  $\{M_{1,n}\}_{n=0}^\infty$  é a sequência de parâmetros maximal de  $\{d_{1,n}\}_{n=1}^\infty$ . Vamos, agora, determinar a sequência de parâmetros minimal.

Da relação de recorrência de três termos para  $R_n$ , temos

$$d_{n+1} = \frac{R_n(1)}{2R_{n-1}(1)} \left( 1 - \frac{R_{n+1}(1)}{2R_n(1)} \right), \quad n \geq 1.$$

Assim,  $\{\hat{m}_n\}_{n=0}^\infty$ , com

$$\hat{m}_n = 1 - \frac{R_{n+1}(1)}{2R_n(1)}, \quad n \geq 0,$$



é a sequência minimal de parâmetros da sequência encadeada  $\{d_{1,n}\}_{n=1}^{\infty}$ .

Claramente, a sequência  $\{m_{1,n}\}_{n=0}^{\infty}$ , onde  $m_{1,n} = m_{n+1}$ , é tal que  $\hat{m}_n < m_{1,n}$ ,  $n \geq 0$  (veja Teorema 1.7).

Note que, para a sequência encadeada  $\{d_n\}_{n=1}^{\infty}$  pode acontecer  $M_0 = m_0 = 0$ . É importante notar que sempre valem as desigualdades  $0 < m_{1,0} \leq M_{1,0} < 1$ . Além disso,  $m_{1,0} = M_{1,0}$  quando a sequência encadeada  $\{d_n\}$  tem uma única sequência de parâmetros.

De uma sequência encadeada positiva  $\{d_n\}_{n=2}^{\infty}$ , que não é unicamente determinada, seguindo o Teorema 1.8 podemos definir um valor para  $d_1$  de tal forma que  $d_1 \leq M_1$  e  $\{d_n\}_{n=1}^{\infty}$  seja, também, uma sequência encadeada. Escolhemos, então,

$$d_1 = (1 - M_0)M_1,$$

onde  $0 \leq M_0 < 1$ .

Consideramos, agora, a seguinte fração contínua finita:

$$\frac{Q_n(z)}{R_n(z)} = \frac{2d_1}{\left| (1 + ic_1)z + (1 - ic_1) \right|} - \frac{4d_2z}{\left| (1 + ic_2)z + (1 - ic_2) \right|} - \frac{4d_3z}{\left| (1 + ic_3)z + (1 - ic_3) \right|} - \dots - \frac{4d_nz}{\left| (1 + ic_n)z + (1 - ic_n) \right|}. \quad (3.2.49)$$

Da teoria de frações contínuas (veja por exemplo [1, 29, 35]), os polinômios  $Q_n$  e  $R_n$  satisfazem

$$R_{n+1}(z) = [(1 + ic_{n+1})z + (1 - ic_{n+1})] R_n(z) - 4d_{n+1} z R_{n-1}(z), \quad (3.2.50)$$

$$Q_{n+1}(z) = [(1 + ic_{n+1})z + (1 - ic_{n+1})] Q_n(z) - 4d_{n+1} z Q_{n-1}(z), \quad (3.2.51)$$

para  $n \geq 1$ , com  $R_0(z) = 1$ ,  $R_1(z) = (1 + ic_1)z + (1 - ic_1)$ ,  $Q_0(z) = 0$  e  $Q_1(z) = 2d_1 = \delta$ .

Os polinômios  $Q_n$  são chamados de polinômios associados a  $R_n$ . Por conveniência, utilizamos a notação  $\delta = 2d_1$  para o numerador do primeiro elemento da fração contínua (3.2.49).

Outra característica importante dos polinômios  $R_n$  é que

$$R_n(z) = R_n^*(z), \quad (3.2.52)$$

onde  $R_n^*(z) = z^n \overline{R_n(1/\bar{z})}$  é o polinômio recíproco de  $R_n$ .

De fato, para  $n = 0$ , claramente vemos que  $R_0^*(z) = 1 = R_0(z)$ . Para  $n = 1$ , temos

$$R_1(z) = (1 + ic_1)z + (1 - ic_1).$$

Logo,

$$R_1(1/\bar{z}) = (1 + ic_1)\frac{1}{\bar{z}} + (1 - ic_1)$$

e, assim,

$$\overline{R_1(1/\bar{z})} = (1 - ic_1)\frac{1}{z} + (1 + ic_1).$$

Multiplicando ambos os membros da expressão anterior por  $z$ , obtemos

$$z \overline{R_1(1/\bar{z})} = (1 - ic_1) + (1 + ic_1)z,$$

ou seja,

$$R_1^*(z) = R_1(z).$$

Da relação de recorrência de três termos de  $R_n$ , temos

$$R_{n+1}(1/\bar{z}) = [(1 + ic_{n+1})\frac{1}{\bar{z}} + (1 - ic_{n+1})]R_n(1/\bar{z}) - 4d_{n+1}\frac{1}{\bar{z}}R_{n-1}(1/\bar{z}).$$

Conjugando-a, obtemos

$$\overline{R_{n+1}(1/\bar{z})}[(1 - ic_{n+1})\frac{1}{z} + (1 + ic_{n+1})]\overline{R_n(1/\bar{z})} - 4d_{n+1}\frac{1}{z}\overline{R_{n-1}(1/\bar{z})}.$$

Multiplicando ambos os membros por  $z^{n+1}$ , temos

$$z^{n+1}\overline{R_{n+1}(1/\bar{z})} = [(1 - ic_{n+1}) + (1 + ic_{n+1})z]z^n\overline{R_n(1/\bar{z})} - 4d_{n+1}z^n\overline{R_{n-1}(1/\bar{z})},$$

ou seja,

$$R_{n+1}^*(z) = [(1 + ic_{n+1})z + (1 - ic_{n+1})]R_n^*(z) - 4d_{n+1}zR_{n-1}^*(z).$$

Assim, como  $R_n^*$  satisfaz à mesma relação de recorrência de três termos de  $R_n$  e com as mesmas condições iniciais, então são idênticos e (3.2.52) vale. ■

Se escrevermos  $r_n$  como  $R_n(z) = \sum_{j=0}^n r_{n,j}z^j$ , então

$$R_n(z) = \sum_{j=0}^n r_{n,j}z^j = \sum_{j=0}^n \bar{r}_{n,n-j}z^j = R_n^*(z), \quad n \geq 0,$$

e, em particular, da relação de recorrência para  $R_n$ , obtemos

$$r_{0,0} = 1 \quad \text{e} \quad r_{n,n} = \bar{r}_{n,0} = \prod_{k=1}^n (1 + ic_k), \quad n \geq 1. \quad (3.2.53)$$

Pela propriedade (3.2.52),  $R_n$  são chamados de polinômios auto-inversíveis.

Similarmente, o polinômio de grau  $n-1$ ,  $Q_n$ , também satisfaz a uma propriedade auto-inversiva

$$Q_n^*(z) = z^{n-1}\overline{Q_n(1/\bar{z})} = Q_n(z), \quad n \geq 1. \quad (3.2.54)$$

Deixamos a demonstração destes fatos para o leitor no Exercício 3.13.

Escrevendo  $Q_n(z) = \sum_{j=0}^{n-1} q_{n,j}z^j$ , então, da relação de recorrência para  $Q_n$ , temos

$$q_{1,0} = \delta \quad \text{e} \quad q_{n,n-1} = \bar{q}_{n,0} = \prod_{k=2}^n (1 + ic_k)\delta, \quad n \geq 2.$$

Veremos, agora, o comportamento assintótico da sequência  $\{Q_n(1)/R_n(1)\}$ . Das fórmulas de recorrência para  $\{R_n\}$  e  $\{Q_n\}$ , junto com a teoria de frações contínuas, mostra-se que, para  $n \geq 1$ ,

$$\begin{aligned} \frac{Q_n(1)}{R_n(1)} &= \frac{d_1}{1} - \frac{d_2}{1} - \frac{d_3}{1} - \dots - \frac{d_n}{1} \\ &= (1 - M_0) \frac{M_{1,0}}{1} - \frac{(1 - M_{1,0})M_{1,1}}{1} - \dots - \frac{(1 - M_{1,n-2})M_{1,n-1}}{1}. \end{aligned}$$

Observemos inicialmente as frações contínuas finitas

$$\frac{\tilde{A}_{n+1}}{\tilde{B}_{n+1}} = 1 - \frac{1}{\left| 1 - \frac{M_{1,0}}{1} \right| - \frac{(1 - M_{1,0})M_{1,1}}{1}} - \dots - \frac{(1 - M_{1,n-2})M_{1,n-1}}{1}, \quad n \geq 1,$$

$$\frac{\tilde{A}_1}{\tilde{B}_1} = 1 - \frac{1}{\left| 1 \right|} \quad \text{e} \quad \frac{\tilde{A}_0}{\tilde{B}_0} = 1,$$

onde  $M_{1,-1} = 0$ . É fácil verificar que  $\tilde{B}_0 = \tilde{B}_1 = 1$ ,  $\tilde{B}_2 = 1 - M_{1,0}$  e, das fórmulas de Wallis (1.2.7)

$$\tilde{B}_{n+1} = (1 - M_{1,0})(1 - M_{1,1}) \cdots (1 - M_{1,n-1}), \quad n \geq 1.$$

Agora, utilizando (1.2.8), temos

$$\frac{\tilde{A}_{n+1}}{\tilde{B}_{n+1}} = - \sum_{k=1}^n \frac{M_{1,0}(1 - M_{1,0})M_{1,1} \cdots (1 - M_{1,k-2})M_{1,k-1}}{B_k B_{k+1}}, \quad n \geq 1.$$

Logo,

$$\frac{\tilde{A}_{n+1}}{\tilde{B}_{n+1}} = - \sum_{k=1}^n \frac{M_{1,0}(1 - M_{1,0})M_{1,1} \cdots (1 - M_{1,k-2})M_{1,k-1}}{(1 - M_{1,0})^2(1 - M_{1,1})^2 \cdots (1 - M_{1,k-2})^2(1 - M_{1,k-1})}. \quad (3.2.55)$$

Por outro lado, observemos as frações contínuas finitas

$$\frac{\hat{A}_n}{\hat{B}_n} = 1 - \frac{M_{1,0}}{\left| 1 \right|} - \frac{(1 - M_{1,0})M_{1,1}}{\left| 1 \right|} - \dots - \frac{(1 - M_{1,n-2})M_{1,n-1}}{\left| 1 \right|}, \quad n \geq 2,$$

com  $\frac{\hat{A}_1}{\hat{B}_1} = 1 - \frac{M_{1,0}}{\left| 1 \right|}$ . Note que

$$\frac{\tilde{A}_{n+1}}{\tilde{B}_{n+1}} = 1 - \frac{1}{\frac{\hat{A}_n}{\hat{B}_n}}$$

e, portanto,

$$\frac{\hat{A}_n}{\hat{B}_n} = \frac{1}{1 - \frac{\tilde{A}_{n+1}}{\tilde{B}_{n+1}}}.$$

Usando (3.2.55), obtemos

$$\frac{\hat{A}_n}{\hat{B}_n} = \frac{1}{1 + \sum_{k=1}^n \frac{M_{1,0}M_{1,1} \cdots M_{1,k-1}}{(1 - M_{1,0})(1 - M_{1,1}) \cdots (1 - M_{1,k-2})(1 - M_{1,k-1})}}.$$

Como, para  $n \geq 1$ ,

$$\frac{Q_n(1)}{R_n(1)} = (1 - M_0) \frac{M_{1,0}}{\left| 1 \right|} - \frac{(1 - M_{1,0})M_{1,1}}{\left| 1 \right|} - \dots - \frac{(1 - M_{1,n-2})M_{1,n-1}}{\left| 1 \right|},$$

então

$$\frac{Q_n(1)}{R_n(1)} = (1 - M_0) \frac{\sum_{k=1}^n \frac{M_{1,0}M_{1,1} \cdots M_{1,k-1}}{(1 - M_{1,0})(1 - M_{1,1}) \cdots (1 - M_{1,k-1})}}{1 + \sum_{k=1}^n \frac{M_{1,0}M_{1,1} \cdots M_{1,k-1}}{(1 - M_{1,0})(1 - M_{1,1}) \cdots (1 - M_{1,k-1})}}, \quad n \geq 1,$$

onde  $\{M_n\}_{n=0}^\infty$  e  $\{M_{1,n}\}_{n=0}^\infty$  são, respectivamente, as seqüências maximais de parâmetros das seqüências encadeadas  $\{d_n\}_{n=1}^\infty$  e  $\{d_{1,n}\}_{n=1}^\infty$ . Usando o Teorema 1.4 (veja também [13, Teorema 6.2]) para seqüência maximal, temos o seguinte resultado:

**Lema 3.2.**

$$(1 - M_0)M_1 = d_1 = \frac{Q_1(1)}{R_1(1)} < \frac{Q_2(1)}{R_2(1)} < \cdots < \frac{Q_{n-1}(1)}{R_{n-1}(1)} < \frac{Q_n(1)}{R_n(1)} < (1 - M_0)$$

e

$$\lim_{n \rightarrow \infty} \frac{Q_n(1)}{R_n(1)} = 1 - M_0. \quad (3.2.56)$$

Agora, consideremos as funções racionais  $Q_n(z)/R_n(z)$  e suas expansões em séries formais.

Primeiramente, definimos as funções  $U_n$  por

$$U_n(z) = \begin{vmatrix} Q_n(z) & R_n(z) \\ Q_{n-1}(z) & R_{n-1}(z) \end{vmatrix} = Q_n(z)R_{n-1}(z) - Q_{n-1}(z)R_n(z), \quad n \geq 1.$$

Essas fórmulas são conhecidas como fórmulas do determinante.

Substituindo as relações de recorrência para  $Q_n$  e  $R_n$  na definição de  $U_n$ , encontramos

$$U_n(z) = 4d_n z U_{n-1}(z) = 2^{2n-1} d_1 d_2 \cdots d_n z^{n-1}, \quad n \geq 2. \quad (3.2.57)$$

e  $U_1(z) = 2d_1$ . Deixamos a prova desse fato a cargo do leitor no Exercício 3.14.

Para  $n \geq 1$ , podemos escrever

$$\frac{Q_n(z)}{R_n(z)} - \frac{Q_{n-1}(z)}{R_{n-1}(z)} = \frac{U_n(z)}{R_n(z)R_{n-1}(z)} = \frac{2^{2n-1} d_1 d_2 \cdots d_n z^{n-1}}{R_n(z)R_{n-1}(z)}. \quad (3.2.58)$$

• A expansão em série de Taylor em torno da origem de uma função racional do tipo  $1/p_n(z)$ , onde  $p_n(z) = \sum_{k=0}^n p_{n,k} z^k$ , com  $p_{n,0} \neq 0$ , é da forma

$$\frac{1}{p_n(z)} = \frac{1}{p_{n,0}} + b_1 z + b_2 z^2 + \cdots,$$

onde  $b_i, i = 1, 2, \dots$ , não dependem da variável  $z$ . Essa expansão pode ser escrita da seguinte forma:

$$\frac{1}{p_n(z)} = \frac{1}{p_{n,0}} + O(z),$$

onde  $O(z)$  significa termos de ordem  $z$  ou maiores.

Usando essa notação, podemos escrever

$$\frac{1}{R_n(z)} = \frac{1}{r_{n,0}} + O(z),$$

$$\frac{1}{R_{n-1}(z)} = \frac{1}{r_{n-1,0}} + O(z).$$

Logo, a diferença (3.2.58) pode ser escrita como

$$\begin{aligned} \frac{Q_n(z)}{R_n(z)} - \frac{Q_{n-1}(z)}{R_{n-1}(z)} &= \frac{2^{2n-1}d_1d_2 \cdots d_n z^{n-1}}{R_n(z)R_{n-1}(z)} \\ &= \frac{2^{2n-1}d_1d_2 \cdots d_n}{r_{n,0}r_{n-1,0}} z^{n-1} + O(z^n) \\ &= \frac{2^{2n-1}d_1d_2 \cdots d_n}{\prod_{k=1}^n (1-ic_k) \prod_{k=1}^{n-1} (1-ic_k)} z^{n-1} + O(z^n). \end{aligned}$$

Essa última relação mostra que os primeiros  $n - 1$  termos das expansões em série em torno da origem de  $\frac{Q_n(z)}{R_n(z)}$  e de  $\frac{Q_{n-1}(z)}{R_{n-1}(z)}$  coincidem.

Notemos, ainda, que

$$\begin{aligned} \frac{Q_n(z)}{R_n(z)} &= \frac{q_{n,0} + q_{n,1}z + \cdots + q_{n,n-1}z^{n-1}}{R_n(z)} \\ &= [q_{n,0} + q_{n,1}z + \cdots + q_{n,n-1}z^{n-1}] \left[ \frac{1}{r_{n,0}} + O(z) \right] \\ &= \frac{q_{n,0}}{r_{n,0}} + O(z) \\ &= \frac{\delta}{1-ic_1} + O(z). \end{aligned}$$

• Analogamente, a expansão em série em torno do infinito de uma função racional do tipo  $t_{n-1}(z)/p_n(z)$ , onde  $p_n(z) = \sum_{k=0}^n p_{n,k}z^k$ , com  $p_{n,n} \neq 0$ , e  $t_{n-1}(z) = \sum_{k=0}^{n-1} t_{n-1,k}z^k$ , com  $t_{n-1,n-1} \neq 0$ , é da forma

$$\frac{t_{n-1}(z)}{p_n(z)} = \frac{t_{n-1,n-1}}{p_{n,n}} \frac{1}{z} + b_{-2} \frac{1}{z^2} + b_{-3} \frac{1}{z^3} + \cdots,$$

onde  $b_{-i}$ ,  $i = 2, 3, \dots$ , não dependem da variável  $z$ . Essa expansão pode ser denotada da seguinte forma:

$$\frac{t_{n-1}(z)}{p_n(z)} = \frac{t_{n-1,n-1}}{p_{n,n}} \frac{1}{z} + O((1/z)^2),$$

onde, neste caso,  $O(z^{-n})$  significa termos de ordem  $z^{-n}$  ou menores.

Usando esta notação, podemos escrever

$$\frac{Q_n(z)}{R_n(z)} = \frac{q_{n-1,n-1}}{r_{n,n}} \frac{1}{z} + O((1/z)^2),$$

$$\frac{Q_{n-1}(z)}{R_{n-1}(z)} = \frac{q_{n-2,n-2}}{r_{n-1,n-1}} \frac{1}{z} + O((1/z)^2).$$

Novamente, a diferença (3.2.58) pode ser escrita como

$$\begin{aligned} \frac{Q_n(z)}{R_n(z)} - \frac{Q_{n-1}(z)}{R_{n-1}(z)} &= \frac{2^{2n-1} d_1 d_2 \cdots d_n z^{n-1}}{R_n(z) R_{n-1}(z)} \\ &= \frac{2^{2n-1} d_1 d_2 \cdots d_n}{r_{n,n} r_{n-1,n-1}} \frac{1}{z^n} + O((1/z)^{n+1}) \\ &= \frac{2^{2n-1} d_1 d_2 \cdots d_n}{\prod_{k=1}^n (1+ic_k) \prod_{k=1}^{n-1} (1+ic_k)} \frac{1}{z^n} + O((1/z)^{n+1}). \end{aligned}$$

Esta última relação mostra que os primeiros  $n-1$  termos das expansões em série em torno do infinito, de  $\frac{Q_n(z)}{R_n(z)}$  e de  $\frac{Q_{n-1}(z)}{R_{n-1}(z)}$  coincidem.

Para facilitar a notação, usaremos

$$\gamma_{n-1} = \frac{2^{2n-1} d_1 d_2 \cdots d_n}{r_{n,n}}, \quad n \geq 1.$$

Mas, de (3.2.53),

$$\gamma_{n-1} = \frac{2^{2n-1} d_1 d_2 \cdots d_n}{\prod_{k=1}^n (1+ic_k)}, \quad n \geq 1.$$

Logo,

$$\gamma_n = \frac{4d_{n+1}\gamma_{n-1}}{1+ic_{n+1}}, \quad n \geq 1,$$

com  $\gamma_0 = \nu_0 = \frac{2d_1}{1+ic_1}$ .

Lembrando que  $r_{n,n} = \bar{r}_{n,0}$ ,  $\{d_n\}_{n=1}^\infty$  é uma sequência encadeada positiva e  $d_1 > 0$ , observamos que

$$\frac{\bar{\gamma}_{n-1}}{\bar{r}_{n-1,n-1}} = \frac{2^{2n-1} d_1 d_2 \cdots d_n}{\bar{r}_{n,n} \bar{r}_{n-1,n-1}} = \frac{2^{2n-1} d_1 d_2 \cdots d_n}{r_{n,0} r_{n-1,0}}.$$

Podemos, então, escrever

$$\frac{Q_n(z)}{R_n(z)} - \frac{Q_{n-1}(z)}{R_{n-1}(z)} = \begin{cases} \frac{\bar{\gamma}_{n-1}}{\bar{r}_{n-1,n-1}} z^{n-1} + O(z^n), \\ \frac{\gamma_{n-1}}{r_{n-1,n-1}} \frac{1}{z^n} + O((1/z)^{n+1}), \end{cases} \quad n \geq 1. \quad (3.2.59)$$

Portanto, concluímos que existem expansões em séries formais  $E_0$  e  $E_\infty$ , na origem e no infinito, respectivamente, tais que

$$E_0(z) - \frac{Q_n(z)}{R_n(z)} = \frac{\bar{\gamma}_n}{\bar{r}_{n,n}} z^n + O(z^{n+1}), \quad n \geq 0, \quad (3.2.60)$$

e

$$E_\infty(z) - \frac{Q_n(z)}{R_n(z)} = \frac{\gamma_n}{r_{n,n}} \frac{1}{z^{n+1}} + O((1/z)^{n+2}), \quad n \geq 0. \quad (3.2.61)$$

Por conveniência, denotaremos as séries  $E_0$  e  $E_\infty$ , da seguinte forma:

$$E_0(z) = -\nu_1 - \nu_2 z - \nu_3 z^2 - \nu_4 z^3 - \dots = -\sum_{n=1}^{\infty} \nu_n z^{n-1}$$

e

$$E_\infty(z) = \frac{\nu_0}{z} + \frac{\nu_{-1}}{z^2} + \frac{\nu_{-2}}{z^3} + \frac{\nu_{-3}}{z^4} + \dots = \sum_{n=1}^{\infty} \nu_{-n+1} z^{-n}.$$

De (3.2.61), substituindo  $z$  por  $1/\bar{z}$  e conjugando ambos os lados, obtemos

$$\overline{E_\infty(1/\bar{z})} - \frac{\overline{Q_n(1/\bar{z})}}{\overline{R_n(1/\bar{z})}} = \frac{\overline{\gamma_n}}{r_{n,n}} \overline{z^{n+1}} + \overline{O(\bar{z}^{n+2})}.$$

Multiplicando ambos os lados por  $1/z$ , temos

$$\frac{1}{z} \overline{E_\infty(1/\bar{z})} - \frac{z^{n-1} \overline{Q_n(1/\bar{z})}}{z^n \overline{R_n(1/\bar{z})}} = \frac{\overline{\gamma_n}}{\overline{r_{n,n}}} z^n + O(z^{n+1}).$$

Como  $R_n$  e  $Q_n$  são polinômios auto-inversíveis,

$$z^{-1} \overline{E_\infty(1/\bar{z})} - \frac{Q_n(z)}{R_n(z)} = \frac{\overline{\gamma_n}}{\overline{r_{n,n}}} z^n + O(z^{n+1}), \quad n \geq 0.$$

Comparando este último resultado com (3.2.60), encontramos propriedades de simetria entre as expansões em séries e entre seus coeficientes

$$\begin{aligned} E_0(z) &= z^{-1} \overline{E_\infty(1/\bar{z})} \\ &= z^{-1} \overline{\sum_{n=1}^{\infty} \nu_{-n+1} \bar{z}^n} \\ -\sum_{n=1}^{\infty} \nu_n z^{n-1} &= \sum_{n=1}^{\infty} \overline{\nu_{-n+1}} z^{n-1}, \end{aligned}$$

e, assim,

$$\nu_n = -\overline{\nu_{-n+1}}, \quad n = 1, 2, \dots \quad (3.2.62)$$

Agora, veremos uma maneira de se determinar os polinômios  $R_n$  a partir dos coeficientes  $\nu_n$ ,  $n = 0 \pm 1, \pm 2, \dots$

De (3.2.60),

$$R_n(z)E_0(z) - Q_n(z) = R_n(z) \left[ \frac{\overline{\gamma_n}}{\overline{r_{n,n}}} z^n + O(z^{n+1}) \right].$$

Escrevendo  $R_n(z) = r_{n,0} + r_{n,1} z + r_{n,2} z^2 + \dots + r_{n,n} z^n$ , obtemos

$$R_n(z)E_0(z) - Q_n(z) = \frac{r_{n,0} \overline{\gamma_n}}{\overline{r_{n,n}}} z^n + O(z^{n+1}),$$

Com  $r_{n,0} = \overline{r_{n,n}}$ , então

$$R_n(z)E_0(z) - Q_n(z) = \overline{\gamma_n} z^n + O(z^{n+1}),$$

Comparando os coeficientes dos termos  $z^0, z^1, \dots, z^{n-1}, z^n$  em ambos os lados da última igualdade, obtemos o seguinte sistema de equações lineares:

$$\begin{array}{ccccccc}
 -\nu_1 r_{n,0} & & & & & -q_{n,0} & = 0 \\
 -\nu_2 r_{n,0} & -\nu_1 r_{n,1} & & & & -q_{n,1} & = 0 \\
 \vdots & \vdots & \ddots & & & \vdots & \\
 -\nu_n r_{n,0} & -\nu_{n-1} r_{n,1} & \cdots & -\nu_1 r_{n,n-1} & & -q_{n,n-1} & = 0 \\
 -\nu_{n+1} r_{n,0} & -\nu_n r_{n,1} & \cdots & -\nu_2 r_{n,n-1} & -\nu_1 r_{n,n} & & = \bar{\gamma}_n
 \end{array} \tag{3.2.63}$$

Das  $n$  primeiras linhas desse sistema, vemos que

$$q_{n,k} = - \sum_{j=0}^k \nu_{k+1-j} r_{n,j}, \quad k = 0, 1, \dots, n-1. \tag{3.2.64}$$

De (3.2.61),

$$R_n(z)E_\infty(z) - Q_n(z) = R_n(z) \left[ \frac{\gamma_n}{r_{n,n}} \frac{1}{z^{n+1}} + O((1/z)^{n+2}) \right].$$

Escrevendo  $R_n$  em termos de seus coeficientes  $r_{n,i}, i = 0, 1, \dots, n$ , obtemos

$$R_n(z)E_\infty(z) - Q_n(z) = \frac{r_{n,n} \gamma_n}{r_{n,n}} \frac{1}{z} + O((1/z)^2).$$

Logo,

$$R_n(z)E_\infty(z) - Q_n(z) = \gamma_n \frac{1}{z} + O((1/z)^2).$$

Comparando os coeficientes dos termos  $z^{-1}, z^0, z^1, \dots, z^{n-2}, z^{n-1}$  em ambos os lados da equação anterior, obtemos o sistema de equações lineares

$$\begin{array}{ccccccc}
 \nu_0 r_{n,0} & +\nu_{-1} r_{n,1} & \cdots & +\nu_{-n+1} r_{n,n-1} & +\nu_{-n} r_{n,n} & & = \gamma_n \\
 & \nu_0 r_{n,1} & \cdots & +\nu_{-n+2} r_{n,n-1} & +\nu_{-n+1} r_{n,n} & -q_{n,0} & = 0 \\
 & & \ddots & \vdots & \vdots & \ddots & \vdots \\
 & & & \nu_0 r_{n,n-1} & +\nu_{-1} r_{n,n} & -q_{n,n-2} & = 0 \\
 & & & & \nu_0 r_{n,n} & -q_{n,n-1} & = 0
 \end{array} \tag{3.2.65}$$

Substituindo os valores dos coeficientes  $q_{n,k}$ , dados em (3.2.64), no sistema (3.2.65) obtemos

$$\left\{ \begin{array}{l}
 \nu_0 r_{n,0} + \nu_{-1} r_{n,1} + \nu_{-2} r_{n,2} + \cdots + \nu_{-n} r_{n,n} = \gamma_n \\
 \nu_1 r_{n,0} + \nu_0 r_{n,1} + \nu_{-1} r_{n,2} + \cdots + \nu_{-n+1} r_{n,n} = 0 \\
 \vdots \\
 \nu_{n-1} r_{n,0} + \nu_{n-2} r_{n,1} + \nu_{n-3} r_{n,2} + \cdots + \nu_{-1} r_{n,n} = 0 \\
 \nu_n r_{n,0} + \nu_{n-1} r_{n,1} + \nu_{n-2} r_{n,2} + \cdots + \nu_0 r_{n,n} = 0
 \end{array} \right. , \tag{3.2.66}$$



que pode ser escrito, na forma matricial, como

$$\begin{pmatrix} \nu_0 & \nu_{-1} & \cdots & \nu_{-n} \\ \nu_1 & \nu_0 & \cdots & \nu_{-n+1} \\ \vdots & \vdots & & \vdots \\ \nu_{n-1} & \nu_{n-2} & \cdots & \nu_{-1} \\ \nu_n & \nu_{n-1} & \cdots & \nu_0 \end{pmatrix} \begin{pmatrix} r_{n,0} \\ r_{n,1} \\ \vdots \\ r_{n,n-2} \\ r_{n,n} \end{pmatrix} = \begin{pmatrix} \gamma_n \\ 0 \\ \vdots \\ 0 \\ 0 \end{pmatrix}.$$

Observe que o determinante da matriz dos coeficientes é o determinante de Toeplitz (veja (1.5.32)). Verifiquemos que esses determinantes são não nulos. Consideramos

$$\Delta_n = \begin{vmatrix} \nu_0 & \nu_{-1} & \cdots & \nu_{-n} \\ \nu_1 & \nu_0 & \cdots & \nu_{-n+1} \\ \vdots & \vdots & & \vdots \\ \nu_{n-1} & \nu_{n-2} & \cdots & \nu_{-1} \\ \nu_n & \nu_{n-1} & \cdots & \nu_0 \end{vmatrix}, \quad n = 0, 1, 2, \dots$$

Pelo princípio da regra de Cramer obtemos

$$r_{n,0} = \gamma_n \frac{\begin{vmatrix} \nu_0 & \nu_{-1} & \cdots & \nu_{-n} \\ \nu_1 & \nu_0 & \cdots & \nu_{-n+1} \\ \vdots & \vdots & & \vdots \\ \nu_{n-1} & \nu_{n-2} & \cdots & \nu_{-1} \\ \nu_n & \nu_{n-1} & \cdots & \nu_0 \end{vmatrix}}{\begin{vmatrix} \nu_0 & \nu_{-1} & \cdots & \nu_{-n-1} \\ \nu_1 & \nu_0 & \cdots & \nu_{-n} \\ \vdots & \vdots & & \vdots \\ \nu_{n-1} & \nu_{n-2} & \cdots & \nu_0 \end{vmatrix}},$$

temos

$$\Delta_n = \frac{\gamma_n}{r_{n,0}} \Delta_{n-1}, \quad n \geq 1,$$

com  $\Delta_0 = |\nu_0| \neq 0$ , pois  $\nu_0 = \gamma_0 \neq 0$ .

Como  $r_{n,0} \neq 0$  e  $\gamma_n \neq 0$ , por indução concluí-se que  $\Delta_n \neq 0$  para  $n \geq 0$ .

Se substituirmos a primeira linha do sistema (3.2.66) por  $R_n(z) = r_{n,0} + r_{n,1}z + r_{n,2}z^2 + \cdots + r_{n,n}z^n$ , obtemos

$$\begin{pmatrix} 1 & z & \cdots & z^n \\ \nu_1 & \nu_0 & \cdots & \nu_{-n+1} \\ \vdots & \vdots & & \vdots \\ \nu_{n-1} & \nu_{n-2} & \cdots & \nu_{-1} \\ \nu_n & \nu_{n-1} & \cdots & \nu_0 \end{pmatrix} \begin{pmatrix} r_{n,0} \\ r_{n,1} \\ \vdots \\ r_{n,n-2} \\ r_{n,n} \end{pmatrix} = \begin{pmatrix} R_n(z) \\ 0 \\ \vdots \\ 0 \\ 0 \end{pmatrix}.$$

Novamente, aplicando a regra de Cramer, obtemos

$$R_n(z) = r_{n,0} \frac{\begin{vmatrix} 1 & z & \cdots & z^n \\ \nu_1 & \nu_0 & \cdots & \nu_{-n+1} \\ \vdots & \vdots & & \vdots \\ \nu_{n-1} & \nu_{n-2} & \cdots & \nu_{-1} \\ \nu_n & \nu_{n-1} & \cdots & \nu_0 \end{vmatrix}}{\begin{vmatrix} \nu_0 & \nu_{-1} & \cdots & \nu_{-n+1} \\ \nu_1 & \nu_0 & \cdots & \nu_{-n+2} \\ \vdots & \vdots & & \vdots \\ \nu_{n-2} & \nu_{n-3} & \cdots & \nu_{-1} \\ \nu_{n-1} & \nu_{n-2} & \cdots & \nu_0 \end{vmatrix}}.$$

Podemos obter uma relação entre os determinantes de Toeplitz e os determinan-

tes de Hankel, permutando-se as colunas do determinante de Toeplitz, ou seja

$$\begin{vmatrix} \nu_0 & \nu_{-1} & \cdots & \nu_{-n} \\ \nu_1 & \nu_0 & \cdots & \nu_{-n+1} \\ \vdots & \vdots & & \vdots \\ \nu_{n-1} & \nu_{n-2} & \cdots & \nu_{-1} \\ \nu_n & \nu_{n-1} & \cdots & \nu_0 \end{vmatrix} = (-1)^{\lfloor \frac{n}{2} \rfloor} \begin{vmatrix} \nu_{-n} & \nu_{-n+1} & \cdots & \nu_0 \\ \nu_{-n+1} & \nu_{-n+2} & \cdots & \nu_1 \\ \vdots & \vdots & & \vdots \\ \nu_{-1} & \nu_0 & \cdots & \nu_{n-1} \\ \nu_0 & \nu_1 & \cdots & \nu_n \end{vmatrix}.$$

Este último determinante é o determinante de Hankel  $H_n^{(-n)}$  (veja (1.1.4)).

Como os coeficientes de  $R_n$  são obtidos do sistema (3.2.66), podemos, então, tomar um funcional de momento para o qual os polinômios  $R_n$  satisfazem as relações de L-ortogonalidade. Este resultado pode ser escrito da seguintes forma:

**Teorema 3.8.** *Sejam  $\{R_n\}$  e  $\{Q_n\}$  seqüências de polinômios obtidos da seqüência de números reais  $\{c_n\}$ , da seqüência encadeada positiva  $\{d_n\}$  e das relações de recorrência de três termos (3.2.50) e (3.2.51). Então, a função racional  $Q_n/R_n$  satisfaz as propriedades de correspondência dadas por (3.2.60) e (3.2.61). Além disso, se o funcional de momento  $\mathcal{N}$  é tal que*

$$\mathcal{N}[\zeta^{-n}] = \nu_n, \quad n = 0, \pm 1, \pm 2, \dots,$$

então os polinômios  $R_n$  satisfazem

$$\mathcal{N}[\zeta^{-n+j} R_n(\zeta)] = \begin{cases} -\bar{\gamma}_n, & j = -1, \\ 0, & j = 0, 1, \dots, n-1, \\ \gamma_n, & j = n \end{cases} \quad n \geq 1,$$

$$\text{onde } \gamma_0 = \nu_0 = \frac{2d_1}{1+ic_1} \quad e \quad \gamma_n = \frac{4d_{n+1}}{(1+ic_{n+1})} \gamma_{n-1}, \quad n \geq 1.$$

### 3.2.4 Resultado do tipo Favard

É bem conhecido que os polinômios ortogonais no círculo unitário são completamente caracterizados (determinados) em termos dos coeficientes de Verblunsky,  $\alpha_n$ , dados em (3.2.26), como podemos ver no próximo teorema (veja, por exemplo, [39, Teorema 1.7.11]), que é um resultado similar ao Teorema de Favard (Teorema 1.12), para polinômios ortogonais na reta real.

**Teorema 3.9.** *Dada uma seqüência de números complexos  $\{\alpha_n\}_{n=0}^{\infty}$ , onde  $|\alpha_n| < 1$ ,  $n \geq 0$ , então, associada a esta seqüência existe um única medida de probabilidade não-trivial, definida no círculo unitário, tal que os polinômios mônicos  $\{S_n\}$  gerados por (3.2.27) são os respectivos polinômios ortogonais no círculo unitário.*

Uma simples demonstração construtiva deste teorema pode ser encontrada em Erdélyi e outros [19].

Um resultado do tipo Favard para os polinômios  $R_n$ , definidos por (2), foi demonstrado no artigo [46], de um dos autores deste livro, Sri Ranga. Para mostrá-lo precisaremos de alguns resultados preliminares.

Consideramos, a partir de agora, que  $\{d_n\}_{n=1}^{\infty}$  é uma seqüência encadeada positiva, ou seja,  $\{d_1, d_2, d_3, \dots\}$  forma uma seqüência encadeada positiva.

Dadas as seqüências de polinômios  $\{R_n\}$  e  $\{Q_n\}$ , definidas como em (3.2.50) e (3.2.51), consideremos as seqüências de polinômios  $\{A_n\}$  e  $\{B_n\}$  dadas por

$$A_n(z) = R_n(z) - Q_n(z) \quad \text{e} \quad B_n(z) = (z-1)R_n(z), \quad n \geq 0. \quad (3.2.67)$$

Logo,

$$\begin{aligned} \frac{A_n(z)}{B_n(z)} &= \frac{R_n(z) - Q_n(z)}{(z-1)R_n(z)} \\ &= \frac{1}{z-1} - \frac{Q_n(z)}{(z-1)R_n(z)} \end{aligned}$$

e

$$\frac{A_{n+1}(z)}{B_{n+1}(z)} - \frac{A_n(z)}{B_n(z)} = -\frac{1}{z-1} \left[ \frac{Q_{n+1}(z)}{R_{n+1}(z)} - \frac{Q_n(z)}{R_n(z)} \right], \quad n \geq 0.$$

Portanto, usando (3.2.59), obtemos

$$\frac{A_{n+1}(z)}{B_{n+1}(z)} - \frac{A_n(z)}{B_n(z)} = \begin{cases} \frac{\bar{\gamma}_n}{\bar{r}_{n,n}} z^n + O(z^{n+1}), \\ -\frac{\gamma_n}{r_{n,n}} \frac{1}{z^{n+2}} + O((1/z)^{n+3}), \end{cases} \quad n \geq 0. \quad (3.2.68)$$

De (3.2.68) concluímos que existem expansões em séries  $F_0$  e  $F_\infty$  tal que

$$F_0(z) - \frac{A_n(z)}{B_n(z)} = \frac{\bar{\gamma}_n}{\bar{r}_{n,n}} z^n + O(z^{n+1}), \quad n \geq 0, \quad (3.2.69)$$

e

$$F_\infty(z) - \frac{A_n(z)}{B_n(z)} = -\frac{\gamma_n}{r_{n,n}} \frac{1}{z^{n+2}} + O((1/z)^{n+3}), \quad n \geq 0. \quad (3.2.70)$$

Denotaremos

$$F_0(z) = -\mu_1 - \mu_2 z - \mu_3 z^2 - \mu_4 z^3 - \dots$$

e

$$F_\infty(z) = \frac{\mu_0}{z} + \frac{\mu_{-1}}{z^2} + \frac{\mu_{-2}}{z^3} + \frac{\mu_{-3}}{z^4} + \dots$$

Como, de (3.2.60),

$$E_0(z) - \frac{Q_n(z)}{R_n(z)} = \frac{\bar{\gamma}_n}{\bar{r}_{n,n}} z^n + O(z^{n+1}), \quad n \geq 0,$$

então

$$\begin{aligned} \frac{A_n(z)}{B_n(z)} &= \frac{1}{z-1} - \frac{1}{z-1} \frac{Q_n(z)}{R_n(z)} \\ &= (1-z-z^2-\dots) - (1-z-z^2-\dots)(-\nu_1 - \nu_2 z - \dots - \nu_{n+1} z^n) \\ &= -(1+\nu_1) - (1+\nu_1+\nu_2)z - (1+\nu_1+\nu_2+\nu_3)z^2 - \dots, \end{aligned}$$

que, comparado com (3.2.69), produz  $\mu_n = 1 + \sum_{j=1}^n \nu_j$ , para  $n \geq 1$ .

Analogamente, usando (3.2.61), ou seja,

$$E_\infty(z) - \frac{Q_n(z)}{R_n(z)} = \frac{\gamma_n}{r_{n,n}} \frac{1}{z^{n+1}} + O((1/z)^{n+2}), \quad n \geq 0,$$

e

$$\frac{1}{z-1} = \frac{1}{z(1-1/z)} = \frac{1}{z} \left( 1 + \frac{1}{z} + \frac{1}{z^2} + \dots \right),$$

obtemos

$$\begin{aligned} \frac{A_n(z)}{B_n(z)} &= \frac{1}{z-1} - \frac{1}{z-1} \frac{Q_n(z)}{R_n(z)} \\ &= \left( 1 + \frac{1}{z} + \frac{1}{z^2} + \dots \right) - \left( 1 + \frac{1}{z} + \frac{1}{z^2} + \dots \right) \left( \frac{\nu_0}{z} + \frac{\nu_{-1}}{z^2} + \dots + \frac{\nu_{-n+1}}{z^n} \right) \\ &= \frac{1}{z} + (1-\nu_0) \frac{1}{z^2} + (1-\nu_0-\nu_{-1}) \frac{1}{z^3} + (1-\nu_0-\nu_{-1}-\nu_{-2}) \frac{1}{z^4} + \dots, \end{aligned}$$

que, comparado com (3.2.70), produz  $\mu_0 = 1$  e  $\mu_{-n} = 1 - \sum_{j=1}^n \nu_{-j+1}$ , para  $n \geq 1$ .

Portanto, os números  $\mu_k$  satisfazem

$$\begin{aligned} \mu_n &= 1 + \sum_{j=1}^n \nu_j, \\ \mu_{-n} &= 1 - \sum_{j=1}^n \nu_{-j+1}, \end{aligned} \quad n = 1, 2, 3, \dots, \quad (3.2.71)$$

com  $\mu_0 = 1$ . Como  $\nu_j = -\bar{\nu}_{-j+1}$ ,  $n \geq 1$ , vale também que

$$\mu_n = 1 + \sum_{j=1}^n \nu_j = 1 - \sum_{j=1}^n \bar{\nu}_{-j+1} = \bar{\mu}_{-n}, \quad n \geq 1.$$

Assim, podemos estabelecer o seguinte teorema (veja [46]).

**Teorema 3.10.** *Dadas uma seqüência de números reais  $\{c_n\}_{n=1}^{\infty}$  e uma seqüência encadeada positiva  $\{d_n\}_{n=1}^{\infty}$  existe uma medida de probabilidade não trivial  $\mu$  no círculo unitário associada a estas seqüências. Se  $M_0 > 0$ , onde  $\{M_n\}$  é a seqüência maximal de parâmetros de  $\{d_n\}$ , então  $\mu$  tem um ponto de massa  $M_0$  em  $z = 1$ . Seja  $\mathcal{N}$  o funcional de momento associado com  $\{c_n\}$  e  $\{d_n\}$  como dado no Teorema 3.8. Então,*

$$\mathcal{N}[\zeta^{-n}] = \int_{\mathcal{C}} \zeta^{-n} (1 - \zeta) d\mu(\zeta), \quad n = 0, \pm 1, \pm 2, \dots$$

Demonstração: Se definirmos o funcional de momento  $\mathcal{M}$  por

$$\mathcal{M}[\zeta^{-k}] = \mu_k, \quad k = 0, \pm 1, \pm 2, \dots,$$

então

$$\mathcal{M}[\zeta^{-k}] = 1 - \mathcal{N}\left[\frac{1 - \zeta^{-k}}{1 - \zeta}\right], \quad k = 0, \pm 1, \pm 2, \dots \quad (3.2.72)$$

Como  $\nu_{-k} = \mu_{-k} - \mu_{-k-1}$ ,  $k = 0, \pm 1, \pm 2, \dots$ , que segue de (3.2.71), os funcionais de momento  $\mathcal{M}$  e  $\mathcal{N}$  também satisfazem

$$\mathcal{N}[\zeta^k] = \mathcal{M}[\zeta^k (1 - \zeta)], \quad k = 0, \pm 1, \pm 2, \dots \quad (3.2.73)$$

Como  $(z-1)R_n(z)$  tem  $n+1$  zeros simples no círculo unitário, podemos considerar a decomposição de frações parciais de  $A_n(z)/B_n(z)$

$$\frac{A_n(z)}{B_n(z)} = \frac{R_n(z) - Q_n(z)}{(z-1)R_n(z)} = \frac{\lambda_{n,0}}{z-1} + \sum_{j=1}^n \frac{\lambda_{n,j}}{z-z_{n,j}}, \quad (3.2.74)$$

onde  $z_{n,j}$ ,  $j = 1, 2, \dots, n$ , são os zeros de  $R_n$ . Podemos, então, escrever

$$R_n(z) - Q_n(z) = \lambda_{n,0}R_n(z) + (z-1) \sum_{j=1}^n \frac{\lambda_{n,j}R_n(z)}{z-z_{n,j}}.$$

Fazendo  $z \rightarrow 1$ , obtemos  $R_n(1) - Q_n(1) = \lambda_{n,0}R_n(1)$  e

$$\lambda_{n,0} = 1 - \frac{Q_n(1)}{R_n(1)}.$$

Do Lema 3.2, temos

$$1 - d_1 = \lambda_{1,0} > \lambda_{2,0} > \dots > \lambda_{n,0} > \lambda_{n+1,0} > \dots$$

e

$$\lim_{n \rightarrow \infty} \lambda_{n,0} = M_0,$$

onde  $M_0$  é o primeiro parâmetro da sequência maximal de parâmetros da sequência encadeada  $\{d_n\}_{n=1}^{\infty}$ .

Fazendo  $z \rightarrow z_{n,k}$ , obtemos

$$-Q_n(z_{n,k}) = (z_{n,k} - 1)\lambda_{n,k}R'_n(z_{n,k})$$

e

$$\lambda_{n,k} = \frac{Q_n(z_{n,k})}{(1 - z_{n,k})R'_n(z_{n,k})}, \quad k = 1, 2, \dots, n.$$

Além disso, como podemos escrever

$$\lambda_{n,k} = \frac{1}{(1 - z_{n,k})} \frac{Q_n(z_{n,k})R_{n-1}(z_{n,k}) - Q_{n-1}(z_{n,k})R_n(z_{n,k})}{R'_n(z_{n,k})R_{n-1}(z_{n,k}) - R'_{n-1}(z_{n,k})R_n(z_{n,k})}, \quad k = 1, 2, \dots, n,$$

então

$$\lambda_{n,k} = \frac{U_n(z_{n,k})}{(1 - z_{n,k})V_n(z_{n,k})}, \quad k = 1, 2, \dots, n,$$

onde  $V_n$  e  $U_n$  são dados por (3.2.47) e (3.2.57), respectivamente. Temos, então,

$$\begin{aligned} \lambda_{n,k} &= \frac{2^{2n-1}d_1d_2 \cdots d_n(z_{n,k})^{n-1}}{(1 - z_{n,k})2^{2n-3}(z_{n,k})^{n-2}W_n(x_{n,k})(z_{n,k} - 1)} \\ &= \frac{4d_1d_2 \cdots d_n}{W_n(x_{n,k})} \frac{z_{n,k}}{(z_{n,k} - 1)(1 - z_{n,k})} > 0, \quad k = 1, 2, \dots, n. \end{aligned}$$

$W_n$  são definidos por (3.2.45) e, com  $z_{n,k} = e^{i\theta_{n,k}}$ ,  $k = 1, 2, \dots, n$ , obtemos

$$\frac{z_{n,k}}{(z_{n,k} - 1)(1 - z_{n,k})} = \frac{1}{4\text{sen}^2(\theta_{n,k}/2)}.$$

Lembremos que, pelo Teorema 3.7,

$$0 < \theta_{n,1} < \theta_{n,2} < \cdots < \theta_{n,n-1} < \theta_{n,n} < 2\pi, \quad n \geq 1.$$

Além disso, considerando o limite de  $zA_n(z)/B_n(z)$ , quando  $z \rightarrow \infty$ , temos também

$$\sum_{j=0}^n \lambda_{n,j} = 1.$$

Se as funções escada  $\psi_n(e^{i\theta})$ ,  $n \geq 1$ , são definidas em  $[0, 2\pi]$  por

$$\psi_n(e^{i\theta}) = \begin{cases} 0, & \theta = 0, \\ \lambda_{n,0}, & 0 < \theta \leq \theta_{n,1}, \\ \sum_{j=0}^k \lambda_{n,j}, & \theta_{n,k} < \theta \leq \theta_{n,k+1}, \quad k = 1, 2, \dots, n-1, \\ 1, & \theta_{n,n} < \theta \leq 2\pi, \end{cases}$$

então, da definição de integral de Riemann-Stieltjes (veja Seção 1.1), como  $\psi_n$  é não decrescente, temos

$$\frac{A_n(z)}{B_n(z)} = \int_{\mathcal{C}} \frac{1}{z - \zeta} d\psi_n(\zeta), \quad n \geq 1.$$

Citamos, agora, dois importantes resultados, que serão necessários a seguir. Esses resultados garantem a convergência de seqüências  $\{\psi_n\}$  de funções não-negativas, não-decrescentes e uniformemente limitadas (veja [27] para mais detalhes).

**Teorema 3.11** (Teorema de Seleção de Helly). *Dada uma seqüência  $\{\psi_n\}$  de funções não-negativas, não-decrescentes e uniformemente limitadas, existe uma subsequência  $\{\psi_{n_\nu}\}$  e uma função  $\phi$  nas mesmas condições de  $\psi_n$ , para a qual essa subsequência converge.*

**Teorema 3.12.** *Seja uma seqüência  $\{\psi_n\}$  de funções não-negativas, não-decrescentes e uniformemente limitadas que converge para uma função  $\phi$  nas mesmas condições de  $\psi_n$ . Então,*

$$\lim_{n \rightarrow \infty} \int_{\mathbb{R}} f(t) d\psi_n = \int_{\mathbb{R}} f(t) d\phi$$

para qualquer função contínua  $f(t)$  em  $\mathbb{R}$ .

Assim, usando o Teorema de Seleção de Helly existe uma subsequência  $\{n_j\}$  tal que  $\psi_{n_j}(e^{i\theta})$  converge para uma função limitada e não-decrescente, denotada por  $\mu(e^{i\theta})$ , em  $[0, 2\pi]$ , ou seja,

$$\lim_{n \rightarrow \infty} \frac{A_n(z)}{B_n(z)} = \int_{\mathcal{C}} \frac{1}{z - \zeta} d\mu(\zeta).$$

De (3.2.69) e (3.2.70), como

$$\int_{\mathcal{C}} d\psi_n(\zeta) = 1 \quad \text{e} \quad \int_{\mathcal{C}} \zeta^k d\psi_n(\zeta) = \mu_{-k}, \quad k = \pm 1, \pm 2, \dots, \pm n,$$

também obtemos

$$\int_{\mathcal{C}} d\mu(\zeta) = 1 = \mathcal{M}[1] \quad \text{e} \quad \int_{\mathcal{C}} \zeta^k d\mu(\zeta) = \mu_{-k} = \mathcal{M}[\zeta^k], \quad k = \pm 1, \pm 2, \dots$$

Assim, o fato de  $\mu$  ser a única medida de probabilidade que satisfaz às relações anteriores, segue de (1.5.43) e do Teorema 3.9.

A medida  $\mu$  ter um salto de tamanho  $M_0$  em  $z = 1$  é também confirmado por  $\lim_{n \rightarrow \infty} \lambda_{n,0} = M_0$ . ■

### 3.2.5 Outras propriedades dos polinômios $R_n$

Com a medida de probabilidade  $\mu$ , obtida no Teorema 3.10, temos, então, do Teorema 3.8,

$$\mu_k = \int_{\mathcal{C}} \zeta^k d\mu(\zeta) = \mathcal{M}[\zeta^{-k}].$$

Como  $\nu_k = \mu_k - \mu_{k-1}$ ,

$$\begin{aligned} \nu_k &= \int_{\mathcal{C}} (\zeta^{-k} - \zeta^{-(k-1)}) d\mu(\zeta) \\ &= \int_{\mathcal{C}} \zeta^{-k} (1 - \zeta) d\mu(\zeta), \\ &= \mathcal{N}[\zeta^{-k}], \quad k = 0, \pm 1, \pm 2, \dots \end{aligned}$$

Assim, temos uma representação integral para  $\mathcal{N}[\zeta^{-n}]$  e, para  $n \geq 1$ ,

$$\mathcal{N}[\zeta^{-n+k} R_n(\zeta)] = \int_{\mathcal{C}} \zeta^{-n+k} R_n(\zeta) (1 - \zeta) d\mu(\zeta) = 0, \quad 0 \leq k \leq n-1. \quad (3.2.75)$$

O próximo lema fornece informações sobre os valores das integrais  $\int_{\mathcal{C}} R_n(\zeta) d\mu(\zeta)$ .

**Lema 3.3.** *Seja*

$$\widehat{\gamma}_n = \int_{\mathcal{C}} R_n(\zeta) d\mu(\zeta), \quad n \geq 0.$$

Então,

$$\widehat{\gamma}_0 = 1 \quad e \quad \widehat{\gamma}_n = 2(1 - m_n) \widehat{\gamma}_{n-1}, \quad n \geq 1, \quad (3.2.76)$$

onde  $\{m_n\}_{n=0}^{\infty}$  é a seqüência de parâmetros minimal da seqüência encadeada positiva  $\{d_n\}_{n=1}^{\infty}$ .

Demonstração: Primeiramente, fazendo  $k = n-1, n-2, \dots, 0$  em (3.2.75), obtemos

$$\widehat{\gamma}_n = \int_{\mathcal{C}} \zeta^{-k} R_n(\zeta) d\mu(\zeta), \quad k = 0, 1, \dots, n, \quad n \geq 1. \quad (3.2.77)$$

Facilmente vemos que  $\widehat{\gamma}_0 = \int_{\mathcal{C}} d\mu(\zeta) = \mu_0 = 1$  e

$$\begin{aligned} \widehat{\gamma}_1 &= \int_{\mathcal{C}} R_1(\zeta) d\mu(\zeta) \\ &= \int_{\mathcal{C}} (1 + ic_1)\zeta + (1 - ic_1) d\mu(\zeta) \\ &= (1 + ic_1)\mu_{-1} + (1 - ic_1). \end{aligned}$$

Além disso, de  $\mu_{-1} = 1 - \nu_0$  e  $\nu_0 = 2d_1/(1 + ic_1)$ , concluímos que

$$\widehat{\gamma}_1 = 2(1 - d_1) = 2(1 - m_1),$$

provando (3.2.76) para  $n = 1$ .

Agora, da relação de recorrência de três termos (3.2.50), de (3.2.75) e de (3.2.77), temos

$$\begin{aligned}\widehat{\gamma}_{n+1} &= \int_{\mathcal{C}} \zeta^{-1} R_{n+1}(\zeta) d\mu(\zeta) \\ &= \int_{\mathcal{C}} [(1 + ic_{n+1}) + (1 - ic_{n+1})\zeta^{-1}] R_n(\zeta) d\mu(\zeta) - 4d_{n+1} \int_{\mathcal{C}} R_{n-1}(\zeta) d\mu(\zeta) \\ &= (1 + ic_{n+1})\widehat{\gamma}_n + (1 - ic_{n+1})\widehat{\gamma}_n - 4d_{n+1}\widehat{\gamma}_{n-1}.\end{aligned}$$

Logo,

$$\widehat{\gamma}_{n+1} = 2\widehat{\gamma}_n - 4d_{n+1}\widehat{\gamma}_{n-1}. \quad \text{para } n \geq 1.$$

Assim, obtemos

$$\begin{aligned}d_{n+1} &= \frac{\widehat{\gamma}_n}{2\widehat{\gamma}_{n-1}} \left(1 - \frac{\widehat{\gamma}_{n+1}}{2\widehat{\gamma}_n}\right), \\ &= \left[1 - \left(1 - \frac{\widehat{\gamma}_n}{2\widehat{\gamma}_{n-1}}\right)\right] \left[1 - \frac{\widehat{\gamma}_{n+1}}{2\widehat{\gamma}_n}\right] \\ &= (1 - g_n)g_{n+1}, \quad n \geq 1,\end{aligned}$$

onde  $g_n = 1 - \frac{\widehat{\gamma}_n}{2\widehat{\gamma}_{n-1}}$ . Note que

$$g_1 = 1 - \frac{\widehat{\gamma}_1}{2\widehat{\gamma}_0} = 1 - \frac{2(1 - m_1)}{2} = m_1,$$

e, como  $d_{n+1} = (1 - g_n)g_{n+1}$ ,  $n \geq 1$ , concluímos que  $\{g_n\}_{n=1}^{\infty}$  é a sequência de parâmetros da sequência encadeada  $\{d_{n+1}\}_{n=1}^{\infty}$ . Logo,

$$m_n = 1 - \frac{\widehat{\gamma}_n}{2\widehat{\gamma}_{n-1}}$$

e, então,

$$\widehat{\gamma}_n = 2(1 - m_n)\widehat{\gamma}_{n-1}, \quad n \geq 1,$$

o que completa a demonstração do lema. ■

Como  $R_n(z) - 2(1 - m_n)R_{n-1}(z)$  é um polinômio de grau exatamente  $n$  cujo coeficiente do termo de maior grau é  $r_{n,n} = \prod_{k=1}^n (1 + ic_k)$ , uma consequência imediata do Lema 3.3 é o seguinte resultado

**Teorema 3.13.** *Se a sequência de polinômios mônicos  $\{S_n\}$  é tal que*

$$S_0(z) = 1 \quad \text{e} \quad S_n(z) = \frac{R_n(z) - 2(1 - m_n)R_{n-1}(z)}{\prod_{k=1}^n (1 + ic_k)}, \quad n \geq 1,$$

então  $\{S_n\}$  é a sequência de polinômios ortogonais no círculo unitário com respeito à medida  $\mu$ .

Demonstração: Para  $k = 0, 1, \dots, n-1$ ,

$$\begin{aligned}\int_{\mathcal{C}} \overline{\zeta^k} S_n(z) d\mu(\zeta) &= \int_{\mathcal{C}} \overline{\zeta^k} \frac{R_n(z) - 2(1 - m_n)R_{n-1}(z)}{\prod_{k=1}^n (1 + ic_k)} d\mu(\zeta) \\ &= \frac{1}{\prod_{k=1}^n (1 + ic_k)} \int_{\mathcal{C}} \zeta^{-k} [R_n(\zeta) - 2(1 - m_n)R_{n-1}(\zeta)] d\mu(\zeta) \\ &= \frac{1}{\prod_{k=1}^n (1 + ic_k)} [\widehat{\gamma}_n - 2(1 - m_n)\widehat{\gamma}_{n-1}] \\ &= 0.\end{aligned}$$



Logo, o resultado está provado. ■

Além disso, com a fórmula para  $R_n(0)$  dada em (3.2.52), os coeficientes de Verblunsky  $\alpha_{n-1} = -\overline{S_n(0)}$ ,  $n \geq 1$ , são dados por

$$\alpha_{n-1} = \frac{1 - 2m_n - ic_n}{1 + ic_n} \prod_{k=1}^n \frac{1 + ic_k}{1 - ic_k}, \quad n \geq 1.$$

### 3.3 Exercícios

**Exercício 3.1.** Seja  $\psi$  uma medida simétrica no círculo unitário, isto é,

$$d\psi(1/z) = -d\psi(z).$$

Mostre que os momentos  $\mu_n$  são todos reais e que  $\mu_{-n} = \mu_n$ , para  $n \geq 1$ .

**Exercício 3.2.** Prove que

$$S_n^{(2)}(z) = \frac{S_n(z) - S_n^*(z)}{1 - S_n(0)},$$

definido no Teorema 3.2, satisfaz à relação de recorrência (3.1.6).

**Exercício 3.3.** Demonstre a relação (3.1.15), isto é, que os polinômios  $P_n^{\phi_2}$  podem ser escritos como combinação dos polinômios  $P_n^{\phi_1}$  da seguinte forma:

$$(1 - x^2)P_n^{\phi_2}(x) = \frac{-1}{P_n^{\phi_1}(1)} \left\{ P_n^{\phi_1}(1)P_{n+2}^{\phi_1}(x) - P_{n+2}^{\phi_1}(1)P_n^{\phi_1}(x) \right\}.$$

**Exercício 3.4.** Demonstre a equação (3.1.16), ou seja, demonstre que

$$P_n^{\phi_1}(x) = P_n^{\phi_2}(x) + \tilde{d}_{n-2}P_{n-2}^{\phi_2}(x), \quad n \geq 2,$$

com

$$\tilde{d}_{n-2} = \frac{\int_{-1}^1 P_n^{\phi_1}(x)P_{n-2}^{\phi_2}(x)d\phi_2(x)}{\int_{-1}^1 (P_{n-2}^{\phi_2}(x))^2 d\phi_2(x)} = -\frac{\int_{-1}^1 (P_n^{\phi_1}(x))^2 d\phi_1(x)}{\int_{-1}^1 (P_{n-2}^{\phi_2}(x))^2 d\phi_2(x)}, \quad n \geq 2.$$

**Exercício 3.5.** Demonstre as seguintes relações entre os coeficientes  $\tilde{d}_n$ ,  $\alpha_n^{\phi_1}$  e  $\alpha_n^{\phi_2}$

$$\frac{\tilde{d}_{n-1}}{\tilde{d}_{n-2}} = \frac{\alpha_{n+2}^{\phi_1}}{\alpha_n^{\phi_2}}, \quad n \geq 2$$

e

$$\tilde{d}_{n-1} - \tilde{d}_{n-2} = \alpha_{n+1}^{\phi_2} - \alpha_{n+1}^{\phi_1}, \quad n \geq 2,$$

$$\text{com } \tilde{d}_0 = -\frac{\alpha_3^{\phi_1}\alpha_2^{\phi_1}\alpha_1^{\phi_1}}{\alpha_1^{\phi_2}} = \alpha_2^{\phi_2} - \alpha_2^{\phi_1}.$$

**Exercício 3.6.** Mostre que a sequência  $\{l_n\}$  satisfaz às relações

$$\begin{aligned} \frac{(l_{n+1} - 1)}{(l_{n-1} - 1)} &= \frac{\tilde{d}_{n-1}}{\tilde{d}_{n-2}}, \quad n \geq 2, \\ (l_{n+1} - 1)(l_n - 1) &= -4\tilde{d}_{n-1}, \quad n \geq 1. \end{aligned}$$

Sugestão: Use (3.1.19) e, em seguida, indução matemática sobre  $n$ .

**Exercício 3.7.** Demonstre as relações (3.1.20) e (3.1.21), ou seja, demonstre que

$$\frac{(l_{2n+1} - 1)}{2} = -\frac{\alpha_{2n+2}^{\phi_1} \alpha_{2n}^{\phi_1} \dots \alpha_4^{\phi_1} \alpha_2^{\phi_1}}{\alpha_{2n}^{\phi_2} \alpha_{2n-2}^{\phi_2} \dots \alpha_4^{\phi_2} \alpha_2^{\phi_2}}, \quad \frac{(l_{2n} - 1)}{2} = -\frac{\alpha_{2n+1}^{\phi_1} \alpha_{2n-1}^{\phi_1} \dots \alpha_3^{\phi_1} \alpha_1^{\phi_1}}{\alpha_{2n-1}^{\phi_2} \alpha_{2n-3}^{\phi_2} \dots \alpha_3^{\phi_2} \alpha_1^{\phi_2}}$$

e

$$\frac{(l_{2n-1} + 1)}{2} = \frac{\alpha_{2n-1}^{\phi_2} \alpha_{2n-3}^{\phi_2} \dots \alpha_1^{\phi_2}}{\alpha_{2n-1}^{\phi_1} \alpha_{2n-3}^{\phi_1} \dots \alpha_1^{\phi_1}}, \quad \frac{(l_{2n} + 1)}{2} = \frac{\alpha_{2n}^{\phi_2} \alpha_{2n-2}^{\phi_2} \dots \alpha_2^{\phi_2}}{\alpha_{2n}^{\phi_1} \alpha_{2n-2}^{\phi_1} \dots \alpha_2^{\phi_1}}.$$

**Exercício 3.8.** Se  $\phi_1$  e  $\phi_2$  satisfazem (3.1.14), demonstre que existe uma sequência de números reais  $\{l_n\}$  tal que, para  $n \geq 1$ ,

$$\alpha_{n+1}^{\phi_1} = -\frac{1}{4}(l_n - 1)(l_{n-1} + 1), \quad \alpha_{n+1}^{\phi_2} = -\frac{1}{4}(l_n - 1)(l_{n+1} + 1)$$

e

$$\tilde{d}_{n-1} = -\frac{1}{4}(l_n - 1)(l_{n+1} - 1), \quad n \geq 1,$$

com  $l_0 = 1$  e  $l_1 = 1 - 2\alpha_2^{\phi_2}$ .

**Exercício 3.9.** a) Mostre que (3.2.29) vale, ou seja,

$$P_n(w; z) = \frac{1}{z - w} \frac{S_{n+1}(z) - \tau_{n+1}(w)S_{n+1}^*(z)}{1 + \tau_{n+1}(w)\alpha_n}, \quad n \geq 0.$$

b) Mostre que  $P_n(w; w) \neq 0$ .

**Exercício 3.10.** Mostre que as relações (3.2.31) e (3.2.32) valem.

**Exercício 3.11.** Mostre que (3.2.33) vale, ou seja,

$$P_n(w; z) = \frac{zS_n(z) - w\tau_n(w)S_n^*(z)}{z - w}, \quad n \geq 0.$$

**Exercício 3.12.** Mostre que as funções  $G_n$ , definidas por (3.2.42), são contínuas e deriváveis no intervalo  $[-1, 1]$  e que satisfazem

$$(-1)^n G_n(-1) = G_n(1) > 0, \quad n \geq 1.$$

**Exercício 3.13.** Mostre a relação (3.2.54), ou seja,

$$Q_n^*(z) = z^{n-1} \overline{Q_n(1/\bar{z})} = Q_n(z), \quad n \geq 1,$$

onde  $Q_n$  e  $\delta$  são dados em (3.2.51).

**Exercício 3.14.** Demonstre a relação (3.2.57), ou seja

$$U_n(z) = 4d_n z U_{n-1}(z) = 2^{2n-1} d_1 d_2 \dots d_n z^{n-1}, \quad n \geq 2.$$

com  $U_1(z) = 2d_1$ .

# Capítulo 4

## Aplicações

### 4.1 Fórmulas de quadratura

Consideremos a integral

$$I(f) = \int_a^b f(x)dx,$$

onde  $(a, b) \subseteq \mathbb{R}$ . Fórmulas de quadratura são fórmulas que aproximam o valor numérico de  $I(f)$  através de uma combinação linear de valores conhecidos da função  $f$ , ou seja,

$$\int_a^b f(x)dx = \sum_{k=1}^n W_{n,k} f(x_{n,k}) + E_n(f).$$

Os valores  $W_{n,k}$ ,  $k = 1, 2, \dots, n$ , são chamados pesos da fórmula de quadratura,  $x_{n,k}$ ,  $k = 1, 2, \dots, n$ , os nós e  $E_n(f)$  é o erro cometido na aproximação. Os textos [32, 47] são boas referências sobre o assunto.

Para construir fórmulas de quadratura, devemos determinar os valores  $n$ ,  $x_{n,k}$ , e  $W_{n,k}$ ,  $k = 1, 2, \dots, n$ . Por exemplo, podemos escolher os nós tais que

$$a \leq x_{n,1} < x_{n,2} < \dots < x_{n,n-1} < x_{n,n} \leq b$$

e os pesos como

$$W_{n,k} = \int_a^b \frac{\pi(x)}{(x - x_{n,k})\pi'(x_{n,k})} dx, \quad k = 1, 2, \dots, n, \quad (4.1.1)$$

onde  $\pi(x) = (x - x_{n,1})(x - x_{n,2}) \cdots (x - x_{n,n})$ . Para  $k = 1, 2, \dots, n$ , os polinômios

$$\frac{\pi(x)}{(x - x_{n,k})\pi'(x_{n,k})}$$

são os polinômios fundamentais de Lagrange.

Da teoria de interpolação polinomial, obtemos

$$\int_a^b f(x)dx = \sum_{k=1}^n W_{n,k} f(x_{n,k}) + E_n(f), \quad (4.1.2)$$

onde

$$E_n(f) = \frac{1}{(n+1)!} \int_a^b \pi(x) f^{(n+1)}(\xi_x) dx, \quad \xi_x \in (x_{n,1}, x_{n,n}). \quad (4.1.3)$$

**Definição 4.1.** *Fórmulas de quadratura do tipo (4.1.2), cujos pesos são dados por (4.1.1), são chamadas fórmulas de quadratura interpolatórias.*

**Definição 4.2.** *Dizemos que uma regra de quadratura tem grau de precisão  $m$ , se  $E_n(f) = 0$  para todo polinômio  $f \in \mathbb{P}_m$  e existe um polinômio de grau  $m + 1$ ,  $\tilde{f}$ , tal que  $E_n(\tilde{f}) \neq 0$ .*

**Teorema 4.1.** (ver [32]) *A fórmula de quadratura (4.1.2) é interpolatória se, e somente se,  $E_n(f) = 0$  para todo  $f \in \mathbb{P}_{n-1}$ , ou seja, é exata para todo polinômio de grau menor ou igual a  $n - 1$ .*

Deixamos a demonstração desse teorema a cargo do leitor (Exercício 4.1).

### 4.1.1 Fórmulas de quadratura gaussianas

Consideremos, agora, fórmulas de quadratura interpolatórias do tipo

$$\int_a^b f(x) d\phi(x) = \sum_{k=1}^n W_{n,k} f(x_{n,k}) + E_n(f), \quad (4.1.4)$$

cujos nós  $x_{n,k}$ ,  $k = 1, 2, \dots, n$ , são os zeros do polinômio  $P_n$ , ortogonal com relação à medida  $\phi$  no intervalo  $(a, b)$ , e os pesos são dados por

$$W_{n,k} = \int_a^b \frac{P_n(x)}{(x - x_{n,k})P'_n(x_{n,k})} d\phi(x), \quad k = 1, 2, \dots, n. \quad (4.1.5)$$

**Teorema 4.2.** (ver [32]) *A fórmula de quadratura interpolatória (4.1.4), com pesos dados por (4.1.5), é exata para polinômios de grau no máximo  $2n - 1$ , ou seja,  $E_n(f) = 0$  para  $f \in \mathbb{P}_{2n-1}$ .*

Deixamos a demonstração desse teorema como exercício (Exercício 4.1).

As fórmulas de quadratura com  $n$  pontos que têm precisão  $2n - 1$  são conhecidas como fórmulas de quadratura gaussianas.

Não é difícil mostrar que os pesos  $W_{n,k}$ ,  $k = 1, 2, \dots, n$ , das fórmulas de quadratura gaussianas são positivos (Exercício 4.2).

Além disso, utilizando os polinômios associados aos ortogonais definidos por (1.4.16), obtemos

$$W_{n,k} = \frac{Q_n(x_{n,k})}{P'_n(x_{n,k})}, \quad k = 1, 2, \dots, n. \quad (4.1.6)$$

Como  $P_n(x) = (x - x_{n,1})(x - x_{n,2}) \cdots (x - x_{n,n})$ , podemos escrever  $Q_n(x)/P_n(x)$  como

$$\begin{aligned} \frac{Q_n(x)}{P_n(x)} &= \frac{\lambda_{n,1}}{(x - x_{n,1})} + \frac{\lambda_{n,2}}{(x - x_{n,2})} + \cdots + \frac{\lambda_{n,n}}{(x - x_{n,n})} \\ &= \frac{\lambda_{n,1}(x - x_{n,2}) \cdots (x - x_{n,n}) + \cdots + \lambda_{n,n}(x - x_{n,1}) \cdots (x - x_{n,n-1})}{(x - x_{n,1}) \cdots (x - x_{n,n})}. \end{aligned}$$

Para  $x = x_{n,k}$ , obtemos

$$Q_n(x_{n,k}) = \lambda_{n,k}(x_{n,k} - x_{n,1}) \cdots (x_{n,k} - x_{n,k-1})(x_{n,k} - x_{n,k+1}) \cdots (x_{n,k} - x_{n,n}).$$

Portanto,

$$\lambda_{n,k} = \frac{Q_n(x_{n,k})}{P'_n(x_{n,k})} = W_{n,k}, \quad k = 1, 2, \dots, n.$$

No. de pontos $n$	Valores aproximados
3	<u>3.15346625333877</u>
6	<u>3.09096614867156</u>
9	<u>3.09093903343554</u>
12	<u>3.09093960019774</u>
15	<u>3.09093959890973</u>
18	<u>3.09093959891120</u>
	Valor exato: 3.09093959891120 como 15 algarismos significativos

Tabela 4.1: Aproximações para o valor da integral  $I_1$ , dada em (4.1.9), utilizando a fórmula de quadratura de Gauss-Chebyshev (4.1.8) com  $n = 3, 6, \dots, 18$ .

Podemos, então, escrever

$$\frac{Q_n(x)}{P_n(x)} = \sum_{k=1}^n \frac{W_{n,k}}{x - x_{n,k}}. \quad (4.1.7)$$

**Exemplo 4.1.** Consideremos a fórmula de quadratura de Gauss-Chebyshev

$$\int_{-1}^1 f(x) \frac{1}{\sqrt{1-x^2}} dx = \frac{\pi}{n} \sum_{k=1}^n f\left(\cos\left(\frac{(2k-1)\pi}{2n}\right)\right) + E_n(f), \quad (4.1.8)$$

com  $E_n(f) = 0$  sempre que  $f \in \mathbb{P}_{2n-1}$ , onde

$$x_{n,k} = \cos\left(\frac{(2k-1)\pi}{2n}\right), \quad k = 1, 2, \dots, n,$$

são os zeros do polinômio de Chebyshev de primeira espécie (1.4.23) de grau  $n$ . Os pesos

$$W_{n,k} = \frac{\pi}{n}, \quad k = 1, 2, \dots, n,$$

podem ser obtidos utilizando (4.1.6). Para mais detalhes, veja [2, 32, 47].

Vamos utilizar esta fórmula para encontrar aproximações para o valor da integral definida

$$I_1 = \int_{-1}^1 \frac{\operatorname{sen}(x^4) + e^{-x^2}}{\sqrt{1-x^2}} dx, \quad (4.1.9)$$

cujo valor, com 15 algarismos significativos, é 3.09093959891120.

A Tabela 4.1 mostra aproximações obtidas através da fórmula de quadratura de Gauss-Chebyshev (4.1.8) com  $f(x) = \operatorname{sen}(x^4) + e^{-x^2}$  e diferentes números de nós.

### 4.1.2 Fórmulas de quadratura e os polinômios L-ortogonais

Na referência [42] foram consideradas regras de quadratura da forma

$$\int_a^b f(t) d\psi(t) = \sum_{k=1}^n V_{n,k} f(t_{n,k}) + \tilde{E}_n(f), \quad (4.1.10)$$

onde  $\psi$  é uma medida forte de Stieltjes em  $(a, b) \subset (0, \infty)$ .

Essas fórmulas estão associadas ao polinômios L-ortogonais e, também, às fórmulas de quadratura para funções racionais (ver [12] e [21]).

Escolhendo  $t_{n,k}$ ,  $k = 1, 2, \dots, n$ , como os zeros dos polinômios L-ortogonais  $B_n$  com relação a  $\psi$  em  $(a, b)$ , vamos determinar os pesos  $V_{n,k}$  de forma que a fórmula de quadratura (4.1.10) seja interpolatória.

Seja  $F(t) = t^n f(t)$ . Construindo o polinômio de interpolação de Lagrange de  $F(t)$  sobre os  $n$  pontos distintos  $t_{n,1}, t_{n,2}, \dots, t_{n,n}$ , obtemos

$$F(t) = \sum_{k=1}^n l_{n,k}(t) F(t_{n,k}) + R_n(t),$$

ou seja,

$$f(t) = t^{-n} \sum_{k=1}^n l_{n,k}(t) t_{n,k}^n f(t_{n,k}) + t^{-n} R_n(t), \quad (4.1.11)$$

onde os polinômios fundamentais de Lagrange,  $l_{n,k}$ , são dados por

$$l_{n,k}(t) = \frac{B_n(t)}{(t - t_{n,k}) B_n'(t_{n,k})}.$$

Integrando ambos os membros de (4.1.11) em  $(a, b)$  com relação a  $\psi$  e comparando com (4.1.10), obtemos

$$V_{n,k} = \frac{t_{n,k}^n}{B_n'(t_{n,k})} \int_a^b \frac{t^{-n} B_n(t)}{t - t_{n,k}} d\psi(t), \quad k = 1, 2, \dots, n, \quad (4.1.12)$$

e

$$\tilde{E}_n(f) = \frac{1}{n!} \int_a^b t^{-n} B_n(t) F^{(n)}(\xi_t) d\psi(t), \quad \xi_t \in [t_{n,1}, t_{n,n}]. \quad (4.1.13)$$

**Definição 4.3.** *Fórmulas de quadratura do tipo (4.1.10), cujos pesos são dados por (4.1.12), são chamadas fórmulas de quadratura L-gaussianas.*

Os pesos da regra de quadratura (4.1.10) são positivos (Exercício 4.2).

Quanto ao grau de precisão dessa regra de quadratura, ela é exata se  $t^n f(t) \in \mathbb{P}_{2n-1}$ . De fato, se  $F(t) = t^n f(t) \in \mathbb{P}_{n-1}$ , então  $F^{(n)}(t) \equiv 0$ . Logo,  $\tilde{E}_n(f) = 0$ . Suponhamos que  $F \in \mathbb{P}_{2n-1}$ . Então, podemos escrever

$$F(t) = B_n(t) q_{n-1}(t) + p_{n-1}(t), \quad (4.1.14)$$

onde  $q_{n-1}$  e  $p_{n-1}$  são polinômios de grau  $n-1$ . Observe que  $F(t_{n,k}) = p_{n-1}(t_{n,k})$ ,  $k = 1, 2, \dots, n$ . Se escrevermos  $q_{n-1}(t) = \sum_{i=0}^{n-1} q_i t^i$ , teremos

$$\int_a^b t^{-n} B_n(t) q_{n-1}(t) d\psi(t) = \sum_{i=0}^{n-1} q_i \int_a^b t^{-n+i} B_n(t) d\psi(t) = 0, \quad (4.1.15)$$

por (2.2.6).

Logo, por (4.1.14),

$$\int_a^b f(t)d\psi(t) = \int_a^b t^{-n}B_n(t)q_{n-1}(t)d\psi(t) + \int_a^b \underbrace{t^{-n}p_{n-1}(t)}_{g(t)}d\psi(t).$$

Como  $p_{n-1}(t) = t^n g(t)$  é um polinômio de grau  $\leq n - 1$ , então  $\tilde{E}_n(g) = 0$ . Assim, de (4.1.15),

$$\begin{aligned} \int_a^b f(t)d\psi(t) &= \int_a^b g(t)d\psi(t) = \sum_{k=1}^n V_{n,k}g(t_{n,k}) \\ &= \sum_{k=1}^n V_{n,k}t_{n,k}^{-n}p_{n-1}(t_{n,k}) = \sum_{k=1}^n V_{n,k}f(t_{n,k}). \end{aligned}$$

Portanto,  $\tilde{E}_n(f) = 0$  quando  $t^n f(t) \in \mathbb{P}_{2n-1}$ .

Consideremos, agora, os polinômios  $C_n$ , associados aos L-ortogonais, definidos em (2.2.15). O polinômio interpolador de  $C_n$  de grau  $n - 1$  sobre os  $n$  zeros  $t_{n,k}$ ,  $k = 1, 2, \dots, n$ , de  $B_n$  coincide com o polinômio  $C_n$ , ou seja, o erro na interpolação é zero. Dessa forma, usando interpolação de Lagrange, temos

$$C_n(t) = B_n(t) \sum_{k=1}^n \frac{C_n(t_{n,k})}{(t - t_{n,k})B'_n(t_{n,k})}.$$

Logo,

$$\frac{C_n(t)}{B_n(t)} = \sum_{k=1}^n \frac{C_n(t_{n,k})}{(t - t_{n,k})B'_n(t_{n,k})} = \sum_{k=1}^n \frac{\lambda_{n,k}}{t - t_{n,k}}.$$

com  $\lambda_{n,k} = \frac{C_n(t_{n,k})}{B'_n(t_{n,k})}$ .

Fazendo  $t = t_{n,k}$  em (2.2.16), temos

$$C_n(t_{n,k}) = t_{n,k}^m \int_a^b \frac{z^{-m}B_n(z)}{z - t_{n,k}}d\psi(z), \quad m = 0, 1, 2, \dots, n.$$

Como  $C_n(t_{n,k}) = \lambda_{n,k}B'_n(t_{n,k})$ , substituindo na última relação para  $m = n$ , obtemos

$$\lambda_{n,k} = \frac{t_{n,k}^n}{B'_n(t_{n,k})} \int_a^b \frac{z^{-n}B_n(z)}{z - t_{n,k}}d\psi(z).$$

De (4.1.12),  $\lambda_{n,k} = V_{n,k}$  e, portanto,

$$V_{n,k} = \frac{C_n(t_{n,k})}{B'_n(t_{n,k})}, \quad k = 1, 2, \dots, n. \quad (4.1.16)$$

Em [4], considerou-se propriedades dos pesos e dos nós de certas fórmulas de quadratura associados a polinômios L-ortogonais  $B_n^\psi$ , cuja medida forte  $\psi$ , definida em  $(a, b)$ , com  $\beta = \sqrt{ab}$  e  $0 \leq a < \beta < b \leq \infty$ , satisfaz à propriedade (2.2.34), isto é,

$$\frac{d\psi(t)}{\sqrt{t}} = -\frac{d\psi(\beta^2/t)}{\sqrt{\beta^2/t}}, \quad t \in (a, b). \quad (4.1.17)$$

Lembramos que, neste caso, os polinômios L-ortogonais  $B_n$ , com relação à medida forte  $\psi$ , satisfazem à relação de recorrência (1) com  $\beta_n^\psi = \beta$ , ou seja,

$$B_{n+1}^\psi(t) = (t - \beta)B_n^\psi(t) - \alpha_{n+1}^\psi t B_{n-1}^\psi(t),$$

com  $B_0^\psi(t) = 1$  e  $B_1^\psi(t) = t - \beta$  (veja Seção 2.2.4).

Nesse mesmo trabalho, considerou-se, também, os polinômios ortogonais  $P_n^\phi$  associados a uma medida simétrica  $\phi$ , a correspondente fórmula de quadratura gaussiana (4.1.4), ou seja,

$$\int_{-\infty}^{\infty} f(x)d\phi(x) = \sum_{k=1}^n W_{n,k} f(x_{n,k}) + E_n(f), \quad (4.1.18)$$

onde  $E_n(f) = 0$  para  $f \in \mathbb{P}_{2n-1}$ , e a transformação definida em (2.2.35) por

$$x(t) = \frac{1}{2\sqrt{\alpha}}(\sqrt{t} - \beta/\sqrt{t}), \quad t \in (0, \infty)$$

cuja sua inversa é dada por  $t(x) = (\sqrt{\alpha x^2 + \beta} + \sqrt{\alpha}x)^2$ ,  $x \in (0, \infty)$ .

Na Seção 2.2.4, vimos que a relação

$$d\psi(t) = A \frac{t}{t + \beta} d\phi(x(t)) \quad (4.1.19)$$

vale e  $\psi$  satisfaz (4.1.17) se, e somente se,  $\phi$  é uma medida simétrica em  $[-d, d]$ , onde  $d = x(b)$  e

$$B_n^\psi(t) = (2\sqrt{\alpha}t)^n P_n^\phi(x(t)). \quad (4.1.20)$$

Em [45], foi demonstrado que, sob as condições anteriores, os pesos e os nós das respectivas fórmulas de quadratura estão relacionados por (Exercício 4.3)

$$t_{n,k} = t(x_{n,k}) \quad \text{e} \quad V_{n,k} = A \frac{t_{n,k}}{t_{n,k} + \beta} W_{n,k}, \quad k = 1, 2, \dots, n. \quad (4.1.21)$$

**Exemplo 4.2.** Consideremos novamente a fórmula de quadratura de Gauss-Chebyshev

$$\int_{-1}^1 f(x) \frac{1}{\sqrt{1-x^2}} dx = \frac{\pi}{n} \sum_{k=1}^n f(x_{n,k}) + E_n(f),$$

com  $E_n(f) = 0$  sempre que  $f \in \mathbb{P}_{2n-1}$ , onde  $x_{n,k} = \cos((2k-1)\pi/(2n))$ ,  $k = 1, 2, \dots, n$ , são os zeros do polinômio de Chebyshev de primeira espécie (1.4.23) de grau  $n$ .

Como  $d\phi(x) = 1/\sqrt{1-x^2} dx$  é uma medida simétrica no intervalo  $(-1, 1)$ , de (4.1.19), obtemos

$$d\psi(t) = \frac{A}{2} \frac{1}{\sqrt{b-t}\sqrt{t-a}} dt \quad \text{em } (a, b),$$

onde  $a = t(-1) = (\sqrt{\alpha} + \beta - \sqrt{\alpha}x)^2$  e  $b = t(1) = (\sqrt{\alpha} + \beta + \sqrt{\alpha}x)^2$ , com  $a = \beta^2/b$ .

Escolhendo, sem perda de generalidade,  $A = 2$  e utilizando (4.1.21), obtemos a fórmula de quadratura L-Gaussiana

$$\int_a^b F(t) \frac{1}{\sqrt{b-t}\sqrt{t-a}} dt = \frac{2\pi}{n} \sum_{k=1}^n \frac{t_{n,k}}{t_{n,k} + \beta} F(t_{n,k}) + \tilde{E}_n(f), \quad (4.1.22)$$



No. de pontos $n$	Valores aproximados Gauss-Chebyshev	Valores aproximados L-Gaussiana
2	<u>3.7342041050</u>	<u>4.2906260754</u>
5	<u>4.3454615803</u>	<u>4.3988623516</u>
10	<u>4.3982577305</u>	4.3988982029
15	<u>4.3988906142</u>	4.3988982029
20	<u>4.3988981130</u>	4.3988982029
25	<u>4.3988982019</u>	4.3988982029
30	<u>4.3988982029</u>	4.3988982029
$g(x) = e^x$ $r = 1$ $\lambda = 1.1$	Valor exato: 4.3988982029 como 11 algarismos significativos	

Tabela 4.2: Aproximações para o valor da integral  $I_2$ , dada em (4.1.23), com  $r = 1$  e  $\lambda = 1.1$ , utilizando a quadratura de Gauss-Chebyshev (4.1.8) e a quadratura L-gaussiana (4.1.22).

onde  $\tilde{E}_n(f) = 0$  quando  $t^n f(t) \in \mathbb{P}_{2n-1}$  e os pesos  $t_{n,k}$  são dados por

$$t_{n,n+1-k} = (\beta + \alpha v_k^{(n)}) + \sqrt{(\beta + \alpha v_k^{(n)})^2 - \beta^2} \quad e \quad t_{n,k} = \beta^2 / t_{n,n+1-k},$$

com  $v_k^{(n)} = 1 + \cos((2k - 1)\pi/n)$ .

Este exemplo de fórmula de quadratura L-Gaussiana foi apresentado por Sri Ranga em [42].

**Exemplo 4.3.** Consideremos, agora, a integral

$$I_2 = \int_{-1}^1 \frac{g(x)}{(x + \lambda)^r} \frac{1}{\sqrt{1 - x^2}} dx, \tag{4.1.23}$$

onde  $g$  é uma função contínua em  $[-1, 1]$ ,  $\lambda$  é um número real tal que  $\lambda > 1$  e  $r$  é um número inteiro. Esse exemplo foi dado em [42] e [44] com  $|\lambda| > 1$ .

Como no Exemplo 4.1, uma escolha natural para aproximar essa integral seria aplicar a quadratura de Gauss-Chebyshev. Porém, quando  $r \geq 1$  e  $\lambda$  está próximo de 1, a quadratura de Gauss-Chebyshev apresenta um comportamento de convergência vagaroso, como mostram as Tabelas 4.2 e 4.3

Utilizando uma transformação linear, alteramos a integral  $I_2$  dada em (4.1.23) de modo a podermos aplicar a fórmula de quadratura L-gaussiana (4.1.22) do Exemplo 4.2. Sejam  $a$  e  $b$  dois números positivos tais que  $b > a$ . Então, tomando a transformação linear, com  $x \in [-1, 1]$  e  $t \in [a, b]$ ,

$$x = x(t) = \frac{2t}{b - a} - \frac{b + a}{b - a},$$

obtemos

$$I_2 = \left(\frac{b - a}{2}\right)^r \int_a^b g\left(\frac{2t}{b - a} - \frac{b + a}{b - a}\right) \frac{1}{t^r} \frac{1}{\sqrt{b - t}\sqrt{t - a}} dt.$$

Podemos tomar, por exemplo,  $a = \lambda - 1$  e  $b = \lambda + 1$ . Logo,  $b - a = 2$ ,  $b + a = 2\lambda$  e, portanto,

$$I_2 = \left(\frac{b - a}{2}\right)^r \int_a^b g(t - \lambda) \frac{1}{t^r} \frac{1}{\sqrt{b - t}\sqrt{t - a}} dt. \tag{4.1.24}$$

No. de pontos $n$	Valores aproximados Gauss-Chebyshev	Valores aproximados L-Gaussiana
2	<u>4.412345645</u>	10. <u>089808549</u>
5	<u>7.104198673</u>	10.26 <u>854495</u>
10	<u>9.361172196</u>	10.263987847
15	10. <u>034529940</u>	10.263987847
20	10.20 <u>7529933</u>	10.263987847
30	10.260 <u>631961</u>	10.263987847
40	10.263 <u>788989</u>	10.263987847
50	10.2639 <u>76065</u>	10.263987847
60	10.26398 <u>7149</u>	10.263987847
$g(x) = e^x$ $r = 1$ $\lambda = 1.01$	Valor exato: 10.263987847 como 11 algarismos significativos	

Tabela 4.3: Aproximações para o valor da integral  $I_2$ , dada em (4.1.23), com  $r = 1$  e  $\lambda = 1.01$ , utilizando a quadratura de Gauss-Chebyshev (4.1.8) e a quadratura L-gaussiana (4.1.22).

Agora, podemos aplicar a fórmula de quadratura L-gaussiana (4.1.22) a essa integral. Por exemplo, escolhendo  $g(x) = e^x$ , calculamos aproximações para  $I_2$  pelas fórmulas de quadratura de Gauss-Chebyshev e L-gaussiana.

A Tabela 4.2 mostra que, com  $g(x) = e^x$ ,  $r = 1$  e  $\lambda = 1.1$ , a quadratura L-gaussiana converge para o valor exato com 11 algarismos significativos com  $n = 10$  nós, enquanto que a quadratura de Gauss-Chebyshev precisa de cerca de  $n = 30$  nós para fornecer a mesma precisão.

Quando diminuimos o valor de  $\lambda$  para 1.01, Tabela 4.3, a quadratura L-gaussiana novamente converge com  $n = 10$  pontos, enquanto que no caso da quadratura de Gauss-Chebyshev a convergência se dará para  $n > 60$  pontos.

Consideremos, agora, uma medida simétrica  $\phi_p$  definida em  $\Omega = [-d, -c] \cup [c, d]$ , cujos coeficientes  $\alpha_{n+1}^{\phi_p}$  da relação de recorrência dos polinômios ortogonais associados,  $P_{n+1}^{\phi_p}$ , satisfazem

$$\alpha_2^{\phi_p} = p\lambda_0, \quad \alpha_{2n+1}^{\phi_p} = \lambda_1 \quad \text{e} \quad \alpha_{2n+2}^{\phi_p} = \lambda_0, \quad n \geq 1, \quad (4.1.25)$$

onde  $0 < p, \lambda_0, \lambda_1 < \infty$ , e seja a medida forte  $\psi_p$  definida por

$$d\psi_p(t) = \frac{2t}{t + \beta} d\phi_p(x(t)).$$

Como visto em (2.2.38), os coeficientes das relações de recorrências dos polinômios ortogonais e L-ortogonais associados satisfazem  $\alpha_{n+1}^{\psi_p} = 4\alpha\alpha_{n+1}^{\phi_p}$ ,  $n \geq 1$ .

Assim, podemos escrever

$$\alpha_2^{\psi_p} = 4\alpha p\lambda_0 = p\alpha_0 \quad \text{e} \quad \alpha_{2n+1}^{\psi_p} = 4\alpha\lambda_1 = \alpha_1, \quad \alpha_{2n+2}^{\psi_p} = 4\alpha\lambda_0 = \alpha_0, \quad n \geq 1.$$

A medida  $\psi_p$  é definida em  $\tilde{\Omega} = [a, a_1] \cup [b_1, b]$ , onde  $b = t(d)$ ,  $b_1 = t(c)$  e  $ab = a_1b_1 = \beta^2$ .

As quadraturas com número par e com número ímpar de pontos devem ser estudadas separadamente. Para  $2n$  pontos, observa-se que

$$\begin{aligned} P_4^{\phi_p}(z) &= [z^2 - (\lambda_0 + \lambda_1)]P_2^{\phi_p}(z) - \lambda_0\lambda_1 P_0^{\phi_p}(z), \\ P_{2n+4}^{\phi_p}(z) &= [z^2 - (\lambda_0 + \lambda_1)]P_{2n+2}^{\phi_p}(z) - \lambda_0\lambda_1 P_{2n}^{\phi_p}(z), \quad n \geq 1, \\ Q_{2n+2}^{\phi_p}(z) &= [z^2 - (\lambda_0 + \lambda_1)]Q_{2n}^{\phi_p}(z) - \lambda_0\lambda_1 Q_{2n-2}^{\phi_p}(z), \quad n \geq 1, \end{aligned}$$

com  $P_0^{\phi_p}(z) = 1$ ,  $P_2^{\phi_p}(z) = z^2 - p\lambda_0$ ,  $Q_0^{\phi_p}(z) = 0$  e  $Q_2^{\phi_p}(z) = z$ . Além disso,

$$W_{2n,r} = \frac{Q_{2n}^{\phi_p}(x_{2n,r})}{P_{2n}^{\phi_p}(x_{2n,r})}, \quad r = 1, 2, \dots, 2n.$$

Dessas relações pode-se mostrar o seguinte resultado.

**Teorema 4.3.** *O nós  $x_{2n,r}$  e os pesos  $W_{2n,r}$ ,  $r = 1, 2, \dots, 2n$ , da fórmula de quadratura gaussiana com  $2n$  pontos*

$$\int_{\Omega} f(x) d\phi_p(x) = \sum_{r=1}^{2n} W_{2n,r} f(x_{2n,r}), \quad n \geq 1,$$

satisfazem

$$W_{2n,r} = \frac{p [d^2 - (x_{2n,r})^2] [(x_{2n,r})^2 - c^2]}{2 \{2n(x_{2n,r})^2 R(x_{2n,r}) + pS(x_{2n,r})\}},$$

desde que  $G(x_{2n,r}) \neq 0$ , onde  $G(z) = \sqrt{[z^2 - (\lambda_0 + \lambda_1)]^2 - 4\lambda_0\lambda_1}$ ,

$$R(z) = pA(p) - (p-1)z^2, \quad S(z) = (\lambda_0 - \lambda_1)A(p) - A_1(p)z^2,$$

com

$$A(p) = (p-1)\lambda_0 + \lambda_1 \quad \text{e} \quad A_1(p) = (p-1)\lambda_0 - \lambda_1.$$

Utilizando o Teorema 4.3 e a transformação (2.2.35), é possível mostrar que:

**Teorema 4.4.** *Os nós  $t_{2n,r}$  e os pesos  $V_{2n,r}$ ,  $r = 1, 2, \dots, 2n$ , da fórmula de quadratura L-gaussiana com  $2n$  pontos*

$$\int_{\tilde{\Omega}} F(t) d\psi_p(t) = \sum_{r=1}^{2n} V_{2n,r} F(t_{2n,r}), \quad n \geq 1,$$

satisfazem

$$V_{2n,r} = \frac{t_{2n,r}}{(t_{2n,r} + \beta)} \frac{p(b - t_{2n,r})(t_{2n,r} - a)(t_{2n,r} - a_1)(t_{2n,r} - b_1)}{2n\tilde{R}(t_{2n,r})(t_{2n,r} - \beta)^2 + p\tilde{S}(t_{2n,r})t_{2n,r}},$$

desde que  $G_1(t_{2n,r}) \neq 0$ , onde  $G_1(z) = (z - b)(z - a)(z - a_1)(z - b_1)$ ,

$$\tilde{R}(z) = p\tilde{A}(p)z - (p-1)(z - \beta)^2, \quad \tilde{S}(z) = (\alpha_0 - \alpha_1)\tilde{A}(p)z - \tilde{A}_1(p)(z - \beta)^2,$$

com

$$\tilde{A}(p) = (p-1)\alpha_0 + \alpha_1 \quad \text{e} \quad \tilde{A}_1(p) = (p-1)\alpha_0 - \alpha_1.$$

Resultados análogos foram apresentados para fórmulas de quadratura com  $2n+1$  pontos, utilizando-se o fato de que

$$\begin{aligned} P_{2n+3}^{\phi_p}(z) &= [z^2 - (\lambda_0 + \lambda_1)]P_{2n+1}^{\phi_p}(z) - \lambda_0\lambda_1 P_{2n-1}^{\phi_p}(z), \\ Q_{2n+3}^{\phi_p}(z) &= [z^2 - (\lambda_0 + \lambda_1)]Q_{2n+1}^{\phi_p}(z) - \lambda_0\lambda_1 Q_{2n-1}^{\phi_p}(z), \end{aligned} \quad n \geq 1,$$

com  $P_1^{\phi_p}(z) = z$ ,  $P_3^{\phi_p}(z) = z\{z^2 - (p\lambda_0 + \lambda_1)\}$ ,  $Q_1^{\phi_p}(z) = 1$  e  $Q_3^{\phi_p}(z) = z^2 - \lambda_1$  e

$$W_{2n+1,r} = \frac{Q_{2n+1}^{\phi_p}(x_{2n+1,r})}{P_{2n+1}^{\phi_p}(x_{2n+1,r})}, \quad r = 1, 2, \dots, 2n+1.$$

Também é possível encontrar fórmulas de quadratura gaussianas associadas a polinômios que são combinações lineares de polinômios ortogonais e quadraturas L-gaussianas associadas a polinômios que são combinações lineares de polinômios L-ortogonais (ver [3]).

Consideremos, novamente, os polinômios ortogonais  $P_n$  associados a uma medida simétrica  $\phi$  em  $[-d, d]$ , os polinômios L-ortogonais  $B_n$  associados a uma medida forte  $\psi$  e, também, a transformação (2.2.35).

Seja  $r$  um número inteiro tal que  $0 \leq r \leq \bar{n} = \lfloor n/2 \rfloor$ , onde  $\lfloor n/2 \rfloor$  é o menor inteiro maior do que  $n/2$ . Consideremos os polinômios definidos por

$$\tilde{P}_n(\lambda_0, \lambda_1, \dots, \lambda_r; x) = \sum_{k=0}^r \lambda_k P_{n-2k}(x), \quad 0 \leq r \leq \bar{n}, \quad (4.1.26)$$

onde  $\lambda_k \in \mathbb{R}$ ,  $\lambda_0 \neq 0$ . Os polinômios  $\tilde{P}_n$  satisfazem (Exercício 4.4)

$$\int_{-d}^d x^s \tilde{P}_n(x) d\phi(x) = 0, \quad s = 0, 1, \dots, n-1-2r.$$

Um polinômio  $P_n$  de grau  $n$  satisfaz  $P_n(x) = (-1)^n P_n(-x)$  se existe um único conjunto de números reais  $\lambda_0, \dots, \lambda_{\bar{n}}$ , tal que (Exercício 4.5)

$$P_n(x) = \tilde{P}_n(\lambda_0, \lambda_1, \dots, \lambda_{\bar{n}}; x). \quad (4.1.27)$$

Se escolhermos os parâmetros  $\lambda_0, \lambda_1, \dots, \lambda_r$  de forma que os zeros dos polinômios  $\tilde{P}_n$ , denotados por  $\tilde{x}_{n,j}$ ,  $j = 1, 2, \dots, n$ , sejam todos reais, distintos e pertencentes ao intervalo  $[-d, d]$ , pode-se construir fórmulas de quadratura gaussianas dadas por

$$\int_{-d}^d f(x) d\phi(x) = \sum_{j=1}^n \tilde{W}_{n,j} f(\tilde{x}_{n,j}) + E_n(f), \quad (4.1.28)$$

onde  $E_n(f) = 0$  para  $f \in \mathbb{P}_{2n-2r-1}$  (Exercício 4.6).

Definimos, também, os polinômios

$$\tilde{B}_n(\tilde{\lambda}_0, \dots, \tilde{\lambda}_r; t) = \sum_{k=0}^r \tilde{\lambda}_k t^k B_{n-2k}(t), \quad (4.1.29)$$

e a fórmula de quadratura L-gaussiana

$$\int_{\beta^2/b}^b F(t) d\psi(t) = \sum_{j=1}^n \tilde{V}_{n,j} F(\tilde{t}_{n,j}) + \tilde{E}_n(F), \quad (4.1.30)$$

onde  $\tilde{t}_{n,j}, j = 1, 2, \dots, n$ , são os zeros do polinômio  $\tilde{B}_n$  e satisfazem  $\tilde{E}_n(F) = 0$  para  $t^n F(t) \in \mathbb{P}_{2n-2r-1}$ .

Os nós e pesos das fórmulas de quadratura (4.1.28) e (4.1.30) satisfazem

$$\begin{aligned} \tilde{x}_{n,n+1-k} &= -\tilde{x}_{n,k}, & \tilde{W}_{n,n+1-k} &= \tilde{W}_{n,k}, & k &= 1, 2, \dots, n. \\ \tilde{t}_{n,n+1-k} &= \frac{\beta^2}{\tilde{t}_{n,k}}, & \frac{\tilde{V}_{n,n+1-k}}{\sqrt{\tilde{t}_{n,n+1-k}}} &= \frac{\tilde{V}_{n,k}}{\sqrt{\tilde{t}_{n,k}}}, \end{aligned}$$

Analogamente a (4.1.21), mostra-se que

$$\tilde{t}_{n,k} = t(\tilde{x}_{n,k}) \quad \text{e} \quad \tilde{V}_{n,k} = A \frac{\tilde{t}_{n,k}}{\tilde{t}_{n,k} + \beta} \tilde{W}_{n,k}, \quad k = 1, 2, \dots, n.$$

Sobre as relações entre os polinômios  $\tilde{P}_n$  e  $\tilde{B}_n$ , de (4.1.20) e (4.1.29), obtém-se facilmente que (Exercício 4.7)

$$\tilde{B}_n(\tilde{\lambda}_0, \dots, \tilde{\lambda}_r; t) = \sum_{k=0}^r \tilde{\lambda}_k t^k \left( (2\sqrt{\alpha t})^{n-2k} P_{n-2k}(x(t)) \right).$$

Assim, de (4.1.26),

$$\tilde{B}_n(\tilde{\lambda}_0, \dots, \tilde{\lambda}_r; t) = (2\sqrt{\alpha t})^n \tilde{P}_n(\lambda_0, \dots, \lambda_r; x(t)) \quad (4.1.31)$$

se, e somente se,

$$\tilde{\lambda}_k = (4\alpha)^k \lambda_k, \quad k = 0, 1, \dots, r.$$

Reciprocamente, para os valores  $\lambda_k = (4\alpha)^{-k} \tilde{\lambda}_k, \quad k = 0, 1, \dots, r$ ,

$$\tilde{P}_n(\lambda_0, \dots, \lambda_r; x) = \left( 2\sqrt{\alpha t(x)} \right)^{-n} \tilde{B}_n(\tilde{\lambda}_0, \dots, \tilde{\lambda}_r; t(x)).$$

Sob essas condições, pode-se enunciar os resultados a seguir.

**Teorema 4.5.** *Seja  $B_n$  tal que  $B_n(t) = t^n B_n(\beta^2/t)/(-\beta)^n$ . Então, existe um único conjunto de números reais  $\tilde{\lambda}_0, \dots, \tilde{\lambda}_{\bar{n}}$  tal que  $B_n(t) = \tilde{B}_n(\tilde{\lambda}_0, \dots, \tilde{\lambda}_{\bar{n}}; t)$ .*

**Teorema 4.6.** *Seja  $0 \leq r \leq \bar{n}$ . Então,  $B_n(t) = t^n B_n(\beta^2/t)/(-\beta)^n$  e*

$$\int_{\beta^2/b}^b t^{-n+s} B_n(t) d\psi(t) = 0, \quad 0 \leq s \leq n-1-2r, \quad (4.1.32)$$

se, e somente se,

$$B_n(t) = \tilde{B}_n(\tilde{\lambda}_0, \dots, \tilde{\lambda}_r; t), \quad (4.1.33)$$

para um único conjunto de números reais  $\tilde{\lambda}_0, \dots, \tilde{\lambda}_r$ .

### 4.1.3 Fórmulas de quadratura no círculo unitário

Faremos, agora, um estudo sobre fórmulas de quadratura no círculo unitário, isto é, fórmulas de quadratura cujos nós pertencem a  $\mathcal{C} = \{z \in \mathbb{C} : |z| = 1\}$ , que foram introduzidas por Jones e outros em [27] e são também conhecidas por fórmulas de quadratura de Szegő.

Consideremos, então, fórmulas de quadratura do tipo

$$\int_0^{2\pi} f(e^{i\theta}) d\psi(e^{i\theta}) = \sum_{m=1}^n \lambda_{n,m} f(\xi_{n,m}), \quad (4.1.34)$$

onde os nós  $\xi_{n,m}$ , com  $|\xi_{n,m}| = 1$ , e os pesos  $\lambda_{n,m}$  são tais que a fórmula (4.1.34) é válida para  $f \in \Lambda_{-(n-1), n-1}$ . Fórmulas de quadratura desse tipo são chamadas de fórmulas de quadratura no círculo unitário (ou de Szegő) com  $n$ -pontos.

Considere  $\{S_n\}_{n=0}^\infty$  uma sequência de polinômios mônicos de Szegő com respeito à medida  $\psi$ , definida no círculo unitário e, também,  $\{w_n\}_{n=0}^\infty$  uma sequência de números complexos, não necessariamente distintos, tais que  $|w_n| = 1$ ,  $n = 0, 1, 2, \dots$ .

Seja  $\{S_n(w_n, z)\}_{n=0}^\infty$  uma sequência de polinômios para-ortogonais dada por

$$S_n(w_n, z) = S_n(z) + w_n S_n^*(z), \quad n = 0, 1, 2, \dots$$

Denotemos por  $\xi_{n,m} = \xi_{n,m}(w_n)$ ,  $m = 1, 2, \dots, n$ , os zeros de  $S_n(w_n, z)$  que, como já sabemos pelo Teorema 1.17, são simples e pertencem a  $\mathcal{C}$ .

Podemos construir os polinômios fundamentais de Lagrange  $L_{n,m}(w_n, z)$  como

$$L_{n,m}(w_n, z) = \frac{S_n(w_n, z)}{(z - \xi_{n,m}) S_n'(w_n, \xi_{n,m})} \quad 1 \leq m \leq n. \quad (4.1.35)$$

De fato, consideremos os coeficiente de Verblunsky  $\alpha_{n-1} = -\overline{S_n(0)}$ , que satisfazem  $|\alpha_{n-1}| < 1$ . Como os polinômios  $S_n$  são mônicos e  $S_n(0) = -\overline{\alpha_{n-1}}$ , então é fácil verificar que  $(1 - \alpha_{n-1} w_n)$  é o coeficiente do termo de maior grau de  $S_n(w_n, z)$ . Assim,

$$S_n(w_n, z) = (1 - \alpha_{n-1} w_n) \prod_{m=1}^n (z - \xi_{n,m}). \quad (4.1.36)$$

Calculando  $S_n'(w_n, z)$ , obtemos

$$\begin{aligned} \frac{S_n'(w_n, z)}{(1 - \alpha_{n-1} w_n)} &= \left( \prod_{m=1}^n (z - \xi_{n,m}) \right)' = \left[ (z - \xi_{n,m}) \left( \prod_{\substack{k=1 \\ k \neq m}}^n (z - \xi_{n,k}) \right) \right]' \\ &= \prod_{\substack{k=1 \\ k \neq m}}^n (z - \xi_{n,k}) + (z - \xi_{n,m}) \left( \prod_{\substack{k=1 \\ k \neq m}}^n (z - \xi_{n,k}) \right)'. \end{aligned}$$

Avaliando essa última expressão em  $z = \xi_{n,m}$ , temos

$$S_n'(w_n, \xi_{n,m}) = (1 - \alpha_{n-1} w_n) \prod_{\substack{k=1 \\ k \neq m}}^n (\xi_{n,m} - \xi_{n,k}), \quad \text{para } 1 \leq m \leq n. \quad (4.1.37)$$

Substituindo (4.1.36) e (4.1.37) na expressão para  $L_{n,m}(w_n, z)$ , obtemos

$$L_{n,m}(w_n, z) = \frac{S_n(w_n, z)}{(z - \xi_{n,m})S'_n(w_n, \xi_{n,m})} = \frac{\prod_{\substack{k=1 \\ k \neq m}}^n (z - \xi_{n,k})}{\prod_{\substack{k=1 \\ k \neq m}}^n (\xi_{n,m} - \xi_{n,k})}, \quad 1 \leq m \leq n.$$

Daí, para  $1 \leq m \leq n$ , segue que

$$L_{n,m}(w_n, \xi_{n,k}) = \delta_{k,m}, \quad 1 \leq k \leq n, \quad (4.1.38)$$

onde  $\delta_{k,m}$  é o delta de Kronecker. Observe, ainda, que  $L_{n,m}(w_n, z) \in \Lambda_{0,n-1} = \mathbb{P}_{n-1}$  e

$$\bar{L}_{n,m}\left(w_n, \frac{1}{z}\right) = \prod_{k=1}^n \left(\frac{1}{z} - \bar{\xi}_{n,m}\right) \Bigg/ \overline{\prod_{\substack{k=1 \\ k \neq m}}^n (\xi_{n,m} - \xi_{n,k})} \in \Lambda_{-(n-1),0}.$$

Definimos, então, os pesos  $\lambda_{n,m}$  por

$$\lambda_{n,m} = \lambda_{n,m}(w_n) = \int_0^{2\pi} L_{n,m}(w_n, e^{i\theta}) d\psi(e^{i\theta}), \quad 1 \leq m \leq n, \quad n = 1, 2, \dots \quad (4.1.39)$$

O próximo teorema estabelece a fórmula de quadratura de Szegő, fórmula de quadratura no círculo unitário, com  $n$  pontos válida para  $f \in \Lambda_{-(n-1),n-1}$ .

**Teorema 4.7.** *Seja  $\psi$  uma medida no círculo unitário. Para  $n \geq 1$  e  $1 \leq m \leq n$ , denotemos por  $\xi_{n,m}$  os zeros de  $S_n(w_n, z)$  e sejam os pesos  $\lambda_{n,m}$  definidos por (4.1.39). Então, para  $n \geq 1$  e  $1 \leq m \leq n$ ,*

$$\int_{\mathcal{C}} f(z) d\psi(z) = \int_0^{2\pi} f(e^{i\theta}) d\psi(e^{i\theta}) = \sum_{m=1}^n \lambda_{n,m} f(\xi_{n,m}) \quad (4.1.40)$$

é válida para toda  $f \in \Lambda_{-(n-1),n-1}$  e, além disso,

$$\lambda_{n,m} > 0, \quad \sum_{m=1}^n \lambda_{n,m} = \int_0^{2\pi} d\psi(e^{i\theta}) = \mu_0 > 0. \quad (4.1.41)$$

Demonstração: Sejam  $n \geq 1$  e  $f \in \Lambda_{-(n-1),n-1}$  dados. Definimos

$$D(z) = f(z) - \sum_{m=1}^n f(\xi_{n,m}) L_{n,m}(w_n, z),$$

onde  $L_{n,m}(w_n, z)$  é dado por (4.1.35). Então,  $D \in \Lambda_{-(n-1),n-1}$  e, por (4.1.38),

$$D(\xi_{n,k}) = f(\xi_{n,k}) - \sum_{m=1}^n f(\xi_{n,m}) \delta_{m,k} = 0, \quad 1 \leq k \leq n.$$

Claramente,  $E(z) = z^{n-1} D(z) \in \Pi_{2n-2}$  e  $E(\xi_{n,m}) = 0$  para  $1 \leq m \leq n$ . Assim, existe um polinômio  $S \in \Pi_{n-2}$  tal que  $E(z) = S_n(w_n, z) S(z)$  ou, ainda,

$$D(z) = \frac{E(z)}{z^{n-1}} = \frac{S_n(w_n, z) S(z)}{z^{n-1}}.$$

Se tomarmos  $S(z) = \sum_{m=0}^{n-2} s_m z^m$ , então, pela L-ortogonalidade de  $\{S_n(w_n, z)\}_{n=0}^{\infty}$ ,

$$\begin{aligned} \int_{\mathcal{C}} D(z) d\psi(z) &= \int_{\mathcal{C}} \left( S_n(w_n, z) \sum_{m=0}^{n-2} \frac{s_m}{z^{n-m-1}} \right) d\psi(z) \\ &= \sum_{m=0}^{n-2} \langle S_n(w_n, z), \bar{s}_m z^{n-1-m} \rangle = 0. \end{aligned}$$

Da equação (4.1.39), segue que

$$\int_{\mathcal{C}} f(z) d\psi(z) = \int_{\mathcal{C}} \left[ D(z) + \sum_{m=1}^n f(\xi_{n,m}) L_{n,m}(z, w_n) \right] d\psi(z) = \sum_{m=1}^n \lambda_{n,m} f(\xi_{n,m}),$$

o que mostra que (4.1.40) é válida para toda  $f \in \Lambda_{-(n-1), n-1}$ .

Agora, para mostrar que  $\lambda_{n,m} > 0$ , tomemos

$$K_{n,m}(w_n, z) = L_{n,m}(w_n, z) \bar{L}_{n,m}(w_n, 1/z) - L_{n,m}(w_n, z). \quad (4.1.42)$$

Observe que  $L_{n,m}(w_n, z) \bar{L}_{n,m}(w_n, 1/z) \in \Lambda_{-(n-1), n-1}$ . Assim,  $K_{n,m}(w_n, z) \in \Lambda_{-(n-1), n-1}$  e, então,

$$K_{n,m}(w_n, \xi_{n,k}) = 0, \quad 1 \leq k \leq m.$$

Logo, de (4.1.40) para  $1 \leq m \leq n$ , segue que

$$\int_{\mathcal{C}} K_{n,m}(w_n, z) d\psi(z) = \sum_{k=1}^n \lambda_{n,k} K_{n,m}(w_n, \xi_{n,k}) = 0. \quad (4.1.43)$$

Portanto, de (4.1.39), (4.1.42) e (4.1.43), para  $1 \leq m \leq n$ ,

$$\begin{aligned} \lambda_{n,m} &= \int_{\mathcal{C}} L_{n,m}(w_n, z) d\psi(z) = \int_{\mathcal{C}} L_{n,m}(w_n, z) \bar{L}_{n,m}(w_n, 1/z) d\psi(z) \\ &= \langle L_{n,m}(w_n, z), L_{n,m}(w_n, z) \rangle > 0, \quad q \leq m \leq n, \end{aligned}$$

ou seja,  $\lambda_{n,m} > 0$ .

Finalmente, tomando  $L(z) = 1$  em (4.1.40), obtém-se

$$\mu_0 = \int_{\mathcal{C}} d\psi(z) = \int_0^{2\pi} d\psi(e^{i\theta}) = \sum_{m=1}^n \lambda_{n,m} > 0.$$

■

### Relações entre fórmulas de quadratura gaussianas e fórmulas de quadratura no círculo unitário

Veremos, agora, algumas relações existentes entre fórmulas de quadratura gaussianas e certas fórmulas de quadratura no círculo unitário. Esses resultados são encontrados em [11].



Sejam  $\psi$  uma medida positiva no círculo unitário e  $\phi_1$  e  $\phi_2$  medidas simétricas definidas em  $(-1, 1)$ , tais que

$$-d\psi(z) = d\phi_1(x(z)) = \frac{1}{1-x^2(z)} d\phi_2(x(z)),$$

com  $x(z)$  como dado em (3.1.13), ou seja,  $x = x(z) = \frac{1}{2}(z^{1/2} + z^{-1/2})$ .

Lembramos que as seqüências de polinômios  $\{P_n^{\phi_i}\}_{n=0}^\infty$ ,  $i = 1, 2$ , ortogonais com relação às medidas  $\phi_i$ , respectivamente, satisfazem

$$P_n^{\phi_i}(x) = (4z)^{-n/2} R_n^{(i)}(z), \quad n \geq 0, \quad i = 1, 2, \quad (4.1.44)$$

onde  $R_n^{(i)}$ ,  $n \geq 0$ , são dados por (3.1.1) e (3.1.2), ou seja,

$$R_n^{(1)}(z) = \frac{S_n(z) + S_n^*(z)}{1 + S_n(0)} \quad \text{e} \quad R_n^{(2)}(z) = \frac{S_{n+1}(z) - S_{n+1}^*(z)}{(z-1)(1 - S_{n+1}(0))}$$

e  $S_n$  são os polinômios de Szegő associados à medida  $\psi$ .

Consideremos as fórmulas de quadratura gaussianas, que são exatas para  $f \in \mathbb{P}_{2n-1}$ ,

$$\int_{-1}^1 f(x) d\phi_i(x) = \sum_{m=1}^n W_{n,m}^{(i)} f(x_{n,m}^{(i)}), \quad i = 1, 2, \quad (4.1.45)$$

cujos nós  $x_{n,m}^{(i)}$  são os zeros do polinômio ortogonal  $P_n^{\phi_i}$  com relação à medida  $\phi_i$  e estão ordenados como segue

$$1 > x_{n,1}^{(i)} > x_{n,2}^{(i)} > \dots > x_{n,n}^{(i)} > -1.$$

Consideremos também as fórmulas de quadratura no círculo unitário que, pelo Teorema 4.7, são exatas para  $g \in \Lambda_{-(n-1),n-1}$ ,

$$\int_0^{2\pi} g(e^{i\theta}) d\psi(e^{i\theta}) = \sum_{m=1}^n \lambda_{n,m}^{(i)} g(z_{n,m}^{(i)}), \quad i = 1, 2, \quad (4.1.46)$$

onde os pesos  $\lambda_{n,m}^{(i)}$  são dados por (4.1.39) e os nós  $z_{n,m}^{(i)} = e^{-i\theta_{n,m}^{(i)}}$  são organizados da seguinte forma:

$$0 < \theta_{n,1}^{(i)} < \theta_{n,2}^{(i)} < \dots < \theta_{n,n}^{(i)} \leq 2\pi.$$

Aqui,  $z_{n,m}^{(1)}$ ,  $m = 1, 2, \dots, n$ , são os zeros dos polinômios para-ortogonais  $R_n^{(1)}$ ,  $z_{n+1,m}^{(2)}$ ,  $m = 1, 2, \dots, n$ , os zeros dos polinômios  $R_n^{(2)}(\psi, z)$  e  $z_{n+1,n+1}^{(2)} = 1$ .

Então, da relação (4.1.44), mostra-se que os nós e os pesos dessas fórmulas de quadratura estão relacionados por

$$x_{n,m}^{(1)} = \cos\left(\frac{1}{2}\theta_{n,m}^{(1)}\right), \quad W_{n,m}^{(1)} = \lambda_{n,m}^{(1)}, \quad (4.1.47)$$

$$x_{n,m}^{(2)} = \cos\left(\frac{1}{2}\theta_{n+1,m}^{(2)}\right), \quad W_{n,m}^{(2)} = \operatorname{sen}^2\left(\frac{1}{2}\theta_{n+1,m}^{(2)}\right) \lambda_{n+1,m}^{(2)},$$

para  $m = 1, 2, \dots, n$ . Além disso,

$$\lambda_{n+1,n+1}^{(2)} = \mu_0^\psi - \sum_{m=1}^n \lambda_{n+1,m}^{(2)}.$$

No. de pontos $n$	Valores aproximados
3	<u>2.62234855029054</u>
6	<u>3.13722933701843</u>
9	<u>3.14158399620263</u>
12	<u>3.14159264703117</u>
15	<u>3.14159265358739</u>
18	<u>3.14159265358979</u>
$g(z) = e^z$	Valor exato: $\pi$ 3.14159265358979

Tabela 4.4: Aproximações para a integral (4.1.52) com  $g(z) = e^z$  e vários valores de  $n$ .

**Exemplo 4.4.** Suponhamos que as medidas  $\phi_1$  e  $\psi$  sejam absolutamente contínuas, ou seja, que  $\phi_1'(x) = w_1(x)$  e  $\psi'(z) = v(z)$ . Assim,

$$d\phi_1(x) = w_1(x)dx \quad \text{e} \quad d\psi(z) = v(z)dz.$$

Suponhamos, além disso, que elas satisfaçam à propriedade  $d\phi_1(x) = -d\psi(z)$ , onde  $x = x(z) = (z^{1/2} + z^{-1/2})/2$ . É fácil verificar que

$$w_1(x)dx = -v(z)dz.$$

Usando o fato de  $z$  pertencer ao círculo unitário  $\mathcal{C}$ , ou seja,  $z = e^{i\theta}$ , temos

$$x = \frac{1}{2} \left( z^{1/2} + z^{-1/2} \right) = \frac{1}{2} \left( e^{i\theta/2} + ze^{-i\theta/2} \right) = \cos(\theta/2).$$

Logo,

$$dx = \frac{1}{4} \left( z^{-1/2} - z^{-3/2} \right) dz = \frac{1}{4z} \left( z^{1/2} - z^{-1/2} \right) dz = \frac{1}{4z} 2i \operatorname{sen}(\theta/2) dz$$

ou, ainda,

$$dx = -\frac{1}{2iz} \operatorname{sen}(\theta/2) dz.$$

Portanto, podemos escrever

$$w_1(x) = -v(z) \frac{dz}{dx} = \frac{2iz}{\operatorname{sen}(\theta/2)} v(z)$$

e

$$w_1(x) \operatorname{sen}(\theta/2) = 2izv(z)$$

ou, ainda,

$$w_1(x) \sqrt{1-x^2} = 2izv(z). \quad (4.1.48)$$

Assim, as relações entre as fórmulas de quadratura (4.1.45) e (4.1.46) podem ser reescritas, considerando-se  $d\phi_1(x) = w_1(x)dx$  e  $d\psi(z) = v(z)dz$ , da forma a seguir. Consideremos as fórmulas de quadratura

$$\int_{-1}^1 f(x)w_1(x)dx = \sum_{m=1}^n W_{n,m}^{(1)} f(x_{n,m}^{(1)}), \quad (4.1.49)$$

No. de pontos $n$	Valores aproximados
3	2.09439510239320 $i$
5	2.03328147692610 $i$
10	2.00824840790797 $i$
20	2.00205764828542 $i$
50	2.00032902469863 $i$
100	2.00008224907099 $i$
300	2.00000913855182 $i$
$g(z) = z^{1/2}$	Valor exato: $2i$

Tabela 4.5: Aproximações para a integral (4.1.52) com  $g(z) = z^{1/2}$  e vários valores de  $n$ .

quando  $f \in \mathbb{P}_{2n-1}$ , e

$$\int_{\mathcal{C}} g(z)v(z)dz = \sum_{m=1}^n \lambda_{n,m}^{(1)} g(z_{n,m}^{(1)}), \quad (4.1.50)$$

quando  $g \in \Lambda_{-(n-1),n-1}$ .

Se a propriedade  $w_1(x)\sqrt{1-x^2} = 2izv(z)$  é satisfeita, então, para  $m = 1, 2, \dots, n$ ,

$$W_{n,m}^{(1)} = \lambda_{n,m}^{(1)} \quad \text{e} \quad x_{n,m}^{(1)} = \cos(\theta_{n,m}^{(1)}/2), \quad \text{com} \quad z_{n,m}^{(1)} = e^{i\theta_{n,m}^{(1)}}. \quad (4.1.51)$$

Como exemplo, vamos considerar

$$w_1(x) = \frac{1}{\sqrt{1-x^2}}.$$

Então, do Exemplo 4.1, sabemos que

$$x_{n,m}^{(1)} = \cos\left(\frac{(2m-1)\pi}{2n}\right) \quad \text{e} \quad W_{n,m}^{(1)} = \frac{\pi}{n}, \quad m = 1, 2, \dots, n.$$

Logo, de (4.1.48),

$$v(z) = \frac{w_1(x)\sqrt{1-x^2}}{2iz} = \frac{1}{2iz}$$

e, de (4.1.51),

$$\lambda_{n,m}^{(1)} = \frac{\pi}{n} \quad \text{e} \quad \theta_{n,m}^{(1)} = \frac{(2m-1)\pi}{n}, \quad m = 1, 2, \dots, n.$$

Assim, obtemos a conhecida fórmula de quadratura no círculo unitário

$$\int_0^{2\pi} g(e^{i\theta})\frac{1}{2}d\theta = \int_{\mathcal{C}} g(z)\frac{1}{2iz}dz = \sum_{m=1}^n \frac{\pi}{n} g(z_{n,m}^{(1)}), \quad (4.1.52)$$

com  $z_{n,m}^{(1)} = e^{i\theta_{n,m}^{(1)}}$  e  $\theta_{n,m}^{(1)} = \frac{(2m-1)\pi}{n}$ , que é exata para  $g \in \Lambda_{-(n-1),n-1}$ .

Nas Tabelas (4.4) e (4.5) apresentamos, respectivamente, os resultados da aplicação dessa fórmula de quadratura quando  $g(z) = e^z$  e  $g(z) = z^{1/2}$ , definidas para  $z = e^{i\theta}$  e  $\theta \in (0, 2\pi)$ .

## 4.2 Problema de análise de frequência

Uma aplicação bastante interessante dos polinômios de Szegő está relacionada ao problema de análise de frequência.

Consideremos  $x(m)$  uma função dada por

$$x(m) = \gamma_0 e^{im\pi} + \sum_{j=1}^I (\gamma_j e^{im\omega_j} + \gamma_{n_0+1-j} e^{im\omega_{n_0+1-j}}), \quad (4.2.53)$$

com  $I \in \mathbb{N}$ ,  $n_0 = 2I + 1$  se  $\gamma_0 > 0$ ,  $n_0 = 2I$  se  $\gamma_0 = 0$ , e  $\gamma_j \in \mathbb{C}$  para  $j = 1, 2, \dots, n_0$ . Vamos supor que

$$0 < \omega_1 < \omega_2 < \dots < \omega_{n_0-1} < \omega_{n_0} < 2\pi,$$

$$\bar{\gamma}_{n_0+1-j} = \gamma_j \neq 0 \quad \text{e} \quad 2\pi - \omega_{n_0+1-j} = \omega_j \neq 0,$$

para  $j = 1, 2, \dots, I$ . A função  $x(m)$  é chamada de sinal trigonométrico (ou sinal discreto).

Aqui,  $m$  representa o tempo discreto, as constantes  $\gamma_j$  são as amplitudes, as constantes  $\omega_j$  são as frequências do sinal  $x(m)$  e  $e^{i\omega_j}$  são os de pontos de frequência. Quando necessário, utilizaremos a notação

$$\xi_j = e^{i\omega_j}$$

para os pontos de frequência.

O problema de análise de frequência consiste em determinar o número  $n_0$  de pontos de frequência e os valores  $\gamma_j$  e  $\omega_j$  (ou  $e^{i\omega_j}$ ), para  $j = 0, 1, \dots, I$ , a partir de  $N$  valores conhecidos de  $x(m)$ ,  $m = 0, 1, 2, \dots, N - 1$ , para  $N > 0$  (veja [34] e [50]).

### 4.2.1 Polinômios de Szegő e análise de frequência

Uma maneira de determinar as frequências em (4.2.53) é utilizar os polinômios de Szegő. Este método tem origem nos trabalhos de Wiener [50] e Levinson [34] e foi desenvolvido por Jones e outros em [25, 31] e Pan e Saff em [36]. O método é baseado no comportamento dos zeros dos polinômios de Szegő  $\{S_k^{\psi_N}\}_{k=0}^{n_0}$ , ortogonais com relação à medida positiva  $\psi_N$  dada, a partir de (4.2.53), por

$$\frac{d\psi_N(e^{i\theta})}{d\theta} = \frac{1}{2\pi N} \left| \sum_{m=0}^{N-1} x(m) e^{-im\theta} \right|^2, \quad 0 \leq \theta < 2\pi. \quad (4.2.54)$$

Utilizando um sinal trigonométrico conhecido (4.2.53), considera-se também a medida discreta  $\psi$  definida por

$$\psi(e^{i\theta}) = \begin{cases} 0, & \theta < \omega_1, \\ \sum_{k=1}^s \lambda_k^\psi, & \omega_{k-1} \leq \theta < \omega_k, \quad s = 2, 3, \dots, n_0 - 1, \\ \sum_{k=1}^{n_0} \lambda_k^\psi, & \omega_{n_0} \leq \theta, \end{cases} \quad (4.2.55)$$

onde  $\lambda_k^\psi = |\gamma_k|^2$ ,  $k = 1, 2, \dots, n_0$ ,  $\omega_k$ ,  $\gamma_k$  e  $n_0$  são dados em (4.2.53).

Os momentos  $\mu_n^\psi$  com respeito a  $\psi$  são dados por

$$\mu_n^\psi = \int_0^{2\pi} e^{-in\theta} d\psi(e^{i\theta}) = \sum_{k=1}^{n_0} \lambda_k^\psi e^{-in\omega_k}, \quad n \in \mathbb{Z}.$$

A medida  $\psi$  tem  $n_0$  pontos de aumento e  $\{S_k^\psi\}_{k=0}^{n_0}$  é a sequência de polinômios mônicos de Szegő reais associados a  $\psi$ . Observe que, neste caso, o coeficiente de reflexão satisfaz  $|S_{n_0}^\psi(0)| = |a_{n_0}| = 1$  e o polinômio de Szegő de grau  $n_0$  associados a  $\psi$  é dado por

$$S_{n_0}^\psi(z) = \prod_{m=1}^{n_0} (z - e^{i\omega_m}) = \prod_{m=1}^{n_0} (z - \xi_m).$$

Para mais detalhes, veja, por exemplo, Jones e outros [31].

Dados os valores de  $x(m)$  para  $m = 1, 2, \dots, N-1$ , com  $N \in \mathbb{N}$ , tomamos  $x(m) = 0$  para  $m < 0$  e para  $m \geq N$ . Neste caso, o sinal trigonométrico pode ser chamado de  $N$ -truncado.

Para a medida  $\psi_N$  dada por (4.2.54), vamos adotar a notação

$$\alpha_{n-1}^{(N)} = -\overline{S_n^{\psi_N}(0)},$$

para os coeficientes de Verblunsky dos polinômios de Szegő,  $S_n^{\psi_N}$ , com relação à medida  $\psi_N$ .

Observe que os momentos  $\mu_n^{(N)}$ ,  $n \in \mathbb{Z}$ , com respeito a  $\psi_N$ , são dados por

$$\mu_{-n}^{(N)} = \int_0^{2\pi} e^{in\theta} d\psi_N(e^{i\theta}).$$

Substituindo  $d\psi_N(e^{i\theta})$  por sua expressão dada em (4.2.54), obtemos

$$\begin{aligned} \mu_{-n}^{(N)} &= \frac{1}{2\pi N} \int_0^{2\pi} e^{in\theta} \left| \sum_{m=0}^{N-1} x(m) e^{-im\theta} \right|^2 d\theta \\ &= \frac{1}{2\pi N} \int_0^{2\pi} e^{in\theta} \left( \sum_{m=0}^{N-1} \sum_{j=0}^{N-1} x(m)x(j) e^{-im\theta} e^{ij\theta} \right) d\theta \\ &= \frac{1}{2\pi N} \sum_{m=0}^{N-1} \sum_{j=0}^{N-1} x(m)x(j) \int_0^{2\pi} e^{i(n-m+j)\theta} d\theta, \end{aligned}$$

ou seja,

$$\mu_{-n}^{(N)} = \frac{1}{N} \sum_{m=n}^{N-1} x(m)x(m-n), \quad n = 0, 1, 2, \dots \quad (4.2.56)$$

Observe que  $\mu_{-n}^{(N)} = \mu_n^{(N)}$ . Neste caso, os polinômios  $S_n^{\psi_N}$  são reais e os coeficientes de Verblunsky  $\alpha_{n-1}^{(N)}$  também são reais.

Utilizando os momentos  $\mu_n^{(N)}$  e a relação de recorrência (1.5.52), podemos obter os coeficientes de Verblunsky  $\alpha_{n-1}^{(N)}$ , pois

$$\alpha_{n-1}^{(N)} = \frac{\langle z S_{n-1}^{\psi_N}(z), 1 \rangle}{\langle S_{n-1}^{\psi_N, *}(z), 1 \rangle}.$$

Denotando  $S_n^{\psi_N}(z) = \sum_{j=0}^n b_{n,j} z^j$ , com  $b_{n,j} \in \mathbb{R}$ , obtemos  $S_n^{\psi_N,*}(z) = \sum_{j=0}^n b_{n,j} z^{n-j}$ .

Utilizando essas expressões, obtemos

$$\begin{aligned} \langle z S_{n-1}^{\psi_N}(z), 1 \rangle &= \int_0^{2\pi} z S_{n-1}^{\psi_N}(z) d\psi_N(e^{i\theta}) = \sum_{j=0}^{n-1} b_{n-1,j} \int_0^{2\pi} z^{j+1} d\psi_N(e^{i\theta}) \\ &= \sum_{j=0}^{n-1} b_{n-1,j} \mu_{-(j+1)}^{(N)} \end{aligned}$$

e, ainda,

$$\begin{aligned} \langle S_{n-1}^{\psi_N,*}(z), 1 \rangle &= \int_0^{2\pi} S_{n-1}^{\psi_N,*}(z) d\psi_N(e^{i\theta}) = \sum_{j=0}^{n-1} b_{n-1,j} \int_0^{2\pi} z^{n-1-j} d\psi_N(e^{i\theta}) \\ &= \sum_{j=0}^{n-1} b_{n-1,j} \mu_{-(n-j-1)}^{(N)}. \end{aligned}$$

Portanto, os coeficientes de reflexão são dados por

$$\alpha_{n-1}^{(N)} = \frac{\sum_{j=0}^{n-1} b_{n-1,j} \mu_{-(j+1)}^{(N)}}{\sum_{j=0}^{n-1} b_{n-1,j} \mu_{-(n-j-1)}^{(N)}},$$

com  $\mu_{-n}^{(N)}$  dado por (4.2.56). Este método de se obter os coeficientes de Verblunsky, juntamente com as relações de recorrência (1.5.44) e (1.5.45), é conhecido como algoritmo de Levinson (ver Jones e outros [25, 31]).

Muitos resultados sobre a aplicação dos polinômios de Szegő ao problema de análise de frequência podem ser encontrados em Jones e outros [25, 31, 28, 36]. Citaremos alguns.

**Teorema 4.8.** (Ver [25]) *A medida  $\psi_N$ , definida por (4.2.54), converge “fracamente” para a medida discreta  $\psi$  definida por (4.2.55). Isto significa que*

$$\lim_{N \rightarrow \infty} \int_0^{2\pi} f(e^{i\theta}) d\psi_N(e^{i\theta}) = \int_0^{2\pi} f(e^{i\theta}) d\psi(e^{i\theta}),$$

para toda  $f$  contínua no círculo unitário.

**Teorema 4.9.** (Ver [31] e [36]) *(i) Para cada  $n$  fixo,  $1 \leq n \leq n_0$ ,*

$$\lim_{N \rightarrow \infty} S_n^{\psi_N}(z) = S_n^{\psi}(z), \quad z \in \mathbb{C},$$

onde  $S_n^{\psi}(z)$  é o polinômio mônico de Szegő de grau  $n$  associado à medida discreta  $\psi$ . Em particular,

$$\lim_{N \rightarrow \infty} S_{n_0}^{\psi_N}(z) = S_{n_0}^{\psi}(z) = \prod_{m=1}^{n_0} (z - \xi_m), \quad z \in \mathbb{C},$$

onde  $\xi_m = e^{i\omega_m}$  são os pontos de frequência.

(ii) Para cada  $n < n_0$ , existe  $L_n \in (0, 1)$ , dependendo somente de  $n$ , tal que

$$|S_n^{\psi_N}(0)| = |\alpha_{n-1}^{(N)}| \leq L_n < 1, \quad N = 1, 2, \dots$$

(iii) Para cada  $n > n_0$ , os zeros de  $S_n^{\psi_N}$  de maior módulo tendem aos pontos  $\xi_m$ ,  $m = 1, 2, \dots, n_0$ . Além disso, existe um número  $K_n < 1$ , dependendo somente de  $n$ , tal que os  $n - n_0$  zeros restantes de  $S_n^{\psi_N}$  pertencem ao disco  $|z| < K_n$ .

Assim, como a medida  $\psi_N$  converge para  $\psi$ , então os polinômios de Szegő  $S_n^{\psi_N}(z)$ ,  $n \geq 0$ , associados à medida  $\psi_N$ , convergem para os polinômios de Szegő  $S_n^{\psi}(z)$ . Além disso, os zeros do polinômio  $S_{n_0}^{\psi}(z)$  são os pontos de frequência  $\xi_j$ ,  $j = 1, 2, \dots, n_0$ . Se  $n > n_0$ , então  $n_0$  zeros de  $S_n^{\psi_N}(z)$  tendem para  $\xi_j$  e as restantes  $n - n_0$  zeros satisfazem  $|z| < K_n < 1$ . Este é um resultado importante na utilização dos polinômios de Szegő para solução do problema de análise de frequência. A maior dificuldade é determinar o valor de  $n_0$  e calcular os zeros dos polinômios de Szegő  $S_n^{\psi_N}(z)$ .

Uma vez determinadas as frequências  $\omega_j$ ,  $j = 1, 2, \dots, n_0$ , pode-se calcular as amplitudes  $\gamma_j$  resolvendo-se o sistema de equações lineares (4.2.53) para  $I + 1$  valores de  $x(m)$ .

**Exemplo 4.5.** Considere o sinal

$$x(m) = \sum_{j=1}^3 (\gamma_j e^{im\omega_j} + \gamma_{n_0+1-j} e^{im\omega_{n_0+1-j}}),$$

com  $n_0 = 6$  e

$$\begin{aligned} \omega_1 = 2\pi - \omega_6 = \frac{\pi}{3}, & \quad \gamma_1 = \gamma_6 = 10, \\ \omega_2 = 2\pi - \omega_5 = \frac{\pi}{2}, & \quad \gamma_2 = \gamma_5 = 4, \\ \omega_3 = 2\pi - \omega_4 = \frac{4\pi}{5}, & \quad \gamma_3 = \gamma_4 = 1. \end{aligned}$$

Os zeros de  $S_n^{\psi_N}(z)$ , para  $n = 10$  e  $N = 50, 100, 150$ , são apresentados na Fig. 4.1, onde podemos notar a convergência de seis zeros para os pontos de frequência  $e^{i\frac{\pi}{3}}$ ,  $e^{i\frac{\pi}{2}}$  e  $e^{i\frac{4\pi}{5}}$ , e seus simétricos,  $e^{-i\frac{\pi}{3}}$ ,  $e^{-i\frac{\pi}{2}}$  e  $e^{-i\frac{4\pi}{5}}$ . Os outros quatro zeros restantes, como previsto pelo Teorema 4.9, convergem para pontos pertencem a um disco de raio  $K_n$ , com  $K_n < 1$ .

## 4.2.2 Polinômios para-ortogonais e análise de frequência

Em [16], Daruis e outros utilizaram os polinômios para-ortogonais, definidos em (1.5.56), associados à medida  $\psi_N$ , ou seja,

$$S_n^{\psi_N}(w, z) = S_n^{\psi_N}(z) + w S_n^{\psi_N, *}(z),$$

para resolver o problema de análise de frequência. Vejamos os principais resultados desse trabalho.

Consideremos a fórmula de quadratura no círculo unitário (ver Seção 4.1.3)

$$\int_0^{2\pi} f(e^{i\theta}) d\psi_N(e^{i\theta}) = \sum_{k=1}^n \lambda_{n,k}^{\psi_N}(w) f(z_{n,k}^{\psi_N}(w)),$$

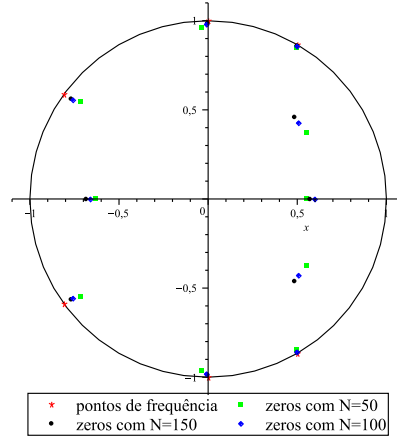


Figura 4.1: Zeros de  $S_n^{\psi N}(z)$  para  $n = 10$  e  $N = 50, 100, 150$ .

válida para  $f \in \Lambda_{-(n-1), n-1}$ . Os valores  $\lambda_{n,k}^{\psi N}(w)$  são os pesos da fórmula de quadratura e os nós  $z_{n,k}^{\psi N}(w)$  são os zeros do polinômio para-ortogonal  $S_n^{\psi N}(w, z)$ .

**Teorema 4.10.** (i) Para  $n \geq 1$  fixo, temos

$$\lim_{N \rightarrow \infty} \sum_{k=1}^n \lambda_{n,k}^{\psi N}(w) = \sum_{k=1}^{n_0} \lambda_k^{\psi},$$

onde  $\lambda_k^{\psi} = |\gamma_k|^2$ , como em (4.2.55), e  $\gamma_k$  e  $n_0$  são dados em (4.2.53).

(ii) Sejam  $n \geq n_0$  fixo,  $M$  uma sequência arbitrária de números naturais e  $w$  um valor arbitrário tal que  $|w| = 1$ . Então, existem uma subsequência  $M_1$  de  $M$  e um polinômio  $W_{n-n_0}^{\psi}(w, z)$  de grau  $n - n_0$  tais que

$$\lim_{\substack{N \rightarrow \infty \\ N \in M_1}} S_n^{\psi N}(w, z) = W_{n-n_0}^{\psi}(w, z) S_{n_0}^{\psi}(z). \quad (4.2.57)$$

Denotemos por  $\xi_1, \xi_2, \dots, \xi_{n_0}$  os zeros de  $S_{n_0}^{\psi}(z)$  e por  $\xi_{n_0+1}(w), \xi_{n_0+2}(w), \dots, \xi_n(w)$  os de  $W_{n-n_0}^{\psi}(w, z)$ . Por (4.2.57), podemos supor que

$$\lim_{N \rightarrow \infty} z_{n,m}^{\psi N}(w) = \xi_m, \quad m = 1, 2, \dots, n_0,$$

e

$$\lim_{N \rightarrow \infty} z_{n,m}^{\psi N}(w) = \xi_m(w), \quad m = n_0 + 1, n_0 + 2, \dots, n,$$

onde qualquer um dos zeros de  $W_{n-n_0}^{\psi}(w, z)$  pode ou não coincidir com os pontos de frequência, ou seja, com os zeros de  $S_{n_0}^{\psi}(z)$ .

Esses resultados garantem que  $n_0$  zeros do polinômio para-ortogonal  $S_n^{\psi N}(w, z)$  convergem para os  $n_0$  pontos de frequência quando aumenta-se os  $N$  valores conhecidos de  $x(m)$ . Ainda é necessário descobrir quais são os zeros de  $S_n^{\psi N}(w, z)$  que convergem para os pontos de frequência  $\xi_m$ . Os próximos resultados, encontrados em [16], apresentam o comportamento dos  $\lambda_{n,m}^{\psi N}(w)$  que solucionam esse problema.



**Teorema 4.11.** (Ver [16]) *Consideremos as mesmas notações dadas anteriormente.*

(i) *Se  $n > n_0$  e a subsequência  $\{z_{n,m}^{\psi_N}(w) : N \in M_1\}$  converge para um ponto diferente de um ponto de frequência, então*

$$\lim_{\substack{N \rightarrow \infty \\ N \in M_1}} \lambda_{n,m}^{\psi_N}(w) = 0.$$

(ii) *Suponhamos que  $\xi_{n_0+m}(w) = \xi_m$  para  $m = 1, 2, \dots, p$  e que  $\xi_1, \dots, \xi_{n_0}, \xi_{n_0+p+1}(w), \dots, \xi_n(w)$  são pontos distintos. Então,*

$$\begin{aligned} \lim_{\substack{N \rightarrow \infty \\ N \in M_1}} (\lambda_{n,m}^{\psi_N}(w) + \lambda_{n,n_0+m}^{\psi_N}(w)) &= \lambda_m^\psi, \quad \text{para } m = 1, 2, \dots, p, \\ \lim_{\substack{N \rightarrow \infty \\ N \in M_1}} \lambda_{n,m}^{\psi_N}(w) &= \lambda_m^\psi, \quad \text{para } m = p+1, \dots, n_0, \\ \lim_{\substack{N \rightarrow \infty \\ N \in M_1}} \lambda_{n,m}^{\psi_N}(w) &= 0, \quad \text{para } m = n_0+p+1, \dots, n. \end{aligned}$$

(iii) *Em particular, se os zeros de  $W_{n-n_0}^\psi(w, z)S_{n_0}^\psi(z)$  são simples, então*

$$\begin{aligned} \lim_{\substack{N \rightarrow \infty \\ N \in M_1}} \lambda_{n,m}^{\psi_N}(w) &= \lambda_m^\psi, \quad \text{para } m = 1, \dots, n_0, \\ \lim_{\substack{N \rightarrow \infty \\ N \in M_1}} \lambda_{n,m}^{\psi_N}(w) &= 0, \quad \text{para } m = n_0+1, \dots, n. \end{aligned}$$

Portanto, uma maneira de determinar se um zero  $z_{n,m}^{\psi_N}(w)$  de  $S_n^{\psi_N}(w, z)$  está convergindo para um ponto de frequência  $\xi_m$  (zero “interessante”) é observar o comportamento do peso  $\lambda_{n,m}^{\psi_N}(w)$  correspondente quando  $N \rightarrow \infty$ . Assim, quando  $\lim_{N \rightarrow \infty} \lambda_{n,m}^{\psi_N}(w) = 0$ , o zero correspondente  $z_{n,m}^{\psi_N}(w)$  converge para o ponto de frequência  $\xi_m = e^{i\omega_m}$ .

Os próximos resultados garantem que é possível determinar arcos no círculo unitário que contêm pelo menos um zero de  $S_n^{\psi_N}(w, z)$ .

**Teorema 4.12.** *Seja  $n \geq n_0$  fixo. Então, para qualquer  $\varepsilon > 0$ , existe um  $N(\varepsilon)$  tal que, para todo  $N \geq N(\varepsilon)$ , cada um dos arcos  $\{z : |z| = 1 \text{ e } |z - \xi_m| < \varepsilon\}$ ,  $m = 1, 2, \dots, n_0$ , contém pelo menos um zero de  $S_n^{\psi_N}(w, z)$ .*

**Teorema 4.13.** *Seja  $\varepsilon > 0$  tal que os intervalos  $Y_j(\varepsilon) = (\omega_j - \varepsilon, \omega_j + \varepsilon)$ ,  $j = 1, 2, \dots, n_0$ , satisfazem*

$$Y_j(\varepsilon) \subset (0, 2\pi) \quad \text{e} \quad \omega_k \notin Y_j(\varepsilon), \quad \text{se } k \neq j.$$

*Consideremos  $\hat{Y}(\varepsilon) = [0, 2\pi] \setminus \bigcup_{j=1}^{n_0} Y_j(\varepsilon)$ . Então,*

$$\begin{aligned} \lim_{N \rightarrow \infty} \sum_{\theta_{n,k}(\psi_N, w) \in Y_j(\varepsilon)} \lambda_{n,k}^{\psi_N}(w) &= \lambda_j^\psi, \quad j = 1, 2, \dots, n_0, \\ \lim_{N \rightarrow \infty} \sum_{\theta_{n,k}(\psi_N, w) \in \hat{Y}_j} \lambda_{n,k}^{\psi_N}(w) &= 0. \end{aligned}$$

Uma das restrições para se utilizar polinômios para-ortogonais em análise de frequência é a dificuldade em se distinguir os zeros “interessantes” (zeros que convergem para pontos de frequência) daqueles “desinteressantes” (que não convergem para pontos de frequência). As informações sobre o comportamento de  $\lambda_{n,k}^{\psi_N}(w)$  auxiliam neste problema. Ainda assim, há dificuldades numéricas para se calcular os zeros dos polinômios  $S_n^{\psi_N}(w, z)$ , pois são zeros complexos, e para se determinar o número de frequências  $n_0$ .

### 4.2.3 Polinômios ortogonais e análise de frequência

Em [9], o estudo do problema de análise de frequência foi estendido para os polinômios ortogonais no intervalo  $[-1, 1]$ ,  $P_n^{\phi_1}$  e  $P_n^{\phi_2}$  (veja 3.1.24), apresentados na Seção 3.1.

Manteremos, aqui, todas as notações e resultados apresentados nas Seções 4.2.1 e 4.2.2.

O próximo resultado apresenta informações sobre duas sequências distintas de polinômios para-ortogonais associados aos polinômios de Szegő  $S_n^{\psi_N}$ , denotados por  $W_{n-n_0}^{\psi_N}(w_1, z)$  e  $W_{n-n_0}^{\psi_N}(w_2, z)$ .

**Teorema 4.14.** *Sejam  $n > n_0$  fixo e  $M$  uma sequência arbitrária de números naturais. Consideremos  $W_{n-n_0}^{\psi}(w, z)$  como no Teorema 4.10. Então,*

(i) *existe uma subsequência  $M_1$  de  $M$  tal que, para  $N \in M_1$ ,*

$$\lim_{\substack{N \rightarrow \infty \\ N \in M_1}} W_{n-n_0}^{\psi_N}(w_1, z) = W_{n-n_0}^{\psi}(w_1, z);$$

(ii) *se  $w_1 \neq w_2$ , existe uma subsequência  $M_2$  de  $M_1$  tal que, para  $N \in M_2$ ,*

$$\lim_{\substack{N \rightarrow \infty \\ N \in M_2}} W_{n-n_0}^{\psi_N}(w_1, z) = W_{n-n_0}^{\psi}(w_1, z),$$

$$\lim_{\substack{N \rightarrow \infty \\ N \in M_2}} W_{n-n_0}^{\psi_N}(w_2, z) = W_{n-n_0}^{\psi}(w_2, z).$$

Além disso,  $W_{n-n_0}^{\psi}(w_1, z)$  e  $W_{n-n_0}^{\psi}(w_2, z)$  não têm zeros comuns.

Esse resultado pode ser usado para encontrar os zeros “interessantes” observando-se o comportamento assintótico de duas sequências distintas de polinômios para-ortogonais.

Vamos utilizar polinômios para-ortogonais com  $w_1 = 1$  e  $w_2 = -1$ , ou seja,  $S_n^{\psi_N}(1, z)$  e  $S_n^{\psi_N}(-1, z)$ , para aplicar os resultados descritos na Seção 3.1.

Por (4.2.57), vemos, por exemplo, que  $S_{n_0}^{\psi}(z)$  é o único fator comum entre os limites das subsequências convergentes de

$$\{S_n^{\psi_{N_k}}(1, z)\}_{k=1}^{\infty} \quad \text{e} \quad \{S_n^{\psi_{N_k}}(-1, z)\}_{k=1}^{\infty}.$$

Agora, novamente utilizaremos a transformação  $x(z)$ , com  $|z| = 1$  e  $x \in [-1, 1]$ , definida em (3.1.13) por

$$x(z) = \frac{1}{2}(z^{1/2} + z^{-1/2}),$$

para relacionar os polinômios para-ortogonais aos ortogonais no intervalo  $(-1, 1)$ . Note que podemos escrever  $x(\theta) = \cos(\theta/2)$ , para  $0 \leq \theta \leq \pi$ .

Das relações entre os polinômios  $P_n^{(i)}$  e  $R_n^{(i)}$ ,  $i = 1, 2$ , dadas no Teorema 3.4, tomamos

$$P_n^{(1)}(N, x(z)) = (4z)^{-n/2} R_n^{(1)}(N, z) = (4z)^{-n/2} \frac{S_n^{\psi_N}(1, z)}{1 + S_n^{\psi_N}(1, 0)}$$

e

$$P_n^{(2)}(N, x(z)) = (4z)^{-n/2} R_n^{(2)}(N, z) = (4z)^{-n/2} \frac{S_{n+1}^{\psi_N}(-1, z)}{(z-1)(1 + S_{n+1}^{\psi_N}(-1, 0))}.$$

Pelo Teorema 3.4, as seqüências de polinômios mônicos  $P_n^{(1)}(N, x)$  e  $P_n^{(2)}(N, x)$ ,  $n = 0, 1, 2, \dots$ , satisfazem

$$P_{n+1}^{(i)}(N, x) = xP_n^{(i)}(N, x) - \alpha_{n+1}^{(i)}(N)P_{n-1}^{(i)}(N, x), \quad n \geq 1, \quad i = 1, 2, \quad (4.2.58)$$

onde  $P_0^{(i)}(N, x) = 1$ ,  $P_1^{(i)}(N, x) = x$ ,

$$\alpha_{n+1}^{(1)}(N) = \frac{1}{4}(1 - \alpha_{n-2}^{(N)})(1 + \alpha_{n-1}^{(N)}) \quad \text{e} \quad \alpha_{n+1}^{(2)}(N) = \frac{1}{4}(1 + \alpha_{n-1}^{(N)})(1 - \alpha_n^{(N)}),$$

com  $\alpha_{n-1}^{(N)} = -S_n^{\psi_N}(0)$  e  $\psi_N(e^{i\theta})$  definida em (4.2.54).

Além disso, os polinômios  $P_n^{(1)}(N, x)$  e  $P_n^{(2)}(N, x)$  são ortogonais mônicos associados às medidas positivas  $\phi_1(N, x)$  e  $\phi_2(N, x)$  em  $(-1, 1)$ , respectivamente, onde

$$d\phi_1(N, x(z)) = \frac{1}{1 - x^2(z)} d\phi_2(N, x(z)) = -d\psi_N(z).$$

Como, para  $z = e^{i\theta}$ , temos  $x = \cos(\theta/2)$ , então podemos escrever

$$d\phi_1(N, \cos(\theta/2)) = \frac{1}{\sin^2(\theta/2)} d\phi_2(N, \cos(\theta/2)) = -d\psi_N(e^{i\theta}). \quad (4.2.59)$$

Como as medidas  $\phi_1(N, x)$  e  $\phi_2(N, x)$  estão relacionadas, vamos utilizar aqui apenas as informações que envolvem a medida  $\phi_1(N, x)$ .

Analogamente à medida  $\phi_1(N, x)$  consideremos, então, a medida  $\phi_1$  definida por

$$d\phi_1(\cos(\theta/2)) = -d\psi(e^{i\theta}), \quad (4.2.60)$$

onde  $\psi$  é dada pela equação (4.2.55). Das expressões (4.2.60) e (4.2.55), podemos escrever

$$\phi_1(x) = \begin{cases} 0, & x < \xi_{n_0}, \\ \sum_{k=s}^{n_0} \lambda_k^\psi, & \xi_k \leq x < \xi_{k-1}, \quad s = n_0, n_0 - 1, \dots, 2, \\ \sum_{k=1}^{n_0} \lambda_k^\psi, & \xi_1 \leq x, \end{cases}$$

onde  $\lambda_k^\psi = |\gamma_k|^2$ , como em (4.2.55),  $\gamma_k$  e  $n_0$  são dados em (4.2.53) e  $\xi_k = \cos(\omega_k/2)$  são ordenados da seguinte forma:

$$-1 < \xi_{n_0} < \dots < \xi_2 < \xi_1 < 1,$$

pois

$$0 < \omega_1 < \omega_2 < \dots < \omega_{n_0} < 2\pi.$$

**Teorema 4.15.** (i) Para  $\forall g \in C(-1, 1)$ ,

$$\lim_{N \rightarrow \infty} \int_{-1}^1 g(x) d\phi_1(N, x) = \int_{-1}^1 g(x) d\phi_1(x). \quad (4.2.61)$$

(ii) Para cada  $n$  fixo,  $1 \leq n \leq n_0$ ,

$$\lim_{N \rightarrow \infty} P_n^{(1)}(N, x) = P_n^{\phi_1}(x), \quad x \in (-1, 1),$$

onde  $P_n^{\phi_1}$  são os polinômios ortogonais com relação à medida  $\phi_1$ . Em particular, temos

$$\lim_{N \rightarrow \infty} P_{n_0}^{(1)}(N, x) = P_{n_0}^{\phi_1}(x) = \prod_{m=1}^{n_0} (x - \xi_m), \quad x \in (-1, 1),$$

onde  $\xi_m = \cos(\omega_m/2)$ .

Assim, podemos obter aproximações para  $\xi_m$ ,  $m = 1, 2, \dots, n_0$ , através dos zeros do polinômio  $P_{n_0}^{(1)}(N, x)$  quando  $N \rightarrow \infty$ , o que é uma grande vantagem, pois os zeros de  $P_{n_0}^{(1)}(N, x)$  são simples e pertencem ao intervalo  $(-1, 1)$ .

Para se obter informações sobre  $\lambda_k^\psi = |\gamma_k|^2$ , consideremos as fórmulas de quadratura gaussianas relacionadas com  $P_n^{(1)}(N, x)$ ,

$$\int_{-1}^1 f(x) d\phi_1(N, x) = \sum_{m=1}^n W_{n,m}^{(1)}(N) f(x_{n,m}^{(1)}(N)), \quad f \in \mathbb{P}_{2n-1}, \quad (4.2.62)$$

onde  $x_{n,m}^{(1)}(N)$  são os zeros de  $P_n^{(1)}(N, x)$ , ordenados da seguinte maneira:

$$-1 < x_{n,n}^{(1)}(N) < x_{n,n-1}^{(1)}(N) < \dots < x_{n,2}^{(1)}(N) < x_{n,1}^{(1)}(N) < 1.$$

Das relações (4.1.47) entre pesos e nós de fórmulas de quadratura gaussianas e fórmulas de quadratura no círculo unitário, temos

$$\begin{aligned} x_{n,m}^{(1)}(N) &= \cos(\theta_{n,m}^{(1)}(\psi_N)/2), \\ W_{n,m}^{(1)}(N) &= \lambda_{n,m}^{(1)}(\psi_N), \end{aligned} \quad m = 1, 2, \dots, n. \quad (4.2.63)$$

Utilizando as relações (4.2.63) e  $\xi_m = \cos(\omega_m/2)$ ,  $m = 1, 2, \dots, n$ , nos Teoremas 4.12 e 4.13, obtemos o seguinte resultado que pode ser utilizado para determinar os pontos de frequência e os módulos das amplitudes de um dado sinal através dos nós e dos pesos da fórmula de quadratura (4.2.62).

**Teorema 4.16.** *Seja  $n \geq n_0$  fixo.*

(i) *Para qualquer  $\varepsilon > 0$  existe  $N(\varepsilon)$  tal que, para todo  $N \geq N(\varepsilon)$ , cada intervalo da forma  $(\xi_m - \varepsilon, \xi_m + \varepsilon)$ ,  $m = 1, 2, \dots, n_0$ , contém pelo menos um zero de  $P_n^{(1)}(N, x)$ .*

(ii) *Seja  $\varepsilon > 0$  tal que os intervalos  $\Delta_j(\varepsilon) = (\xi_j - \varepsilon, \xi_j + \varepsilon)$ ,  $j = 1, 2, \dots, n_0$ , satisfazem*

$$\Delta_j(\varepsilon) \subset (-1, 1) \quad e \quad \xi_k \notin \Delta_j(\varepsilon) \quad se \quad k \neq j.$$

*Se  $\hat{\Delta}(\varepsilon) = [0, 2\pi] \setminus \bigcup_{j=1}^{n_0} \Delta_j(\varepsilon)$ , então*

$$\lim_{N \rightarrow \infty} \sum_{x_{n,k}^{(1)} \in \Delta_j(\varepsilon)} W_{n,k}^{(1)}(N) = \lambda_j^\psi, \quad j = 1, 2, \dots, n_0,$$

*com  $\lambda_j^\psi = |\gamma_j|^2$ , e*

$$\lim_{N \rightarrow \infty} \sum_{x_{n,k}^{(1)} \in \hat{\Delta}(\varepsilon)} W_{n,k}^{(1)}(N) = 0.$$

$N$	1000	10000	100000	1000000
$x_{1,n}^{(1)}(N)$	.9594011810	.9594358752	.9600074510	.9638104402
$x_{2,n}^{(1)}(N)$	.6240716070	.6239469630	.6262791465	.6463467115
$x_{3,n}^{(1)}(N)$	.4993490519	.4999350137	.4999935864	.4999994190
$x_{4,n}^{(1)}(N)$	.0000000000	.0000000000	.0000000000	.0000000000
$W_{1,n}^{(1)}(N)$	.2385586e-2	.2398284e-3	.2510096e-4	.3672402e-5
$W_{2,n}^{(1)}(N)$	.3019255e-1	.3038765e-2	.2968618e-3	.2512087e-4
$W_{3,n}^{(1)}(N)$	.4960261e+1	.4995888e+1	.4999684e+1	.4999974e+1
$W_{4,n}^{(1)}(N)$	.3980690e+1	.3998053e+1	.3999756e+1	.3999974e+1

Tabela 4.6: Zeros não negativos de  $P_n^{(1)}(N, x)$ , para  $n = 7$ , e os pesos da fórmula de quadratura correspondentes, para um sinal dado por (4.2.64).

Esse resultado indica que, para  $N \rightarrow \infty$ , podemos identificar os zeros  $x_{n,m}^{(1)}(N)$  de  $P_n^{(1)}(N, x)$  tais que a sequência  $\{x_{n,m}^{(1)}(N)\}_{N=1}^{\infty}$  tem como limite  $\xi_m = \cos(\omega_m/2)$ , observando se  $\lim \sum W_{n,m}^{(1)}(N) \neq 0$ .

O próximo resultado estabelece o comportamento de sequências de zeros de  $P_n^{(1)}(N, x)$  com convergências distintas.

**Teorema 4.17.** *Seja  $n \geq n_0$  fixo. Consideremos  $M$  uma sequência de números naturais e, para cada  $N \in M$ , sejam  $y(1, n) > y(2, n) > y(3, n)$  três zeros distintos de  $P_n^{(1)}(N, x)$  tais que os limites*

$$\lim_{\substack{N \rightarrow \infty \\ N \in M}} y(j, N) = y(j), \quad j = 1, 2, 3,$$

*existem. Então,*

*(i) se duas sequências de zeros têm um limite comum, esse limite deve ser igual a um ponto de frequência, isto é,*

$$\lim_{\substack{N \rightarrow \infty \\ N \in M}} y(1, N) = \lim_{\substack{N \rightarrow \infty \\ N \in M}} y(2, N) = \xi_m, \quad \text{para algum } m = 1, 2, \dots, n_0;$$

*(ii) as três sequências não podem ter o mesmo limite.*

Dessa forma, podemos aproximar a solução do problema de análise de frequência. Conhecidos  $N$  valores do sinal trigonométrico  $x(m)$ ,  $m = 0, 1, 2, \dots, N - 1$ , construimos a medida  $\psi_N$  como em (4.2.54), os momentos como em (4.2.56) e calculamos os coeficientes da relação de recorrência dos polinômios ortogonais, por exemplo,  $P_n^{(1)}(N, x)$ . Desses coeficientes, utilizando a matriz de Jacobi (1.4.20), calculamos os zeros  $x_{n,m}^{(1)}(N)$  de  $P_n^{(1)}(N, x)$  e, de (4.1.6), obtemos os pesos  $W_{n,m}^{(1)}(N)$  da fórmula de quadratura associada. Finalmente, observando o comportamento dos pesos e nós da quadratura e utilizando o Teorema 4.16, podemos estimar o valor dos pontos de frequências e suas respectivas amplitudes.

Apresentamos, agora, alguns exemplos de como podemos determinar as frequências e amplitudes utilizando-se os zeros de polinômios ortogonais no intervalo  $(-1, 1)$  e os pesos das respectivas fórmulas de quadratura.

$N$	1000	10000	100000	1000000
$x_{1,n}^{(1)}(N)$	.9940844167	.9940870898	.9941331278	.9943640409
$x_{2,n}^{(1)}(N)$	.9472732272	.9473005082	.9475947640	.9495377568
$x_{3,n}^{(1)}(N)$	.8548244375	.8548903013	.8555067037	.8603075329
$x_{4,n}^{(1)}(N)$	.7189582997	.7189420977	.7197975661	.7268018340
$x_{5,n}^{(1)}(N)$	.5385688762	.5380815523	.5386536378	.5438509641
$x_{6,n}^{(1)}(N)$	.4993173295	.4999312006	.4999932243	.4999994002
$x_{7,n}^{(1)}(N)$	.2904740721	.2904681641	.2906274219	.2920830261
$x_{8,n}^{(1)}(N)$	.6701693e-2	.2113208e-2	.6692490e-3	.2156445e-3
$W_{1,n}^{(1)}(N)$	.7977139e-3	.8018650e-4	.8492834e-5	.1341455e-5
$W_{2,n}^{(1)}(N)$	.9460595e-3	.9528461e-4	.9991095e-5	.1489447e-5
$W_{3,n}^{(1)}(N)$	.1415432e-2	.1419179e-3	.1466860e-4	.1942683e-5
$W_{4,n}^{(1)}(N)$	.3392576e-2	.3401662e-3	.3437371e-4	.3808523e-5
$W_{5,n}^{(1)}(N)$	.9917225e-1	.1030305e-1	.1005570e-2	.8145786e-4
$W_{6,n}^{(1)}(N)$	.4881227e+1	.4987618e+1	.4998873e+1	.4999906e+1
$W_{7,n}^{(1)}(N)$	.6356956e-2	.6361711e-3	.6434639e-4	.7037543e-5
$W_{8,n}^{(1)}(N)$	.1989875e+1	.1998979e+1	.1999873e+1	.1999986e+1

Tabela 4.7: Zeros positivos de  $P_n^{(1)}(N, x)$ , para  $n = 16$ , e os correspondentes pesos da fórmula de quadratura para um sinal dado por (4.2.64).

**Exemplo 4.6.** Consideremos um sinal dado por

$$x(m) = 2e^{im\pi} + (1 + 2i)e^{i2m\pi/3} + (1 - 2i)e^{i4m\pi/3} + Z_m, \quad (4.2.64)$$

onde adicionamos uma perturbação  $Z_m$  a cada tempo discreto  $m = 0, 1, \dots$ . A perturbação  $Z_m$  é um número real aleatório no intervalo  $[-0.005, 0.005]$ .

Espera-se que os zeros “interessantes” de  $P_n^{(1)}(N, x)$ , quando  $N \rightarrow \infty$ , tendam para o valores

$$\xi_1 = \cos(2\pi/6) = 0.5, \quad \xi_2 = \cos(\pi/2) = 0 \quad \text{e} \quad \xi_3 = \cos(4\pi/6) = -0.5.$$

Os correspondentes pesos da fórmula de quadratura devem convergir para os limites

$$\lambda_1^\psi = 5, \quad \lambda_2^\psi = 4 \quad \text{e} \quad \lambda_3^\psi = 5.$$

Para analisar a convergência, calculamos os zeros de  $P_7^{(1)}(N, x)$  e  $P_{16}^{(1)}(N, x)$ . Por causa da simetria dos zeros de  $P_n^{(1)}(N, x)$ , fornecemos apenas os zeros não negativos de  $P_7^{(1)}(N, x)$  e de  $P_{16}^{(1)}(N, x)$ , e os correspondentes pesos das fórmulas de quadratura (Tabelas 4.6 e 4.7, respectivamente).

Podemos ver na Tabela 4.6 que, quando  $N$  torna-se muito grande,  $W_{1,7}^{(1)}(N)$  e  $W_{2,7}^{(1)}(N)$  tendem para o limite 0 e, portanto,  $x_{1,7}^{(1)}(N)$  e  $x_{2,7}^{(1)}(N)$  representam zeros “desinteressantes”. Os outros zeros, que são zeros “interessantes”, permitem que recuperemos os limites  $\xi_1 = 0.5$  e  $\xi_2 = 0$ . Os correspondentes pesos da fórmula de quadratura, por sua vez, tendem para os limites  $\lambda_1^\psi = 5$  e  $\lambda_2^\psi = 4$ .

$N$	4096	16384	65536	262144	1048576
$x_{1,n}^{(1)}(N)$	.989212594	.989299970	.989210625	.989299581	.989210502
$x_{2,n}^{(1)}(N)$	.906162462	.906761986	.906133429	.906755808	.906131609
$x_{3,n}^{(1)}(N)$	.865979840	.866014421	.866022554	.866024717	.866025225
$x_{4,n}^{(1)}(N)$	.707215505	.707135396	.707113588	.707108570	.707107206
$x_{5,n}^{(1)}(N)$	.607312636	.611289737	.607296488	.611295467	.607295454
$x_{6,n}^{(1)}(N)$	.309555993	.309108278	.309050983	.309022710	.309019119
$x_{7,n}^{(1)}(N)$	.150003490	.142155835	.150181242	.142175633	.150192479
$W_{1,n}^{(1)}(N)$	.112888e-1	.287092e-2	.705654e-3	.179437e-3	.441037e-4
$W_{2,n}^{(1)}(N)$	.153277e+0	.373171e-1	.960046e-2	.233339e-2	.600109e-3
$W_{3,n}^{(1)}(N)$	.998523e+2	.999642e+2	.999907e+2	.999977e+2	.999994e+2
$W_{4,n}^{(1)}(N)$	.160273e+2	.160061e+2	.160017e+2	.160003e+2	.160001e+2
$W_{5,n}^{(1)}(N)$	.301059e-1	.774932e-2	.188245e-2	.484465e-3	.117656e-3
$W_{6,n}^{(1)}(N)$	.100595e+1	.100141e+1	.100037e+1	.100008e+1	.100002e+1
$W_{7,n}^{(1)}(N)$	.730947e-2	.198729e-2	.458248e-3	.124244e-3	.286460e-4

Tabela 4.8: Zeros positivos de  $P_n^{(1)}(N, x)$ , para  $n = 14$ , e os correspondentes pesos da fórmula de quadratura para um sinal dado por (4.2.65).

Na Tabela 4.7, o grau do polinômio é par. Como pode-se ver, isto força o zero  $x_{8,16}^{(1)}(N)$  (e também o zero  $x_{9,16}^{(1)}(N)$ ) para o limite  $\xi_2 = 0$ . De acordo com o Teorema 4.16, a convergência desses dois zeros para  $\xi_2$  significa que nenhum outro zero pode convergir para o mesmo limite. Observe que, como indicado no Teorema 4.17, a soma  $W_{8,16}^{(1)}(N) + W_{9,16}^{(1)}(N)$  converge para o limite  $\lambda_2^\psi = 4$ .

Observando os pesos da fórmula de quadratura associada, vemos que existe apenas um outro zero “interessante” de  $P_{16}^{(1)}(N, x)$  na Tabela 4.7, o zero  $x_{6,16}^{(1)}(N)$ , que converge para  $\xi_1 = 0.5$  e o correspondente peso converge para  $\lambda_1^\psi = 5$ .

**Exemplo 4.7.** Considere o sinal

$$x(m) = \sum_{j=1}^3 (\gamma_j e^{im\omega_j} + \gamma_{n_0+1-j} e^{im\omega_{n_0+1-j}}), \quad (4.2.65)$$

com  $n_0 = 6$ ,  $\omega_1 = 2\pi - \omega_6 = \pi/3$ ,  $\omega_2 = 2\pi - \omega_5 = \pi/2$ ,  $\omega_3 = 2\pi - \omega_4 = 4\pi/5$ ,  $\gamma_1 = \gamma_6 = 10$ ,  $\gamma_2 = \gamma_5 = 4$  e  $\gamma_3 = \gamma_4 = 1$ .

Esperamos que os zeros positivos “interessantes” de  $P_n^{(1)}(N, x)$  e os correspondentes pesos da fórmula de quadratura, quando  $N \rightarrow \infty$ , convirjam para os valores

$$\begin{aligned} \xi_1 &= \cos(\pi/6) = 0.86602540 \dots, & \lambda_1^\psi &= 100, \\ \xi_2 &= \cos(\pi/4) = 0.70710678 \dots, & \lambda_2^\psi &= 16, \\ \xi_3 &= \cos(2\pi/5) = 0.30901699 \dots, & \lambda_3^\psi &= 1. \end{aligned}$$

Na Tabela 4.8, apresentamos os zeros positivos de  $P_{14}^{(1)}(N, x)$  e os correspondentes pesos da fórmula de quadratura. Observando os pesos que se aproximam de 0, facilmente podemos eliminar os zeros “desinteressantes”  $x_{1,14}^{(1)}(N)$ ,  $x_{2,14}^{(1)}(N)$ ,

$N$	65536	131072	262144	524288	1048576
$x_{1,n}^{(1)}(N)$	.990694550	.991069694	.990707384	.991109746	.990694385
$x_{2,n}^{(1)}(N)$	.918162836	.920315195	.918158191	.920506677	.918161176
$x_{3,n}^{(1)}(N)$	.866024393	.866025016	.866025149	.866025308	.866025340
$x_{4,n}^{(1)}(N)$	.707388335	.710944712	.707148927	.708477691	.707125604
$x_{5,n}^{(1)}(N)$	.703238297	.706967424	.700700794	.707010273	.703489755
$x_{6,n}^{(1)}(N)$	.405875346	.407626485	.386511972	.385318866	.405829382
$x_{7,n}^{(1)}(N)$	.308955310	.308988523	.308993668	.309005739	.309013135
$x_{8,n}^{(1)}(N)$	.000000000	.000000000	.000000000	.000000000	.000000000
$W_{1,n}^{(1)}(N)$	.635379e-3	.356439e-3	.162438e-3	.923051e-4	.397117e-4
$W_{2,n}^{(1)}(N)$	.510492e-2	.243761e-2	.128986e-2	.614839e-3	.319084e-3
$W_{3,n}^{(1)}(N)$	.999944e+2	.999961e+2	.999986e+2	.999990e+2	.999996e+2
$W_{4,n}^{(1)}(N)$	.149311e+2	.569533e+0	.158983e+2	.105795e+1	.159183e+2
$W_{5,n}^{(1)}(N)$	.107307e+1	.154316e+2	.102705e+0	.149423e+2	.819297e-1
$W_{6,n}^{(1)}(N)$	.107399e-2	.481206e-3	.371597e-3	.173370e-3	.671996e-4
$W_{7,n}^{(1)}(N)$	.999815e+0	.999950e+0	.999839e+0	.999932e+0	.999988e+0
$W_{8,n}^{(1)}(N)$	.320445e-3	.146707e-3	.964100e-4	.450728e-4	.200286e-4
	.160042e+2	.160011e+2	.160010e+2	.160002e+2	.160002e+2

Tabela 4.9: Zeros não-negativos de  $P_n^{(1)}(N, x)$ , para  $n = 15$ , e os correspondentes pesos da fórmula de quadratura para um sinal dado por (4.2.65).

$x_{5,14}^{(1)}(N)$  e  $x_{7,14}^{(1)}(N)$ . Os zeros restantes,  $x_{3,14}^{(1)}(N)$ ,  $x_{4,14}^{(1)}(N)$  e  $x_{6,14}^{(1)}(N)$ , convergem para os limites esperados  $\xi_1$ ,  $\xi_2$  e  $\xi_3$ , respectivamente. Dos limites dos correspondentes pesos da fórmula de quadratura, podemos recuperar os valores de  $\lambda_1^\psi$ ,  $\lambda_2^\psi$  e  $\lambda_3^\psi$ .

Na Tabela 4.9, apresentamos os zeros não-negativos de  $P_{15}^{(1)}(N, x)$ . Novamente é fácil eliminar os zeros “desinteressantes”  $x_{1,15}^{(1)}(N)$ ,  $x_{2,15}^{(1)}(N)$ ,  $x_{6,15}^{(1)}(N)$  e  $x_{8,15}^{(1)}(N)$ , observando o comportamento dos pesos. Além disso, o comportamento de  $W_{3,15}^{(1)}(N)$  e  $W_{7,15}^{(1)}(N)$  também indica que  $x_{3,15}^{(1)}(N)$  converge para  $\xi_1$  e  $x_{7,15}^{(1)}(N)$  converge para o limite  $\xi_3$ .

Como esperado pelos Teoremas 4.17 e 4.16, a soma  $W_{4,15}^{(1)}(N) + W_{5,15}^{(1)}(N)$  tende para o limite  $\lambda_2^\psi$ . Os números da última linha da Tabela 4.9 representam as somas  $W_{4,15}^{(1)}(N) + W_{5,15}^{(1)}(N)$ .

### 4.3 Exercícios

**Exercício 4.1.** Demonstre os Teoremas 4.1 e 4.2.

**Exercício 4.2.** Mostre que os pesos  $W_{n,k}$ ,  $k = 1, \dots, n$ , das fórmulas de quadratura gaussianas são positivos. Faça o mesmo para os pesos  $V_{n,k}$ ,  $k = 1, \dots, n$ , das fórmulas de quadratura L-gaussianas (4.1.10).

**Exercício 4.3.** Demonstre as relações da equação (4.1.21).



**Exercício 4.4.** Consideremos os polinômios definidos por

$$\tilde{P}_n(\lambda_0, \lambda_1, \dots, \lambda_r; x) = \sum_{k=0}^r \lambda_k P_{n-2k}^\phi(x), \quad 0 \leq r \leq \bar{n},$$

onde  $P_n^\phi$  é o polinômio ortogonal de grau  $n$  com relação à medida simétrica  $\phi$  em  $(-d, d)$ ,  $\lambda_k \in \mathbb{R}$  e  $\lambda_0 \neq 0$ . Mostre que os polinômios  $\tilde{P}_n$  satisfazem

$$\int_{-d}^d x^s \tilde{P}_n(x) d\phi(x) = 0, \quad s = 0, 1, \dots, n-1-2r.$$

**Exercício 4.5.** Mostre que um polinômio  $P_n$  de grau  $n$  satisfaz  $P_n(x) = (-1)^n P_n(-x)$  se existe um único conjunto de números reais  $\lambda_0, \dots, \lambda_{\bar{n}}$ , tal que

$$P_n(x) = \tilde{P}_n(\lambda_0, \lambda_1, \dots, \lambda_{\bar{n}}; x).$$

**Exercício 4.6.** Mostre que a fórmula de quadratura (4.1.28) é exata para polinômios de grau menor ou igual a  $2n - 2r - 1$ .

**Exercício 4.7.** Considere os polinômios  $\tilde{P}_n$  e  $\tilde{B}_n$  e as relações entre eles.

- Use as relações (4.1.20) e (4.1.29) para mostrar que

$$\tilde{B}_n(\tilde{\lambda}_0, \dots, \tilde{\lambda}_r; t) = \sum_{k=0}^r \tilde{\lambda}_k t^k \left( (2\sqrt{\alpha t})^{n-2k} P_{n-2k}(x(t)) \right).$$

- Use (4.1.26) e mostre que

$$\tilde{B}_n(\tilde{\lambda}_0, \dots, \tilde{\lambda}_r; t) = (2\sqrt{\alpha t})^n \tilde{P}_n(\lambda_0, \dots, \lambda_r; x(t))$$

se, e somente se,

$$\tilde{\lambda}_k = (4\alpha)^k \lambda_k, \quad k = 0, 1, \dots, r.$$



# Bibliografia

- [1] ANDRADE, E. X. L.; BRACCIALI, C. F. *Frações Contínuas: Propriedades e Aplicações*. São Carlos: Notas em Matemática Aplicada, vol. 20, SBMAC, 2005.
- [2] ANDRADE, E. X. L.; BRACCIALI, C. F.; RAFAELI, F. R. *Introdução aos Polinômios Ortogonais*. São Carlos: Notas em Matemática Aplicada, vol. 64, SBMAC, 2012.
- [3] ANDRADE, E. X. L.; BRACCIALI, C. F.; SRI RANGA, A. Inversely symmetric interpolatory quadrature rules. *Acta Applicandae Mathematicae*, v. 61, p. 15–28, 2000.
- [4] ANDRADE, E. X. L.; BRACCIALI, C. F.; SRI RANGA, A. Gaussian quadrature rules with simple node-weight relations. *Numerical Algorithms*, v. 27, p. 61–76, 2001.
- [5] ANDRADE, E. X. L.; COSTA, M. S.; SRI RANGA, A. L-orthogonal polynomials associated with related measures. *Applied Numerical Mathematics*, v. 60, p. 1041–1052, 2010.
- [6] ANDREWS, G. E.; ASKEY, R.; ROY, R. *Special Functions*. Cambridge: Cambridge University Press, 1999.
- [7] BARTLE, R. G. *Elementos de Análise Real*. Rio de Janeiro: Ed. Campus, 1983.
- [8] BERTI, A. C.; SRI RANGA, A. Companion orthogonal polynomials: some applications. *Applied Numerical Mathematics*, v. 39, p. 127–149, 2001.
- [9] BRACCIALI, C. F.; LI, X.; SRI RANGA, A. Real orthogonal polynomials in frequency analysis. *Mathematics of Computation*, v. 74, p. 341–362, 2005.
- [10] BRACCIALI, C. F.; SILVA, A. P.; SRI RANGA, A. Szegő polynomials: some relations to L-orthogonal and orthogonal polynomials. *Journal of Computational and Applied Mathematics*, v. 153, p. 79–88, 2003.
- [11] BRESSAN, R.; MENEGASSO, S. F.; SRI RANGA, A. Szegő polynomials: quadrature rules on the unit circle and on  $[-1,1]$ . *Rocky Mountain Journal of Mathematics*, v. 33, p. 567–584, 2003.
- [12] BULTHEEL, A. et al. *Orthogonal Rational Functions*. Cambridge: Cambridge University Press, 1999.
- [13] CHIHARA, T. S. *An Introduction to Orthogonal Polynomials: Mathematics and its Applications*, vol. 13. New York: Gordon & Breach, 1978.

- [14] COCHRAN, L.; COOPER, S. C. Orthogonal Laurent polynomials on the real line. In: COOPER, S. C.; THRON, W. (Ed.). New York: Lecture Notes in Pure and Appl. Math., Marcel-Dekker, 1994. p. 47–100.
- [15] COSTA, M. S.; FELIX, H. M.; SRI RANGA, A. Orthogonal polynomials on the unit circle and chain sequences. *Journal of Approximation Theory*, v. 173, p. 14–32, 2013.
- [16] DARUIS, L.; NJÅSTAD, O.; VAN ASSCHE, W. Para-orthogonal polynomials in frequency analysis. *Rocky Mountain Journal of Mathematics*, v. 33, p. 629–645, 2003.
- [17] DELSARTE, P.; GENIN, Y. The split Levinson algorithm. *IEEE Trans. Acoust. Speech Signal Process*, v. 34, p. 470–478, 1986.
- [18] DIMITROV, D. K.; SRI RANGA, A. Zeros of a family of hypergeometric para-orthogonal polynomials on the unit circle. *Mathematische Nachrichten*, v. 286, p. 1778–1791, 2013.
- [19] ERDÉLYI, T. et al. A simple proof of “Favard’s theorem” on the unit circle. *Atti Sem. Mat. Fis. Univ. Modena*, v. 39, p. 551–556, 1991.
- [20] GAUTSCHI, W. Orthogonal polynomials - constructive theory and applications. *Journal of Computational and Applied Mathematics*, v. 12/13, p. 61–76, 1985.
- [21] GAUTSCHI, W. *Orthogonal Polynomials: Computation and Approximation*. Oxford: Oxford Science Publications, 2004.
- [22] GONZÁLEZ-VERA, P.; SANTOS-LEON, J.; NJÅSTAD, O. Some results about numerical quadrature on the unit circle. *Advances in Computational Mathematics*, v. 5, p. 297–328, 1996.
- [23] HENRICI, P. *Applied and Computational Complex Analysis: vol. 2*. New York: John Wiley & Sons, 1977.
- [24] ISMAIL, M. *Classical and Quantum Orthogonal Polynomials in One Variable*. Cambridge: Cambridge University Press, 2005.
- [25] JONES, W. B.; NJÅSTAD, O.; SAFF, E. B. Szegő polynomials associated with Wiener-Levinson filters. *Journal of Computational and Applied Mathematics*, v. 32, p. 387–406, 1990.
- [26] JONES, W. B.; NJÅSTAD, O.; THRON, W. J. Two-point Padé expansions for a family of analytic functions. *Journal of Computational and Applied Mathematics*, v. 9, p. 105–123, 1983.
- [27] JONES, W. B.; NJÅSTAD, O.; THRON, W. J. Moment theory, orthogonal polynomials, quadrature rules and continued fractions associated with the unit circle. *Bulletin of the London Mathematical Society*, v. 21, p. 113–152, 1989.
- [28] JONES, W. B.; PETERSEN, V. Continued fractions and Szegő polynomials in frequency analysis and related topics. *Acta Applicandae Mathematicae*, v. 61, p. 149–174, 2000.
- [29] JONES, W. B.; THRON, W. J. *Continued Fractions Analytic Theory and Applications*. Reading: Encyclopedia of Mathematics and its Applications, vol. 11, Addison-Wesley, 1980.

- [30] JONES, W. B.; THRON, W. J. A strong Stieltjes moment problem. *Transactions of the American Mathematical Society*, v. 261, p. 503–528, 1980.
- [31] JONES, W. B. et al. Szegő polynomials applied to frequency analysis. *Journal of Computational and Applied Mathematics*, v. 46, p. 217–228, 1993.
- [32] KRYLOV, V. I. *Approximate Calculation of Integrals*. New York: Macmillan, 1962.
- [33] LEBEDEV, N. N. *Special Functions and Their Applications*. New York: Dover Publ., 1972.
- [34] LEVINSON, N. The Wiener RMS (root mean square) error criterion in filter design and prediction. *J. Math. Phys. Mass. Inst. Techn.*, v. 25, p. 261–278, 1947.
- [35] LORENTZEN, L.; WAADELAND, H. *Continued Fractions with Applications*. Amsterdam: Studies in Computational Mathematics, vol. 3, North-Holland, 1992.
- [36] PAN, K.; SAFF, E. B. Asymptotics for zeros of Szegő polynomials associated with trigonometric polynomials signals. *Journal of Approximation Theory*, v. 71, p. 239–251, 1992.
- [37] RUDIN, W. *Princípios de Análise Matemática*. Rio de Janeiro: Ao Livro Técnico, 1971.
- [38] SILVA, A.; SRI RANGA, A. Polynomials generated by a three term recurrence relation: bounds for complex zeros. *Linear Algebra and its Applications*, v. 397, p. 299–324, 2005.
- [39] SIMON, B. *Orthogonal Polynomials on the Unit Circle: Part 1: Classical Theory*. Providence, RI: American Mathematical Society Colloquium Publications, vol. 54, 2004.
- [40] SIMON, B. *Orthogonal Polynomials on the Unit Circle: Part 2: Spectral Theory*. Providence, RI: American Mathematical Society Colloquium Publications, vol. 54, 2004.
- [41] SRI RANGA, A. *Continued Fractions which Correspond to Two Series Expansions, and the Strong Hamburger Moment Problem*. Tese (Doutorado) — University of St. Andrews, St. Andrews, Scotland, UK, 1983.
- [42] SRI RANGA, A. Another quadrature rule of highest algebraic degree of precision. *Numerische Mathematik*, v. 68, p. 283–294, 1994.
- [43] SRI RANGA, A. Symmetric orthogonal polynomials and the associated orthogonal L-polynomials. *Applied Numerical Mathematics*, v. 123, p. 3135–3141, 1995.
- [44] SRI RANGA, A.; ANDRADE, E. X. L. Avaliação numérica de uma classe de integrais. *Revista de Matemática e Estatística*, v. 11, p. 165–172, 1993.
- [45] SRI RANGA, A.; ANDRADE, E. X. L.; PHILLIPS, G. M. Associated symmetric quadrature rules. *Applied Numerical Mathematics*, v. 21, p. 175–183, 1996.
- [46] SRI RANGA, A. et al. A Favard type theorem for orthogonal polynomials on the unit circle from a three term recurrence formula. *Journal of Approximation Theory*, v. 184, p. 146–162, 2014.

- [47] STROUD, A. H.; SECREST, D. *Gaussian Quadrature Formulas*. Englewood Cliffs, New Jersey: Prentice Hall, 1966.
- [48] SZEGŐ, G. *Orthogonal Polynomials*. Providence, RI: American Mathematical Society Colloquium Publications, vol. 23, 1975.
- [49] WALL, H. S. *Analytic Theory of Continued Fractions*. Chelsea: The University Series in Higher Mathematics, vol. 1, 1938.
- [50] WIENER, N. *Extrapolation, Interpolation and Smoothing of Stationary Time Series*. New York: MIT Press, 1949.
- [51] ZHEDANOV, A. On some classes of polynomials orthogonal on arcs of the unit circle connected with symmetric orthogonal polynomials on an interval. *Journal of Approximation Theory*, v. 94, p. 73–106, 1998.

# Índice

- Análise de frequência, 106
  - Polinômios de Szegő, 106
  - Polinômios ortogonais em  $[-1,1]$ , 112
  - Polinômios para-ortogonais, 109
- Christoffel, 58
  - Fórmula de, 58
- Christoffel-Darboux, 11
  - Identidade, 11
- Coeficientes, 23
  - de Geronimus, 23
  - de Reflexão, 23
  - de Schur, 23
  - de Szegő, 23
  - de Verblunsky, 23
- Determinante
  - de Hankel, 38
  - de Toeplitz, 19
- Fórmulas de quadratura, 89
  - Medidas Simétricas, 96
  - Nós, 90, 94
  - Pesos, 90, 92, 94, 101
  - Quadraturas de Szegő, 100
  - Quadraturas gaussianas, 90, 98
  - Quadraturas L-gaussianas, 92, 98
- Frações contínuas, 4
  - Convergentes, 5
- Hankel, 4
  - Determinante, 4, 10, 34, 38, 39
- Integral de Riemann-Stieltjes, 1
  - Exemplos, 2
- Matriz de Toeplitz, 19
- Medida positiva, 4, 18
  - Círculo unitário, 18, 106
- Momentos, 3, 18, 38
  - Trigonométricos, 18
- Polinômio Recíproco, 22
- Polinômios  $\kappa$ -invariantes, 28
- Polinômios de Laurent, 37
  - L-Polinômios, 37
- Polinômios de Laurent ortogonais, 38
- Polinômios de Szegő, 21, 24, 26
  - Relações, 24, 26
  - Zeros, 26
- Polinômios L-ortogonais, 39
  - Polinômios associados, 41
  - Relação de recorrência, 43
  - Zeros, 45, 47
- Polinômios ortogonais, 9, 11, 21, 58
  - Círculo unitário, 21
  - Polinômios associados, 11
  - Relação de recorrência, 11
  - Reta real, 9
  - Zeros, 11
- Polinômios para-ortogonais, 18, 28, 58
  - Casos especiais, 54
  - Relação de recorrência, 55
  - Zeros, 31
- Relação de recorrência, 11, 55
  - Polinômios L-ortogonais, 43, 51
  - Polinômios ortogonais, 11
  - Polinômios para-ortogonais, 55
- Sequência, 6
  - de parâmetros, 6
  - Encadeada, 6
  - Maximal, 7
  - Minimal, 7
- Szegő, 21
  - Polinômios de, 21
- Toeplitz, 19
  - Determinante de, 19
  - Matriz de, 19